

**UNIVERSIDAD COMPLUTENSE DE MADRID**  
**FACULTAD DE CIENCIAS QUÍMICAS**



**TESIS DOCTORAL**

**Presiones de vapor en sistemas binarios**

MEMORIA PARA OPTAR AL GRADO DE DOCTOR  
PRESENTADA POR

**Aurora Compostizo Sañudo**

DIRECTOR:

**Mateo Díaz Peña**

Madrid, 2015

COM

UNIVERSIDAD COMPLUTENSE DE MADRID  
FACULTAD DE CIENCIAS QUÍMICAS



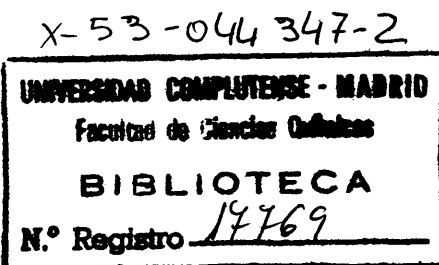
PRESIONES DE VAPOR EN  
SISTEMAS BINARIOS

TESIS

para optar al grado de Doctor en Ciencias Químicas

por

AURORA COMPOSTIZO SAÑUDO



Departamento de Química-Física

Madrid, Septiembre 1975

*A mis padres*

Este trabajo ha sido --  
realizado en el Departamento de Química-Física de la Facultad de Ciencias  
Químicas de la Universidad Complutense de Madrid, bajo la dirección del -  
Prof. Dr. D. Mateo Díaz Peña, Catedrático de Química Física, a quien expreso mi agradecimiento.

Asimismo, mi reconocimiento al Prof. Dr. D. Jesús Morcillo Rubio, Catedráticuco de Estructura Atómica-Molecular y Espectroscopía y Director del mencionado Departamento.

## INDICE

|   | <u>Página</u> |
|---|---------------|
| CAPITULO I.- INTRODUCCION .....   | 1             |
| CAPITULO II.- METODO EXPERIMENTAL .....                                       | 4             |
| 2.1.- DESCRIPCION DEL APARATO .....   | 4             |
| 2.1.1.- Sistema de vacío .....  | 4             |
| 2.1.2.- Ebullímetro .....   | 6             |
| 2.1.3.- Sistema manométrico .....   | 8             |
| 2.2.- MEDIDA DE LA PRESION .....  | 8             |
| 2.3.- MEDIDA DE LA TEMPERATURA .....  | 12            |
| 2.4.- DETERMINACION DE LA COMPOSICION DE LAS -<br>FASES LIQUIDA Y VAPOR ..... | 12            |
| 2.5.- METODO GENERAL DE OPERACION .....                                       | 15            |
| CAPITULO III.- SUSTANCIAS PURAS .....   | 18            |
| 3.1.- CARACTERISTICAS DE LAS SUSTANCIAS ESTU--<br>DIADAS .....                | 18            |
| 3.2.- VOLUMEN MOLAR .....   | 25            |
| 3.3.- SEGUNDO COEFICIENTE DEL VIRIAL .....                                    | 26            |
| 3.4.- RESULTADOS .....  | 28            |
| CAPITULO IV.- DATOS EXPERIMENTALES .....                                      | 30            |
| 4.1.- MEZCLAS DE COMPOSICION CONOCIDA .....                                   | 30            |
| 4.2.- PRESIONES DE VAPOR .....  | 32            |
| 4.3.- FUNCION DE GIBBS DE EXCESO .....  | 32            |
| 4.4.- CONSISTENCIA TERMODINAMICA .....  | 38            |
| 4.4.1.- Método gráfico .....  | 39            |
| 4.4.2.- Método analítico .....  | 41            |
| 4.5.- CALCULO DE ERRORES .....  | 45            |
| 4.5.1.- En la composición .....   | 45            |
| 4.5.2.- En la temperatura .....   | 48            |
| 4.5.3.- En la presión .....   | 49            |

|   | <u>Página</u> |
|---|---------------|
| 4.5.4.- En el volumen molar .....   | 50            |
| 4.5.5.- En el segundo coeficiente del --<br>virial .....                      | 51            |
| 4.5.6.- En el potencial químico de exoe<br>so .....                           | 51            |
| 4.6.- RESULTADOS EXPERIMENTALES DE LOS SISTE-<br>MAS .....                    | 54            |
| 4.6.1.- Ciclohexano(1)+Benceno(2) 70°C..                                      | 54            |
| 4.6.2.- o-Xileno(1)+n-Heptano(2) 75°C...                                      | 67            |
| 4.6.3.- m-Xileno(1)+n-Heptano(2) 75°C...                                      | 78            |
| 4.6.4.- p-Xileno(1)+n-Heptano(2) 75°C...                                      | 89            |
| 4.6.5.- Metil-ciclohexano(1)+Benceno(2)<br>75°C .....                         | 100           |
| 4.6.6.- Tolueno(1)+Metil-ciclohexano(2)<br>75°C .....                         | 111           |
| 4.6.7.- o-Xileno(1)+Metil-ciclohexano(2)<br>75°C .....                        | 122           |
| 4.6.8.- m-Xileno(1)+Metil-ciclohexano(2)<br>75°C .....                        | 133           |
| 4.6.9.- p-Xileno(1)+Metil-ciclohexano(2)<br>75°C .....                        | 144           |
| CAPITULO V.- TEORIA DE FLORY .....  | 155           |
| 5.1.- INTRODUCCION .....  | 155           |
| 5.2.- ECUACION DE ESTADO DE EYRING Y HIRSCHFEL-<br>DER. MODELO DE CELDA ..... | 156           |
| 5.3.- ECUACION DE ESTADO EN LA TEORIA DE FLORY                                | 161           |
| 5.4.- MEZCLAS BINARIAS .....  | 164           |
| 5.5.- ENERGIA LIBRE DE GIBB DE EXCESO .....                                   | 167           |
| 5.6.- CALCULO DE $X_{12}$ Y $v$ EN LA MEZCLA .....                            | 168           |
| 5.7.- CALCULO DE $r$ , $v^*$ Y $s$ .....                                      | 170           |
| 5.8.- PARAMETROS PARA LIQUIDOS PUROS .....                                    | 172           |
| 5.9.- RESULTADOS DE LA TEORIA .....   | 174           |
| RESUMEN Y CONCLUSIONES .....  | 182           |
| BIBLIOGRAFIA .....  | 184           |

## CAPITULO I

### INTRODUCCION

El trabajo llevado a cabo en la presente Memoria forma parte de un estudio general de las propiedades de exceso de sistemas binarios, no polares, que se viene realizando en el Departamento de Química-Física de la Universidad Complutense de Madrid.

La Termodinámica Estadística, basada en el estudio de modelos físicos, ha aportado los conocimientos imprescindibles para el desarrollo de teorías en las disoluciones líquidas. De hecho al mezclar dos líquidos podemos predecir con la ayuda de estas teorías el tipo de variaciones que pueden experimentar sus propiedades. Un análisis sistemático de éstas nos va a permitir evaluar en primer lugar, la energía libre de Gibbs de exceso,  $G^E$ , y por derivación de ella, en función de la temperatura y presión, la entalpia,  $H^E$ , y volumen de exceso,  $V^E$ , respectivamente.

Derivando doblemente  $G^E$ , con respecto a la temperatura, por un lado se obtiene la capacidad calorífica de exceso, y de otro, con relación a la presión, la compresibilidad isotérmica.

El coeficiente de expansión se conoce por derivación con respecto a la temperatura y presión de la energía libre de Gibbs de exceso. El conocimiento de estas magnitudes nos da una visión del comportamiento termodinámico del estado líquido.

Como se sabe, las teorías existentes no son --

sensibles a las derivadas de  $G^E$ , superiores a la segunda, de ahí que hayamos elegido para nuestro estudio la energía libre de Gibbs de exceso en función de la temperatura, presión y composición, como magnitud termodinámica primordial, siendo además la que presenta mayor consistencia con las predicciones teóricas.

Se ha elegido para el desarrollo de esta Memoria el estudio de una serie de sistemas binarios constituidos por el heptano y metil-ciclohexano con benceno y derivados metilados del mismo.

Dentro de las técnicas experimentales existentes, para las medidas de presión de vapor de sistemas binarios, hemos utilizado la ebullometría dinámica que nos proporciona directamente los valores de la presión a temperatura constante, permitiéndonos además la separación de muestras de las fases líquida y de vapor condensado, para obtener posteriormente los datos de composición.

Con los valores experimentales de las presiones de vapor a temperatura constante, se procede al cálculo de los potenciales químicos de exceso en función de la composición, verificándose analítica y gráficamente su consistencia interna, como prueba de validez.

De las diversas teorías existentes acerca del estado líquido, las que toman como modelo esferas rígidas pierden cierta validez al aplicarlas a mezclas de moléculas que poseen una larga cadena, de ahí que haya que prescindir de ellas para el estudio de nuestros sistemas, dada la naturaleza de las moléculas analizadas.

Actualmente, Flory y colaboradores han desarrollado una teoría sobre el estado líquido que presenta una mayor sensibilidad a las variaciones en los valores de  $G^E$ , ---

siendo esta la razón fundamental de que hayamos elegido esta teoría. Su estudio está basado en un modelo molecular simple, suponiendo que entre las moléculas se pone de manifiesto un potencial de interacción sencillo, que una vez calculado nos va a permitir la determinación de  $G^E$ .

En la realización de este trabajo se ha puesto a punto un método iterativo para el conocimiento del parámetro de interacción, y por consiguiente de la energía libre - de Gibbs de exceso, debido a la ausencia de datos experimentales en la Bibliografía.

Y para finalizar, se hace un estudio comparativo de los resultados experimentales y teóricos.

## CAPITULO II

### METODO EXPERIMENTAL

#### 2.1.- DESCRIPCION DEL APARATO

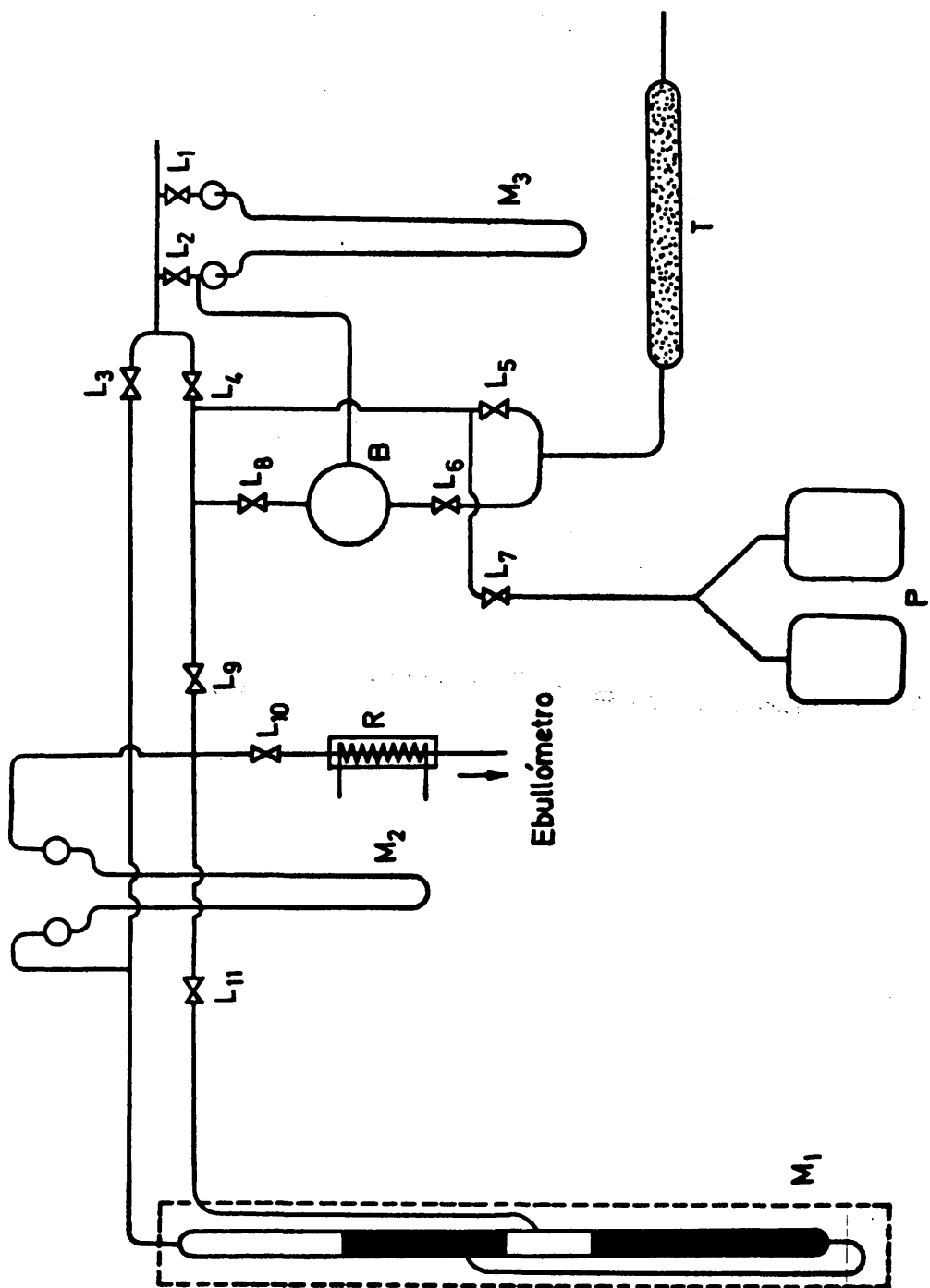
En la determinación de equilibrios líquido-vapor, a temperatura constante, midiendo la presión y composición de ambas fases, hemos utilizado como técnica experimental la ebullometría dinámica, siguiendo las ideas de Brown<sup>1</sup>.

El aparato, fundamentalmente, está constituido por un sistema de vacío, un ebullómetro y tres manómetros, que a continuación describimos en los siguientes apartados:

#### 2.1.1.- Sistema de vacío.

Consta de una bomba de alto vacío EDWARDS, modelo ED 50; una bomba difusora de mercurio y una trampa, es decir un recipiente de vidrio, enfriado con nitrógeno líquido con objeto de condensar los vapores de mercurio que puedan pasar de la difusora y los de las sustancias, evitándose que condensen en la bomba rotatoria.

Este sistema, esquematizado en la Figura 2.1, conecta por la llave  $L_3$  a una rama de los manómetros  $M_1$  y  $M_2$ . El manómetro  $M_3$  está conectado por las llaves  $L_1$  y  $L_2$ , y esta última a su vez, con el balón  $B$ , cuya misión es corregir ligeras modificaciones de presión en el ebullómetro que se realizan mediante la llave  $L_8$ . Y por último, la llave



**Figura 2.1.—ESQUEMA DE VACÍO**

ve  $L_4$  nos permite la comunicación directa con el ebullímetro.

### 2.1.2.- Ebullímetro.

Como se indica en la Figura 2.2, está formado por un vaso de mezcla, VM, una cámara de separación, S, y dos vasos de toma de muestra L y V, conectando al resto del sistema mediante el refrigerante,  $R_2$ .

El recipiente, VM, lleva dos resistencias, una interna y otra externa, regulables por dos autotransformadores cuya misión es respectivamente, evitar ebulliciones tumultuosas del líquido y poner la mezcla en ebullición. Todo el vaso, VM, hasta la cámara de separación, S, va recubierto de sistema aislante.

La cámara de separación, S, lleva alojado un pozo termométrico, P, en el que se introduce la soldadura caliente del termopar, que se describe posteriormente. En esta cámara, como su nombre indica, tiene lugar la separación de las fases líquida y vapor. La primera, cae al vaso de toma de muestra, L, y la fase de vapor queda condensada en el refrigerante  $R_1$ , recogiéndose en el vaso, V. Ambos vasos comienzan a llenarse por su parte inferior y el líquido que rebosa es recogido de nuevo en VM. Mediante un sistema de cierre de imanes,  $I_1$  e  $I_2$ , que se accionan desde el exterior permitiéndonos aislar L y V. Sendos vasos se cierran herméticamente mediante un sistema de Teflón. Las sustancias a medir en el aparato se introducen por  $C_1$  y se adopta un cierre de seguridad de mercurio. El vaciado del aparato se lleva a cabo mediante la llave de Teflón,  $C_2$ .

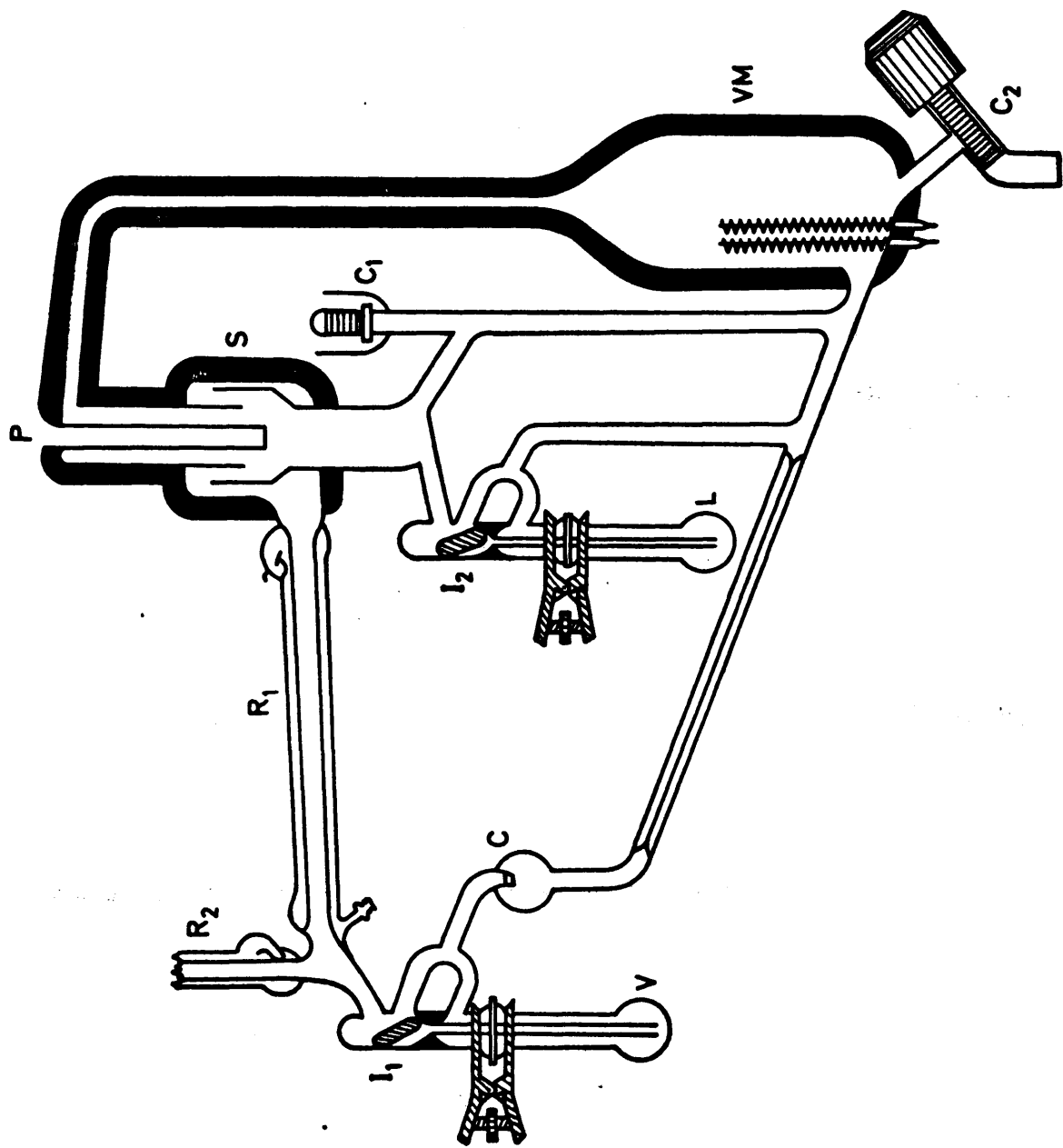


Figura 2.2.- EBULLOMETRO

### 2.1.3.- Sistema manométrico...

Consta fundamentalmente, del manómetro  $M_1$ , que tiene sus ramas en la misma vertical para evitar desplazamientos angulares del catetómetro, lo que proporciona medidas con gran precisión.

El manómetro  $M_2$  se utiliza para poner en primera aproximación el aparato a la temperatura de medida deseada.

Y por último el manómetro  $M_3$ , indicador de la presión que hay en el balón B, se emplea para introducir pequeñas modificaciones en la temperatura.

### 2.2.- MEDIDA DE LA PRESIÓN

Una vez alcanzado el equilibrio de temperatura y composición del sistema, se lee la presión en el manómetro  $M_1$ , como ya se ha indicado en el apartado anterior.

Estas medidas de presión se reducen a valores standard, con objeto de universalizarlas, es decir, a  $0^\circ\text{C}$  y a una aceleración de la gravedad constante ( $g_0 = 980,665 \text{ cm.sg}^{-2}$ ).

Si a cero grados centígrados la densidad del mercurio vale  $\rho_0$  y la aceleración de la gravedad  $g_0$ , en un determinado momento le correspondería una altura  $h_0$ , y como nuestras medidas se realizan a una temperatura  $t_1$ , consecuentemente,  $\rho_1$ ,  $g_1$ , y  $h_1$  serían la densidad, aceleración de gravedad y altura respectivamente, verificándose que:

$$h_1 \rho_1 g_1 = h_0 \rho_0 g_0 \quad (2.1)$$

Si para una temperatura  $t_0$  está calibrada la escala del catetómetro cuyo material posee un coeficiente de

expansión lineal  $\alpha_1$ , la diferencia de nivel que se establece entre las ramas del manómetro es  $h_1'$ , por lo tanto, cuando la escala del catetómetro esté a una temperatura  $t_2$ , se verifica que

$$h_1 = h_1' \{1 + \alpha_1(t_2 - t_0)\} \quad (2.2)$$

La densidad  $\rho_1$  del mercurio a la temperatura  $t_1$  puede expresarse mediante la ecuación:

$$\rho_0 = \rho_1(1 + \alpha_M t_1) \quad (2.3)$$

donde  $\alpha_M$  es el coeficiente de dilatación cúbica medio del mercurio a temperatura ambiente. Sustituyendo esta ecuación y la (2.2) en la (2.1), obtenemos que:

$$h_0 = h_1' \{1 + \alpha_1(t_2 - t_0)\} \frac{1}{1 + \alpha_M t_1} \frac{g_1}{g_0} \quad (2.4)$$

y como

$$\frac{1}{1 + \alpha_M t_1} = 1 - \alpha_M t_1 \quad (2.5)$$

podemos poner:

$$h_0 = h_1' \{1 + \alpha_1(t_2 - t_0)\} (1 - \alpha_M t_1) \frac{g_1}{g_0} \quad (2.6)$$

donde

$h_0$  = altura o presión standard.

$h'_1$  = altura o presión medida con el catetómetro.

$\alpha_1 = 1,84 \cdot 10^{-5}$  (grados $^{-1}$ ). Para el latón $^2$ .

$\alpha_M = 1,818 \cdot 10^{-4}$  (grados $^{-1}$ ) $^3$ .

$t_0 = 20,0^\circ\text{C}$  temperatura de calibrado del catetómetro.

$t_2$  = temperatura a la que se encuentra el catetómetro en el intervalo de la medida.

$t_1$  = temperatura del manómetro durante la medida.

$g_1 = 979,953$  (cm.sg $^{-2}$ ) en Madrid.

$g_0 = 980,665$  (cm.sg $^{-2}$ ) standard.

En este caso las temperaturas del manómetro y de la escala del catetómetro se igualan  $t_1 = t_2$  y por consiguiente la ecuación (2.6) se transforma en:

$$h_0 = h'_1 \{1 + t_1(\alpha_1 - \alpha_M) - \alpha_1 t_0\} \frac{g_1}{g_0} \quad (2.7)$$

Para mayor comodidad se ha tabulado en función de  $t_1$ :

$$f = \{1 + t_1(\alpha_1 - \alpha_M) - \alpha_1 t_0\} \frac{g_1}{g_0}. \quad (2.8)$$

habiéndose recogido en la tabla 2.1. La ecuación (2.7), entonces adopta la forma:

$$h_0 = h'_1 f \quad (2.9)$$

permitiéndonos reducir todas las presiones a valores standards.

Tabla 2.1

| $t^{\circ}\text{C}$ | f       |
|---------------------|---------|---------------------|---------|---------------------|---------|---------------------|---------|---------------------|---------|
| 16,0                | 0,99629 | 17,0                | 0,99613 | 18,0                | 0,99596 | 19,0                | 0,99580 | 20,0                | 0,99564 |
| 1                   | 0,99627 | 1                   | 0,99611 | 1                   | 0,99595 | 1                   | 0,99578 | 1                   | 0,99562 |
| 2                   | 0,99626 | 2                   | 0,99609 | 2                   | 0,99593 | 2                   | 0,99577 | 2                   | 0,99560 |
| 3                   | 0,99624 | 3                   | 0,99608 | 3                   | 0,99591 | 3                   | 0,99575 | 3                   | 0,99559 |
| 4                   | 0,99623 | 4                   | 0,99606 | 4                   | 0,99590 | 4                   | 0,99573 | 4                   | 0,99557 |
| 5                   | 0,99621 | 5                   | 0,99605 | 5                   | 0,99588 | 5                   | 0,99572 | 5                   | 0,99555 |
| 6                   | 0,99619 | 6                   | 0,99603 | 6                   | 0,99587 | 6                   | 0,99570 | 6                   | 0,99554 |
| 7                   | 0,99618 | 7                   | 0,99601 | 7                   | 0,99585 | 7                   | 0,99568 | 7                   | 0,99552 |
| 8                   | 0,99616 | 8                   | 0,99600 | 8                   | 0,99583 | 8                   | 0,99567 | 8                   | 0,99550 |
| 9                   | 0,99614 | 9                   | 0,99598 | 9                   | 0,99582 | 9                   | 0,99565 | 9                   | 0,99549 |
| 21,0                | 0,99547 | 22,0                | 0,99531 | 23,0                | 0,99515 | 24,0                | 0,99498 | 25,0                | 0,99482 |
| 1                   | 0,99546 | 1                   | 0,99529 | 1                   | 0,99513 | 1                   | 0,99497 | 1                   | 0,99481 |
| 2                   | 0,99544 | 2                   | 0,99528 | 2                   | 0,99511 | 2                   | 0,99495 | 2                   | 0,99479 |
| 3                   | 0,99542 | 3                   | 0,99526 | 3                   | 0,99510 | 3                   | 0,99493 | 3                   | 0,99477 |
| 4                   | 0,99541 | 4                   | 0,99524 | 4                   | 0,99508 | 4                   | 0,99492 | 4                   | 0,99476 |
| 5                   | 0,99539 | 5                   | 0,99523 | 5                   | 0,99506 | 5                   | 0,99490 | 5                   | 0,99474 |
| 6                   | 0,99537 | 6                   | 0,99521 | 6                   | 0,99505 | 6                   | 0,99488 | 6                   | 0,99472 |
| 7                   | 0,99536 | 7                   | 0,99519 | 7                   | 0,99503 | 7                   | 0,99487 | 7                   | 0,99471 |
| 8                   | 0,99534 | 8                   | 0,99518 | 8                   | 0,99502 | 8                   | 0,99485 | 8                   | 0,99469 |
| 9                   | 0,99533 | 9                   | 0,99516 | 9                   | 0,99500 | 9                   | 0,99484 | 9                   | 0,99468 |
| 26,0                | 0,99466 | 27,0                | 0,99450 | 28,0                | 0,99433 | 29,0                | 0,99417 | 30,0                | 0,99401 |
| 1                   | 0,99464 | 1                   | 0,99448 | 1                   | 0,99432 | 1                   | 0,99416 | 1                   | 0,99399 |
| 2                   | 0,99463 | 2                   | 0,99446 | 2                   | 0,99430 | 2                   | 0,99414 | 2                   | 0,99398 |
| 3                   | 0,99461 | 3                   | 0,99445 | 3                   | 0,99429 | 3                   | 0,99412 | 3                   | 0,99396 |
| 4                   | 0,99459 | 4                   | 0,99443 | 4                   | 0,99427 | 4                   | 0,99411 | 4                   | 0,99394 |
| 5                   | 0,99458 | 5                   | 0,99441 | 5                   | 0,99425 | 5                   | 0,99409 | 5                   | 0,99393 |
| 6                   | 0,99456 | 6                   | 0,99440 | 6                   | 0,99424 | 6                   | 0,99407 | 6                   | 0,99391 |
| 7                   | 0,99454 | 7                   | 0,99438 | 7                   | 0,99422 | 7                   | 0,99405 | 7                   | 0,99389 |
| 8                   | 0,99453 | 8                   | 0,99437 | 8                   | 0,99420 | 8                   | 0,99404 | 8                   | 0,99388 |
| 9                   | 0,99451 | 9                   | 0,99435 | 9                   | 0,99419 | 9                   | 0,99402 | 9                   | 0,99386 |

### 2.3.- MEDIDA DE LA TEMPERATURA

Para la medida de la temperatura se ha utilizado un termopar cobre-constantan de cinco soldaduras. En el pozo termométrico P, está introducida la soldadura caliente y la fría en un vaso Dewar que a su vez contiene una mezcla agua-hielo bidestilada.

En serie con el termopar, se intercala, un potenciómetro VERNIER, con un galvanómetro KIPP A-7C-1774, cuya sensibilidad es de  $0,5 \mu\text{V}$ . Como pila de referencia se ha empleado una WESTON CAMBRIDGE, cuyo potencial es de  $1,01860 \pm 0,00005$  voltios a  $20^\circ\text{C}$ .

Para el conocimiento de la temperatura correspondiente al potencial leído,  $E_{ob}$ , Adams<sup>3</sup>, ha elaborado unas tablas para los sistemas termopares de cobre-constantan que nos dan la f.e.m.,  $E_A$ , creada para la diferencia de temperatura. Los valores de  $\Delta E$ , proporcionados a partir de un calibrado, vienen relacionados por la expresión

$$\Delta E = \frac{E_{ob}}{n} - E_A \quad (2.10)$$

siendo n el número de soldaduras del termopar.

Previamente, ha sido calibrado este termopar en el intervalo de temperaturas en el que hemos realizado todas nuestras medidas experimentales.

### 2.4.- DETERMINACION DE LA COMPOSICION DE LAS FASES LIQUIDA Y VAPOR

La técnica experimental que nos ha permitido llevar a cabo el análisis de la composición de ambas fases ha sido la refractometría, empleándose un aparato BAUSCH and LAMB, termostatizado, que nos proporciona una apreciación en

la medida de la temperatura de 0,05°C y en el índice de refracción de 0,00003, utilizándose como fuente luminosa una lámpara de sodio.

El calibrado del refractómetro se realiza tomando como patrón de referencia un prisma de índice de refracción previamente conocido.

La composición de ambas fases se ha determinado por medidas de sus índices, que una vez hallados, se comparan con los de sus mezclas de composición conocida.

Para la preparación de las mezclas de composición conocida se ha procedido a la pesada del matraz vacío, a continuación se añade en primer lugar, con la ayuda de una jeringa hipodérmica, una pequeña cantidad del componente menos volátil, a fin de evitar pérdidas por evaporación al introducir el segundo componente, dejándose destapado aproximadamente una hora para establecer el equilibrio líquido-vapor.

Transcurrido este tiempo se tapa, se repite la pesada del matraz, rápidamente le agregamos el componente 2 - hasta completar su volumen, pesándolo nuevamente. A continuación se agita bien para homogeneizar la mezcla y se calcula su índice de refracción. Esta operación se repite sucesivas veces, aumentando progresivamente la cantidad de componente 1 en la mezcla, de forma que obtengamos datos en todo el intervalo de fracciones molares, para cuyo cálculo se definen previamente las siguientes magnitudes:

$M_0$  = pesas que equilibran en la balanza al matraz vacío.

$M_1$  = pesas que equilibran al matraz con el componente 1.

$M_2$  = pesas que equilibran el matraz con ambos componentes.

$\sigma$  = densidad del aire a la temperatura ambiente.

$\rho_M$  = densidad de las pesas a la temperatura ambiente.

$P_V^1$  = peso del componente 1 en fase vapor.

$P_V^M$  = peso de ambos componentes en fase vapor.

$P_L^M$  = peso de ambos componentes en fase líquida.

$V_T$  = volumen total del matraz.

Considerando el empuje del aire, tenemos:

$$(M_1 - M_0) \left(1 - \frac{\sigma}{\rho_M}\right) = P_L^1 + P_V^1 - V_T \sigma \quad (2.11)$$

$$(M_2 - M_0) \left(1 - \frac{\sigma}{\rho_M}\right) = P_L^M + P_V^M - V_T \sigma \quad (2.12)$$

$P_V^1$  lo hemos calculado suponiendo que el gas se comporta como ideal a la temperatura ambiente.

El volumen ocupado por la fase de vapor de este componente se dedujo restando al volumen total,  $V_T$ , el ocupado por el líquido y este volumen a partir de su peso no corregido, es decir  $(M_1 - M_0)$ , y de la densidad del mismo a la temperatura ambiente.

El valor de  $P_V^M$  es insignificante, ya que el volumen ocupado por las fases de vapor de ambos componentes es despreciable.

Si llamamos  $f = \left(1 - \frac{\sigma}{\rho_M}\right)$

de (2.11) y (2.12) se puede deducir el peso de ambos componentes:

$$P_L^1 = f(M_1 - M_0) + V_T \sigma - P_V^1 \quad (2.13)$$

$$P_L^2 = f(M_2 - M_1) + P_V^1 \quad (2.14)$$

Para calcular las fracciones molares  $x_1$  y  $x_2 = 1 - x_1$ , bastará calcular el número de moles de cada componente, dividiendo los pesos por los correspondientes pesos moleculares,  $Pm_1$  y  $Pm_2$ .

$$x_1 = \frac{\frac{P_L^1}{Pm_1}}{\frac{P_L^1}{Pm_1} + \frac{P_L^2}{Pm_2}} \quad (2.15)$$

De esta forma, se dispone de una tabla de índices de refracción de mezcla frente a composición. Comparando estos valores, con los índices de refracción de las muestras de las fases líquida y de vapor, se pueden calcular las fracciones molares de las mismas.

#### 2.5.- METODO GENERAL DE OPERACION

Una vez fijada la temperatura de medida y establecidos los valores de  $E_A$  y  $\Delta E$ , calculamos la  $E_{ob}$ , mediante la relación (2.10) que ponemos en el potenciómetro. Posteriormente, se prepara una mezcla de agua-hielo, bidestilada, en un vaso Dewar, en el que se introduce la soldadura fría - del termopar.

En la rama superior del manómetro  $M_1$ , se efectúa alto vacío y una vez conseguido, se cierra la llave  $L_3$  para independizarla del sistema de vacío.

Por el cierre  $C_1$ , se llena el ebullímetro del componente 1 para calcular la presión de la sustancia pura a diferentes temperaturas. Una vez cerrado, se introduce vacío a través de la llave  $L_{10}$  como primera aproximación a la presión deseada, con la ayuda del manómetro  $M_2$ . Después se conectan las resistencias interna y externa y cuando el líquido recicla en régimen, se comprueba si la  $E_{ob}$  es la que corresponde a la temperatura de medida, y, de no ser así, a través del balón B, mediante su sistema de llaves  $L_6, L_8$ , se introduce aire o por  $L_2, L_8$ , vacío.

En el momento en que el spot del galvanómetro marca cero, nos encontramos a la temperatura de medida, procediéndose, entonces, a la lectura de la presión en el manómetro  $M_1$  mediante un catetómetro. Los valores de estas medidas son contrastados con los de la bibliografía, lo que nos sirve como criterio de pureza para las sustancias medidas.

A continuación se desconectan las resistencias y se hace llegar aire por el tubo T, cerrando, previamente, la llave  $L_7$  que comunica con los pulmones P.

Por el cierre  $C_1$ , se adiciona una pequeña cantidad del componente 2, se hace vacío en primera aproximación y se conectan las resistencias, regulando la ebullición con los autotransformadores. Para conseguir la temperatura de medida, se vuelve a efectuar, a través del balón B y su sistema de llaves, las correcciones de presión necesarias.

Al principio, se realizan frecuentes ajustes que poco a poco se van espaciando hasta que se alcanza el equilibrio, transcurridas tres o cuatro horas, dependiendo de la naturaleza del sistema. Logrado el equilibrio, procede

mos a la medición de presión del sistema, cerrando en primer lugar la llave  $L_{11}$  para independizar el manómetro  $M_1$  y aislando los vasos de toma de muestra por medio de los cierres magnéticos  $I_1$  e  $I_2$ ; luego se desconectan las resistencias, midiéndose la diferencia de alturas en las ramas del manómetro  $M_1$  con el catetómetro. Esta diferencia corregida a valores standard es el valor de la presión de vapor del equilibrio.

Realizada esta operación, se pone el sistema a la presión atmosférica, enfriándose exteriormente, los vasos  $L$  y  $V$  con agua-hielo, a fin de evitar posibles alteraciones en su composición, sobre todo, el vaso  $L$  que se encuentra prácticamente a la temperatura a la que se ha efectuado la medida.

El análisis de la composición de las fases líquido-vapor se lleva a cabo, separando los vasos del ebullímetro, una vez enfriados, procediendo muy rápidamente, a la determinación del índice de refracción de ambas fases.

De nuevo se colocan los vasos  $L$  y  $V$  introduciéndose otra pequeña cantidad del componente 2 por el cierre  $C_1$ . Todas las operaciones, anteriormente descritas, se repiten hasta alcanzar aproximadamente una composición equimolecular del sistema. Después se vacía el ebullímetro y se seca, llenándolo ahora con el componente 2 del que se calculan sus presiones de vapor a diferentes temperaturas y posteriormente se va añadiendo componente 1 hasta aproximarnos a la fracción molar 0,5.

Mediante este procedimiento nos ha sido posible obtener una serie de valores de  $p$ ,  $x$  e  $y$  a la temperatura constante de medida del sistema. Estos datos nos permiten el cálculo de la energía libre de Gibbs,  $G^E$ , como se detalla en el Capítulo IV.

## CAPITULO III

### SUSTANCIAS PURAS

#### 3.1.- CARACTERISTICAS DE LAS SUSTANCIAS ESTUDIADAS

Para la realización de este trabajo hemos utilizado las sustancias que vienen detalladas en la Tabla 3.1, indicándose, además, la procedencia así como su grado de pureza.

Tabla 3.1

#### Procedencia y grado de pureza

| Sustancia         | Procedencia       | Grado de pureza  |
|-------------------|-------------------|------------------|
| Benceno           | Carlo Erba        | p. cromatografía |
| Tolueno           | Merck             | p. análisis      |
| Ciclohexano       | Carlo Erba        | p. cromatografía |
| n-Heptano         | Fluka             | puriss           |
| Metil-ciclohexano | Hopkin & Williams | p. cromatografía |
| o-Xileno          | Fluka             | puriss           |
| m-Xileno          | Fluka             | puriss           |
| p-Xileno          | Fluka             | puriss           |

Todas las sustancias relacionadas han sido sometidas a un tratamiento, con sodio hilado, habiéndose puri-

- 19 -

ficado, previamente, el ciclohexano y metil-ciclohexano que fueron destilados por fraccionamiento en una columna de 35 platos teóricos, con relación de reflujo, 120/1, recogiendo-se únicamente su porción central.

La pureza de estas sustancias ha sido verificada por medidas de densidad, índice de refracción y presión de vapor a diferentes temperaturas, cuyos valores han sido comprobados con los existentes en la Bibliografía (Tablas -- 3.2 - 3.10) y complementados mediante un análisis de cromatografía de gases.

Tabla 3.2

Densidad e índice de refracción de las sustancias puras

| Sustancia         | $\rho^{25^\circ}$ (g.cm <sup>-3</sup> ) |  | $n_D^{30^\circ}$ |                       |
|-------------------|---|--|------------------|-----------------------|
|                   | Este trabajo                            | Bibliografía                                   | Este trabajo     | Bibliografía          |
| Benceno           | 0,87370                                 | 0,87369 <sup>4</sup><br>0,87366 <sup>5</sup>   | 1,49481          | 1,49478 <sup>17</sup> |
| Tolueno           | 0,86231                                 | 0,86230 <sup>6</sup><br>0,86232 <sup>7</sup>   | 1,49139          | 1,49126 <sup>18</sup> |
| Ciclohexano       | 0,77386                                 | 0,77383 <sup>8</sup><br>0,77390 <sup>9</sup>   | 1,42076          | 1,4210 <sup>19</sup>  |
| n-Heptano         | 0,67982                                 | 0,6798 <sup>10</sup><br>0,67981 <sup>11</sup>  | 1,38255          | 1,38258 <sup>18</sup> |
| Metil-ciclohexano | 0,76512                                 | 0,76512 <sup>12</sup><br>0,76501 <sup>13</sup> | 1,41800          | 1,4182 <sup>20</sup>  |
| o-Xileno          | 0,87514                                 | 0,87596 <sup>6</sup><br>0,8752 <sup>14</sup>   | 1,49988          | 1,50032 <sup>18</sup> |
| m-Xileno          | 0,85987                                 | 0,85990 <sup>6</sup><br>0,8600 <sup>15</sup>   | 1,49204          | 1,49198 <sup>18</sup> |
| p-Xileno          | 0,85661                                 | 0,85666 <sup>13</sup><br>0,8567 <sup>16</sup>  | 1,49056          | 1,49059 <sup>25</sup> |

- 20 -

Tabla 3.3

Presiones de vapor del benceno

| t°C  | p(mm.Hg)     |                         |
|------|--------------|-------------------------|
|      | Este trabajo | Fortziati <sup>17</sup> |
| 40,0 | 183,01       | 182,79                  |
| 45,0 | 223,45       | 223,50                  |
| 50,0 | 271,24       | 271,27                  |
| 55,0 | 327,03       | 326,94                  |
| 60,0 | 391,56       | 391,44                  |
| 65,0 | 465,61       | 465,72                  |
| 70,0 | 550,78       | 550,80                  |
| 75,0 | 647,84       | 647,75                  |

Los valores de Fortziati han sido calculados a partir de la ecuación:

$$\log p = 6,91210 - \frac{1214,645}{t+221,205} \quad (3.1)$$

Tabla 3.4

Presiones de vapor del tolueno

| t°C  | p(mm.Hg)     |                       |
|------|--------------|-----------------------|
|      | Este trabajo | Rossini <sup>21</sup> |
| 45,0 | 74,09        | 74,13                 |
| 50,0 | 92,22        | 92,11                 |
| 55,0 | 113,76       | 113,56                |
| 60,0 | 138,91       | 138,96                |
| 65,0 | 169,00       | 168,83                |
| 70,0 | 203,69       | 203,75                |
| 75,0 | 244,27       | 244,33                |
| 80,0 | 291,12       | 291,22                |

Los valores de Rossini han sido calculados según la ecuación

$$\log p = 6,95464 - \frac{1344,80}{t+219,482} \quad (3.2)$$

Tabla 3.5

Presiones de vapor del ciclohexano

| t°C  | p (mm.Hg)    |                      |
|------|--------------|----------------------|
|      | Este trabajo | Jordan <sup>22</sup> |
| 40,0 | 184,67       | 184,69               |
| 45,0 | 224,91       | 224,86               |
| 50,0 | 271,96       | 271,80               |
| 55,0 | 326,44       | 326,30               |
| 60,0 | 389,27       | 389,20               |
| 65,0 | 461,65       | 461,40               |
| 70,0 | 543,75       | 543,83               |
| 75,0 | 637,43       | 637,45               |

Los valores de Jordan han sido calculados mediante la ecuación

$$\log p = 6,84498 - \frac{1203,526}{t+222,863} \quad (3.3)$$

Tabla 3.6

Presiones de vapor del n-heptano

| t°C  | p(mm.Hg)     |                    |
|------|--------------|--------------------|
|      | Este trabajo | Brown <sup>1</sup> |
| 50,0 | 141,57       | 141,64             |
| 55,0 | 173,20       | 173,25             |
| 60,0 | 210,38       | 210,32             |
| 65,0 | 252,62       | 252,77             |
| 70,0 | 303,54       | 303,79             |
| 75,0 | 361,55       | 361,79             |
| 80,0 | 427,98       | 428,20             |

Los valores de Brown han sido calculados por -  
la ecuación

$$\log p = 6,88686 - \frac{1258,27}{t+215,701} \quad (3.4)$$

Tabla 3.7

Presiones de vapor del metil-ciclohexano

| t°C  | p(mm.Hg)     |                       |
|------|--------------|-----------------------|
|      | Este trabajo | Rossini <sup>21</sup> |
| 40,0 | 91,21        | 91,57                 |
| 45,0 | 112,60       | 112,98                |
| 50,0 | 137,92       | 138,31                |
| 55,0 | 167,72       | 168,10                |
| 60,0 | 202,54       | 202,89                |
| 65,0 | 242,87       | 243,28                |
| 70,0 | 289,41       | 289,89                |
| 75,0 | 342,99       | 343,40                |
| 80,0 | 404,06       | 404,51                |

Los valores de Rossini han sido calculados teniendo en cuenta la ecuación

$$\log p = 6,82689 - \frac{1272,864}{t+221,63} \quad (3.5)$$

Tabla 3.8

Presiones de vapor del o-xileno

| t°C  | p(mm.Hg)     |                          |
|------|--------------|--------------------------|
|      | Este trabajo | Willingham <sup>23</sup> |
| 60,0 | 40,92        | 40,81                    |
| 65,0 | 51,13        | 50,98                    |
| 70,0 | 63,37        | 63,19                    |
| 75,0 | 78,00        | 77,74                    |
| 80,0 | 95,20        | 94,97                    |

Los valores de Willingham han sido calculados a partir de la ecuación

$$\log p = 7,00154 - \frac{1476,393}{t+213,872} \quad (3.6)$$

Tabla 3.9

Presiones de vapor del m-xileno

| t°C  | p(mm.Hg)     |                   |
|------|--------------|-------------------|
|      | Este trabajo | Chu <sup>24</sup> |
| 55,0 | 39,48        | 39,39             |
| 60,0 | 49,47        | 49,41             |
| 65,0 | 61,36        | 61,47             |
| 70,0 | 75,93        | 75,90             |
| 75,0 | 93,07        | 93,03             |
| 80,0 | 113,34       | 113,24            |

Los valores de Chu han sido calculados según -  
la ecuación

$$\log p = 7,00908 - \frac{1462,266}{t+215,105} \quad (3.7)$$

Tabla 3.10

Presiones de vapor del p-xileno

| t°C  | p(mm.Hg)     |                   |
|------|--------------|-------------------|
|      | Este trabajo | Chu <sup>24</sup> |
| 55,0 | 41,10        | 41,07             |
| 60,0 | 51,49        | 51,43             |
| 65,0 | 63,90        | 63,88             |
| 70,0 | 78,84        | 78,75             |
| 75,0 | 96,54        | 96,38             |
| 80,0 | 117,33       | 117,16            |

Los valores de Chu han sido calculados median-  
te la ecuación

$$\log p = 6,99052 - \frac{1453,430}{t+215,307} \quad (3.8)$$

### 3.2.- VOLUMEN MOLAR

Para el cálculo de la energía libre de Gibbs - de exceso,  $G_E^E$ , es necesario el conocimiento del volumen molar,  $v$ , a la temperatura de medida. Para ello, hemos utilizado las ecuaciones siguientes:

Benceno<sup>26</sup>

$$V_e = 1,11062 + 1,3105 \cdot 10^{-3}t + 1,477 \cdot 10^{-6}t^2 + 7,65 \cdot 10^{-9}t^3 \quad (3.9)$$

Tolueno<sup>27</sup>

$$\frac{d\rho}{dt} = -0,000938099 \{1+0,00096907(t-20)\} \quad (3.10)$$

Ciclohexano<sup>28</sup>

$$V_e = 1,25459 + 1,4362 \cdot 10^{-3}t + 2,529 \cdot 10^{-6}t^2 + 5,37 \cdot 10^{-9}t^3 \quad (3.11)$$

n-Heptano<sup>29</sup>

$$\rho = 0,7005 - 0,08498 \cdot 10^{-2}t + 0,00185 \cdot 10^{-4}t^2 - 0,0047 \cdot 10^{-6}t^3 - 0,000281 \cdot 10^{-8}t^4 \quad (3.12)$$

Metil-ciclohexano<sup>25</sup>

$$\rho = 0,78657 - 8,64535 \cdot 10^{-4}t - 5,70465 \cdot 10^{-8}t^2 - 1,21213 \cdot 10^{-9}t^3 - 4,90787 \cdot 10^{-12}t^4 \quad (3.13)$$

*o*-Xileno<sup>27</sup>

$$\frac{d\rho}{dt} = 0,000844595 \{1+0,000703996(t-20)\} \quad (3.14)$$

*m*-Xileno<sup>27</sup>

$$\frac{d\rho}{dt} = 0,00085791 \{1+0,000542(t-20)\} \quad (3.15)$$

p-Xileno<sup>27</sup>

$$\frac{d\rho}{dt} = -0,00086265 \{1+0,000747(t-20)\} \quad (3.16)$$

donde:

$V_e$  = volumen específico ( $\text{cm}^3 \cdot \text{g}^{-1}$ )

$\rho$  = densidad ( $\text{g} \cdot \text{cm}^{-3}$ )

$\frac{d\rho}{dt}$  es la derivada de la densidad con respecto  
a la temperatura.

Para calcular la densidad a la temperatura deseada, se partió de la medida de densidad a 25°C realizada por nosotros.

### 3.3.- SEGUNDO COEFICIENTE DEL VIRIAL

Los valores del segundo coeficiente del virial, B, para las diferentes sustancias estudiadas, salvo el p-xileno y metil-ciclohexano, a la temperatura de medida, se han obtenido mediante la ecuación:

$$B = \sum_{i=0} C_i T^i \quad (3.17)$$

siendo C los coeficientes que nos relacionan la variación de B con la temperatura, T.

Los coeficientes de la ecuación (3.17) se dan en la Tabla 3.11, junto con sus desviaciones standards.

De la bibliografía para el benceno y ciclohexano, se han tomado los coeficientes de R. Cheda<sup>30</sup>; para el n-heptano, de Diaz Peña<sup>31</sup>; y para el tolueno, o-xileno y --

Tabla 3.11

## Coeficientes de la ecuación del virial

| Sustancia   | $C_0 10^{-2}$ | $C_1 10^{-5}$ | $C_2 10^{-8}$ | $C_3 10^{-10}$ | $C_4 10^{-12}$ | $\sigma$ |
|-------------|---------------|---------------|---------------|----------------|----------------|----------|
| Benceno     | 3,2055        | -4,4046       | 1,2521        | -4,5926        | -----          | 6,17     |
| Tolueno     | -231,125      | 286,161       | -117,560      | 152,972        | -----          | 33,10    |
| Ciclohexano | 4,3512        | -5,8783       | 1,7597        | -5,5760        | -----          | -----    |
| n-Heptano   | 23,897        | -35,277       | 16,272        | -31,749        | -5,2956        | 6,33     |
| o-Xileno    | -403,571      | 453,105       | -166,926      | 190,244        | -----          | 30,27    |
| m-Xileno    | -199,513      | 214,123       | -72,5916      | 64,6937        | -----          | 15,98    |

m-xileno de Saez Diaz<sup>32</sup>.

Los coeficientes del p-xileno se han obtenido de la representación gráfica de los datos experimentales de Cox<sup>33</sup> y Andon<sup>34</sup>. Para el caso del metil-ciclohexano por carecer de datos experimentales se ha procedido al cálculo de -- los coeficientes a partir de sus constantes críticas<sup>35</sup>.

#### 3.4.- RESULTADOS

En la Tabla 3.12, hemos recogido los valores calculados para el volumen molar, v, y el segundo coeficiente del virial, B, de las sustancias puras a la temperatura de medida.

Tabla 3.12

Valores del volumen molar, v, y segundo coeficiente  
del virial, B, en función de la temperatura

| Sustancia         | t°C  | v( $\text{cm}^3 \text{mol}^{-1}$ ) | -B( $\text{cm}^3 \text{mol}^{-1}$ ) |
|-------------------|------|------------------------------------|-------------------------------------|
| Benceno           | 70,0 | 94,692                             | 1036,0                              |
|                   | 75,0 | 95,335                             | 999,9                               |
| Tolueno           | 75,0 | 113,350                            | 1657,3                              |
| Ciclohexano       | 70,0 | 115,249                            | 1163,0                              |
| n-Heptano         | 75,0 | 157,622                            | 1847,9                              |
| Metil-ciclohexano | 75,0 | 136,234                            | 1463,8                              |
| o-Xileno          | 75,0 | 127,493                            | 2845,9                              |
| m-Xileno          | 75,0 | 130,159                            | 2768,0                              |
| p-Xileno          | 75,0 | 130,793                            | 2704,0                              |

## CAPITULO IV

### DATOS EXPERIMENTALES

El objetivo fundamental de nuestro trabajo -- es la determinación de la energía libre de Gibbs de exceso,  $G^E$ , en sistemas binarios, a partir de medidas de presión de vapor, basándonos, en un estudio termodinámico comparativo de las propiedades de sus mezclas, que presentan un comportamiento no ideal, frente a las que adoptarían en la idealidad.

Para ello, se ha procedido a un conocimiento previo de los apartados que a continuación detallamos.

#### 4.1.- MEZCLAS DE COMPOSICION CONOCIDA

El cálculo del índice de refracción de exceso,  $n^E$ , requiere el conocimiento de los valores de la fracción molar e índice de refracción de las mezclas de composición conocida, especificados en el Capítulo II.

Partiendo de la ecuación

$$n^E = n - (x_1 n_1 + x_2 n_2) \quad (4.1)$$

donde:

$n$  = índice de refracción de la mezcla

$x_1$  = fracción molar del componente 1

$n_1$  = índice de refracción del componente 1 puro

$x_2$  = fracción molar del componente 2

$n_2$  = índice de refracción del componente 2 puro

La temperatura de medida de los índices de refracción fue de 30,0°C.

Para cada sistema, hemos elaborado una tabla con los valores de la fracción molar, índice de refracción e índice de refracción de exceso, junto a las diferencias existentes en los valores de los índices experimentales, respecto a los calculados, para el grado del ajuste elegido en cada sistema.

Los datos experimentales se han ajustado a las ecuaciones siguientes

$$n = \sum_{i=0}^n A_i x_1^i \quad (4.2)$$

$$n^E = x_1 x_2 \sum_{i=0}^n A_i (x_1 - x_2)^i \quad (4.3)$$

siendo  $A_i$  los coeficientes del polinomio de ajuste.

En esta misma tabla adjuntamos los valores calculados del índice de refracción y el del exceso, así como el coeficiente de ambos ajustes y sus desviaciones standard,  $\sigma$ .

De todos los ajustes del polinomio, hemos elegido el que teniendo menor grado se aproxima más a nuestros valores experimentales.

A continuación de cada tabla hemos representado, para el grado de ajuste seleccionado, los valores del índice de refracción y los de exceso. En estas Figuras 4.1, -- 4.6, 4.11, 4.16, 4.21, 4.26, 4.31, 4.36 y 4.41, los polinomios de ambos ajustes vienen representados por líneas de trazo continuo y los datos experimentales por puntos blancos.

#### 4.2.- PRESIONES DE VAPOR

Con los coeficientes de los ajustes de las mezclas de composición conocida, elegidos en el apartado anterior, hemos determinado las fracciones molares de las fases líquida y vapor, obteniéndose para ambos ajustes resultados concordantes. Para todos nuestros cálculos, hemos tomado el ajuste correspondiente al del índice de refracción de las mezclas.

Para todos los sistemas estudiados, damos las Tablas 4.2, 4.9, 4.14, 4.19, 4.24, 4.29, 4.34, 4.39 y 4.44, correspondientes a sus presiones de vapor, especificando los valores de las fracciones molares, de las fases líquida y vapor,  $x_1$  e  $y_1$  respectivamente, junto a la presión total medida,  $p$ , y las presiones parciales calculadas  $p_1$  y  $p_2$ , a la temperatura de 75,0°C, excepto el sistema ciclohexano(1)+benceno(2), medido a 70,0°C.

Seguidamente hemos representado en las Figuras 4.2, 4.7, 4.12, 4.17, 4.22, 4.27, 4.32, 4.37 y 4.42 la fase de vapor frente a la líquida, y en las 4.3, 4.8, 4.13, 4.18, 4.23, 4.28, 4.33, 4.38 y 4.43, las presiones en función de la composición del componente 1, en fase líquida. En ambas representaciones el trazo discontinuo refleja la idealidad.

#### 4.3.- FUNCION DE GIBBS DE EXCESO

Si consideramos una mezcla de dos gases, se puede demostrar, por consideraciones termodinámicas<sup>36</sup> que, los potenciales químicos de cada uno de los componentes en la mezcla,  $\mu_1^V$  y  $\mu_2^V$ , vienen dados en función de  $V$  y  $T$ , por las expresiones:

$$\mu_1^V = \mu_1^+ + RT \ln \frac{n_1 RT}{V p^+} + \frac{2RT}{V} (B_{11} n_1 + B_{12} n_2) \quad (4.4)$$

$$\frac{V}{\mu_2} = \mu_2^+ + RT \ln \frac{n_2^{RT}}{V p^+} + \frac{2RT}{V} (B_{22} n_2 + B_{12} n_1) \quad (4.5)$$

siendo:

- $\mu_1^+$  = potencial químico standard del componente 1.
- $\mu_2^+$  = potencial químico standard del componente 2.
- $p^+$  = presión de referencia para la que usualmente se toma el valor de una atmósfera.
- $B_{11}$  = segundo coeficiente del virial de la sustancia pura 1.
- $B_{22}$  = segundo coeficiente del virial de la sustancia pura 2.
- $B_{12}$  = segundo coeficiente del virial de interacción de ambas sustancias 1 y 2.

El cálculo de  $B_{12}$  se ha efectuado mediante la ecuación

$$B_{12} = \left( \frac{B_{11}^{1/3} + B_{22}^{1/3}}{2} \right)^3 \quad (4.6)$$

suponiendo que la mezcla gaseosa sigue una ecuación de estado de la forma

$$\frac{pV}{(n_1+n_2)RT} = 1 + \frac{B^M (n_1+n_2)}{V} + \dots \quad (4.7)$$

donde  $B^M$ , es el segundo coeficiente del virial de la mezcla, que se puede expresar como:

$$B^M = B_{11} y_1^2 + 2B_{12} y_1 y_2 + B_{22} y_2^2 \quad (4.8)$$

Sustituyendo  $B^M$  en la ecuación (4.7) y haciendo el cambio de la variable V por p, en las ecuaciones (4.4) y (4.5) obtenemos:

$$\mu_1^V = \mu_1^+ + RT \ln y_1 + RT \ln \frac{p}{p^+} + p \{ B_{11} - y_2^2 (B_{11} - 2B_{12} + B_{22}) \} \quad (4.9)$$

$$\mu_2^V = \mu_2^+ + RT \ln y_2 + RT \ln \frac{p}{p^+} + p \{ B_{22} - y_1^2 (B_{11} - 2B_{12} + B_{22}) \} \quad (4.10)$$

Ecuaciones que proporcionan los potenciales químicos en función de p y T.

Llamando  $\delta_{12} = B_{11} - 2B_{12} + B_{22}$  y teniendo en cuenta que las presiones parciales de cada componente vienen definidas por:

$$p_1 = py_1 \quad y \quad p_2 = py_2 \quad (4.11)$$

Las ecuaciones (4.9) y (4.10) se pueden expresar por:

$$\mu_1^V = \mu_1^+ + RT \ln \frac{p_1}{p^+} + p(B_{11} + y_2^2 \delta_{12}) \quad (4.12)$$

$$\mu_2^V = \mu_2^+ + RT \ln \frac{p_2}{p^+} + p(B_{22} + y_1^2 \delta_{12}) \quad (4.13)$$

Los potenciales químicos de los componentes puros antes de la mezcla serían:

$$\mu_1^\circ (p_1^\circ) = \mu_1^+ + RT \ln \frac{p_1^\circ}{p^+} + p_1^\circ B_{11} \quad (4.14)$$

$$\mu_2^\circ (p_2^\circ) = \mu_2^+ + RT \ln \frac{p_2^\circ}{p^+} + p_2^\circ B_{22} \quad (4.15)$$

y restando (4.14) de (4.12) y (4.15) de (4.13)

$$\mu_1(p) - \mu_1^\circ(p_1^\circ) = RT \ln \frac{p_1}{p_1^\circ} + (p-p_1^\circ)B_{11} + py_2^2\delta_{12} \quad (4.16)$$

$$\mu_2(p) - \mu_2^\circ(p_2^\circ) = RT \ln \frac{p_2}{p_2^\circ} + (p-p_2^\circ)B_{22} + py_1^2\delta_{12} \quad (4.17)$$

donde hemos escrito  $\mu(p) - \mu^\circ(p^\circ)$  para resaltar la dependencia de  $\mu$  con la presión, siendo  $p_1^\circ$  y  $p_2^\circ$  las presiones de vapor de los componentes 1 y 2 puros.

Obtenidos ya los potenciales químicos en la fase gaseosa, pasamos a calcularlos en la fase líquida, siendo deseable que todos los potenciales químicos estén relacionados con la misma presión de referencia  $p^+$ .

A temperatura constante, se tiene:

$$\frac{\partial \mu_1}{\partial p} = \frac{\partial^2 G}{\partial p \partial n_1} = -\frac{\partial V_1}{\partial n_1} = v_1 \quad (4.18)$$

donde  $V_1$  es el volumen molar parcial. De esta última ecuación se obtiene para el componente 1 en la mezcla

$$\int_{p^+}^p d\mu_1 = \int_{p^+}^p v_1 dp \quad (4.19)$$

$$\mu_1(p) - \mu_1(p^+) = \int_{p^+}^p v_1 dp \approx v_1(p-p^+) \quad (4.20)$$

y para el componente 1 puro

$$\int_{p^+}^{p_1^\circ} d\mu_1 = \int_{p^+}^{p_1^\circ} v_1^\circ dp \quad (4.21)$$

$$\mu_1^\circ(p_1^\circ) - \mu_1^\circ(p^+) = \int_{p^+}^{p_1^\circ} v_1^\circ dp = v_1^\circ(p_1^\circ - p^+) \quad (4.22)$$

con expresiones análogas para el componente 2.

En la resolución de las integrales anteriores, se supone que el volumen es independiente de la presión, en el intervalo de integración. Esto se cumple siempre que la presión de referencia  $p^+$  no exceda a la presión medida en varias atmósferas. Para la mayoría de las mezclas líquidas se puede suponer que el volumen molar parcial de cada componente es el mismo que el del componente puro, o lo que es igual, el volumen de mezcla es cero. Según esto, la ecuación (4.20) adopta la forma:

$$\mu_1(p) - \mu_1^\circ(p^+) = v_1^\circ(p - p^+) \quad (4.23)$$

Si definimos el potencial químico de mezcla -- por:

$$\mu_1^M = \mu_1(p^+) - \mu_1^\circ(p^+) \quad (4.24)$$

y sustituyendo ahora  $\mu_1(p^+)$  y  $\mu_1^\circ(p^+)$  por sus valores dados en (4.22) y (4.23), se obtiene:

$$\mu_1^M = \mu_1(p) - \mu_1^\circ(p_1^\circ) - v_1^\circ(p - p_1^\circ) \quad (4.25)$$

expresión que nos da el potencial químico de la mezcla en fase líquida.

La condición de equilibrio exige que:

$$\begin{aligned}\mu_1^L &= \mu_1^V \\ \mu_2^L &= \mu_2^V\end{aligned}\quad (4.26)$$

Por lo tanto, podemos sustituir en (4.25) ----  $\mu_1(p) - \mu_1^\circ(p_1^\circ)$  por su valor en la fase gaseosa dado por ---- (4.16), obteniéndose:

$$\mu_1^M = RT \ln \frac{p_1}{p_1^\circ} + (B_{11} - v_1^\circ)(p - p_1^\circ) + py_2^2 \delta_{12} \quad (4.27)$$

y como

$$\mu_1^E = \mu_1^M - \mu_1^{M,id} \quad (4.28)$$

y

$$\mu_1^{M,id} = RT \ln x_1 \quad (4.29)$$

se obtiene, finalmente:

$$\mu_1^E = RT \ln \frac{py_1}{x_1 p_1^\circ} + (B_{11} - v_1^\circ)(p - p_1^\circ) + py_2^2 \delta_{12} \quad (4.30)$$

análogamente

$$\mu_2^E = RT \ln \frac{py_2}{x_2 p_2^\circ} + (B_{22} - v_2^\circ)(p - p_2^\circ) + py_1^2 \delta_{12} \quad (4.31)$$

y la energía libre de Gibbs de exceso

$$G^E = x_1 \mu_1^E + x_2 \mu_2^E \quad (4.32)$$

Con nuestros datos experimentales y los valores que figuran en la Tabla 3.12, se ha procedido al cálculo de los potenciales químicos, que nos han conducido a la determinación de la energía libre de Gibbs de exceso, recopilándose todo ello en una tabla para cada sistema medido (Tablas 4.3, 4.10, 4.15, 4.20, 4.25, 4.30, 4.35, 4.40 y 4.45).

Los valores de  $G^E$  se han ajustado a un polinomio del tipo

$$G^E = x_1 x_2 \sum_{i=0}^n A_i (x_1 - x_2)^i \quad (4.33)$$

obteniéndose los coeficientes de este ajuste, que se dan en una nueva tabla, indicando sus desviaciones standard. Completándose con los valores calculados del ajuste para los distintos grados del polinomio (Tablas 4.4, 4.11, 4.16, 4.21, 4.26, 4.31, 4.36, 4.41 y 4.46).

Para finalizar este apartado, representamos en las Figuras (4.4, 4.9, 4.14, 4.19, 4.24, 4.29, 4.34, 4.39 y 4.44) los valores de  $G^E$  frente a  $x_1$ . La línea de trazo continuo indica el polinomio de ajuste, elegido convenientemente para cada sistema. En la Figura 4.4 juntamente con nuestros valores experimentales, se han representado los bibliográficos de Scatchard<sup>37</sup>, R. Cheda<sup>30</sup> y Sáez<sup>32</sup>, comprobándose su perfecta concordancia.

#### 4.4.- CONSISTENCIA TERMODINAMICA

Un equilibrio líquido-vapor queda establecido por las medidas experimentales de las variables, presión y composición de ambas fases. En la práctica, estas medidas vienen afectadas de ciertos errores debidos al dispositivo experimental utilizado, o al mismo proceso de medida.

Cuando hallamos una discrepancia en la representación gráfica de la variable medida, respecto de las restantes, es indicativo, sin duda, que la medida es incorrecta. Aunque, a veces, un ajuste de todos los valores a una determinada ley o curva no es una total garantía de la consistencia de dichos valores, ya que, simplemente, un error sistemático no quedaría reflejado en un análisis de este tipo.

Es por ello, que la consistencia de datos experimentales hay que buscarla en el cumplimiento de estos valores como variables termodinámicas que son, y además relacionarlos con los de validez universal. Este es, precisamente, el tratamiento que hemos seguido para el desarrollo de este trabajo y que a continuación detallamos.

#### 4.4.1.- *Método gráfico*

La ecuación de Gibbs-Duhem aplicada a funciones de exceso de sistemas formados por dos componentes líquidos, establece que:

$$x_1 \left( \frac{\partial \mu_1^E}{\partial x_1} \right)_{T,p} + x_2 \left( \frac{\partial \mu_2^E}{\partial x_2} \right)_{T,p} = 0 \quad (4.34)$$

La aplicación directa de esta ecuación es laboriosa, ya que implicaría o bien un ajuste de los valores de  $\mu^E$  para obtener una ecuación del tipo  $\mu^E = \mu^E(x)$ , o la representación gráfica de  $\mu^E$  frente a  $x$ , y, posteriormente, obtención del valor de las derivadas por el cálculo gráfico de las pendientes de las tangentes a la curva, lo que lleva consigo una imprecisión.

Para evitar estos inconvenientes, Redlich, O. y Kistir, A.T.<sup>38</sup> propusieron un método que se reduce al cálculo de un área.

Partiendo de la expresión para  $G^E$

$$G^E = x_1 \mu_1^E + x_2 \mu_2^E$$

se llega a:

$$\int_0^1 (\mu_1^E - \mu_2^E) dx_1 = 0 \quad (4.35)$$

En la deducción de (4.35) a partir de (4.32) está implicada la ecuación (4.34) y, por tanto, si una serie de valores experimentales, a partir de los cuales se calcula primero  $\mu_1^E$  y  $\mu_2^E$  y luego se representa su diferencia frente a  $x_1$ , son tales que el área encerrada entre esta curva y el eje de abcisas, es 0, teniendo en cuenta el signo de las áreas, queda implicado que son termodinámicamente consistentes, ya que derivando (4.32)

$$(\partial G^E / \partial x_1)_{T,p} = \mu_1^E - \mu_2^E + \{x_1 (\partial \mu_1^E / \partial x_1)_{T,p} + x_2 (\partial \mu_2^E / \partial x_1)_{T,p}\} \quad (4.36)$$

pero en el segundo miembro de esta última relación, la expresión entre paréntesis es la ecuación (4.34)

$$(\partial G^E / \partial x_1)_{T,p} = \mu_1^E - \mu_2^E \quad (4.37)$$

integrando en todo el intervalo

$$\int_0^1 dG^E = \int_0^1 (\mu_1^E - \mu_2^E) dx_1 = (G^E(x))_0^1 = 0 \quad (4.38)$$

ya que  $G^E(1) = 0$  y  $G^E(0) = 0$

Los valores de  $\mu_1^E - \mu_2^E$  se han representado frente a la fracción molar,  $x_1$ , para los sistemas estudiados en las Figuras 4.5, 4.10, 4.15, 4.20, 4.25, 4.30, 4.35, ----

4.40, y 4.45 y en la 4.5 se dan tambien los valores bibliográficos.

Los valores experimentales se han ajustado a un polinomio que adopta la forma:

$$\mu_1^E - \mu_2^E = \sum_{i=0}^3 B_i x_1^i \quad (4.39)$$

Para tres grados de este polinomio, las dos áreas  $A_1$  (superior) y  $A_2$  (inferior) se han calculado mediante la ecuación de Simpson (4.39). Tomando en cada caso el polinomio que da menor porcentaje en la diferencia de dichas áreas.

#### 4.4.2.- Método analítico

Para todos los sistemas estudiados, se ha medido experimentalmente la presión total,  $p$ , y las composiciones de la fase líquida,  $x_1$ , y de vapor,  $y_1$  y por deducción, las presiones parciales  $p_1$  y  $p_2$ , todo ello a temperatura constante,  $t$ , y en el equilibrio.

Desde el punto de vista termodinámico, ha de cumplirse la ecuación de Duhem-Margules:

$$(1-x_2) \left( \frac{\partial \ln p_1}{\partial x_2} \right)_T + x_2 \left( \frac{\partial \ln p_2}{\partial x_2} \right)_T = 0 \quad (4.40)$$

que relaciona la composición del líquido con la presión total o parciales y como puede observarse, una variable de más queda determinada.

Esto nos va a permitir calcular una de las variables, en este caso,  $y_1$ , partiendo de valores de  $p$  y  $x$ , -- posteriormente compararla con la experimental. Por consi---

guiente, la buena concordancia de los valores  $y_1$  (calculados) e  $y_2$  (experimentales) implica una prueba de consistencia.

El método seguido está basado en el de Barker<sup>39</sup> y tiene el siguiente desarrollo:

La energía libre de exceso

$$G^E = x_1 \mu_1^E + x_2 \mu_2^E = x_1 x_2 \{ a + b (x_1 - x_2) + c (x_1 - x_2)^2 + \dots \} \quad (4.41)$$

puede expresarse por esta ecuación con la precisión que se desee, con tal de elegir el suficiente número de términos.

Los potenciales de exceso tienen por expresión:

$$\mu_1^E = RT \ln \gamma_1 = RT \ln \frac{py_1}{p_1^\circ x_1} + (p_1^\circ - p)(v_1^\circ - B_{11}) + py_2^2 \delta_{12} \quad (4.42)$$

$$\mu_2^E = RT \ln \gamma_2 = RT \ln \frac{py_2}{p_2^\circ x_2} + (p_2^\circ - p)(v_2^\circ - B_{22}) + py_1^2 \delta_{12} \quad (4.43)$$

de (4.42) y (4.43) se deduce:

$$py_1 = p_1^\circ x_1 \gamma_1 \exp \left\{ \frac{(p-p_1^\circ)(v_1^\circ - B_{11})}{RT} - \frac{p \delta_{12} y_2^2}{RT} \right\} \quad (4.44)$$

$$py_2 = p_2^\circ x_2 \gamma_2 \exp \left\{ \frac{(p-p_2^\circ)(v_2^\circ - B_{22})}{RT} - \frac{p \delta_{12} y_1^2}{RT} \right\} \quad (4.45)$$

sumando:

$$p = \gamma_1 p_1^\circ + \gamma_2 p_2^\circ \quad (4.46)$$

donde:

$$p'_1 = x_1 p_1^\circ \exp \left\{ \frac{(p-p_1^\circ)(v_1^\circ - B_{11})}{RT} - \frac{p_{12}^\delta y_2^2}{RT} \right\} \quad (4.47)$$

$$p'_2 = x_2 p_2^\circ \exp \left\{ \frac{(p-p_2^\circ)(v_2^\circ - B_{12})}{RT} - \frac{p_{12}^\delta y_1^2}{RT} \right\} \quad (4.48)$$

La ecuación (4.41) implica que:

$$\begin{aligned} \ln \gamma_1 &= A l_1 + B m_1 + C n_1 + \dots \\ \ln \gamma_2 &= A l_2 + B m_2 + C n_2 + \dots \end{aligned} \quad (4.49)$$

donde:

$$\begin{aligned} l_1 &= x_2^2; \quad m_1 = -x_2^2(1-4x_1); \quad n_1 = x_2^2(1-3x_1+12x_1^2) \\ l_2 &= x_1^2; \quad m_2 = +x_1^2(1-4x_2); \quad n_2 = x_1^2(1+8x_2+12x_2^2) \end{aligned} \quad (4.50)$$

y:

$$A = \frac{a}{RT} \quad B = \frac{b}{RT} \quad C = \frac{c}{RT} \quad (4.51)$$

Los valores de A, B y C se determinan por un proceso de sucesivas aproximaciones. La primera consiste en suponer que la solución se comporta como si fuese ideal, es decir, B=0, C=0 y despreciar las correcciones por no idealidad de la fase vapor. Entonces A viene dado por:

$$A = 4 \cdot n \cdot \frac{2p^*}{p_1 + p_2} \quad (4.52)$$

donde  $p^*$  es la presión de vapor de la mezcla cuando  $x_1 = x_2 = 1/2$ , que se puede estimar gráficamente del diagrama pre--

sión-composición. Utilizando este valor de A, se calculan -- aproximadamente las concentraciones en la fase vapor, que son lo suficientemente válidas para utilizarlas en el término de corrección  $p\delta_{12}y^2/RT$  de las ecuaciones (4.47) y (4.48).

Se calculan  $p'_1$  y  $p'_2$  para los valores experimentales de composición del líquido. Utilizando la primera aproximación de A, se calculan  $\gamma_1$  y  $\gamma_2$  por las ecuaciones (4.49); p por (4.46);  $\Delta p = p_{exp} - p_{cal}$  y las derivadas.

$$\begin{aligned} dp/dA &= l_1\gamma_1p'_1 + l_2\gamma_2p'_2 \\ dp/dB &= m_1\gamma_1p'_1 + m_2\gamma_2p'_2 \\ dp/dC &= n_1\gamma_1p'_1 + n_2\gamma_2p'_2 \end{aligned} \quad (4.53)$$

Luego se determinan las ecuaciones de A, B y C,  $\delta A$ ,  $\delta B$  y  $\delta C$  que hacen tender a cero los  $\Delta p$ , ajustando por mínimos cuadrados la ecuación:

$$(dp/dA)\delta A + (dp/dB)\delta B + (dp/dC)\delta C = \Delta p \quad (4.54)$$

se resuelve el sistema:

$$\begin{aligned} \delta A \sum (dp/dA)^2 + \delta B \sum (dp/dA)(dp/dB) + \delta C \sum (dp/dA)(dp/dC) &= \sum \Delta p (dp/dA) \\ \delta A \sum (dp/dA)(dp/dB) + \delta B \sum (dp/dB)^2 + \delta C \sum (dp/dB)(dp/dC) &= \sum \Delta p (dp/dB) \\ \delta A \sum (dp/dA)(dp/dC) + \delta B \sum (dp/dB)(dp/dC) + \delta C \sum (dp/dC)^2 &= \sum \Delta p (dp/dC) \end{aligned} \quad (4.55)$$

Las sumas extensibles a todos los valores experimentales. Sumando las variaciones a los valores de A, B y C, se obtienen nuevas constantes. Se procede así, sucesivas veces hasta que los valores de A, B y C no cambien de forma significativa.

Siguiendo el método Barker<sup>39</sup> hemos puesto a punto un programa de cálculo que nos ha permitido conocer, -

además de  $G^E$ ,  $\Delta y$ ,  $\Delta p$  e  $\Delta G^E$ , de los ajustes del polinomio, he  
mos elegido el que presenta menores desviaciones standard .  
Detallamos este último ajuste en las Tablas 4.5, 4.6, 4.7, -  
4.12, 4.17, 4.22, 4.27, 4.32, 4.37, 4.42 y 4.47. En la 4.6 y  
4.7 adjuntamos también los valores de la Bibliografía.

#### 4.5.- CALCULO DE ERRORES

En este apartado, vamos a describir brevemente el cálculo de errores llevado a cabo en todas las medidas experimentales, así como en el cálculo de las funciones termodinámicas utilizadas.

4.5.1.- *En la composición.* Pueden enumerarse tres tipos distintos de errores.

a) Error cometido en la determinación de la fracción molar en la preparación de las mezclas de composición conocida.

Las pesadas  $M_0$ ,  $M_1$  y  $M_2$  de las ecuaciones ---- (2.13) y (2.14) son, respectivamente del orden de 25, 35, -- 45 g, como la balanza nos permite apreciar 0,00005 g, con ésto el error cometido al calcular la diferencia de pesadas, - es:

$$\frac{\Delta(M_1 - M_0)}{(M_1 - M_0)} = \frac{\Delta(M_2 - M_1)}{(M_2 - M_1)} = \frac{0,0001}{10} = 0,00001$$

Considerando condiciones extremas de presión y temperatura en el laboratorio, se puede tomar:

$$\sigma = (0,00111 \pm 0,00001) \text{ g.ml}^{-1}$$

con este valor y el de  $\rho_M = 7,70 \text{ g.ml}^{-1}$ , resulta:

$$\frac{\sigma}{\rho_M} = 0,000144 \pm 0,000002$$

Por lo tanto, el error cometido en el cálculo de los primeros términos de dichas ecuaciones es del orden de  $10^{-5}$ .

El error cometido al considerar  $P_V^1$  es despreciable, sin embargo el producto  $V_T \sigma$  vale, aproximadamente,  $-3 \cdot 10^{-2}$ , afectado de un error del 1%; con esto se puede considerar que el error absoluto en la determinación de  $P_L^1$  es de  $\pm 0,0004 \text{ g.y}$  de  $\pm 0,0001$  en la de  $P_L^2$ , siendo:

$$n_1 = \frac{P_L^1}{P_m_1} \quad \text{y} \quad n_2 = \frac{P_L^2}{P_m_2}$$

donde  $P_m_1$  y  $P_m_2$  son, respectivamente, los pesos moleculares de los componentes 1 y 2.

$$\frac{\Delta n_1}{n_1} = \frac{\Delta n_2}{n_2} = \frac{2}{10000}$$

De aquí se puede deducir para las fracciones molares un error relativo menor de  $4 \cdot 10^{-4}$ .

b) Error cometido en la determinación del índice de refracción.

El refractómetro utilizado nos permite apreciar 0,00003 en la medida del índice de refracción, ahora bien, como se calibra con un prisma de índice de refracción conocido, cometemos un error que es aproximadamente igual al anterior, por lo que el error absoluto se duplica.

Debido a que las medidas de índice de refracción se realizan a temperatura constante, es preciso tener en cuenta la variación que experimenta  $n$ , debida a una fluctuación en la temperatura de  $\pm 0,05^\circ\text{C}$ .

Considerando esto, el error cometido en la determinación del índice de refracción es  $\leq 0,0001$ .

c) Error en la determinación de la fracción molar de las fases líquida y de vapor a través de los coeficientes del ajuste.

En la preparación de las mezclas de composición conocida, se ajustaron los valores experimentales de índice de refracción y fracción molar al polinomio dado según la ecuación (4.2). Diferenciando dicha ecuación, se tiene:

$$dn = \sum_{i=0}^n dA_i x_1^i + \sum_{i=0}^n i A_i x_1^{i-1} dx_1 \quad (4.56)$$

donde

$dn = \sigma$ , desviación standard del ajuste.

$dx_1 = \Delta x_1$ , error experimental en la determinación de  $x_1$ .

y los valores de los coeficientes  $A_i$ , se dan en las tablas para los diversos sistemas.

La determinación de la fracción molar de las fases líquida y de vapor se lleva a cabo por medidas de índice de refracción de ambas fases y utilizando los coeficientes mencionados anteriormente. Para ello, se ha empleado el método de la bisectriz. Por lo tanto, se puede poner:

$$\Delta n = \sum_{i=0}^n dA_i x_1^i + \sum_{i=0}^n i A_i x_1^{i-1} dx_1 + \Lambda \quad (4.57)$$

dónde

$\Delta n = 0,0001$  error experimental en la medida de  $n$ .

$\Lambda = 0,00001$  error de corte.

Despejando de (4.57)  $dx_1$ , queda:

$$dx_1 = \frac{1}{\sum_{i=0}^n i A_i x_1^{i-1}} \left| \Lambda + \Delta n + \sum_{i=0}^n dA_i x_1^i \right| \quad (4.58)$$

de la ecuación (4.56)

$$\sum_{i=0}^n dA_i x_1^i = \sigma + \sum_{i=0}^n i A_i x_1^{i-1} \Delta x_1$$

valor que sustituimos en (4.58)

$$dx_1 = \frac{1}{\sum_{i=0}^n i A_i x_1^{i-1}} \left| \Lambda + \Delta n + \sigma + \sum_{i=0}^n i A_i x_1^{i-1} \Delta x_1 \right| \quad (4.59)$$

donde el valor de todos los símbolos que aparecen se ha definido anteriormente.

Por aplicación de la ecuación (4.59), se puede calcular el error cometido en la determinación de las fracciones molares.

#### 4.5.2.- En la temperatura

El error máximo en la medida de la temperatura

es de  $0,02^{\circ}\text{C}$  en el calibrado del termopar.

El equipo de medida, potenciómetro-galvanómetro es capaz de detectar oscilaciones de  $0,5 \mu\text{V}$  lo que equivale a una apreciación posible de variación de temperatura de  $\pm 0,01^{\circ}\text{C}$ .

A lo largo de la medida de los sistemas, una vez alcanzado el equilibrio, nunca se ha observado oscilaciones en el galvanómetro superior a  $1 \mu\text{V}$ , es decir, los errores en la temperatura fueron siempre inferiores de  $0,02^{\circ}\text{C}$ .

#### 4.5.3.- En la presión

Las fuentes posibles de errores son:

a) Error en la lectura del catetómetro, en nuestro caso  $\leq 0,05 \text{ mm de Hg}$ . Debido a que la medida se realiza por diferencias de alturas en las dos ramas de manómetro, el error cometido será:

$$\leq 0,1 \text{ mm de Hg}$$

b) Error derivado de la apreciación de  $\pm 0,1^{\circ}\text{C}$  en el termostato del manómetro:

$$\leq 0,01 \text{ mm de Hg}$$

c) Error debido a la presión ejercida por la columna de aire entre la línea de condensación del vapor y la rama inferior de manómetro:

$$\leq 0,03 \text{ mm de Hg}$$

d) Error debido a la fijación de la temperatura de equilibrio,  $\pm 0,02^{\circ}\text{C}$ . El valor de dicho error dependerá de la naturaleza de la sustancia y en el caso de los sistemas, de los componentes y de su fracción molar.

Suponiendo que el sistema se comporta como una mezcla ideal, ha de cumplirse:

$$p = x_1 p_1^{\circ} + x_2 p_2^{\circ} \quad (4.60)$$

El error cometido en  $p_1^{\circ}$  y  $p_2^{\circ}$  se ha calculado diferenciando las ecuaciones correspondientes.

Teniendo en cuenta la ecuación (4.60) el error cometido en la presión de equilibrio será:

$$\Delta p = \Delta x_1 p_1^{\circ} + x_1 \Delta p_1^{\circ} + \Delta x_2 p_2^{\circ} + x_2 \Delta p_2^{\circ} \quad (4.61)$$

Con todo esto, queda un error medio en la presión de vapor en el equilibrio, debido a la fijación de la temperatura de  $\Delta p = \pm 0,8$  mm.de Hg.

Teniendo en cuenta los cuatro efectos fundamentales mencionados anteriormente, se puede decir que el error total en la medida de la presión para todos los sistemas es aproximadamente igual a 1 mm.de Hg.

#### 4.5.4.- En el volumen molar

Han sido calculados a partir de las ecuaciones mencionadas en el párrafo 3.2. Las densidades o volúmenes específicos de las medidas experimentales de las que se dedujeron dichas ecuaciones, vienen afectadas con una precisión de  $0,0001 \text{ g.cm}^{-3}$ . Por lo tanto, el volumen molar tiene una precisión de

$$\leq 0,02 \text{ cm}^3 \cdot \text{mol}^{-1}$$

#### 4.5.5.- En el segundo coeficiente del virial

Puede considerarse que la precisión en conjunto de los coeficientes del virial es, aproximadamente, del orden de  $\pm 50 \text{ cm}^3 \cdot \text{mol}^{-1}$ .

#### 4.5.6.- En el potencial químico de exceso

Una vez analizados los errores de la composición, temperatura, presión, volumen molar y coeficientes del virial, vamos a considerar su influencia en los potenciales químicos de exceso.

Se puede suponer que la temperatura en los potenciales químicos de exceso sólo influye a través de la presión, error que ha sido ya calculado con anterioridad.

Hecha esta salvedad, los potenciales químicos de exceso,  $\mu^E$ , a temperatura constante y desde el punto de vista de la teoría de errores, pueden considerarse como una función de las siguientes variables: presión total del sistema  $p$ ; presión de los componentes puros,  $p_i^\circ$ ; componentes de las fases líquida y de vapor,  $x$  e  $y$ ; coeficientes del virial,  $B_{ii}$ ; volúmenes molares de los componentes puros,  $v_i^\circ$  y factor  $\delta$ . Esto puede expresarse de la siguiente forma:

$$\mu^E = \mu^E(p, p_i^\circ, x, y, B_{ii}, v_i^\circ, \delta) \quad (4.62)$$

El error o variación en los potenciales químicos de exceso,  $\Delta\mu^E$ , debido a los errores en las variables dependientes, tiene el mismo valor que la diferencial total de dicha función, esto se puede expresar abreviadamente:

$$\Delta\mu^E = \sum \psi_i(z) \Delta z \quad (4.63)$$

donde

$$\psi_i(z) = \left[ \frac{\partial \mu^E}{\partial z} \right]_{j,k}$$

y  $z$  representa cualquiera de las variables de la función --- (4.62) y, por consiguiente  $\psi_i(z)$  la variación que experimenta el valor de  $\mu^E$  al modificarse una de las variables permaneciendo constantes las restantes.

Diferenciando las ecuaciones (4.30) y (4.31) y ordenando convenientemente cada término:

$$\begin{aligned} \Delta \mu_1^E = & \left\{ \frac{RT}{p} - (v_1^\circ - B_{11}) + \delta_{12} (1-y_1)^2 \right\} \Delta p - \\ & - \left\{ \frac{RT}{p_1^\circ} - (v_1^\circ - B_{11}) \right\} \Delta p_1^\circ - \frac{RT}{x_1} \Delta x_1 + \\ & + \left\{ \frac{RT}{y_1} - 2p\delta_{12} (1-y_1) \right\} \Delta y_1 + (p_1^\circ - p) \Delta v_1^\circ - \\ & - (p_1^\circ - p) \Delta B_{11} + p (1 - y_1)^2 \Delta \delta_{12} \end{aligned} \quad (4.64)$$

análogamente

$$\begin{aligned} \mu_2^E = & \left\{ \frac{RT}{p} - (v_2^\circ - B_{22}) + \delta_{12} y_1^2 \right\} \Delta p - \\ & - \left\{ \frac{RT}{p_2^\circ} - (v_2^\circ - B_{22}) \right\} \Delta p_2^\circ + \frac{RT}{1-x_1} \Delta x_1 - \\ & - \left\{ \frac{RT}{1-y_1} - 2p\delta_{12} y_1 \right\} \Delta y_1 + (p_2^\circ - p) \Delta v_2^\circ - \\ & - (p_2^\circ - p) \Delta B_{22} + p y_1^2 \Delta \delta_{12} \end{aligned} \quad (4.65)$$

Cada coeficiente de  $\Delta p$ ,  $\Delta x_1$ ... será precisamente la  $\psi(z)$  correspondiente, es decir,  $\psi(p)$ ,  $\psi(x)$ ,... y estas funciones tendrán un valor numérico concreto.

El error debido al volumen molar,  $(\Delta \mu^E)_{v^\circ}$ , es

- 33 -

Muy pequeño en comparación con los demás por lo que se le --  
puede considerar despreciable.

En general para todos los casos, el error rela-  
tivo de los potenciales químicos de exceso es inferior al 5%.

4.6.1.- *Resultados experimentales del sistema Ciclohexano(1)+Benceno(2) 70°C.*

Tabla 4.1

MEZCLAS DE COMPOSICION CONOCIDA A 30,0°C DEL SISTEMA  
CICLOHEXANO(1) + BENENO(2)

| Nº | $x_1$  | $x_2$  | n       | $n^E$    | $n_{exp} - n_{cal}$ |
|----|--------|--------|---------|----------|---------------------|
| 1  | 0,0000 | 1,0000 | 1,49481 |          | 0,00006             |
| 1  | 0,0327 | 0,9673 | 1,49131 | -0,00108 | -0,00000            |
| 2  | 0,0733 | 0,9267 | 1,48712 | -0,00226 | -0,00004            |
| 3  | 0,0962 | 0,9038 | 1,48484 | -0,00285 | -0,00004            |
| 4  | 0,1363 | 0,8637 | 1,48094 | -0,00378 | -0,00003            |
| 5  | 0,1774 | 0,8226 | 1,47705 | -0,00462 | -0,00004            |
| 6  | 0,2651 | 0,7349 | 1,46926 | -0,00592 | 0,00007             |
| 7  | 0,2980 | 0,7020 | 1,46641 | -0,00633 | 0,00004             |
| 8  | 0,3534 | 0,6466 | 1,46180 | -0,00684 | 0,00003             |
| 9  | 0,4130 | 0,5870 | 1,45708 | -0,00715 | 0,00004             |
| 10 | 0,4668 | 0,5332 | 1,45297 | -0,00727 | 0,00001             |
| 11 | 0,5310 | 0,4690 | 1,44829 | -0,00720 | -0,00002            |
| 12 | 0,5821 | 0,4179 | 1,44474 | -0,00697 | -0,00004            |
| 13 | 0,6388 | 0,3612 | 1,44099 | -0,00652 | -0,00004            |
| 14 | 0,6802 | 0,3198 | 1,43836 | -0,00608 | -0,00004            |
| 15 | 0,7425 | 0,2575 | 1,43459 | -0,00524 | -0,00002            |
| 16 | 0,7991 | 0,2009 | 1,43138 | -0,00426 | 0,00006             |
| 17 | 0,8506 | 0,1494 | 1,42852 | -0,00330 | 0,00006             |
| 18 | 0,9482 | 0,0518 | 1,42337 | -0,00122 | 0,00002             |
|    | 1,0000 | 0,0000 | 1,42076 |          | -0,00004            |

## VALORES CALCULADOS DEL AJUSTE

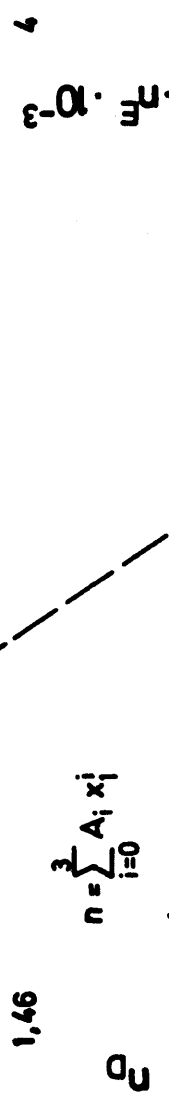
## COEFICIENTES

$$\begin{aligned}
 A_0 &= 1,49475 & A_0 &= -0,02898 \\
 A_1 &= 0,10625 & A_1 &= 0,00277 \\
 A_2 &= 0,03895 & A_2 &= -0,00024 \\
 A_3 &= -0,00665 & A_3 &= 0,00275 \\
 \sigma &= 0,00004 & \sigma &= 0,00002
 \end{aligned}$$

| $x_1$ | n       | $n^E$    |
|-------|---------|----------|
| 0,00  | 1,49475 |          |
| 0,10  | 1,48450 | -0,00295 |
| 0,20  | 1,47500 | -0,00501 |
| 0,30  | 1,46620 | -0,00636 |
| 0,40  | 1,45805 | -0,00709 |
| 0,50  | 1,45053 | -0,00724 |
| 0,60  | 1,44358 | -0,00682 |
| 0,70  | 1,43718 | -0,00582 |
| 0,80  | 1,43127 | -0,00429 |
| 0,90  | 1,42582 | -0,00230 |
| 1,00  | 1,42080 |          |

1,48

6



$$n = \sum_{i=0}^3 A_i x_i^i$$

$$A_0 = 1,49475$$

$$A_1 = -0,10625$$

$$A_2 = 0,03895$$

$$A_3 = -0,00665$$

$$n^E = x_1 x_2 \sum_{i=0}^3 A_i (x_1 - x_2)^i$$

$$A_0 = -0,02898$$

$$A_1 = 0,00277$$

$$A_2 = -0,00024$$

$$A_3 = 0,00275$$



CICLOHEXANO(1) + BENZENO (2)

30,0 °C

Figura 4.1

Tabla 4.2

SISTEMA

CICLOHEXANO(1) + BENZENO(2)

PRESIONES DE VAPOR (hPa)

TEMPERATURA = 70.0 C

| $x_1$  | $y_1$  | P      | $p_1$  | $p_2$  |
|--------|--------|--------|--------|--------|
| 0.0439 | 0.0600 | 748.55 | 44.94  | 703.61 |
| 0.0664 | 0.0890 | 754.06 | 67.09  | 686.97 |
| 0.1057 | 0.1343 | 763.87 | 102.56 | 661.31 |
| 0.1517 | 0.1847 | 774.34 | 143.03 | 631.30 |
| 0.1779 | 0.2126 | 779.31 | 165.65 | 613.66 |
| 0.2040 | 0.2392 | 783.35 | 187.39 | 595.96 |
| 0.2479 | 0.2795 | 788.81 | 220.48 | 568.34 |
| 0.3048 | 0.3314 | 794.49 | 263.33 | 531.16 |
| 0.3641 | 0.3826 | 797.99 | 305.28 | 492.71 |
| 0.3826 | 0.3966 | 798.99 | 316.90 | 482.09 |
| 0.4278 | 0.4356 | 800.16 | 348.53 | 451.63 |
| 0.4808 | 0.4790 | 800.49 | 383.46 | 417.04 |
| 0.5218 | 0.5118 | 799.91 | 409.42 | 390.49 |
| 0.5405 | 0.5283 | 799.27 | 422.24 | 377.03 |
| 0.5626 | 0.5464 | 798.27 | 436.16 | 362.11 |
| 0.6123 | 0.5886 | 795.44 | 468.18 | 327.26 |
| 0.6514 | 0.6226 | 792.36 | 493.35 | 299.02 |
| 0.6757 | 0.6443 | 790.11 | 509.10 | 281.01 |
| 0.7405 | 0.7044 | 782.71 | 551.33 | 231.38 |
| 0.8100 | 0.7725 | 771.67 | 596.10 | 175.57 |
| 0.8552 | 0.8201 | 763.44 | 626.13 | 137.32 |
| 0.9182 | 0.8921 | 749.00 | 668.20 | 80.81  |
| 0.9504 | 0.9319 | 740.41 | 689.98 | 50.43  |

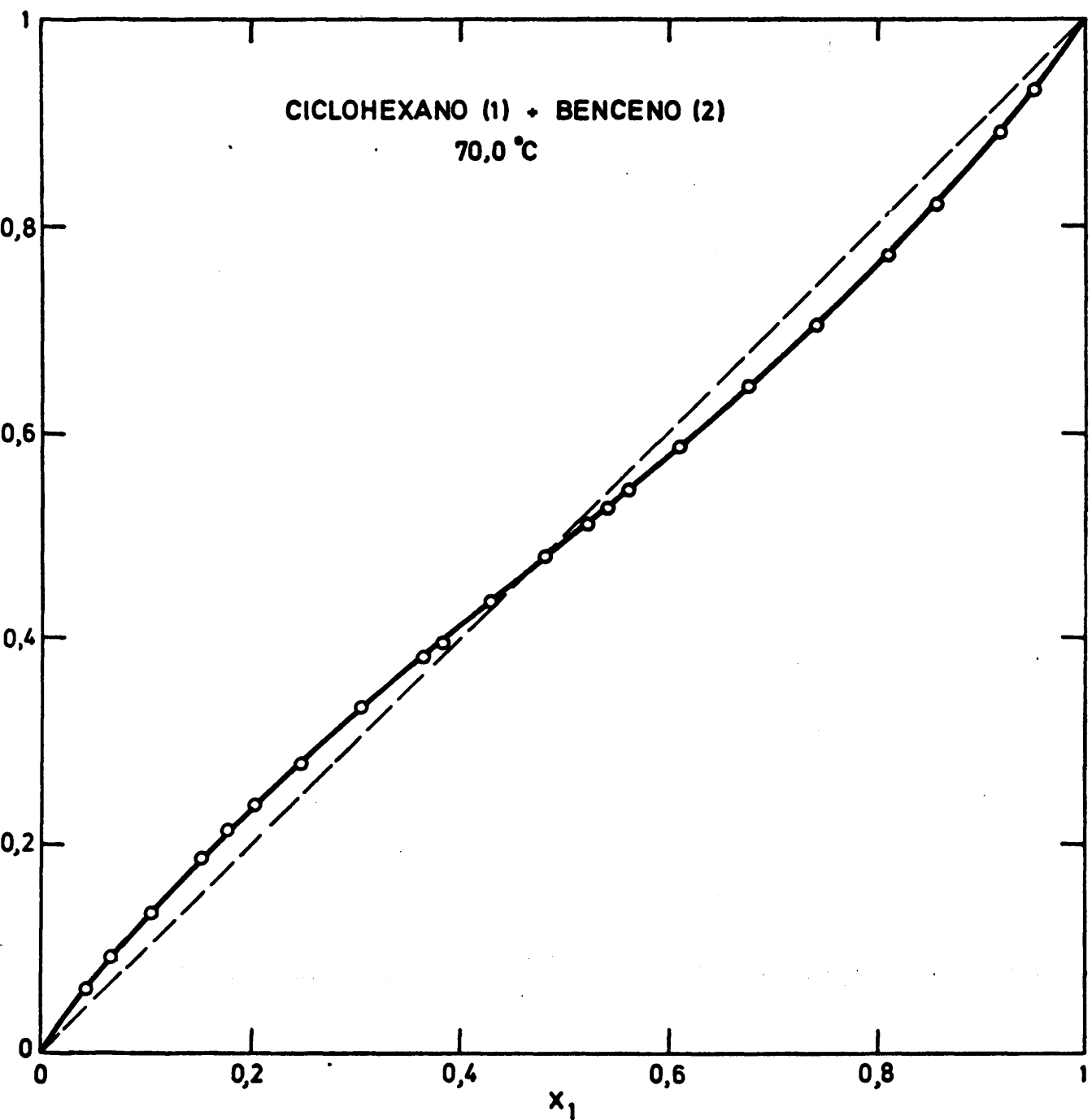


Figura 4.2

CICLOHEXANO (1) + BENCENO (2)

70,0 °C

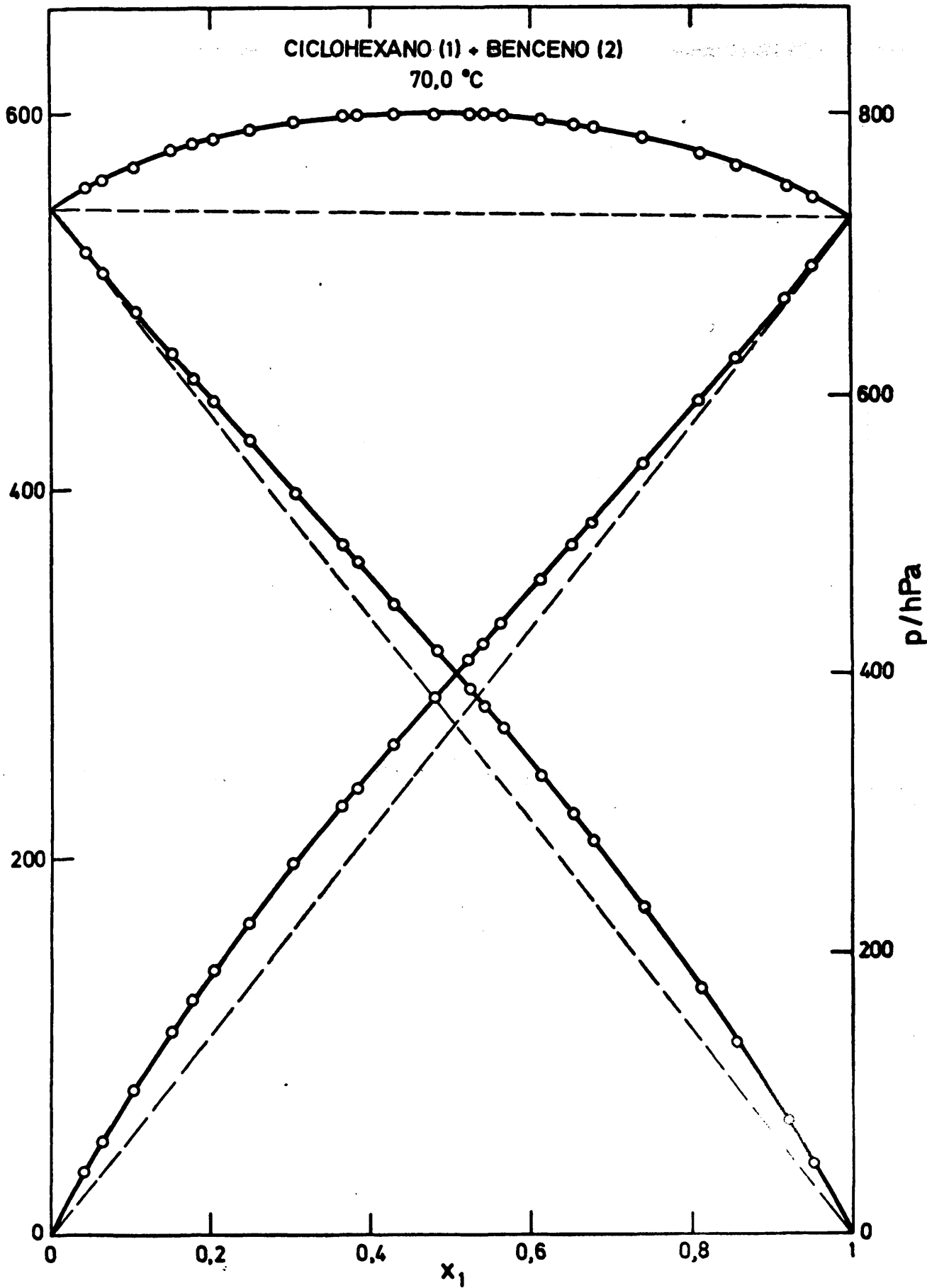


Figura 4.3

Tabla 4.3

SISTEMA

CICLOHEXANO(1) + BENZENO(2)

TEMPERATURA = 70.0 C

$$\begin{array}{ll}
 V_1 = 115.249 & S_{11} = -1163.0 \\
 V_2 = 94.692 & S_{22} = -1036.0 \\
 & S_{12} = -1098.3
 \end{array}$$

VALORES EXPERIMENTALES ( $J \cdot mol^{-1}$ )

| $x_1$  | $y_1$  | P      | $\mu_1^E$ | $\mu_2^E$ | $\mu_1^E - \mu_2^E$ | $G^E$  |
|--------|--------|--------|-----------|-----------|---------------------|--------|
| 0.0000 |        | 734.31 |           |           |                     |        |
| 0.0439 | 0.0600 | 748.55 | 979.85    | 4.73      | 975.12              | 47.54  |
| 0.0664 | 0.0890 | 754.06 | 944.44    | 3.56      | 940.88              | 66.03  |
| 0.1057 | 0.1343 | 763.87 | 827.53    | 16.52     | 811.01              | 102.24 |
| 0.1517 | 0.1847 | 774.34 | 743.35    | 33.69     | 709.66              | 141.34 |
| 0.1779 | 0.2126 | 779.31 | 707.80    | 41.56     | 666.24              | 160.08 |
| 0.2040 | 0.2392 | 783.35 | 667.79    | 49.85     | 617.94              | 175.91 |
| 0.2479 | 0.2795 | 788.81 | 575.08    | 75.65     | 499.43              | 199.46 |
| 0.3048 | 0.3314 | 794.49 | 491.24    | 106.63    | 384.60              | 223.86 |
| 0.3641 | 0.3826 | 797.99 | 405.99    | 145.83    | 260.16              | 240.56 |
| 0.3826 | 0.3966 | 798.99 | 370.57    | 168.08    | 202.48              | 245.55 |
| 0.4278 | 0.4356 | 800.16 | 323.62    | 198.42    | 125.20              | 251.98 |
| 0.4808 | 0.4790 | 800.49 | 262.51    | 248.61    | 13.91               | 255.29 |
| 0.5218 | 0.5118 | 799.91 | 215.99    | 295.76    | -79.77              | 254.13 |
| 0.5405 | 0.5283 | 799.27 | 203.85    | 309.26    | -105.41             | 252.29 |
| 0.5626 | 0.5464 | 798.27 | 182.19    | 334.80    | -152.61             | 248.94 |
| 0.6123 | 0.5886 | 795.44 | 143.16    | 390.53    | -247.36             | 239.06 |
| 0.6514 | 0.6226 | 792.36 | 116.10    | 437.00    | -320.90             | 227.96 |
| 0.6757 | 0.6443 | 790.11 | 101.51    | 466.33    | -364.82             | 219.82 |
| 0.7405 | 0.7044 | 782.71 | 68.78     | 548.27    | -479.49             | 193.20 |
| 0.8100 | 0.7725 | 771.67 | 37.01     | 651.29    | -614.28             | 153.72 |
| 0.8552 | 0.8201 | 763.44 | 23.16     | 726.99    | -703.83             | 125.07 |
| 0.9182 | 0.8921 | 749.00 | 7.82      | 844.99    | -837.17             | 76.30  |
| 0.9504 | 0.9319 | 740.41 | 2.16      | 927.31    | -925.15             | 48.05  |
| 1.0000 |        | 724.94 |           |           |                     |        |

Tabla 4.4

SISTEMA

CICLOHEXANO(2) + BENCENO(2)

TEMPERATURA = 70.0 C

AJUSTE POR MINIMOS CUADRADOS DE DATOS EXPERIMENTALES DE GE

| COEF           | GRADO DEL POLINOMIO |         |         |         |         |
|----------------|---------------------|---------|---------|---------|---------|
|                | UNO                 | DOS     | TRES    | CUATRO  | CINCO   |
| A <sub>0</sub> | 1036.52             | 1021.38 | 1021.23 | 1019.95 | 1019.94 |
| A <sub>1</sub> | -58.28              | -55.28  | -76.95  | -76.00  | -80.12  |
| A <sub>2</sub> |                     | 50.81   | 51.50   | 67.47   | 68.46   |
| A <sub>3</sub> |                     |         | 38.62   | 37.13   | 59.00   |
| A <sub>4</sub> |                     |         |         | -20.78  | -22.21  |
| A <sub>5</sub> |                     |         |         |         | -22.05  |
| $\sigma$       | 2.70                | 1.19    | 0.93    | 0.86    | 0.91    |

VALORES CALCULADOS DEL AJUSTE

| X <sub>1</sub> | GRADO DEL POLINOMIO |        |        |        |        |
|----------------|---------------------|--------|--------|--------|--------|
|                | UNO                 | DOS    | TRES   | CUATRO | CINCO  |
| 0.05           | 51.73               | 52.83  | 52.44  | 52.36  | 52.39  |
| 0.10           | 97.48               | 98.83  | 98.64  | 98.68  | 98.62  |
| 0.15           | 137.36              | 138.33 | 138.60 | 138.78 | 138.68 |
| 0.20           | 171.44              | 171.65 | 172.42 | 172.66 | 172.60 |
| 0.25           | 199.81              | 199.07 | 200.20 | 200.41 | 200.45 |
| 0.30           | 222.56              | 220.84 | 222.13 | 222.23 | 222.35 |
| 0.35           | 239.79              | 237.18 | 238.40 | 238.34 | 238.52 |
| 0.40           | 251.56              | 248.27 | 249.21 | 249.00 | 249.17 |
| 0.45           | 257.98              | 254.28 | 254.78 | 254.48 | 254.57 |
| 0.50           | 259.13              | 255.34 | 255.31 | 254.99 | 254.98 |
| 0.55           | 255.10              | 251.55 | 250.99 | 250.73 | 250.64 |
| 0.60           | 245.97              | 242.96 | 241.97 | 241.85 | 241.70 |
| 0.65           | 231.83              | 229.63 | 228.37 | 228.42 | 228.28 |
| 0.70           | 212.77              | 211.55 | 210.24 | 210.46 | 210.38 |
| 0.75           | 188.88              | 188.71 | 187.59 | 187.91 | 187.93 |
| 0.80           | 160.25              | 161.04 | 160.31 | 160.63 | 160.75 |
| 0.85           | 126.95              | 128.47 | 128.25 | 128.46 | 128.60 |
| 0.90           | 89.09               | 90.87  | 91.12  | 91.16  | 91.22  |
| 0.95           | 46.74               | 48.11  | 48.54  | 48.43  | 48.39  |

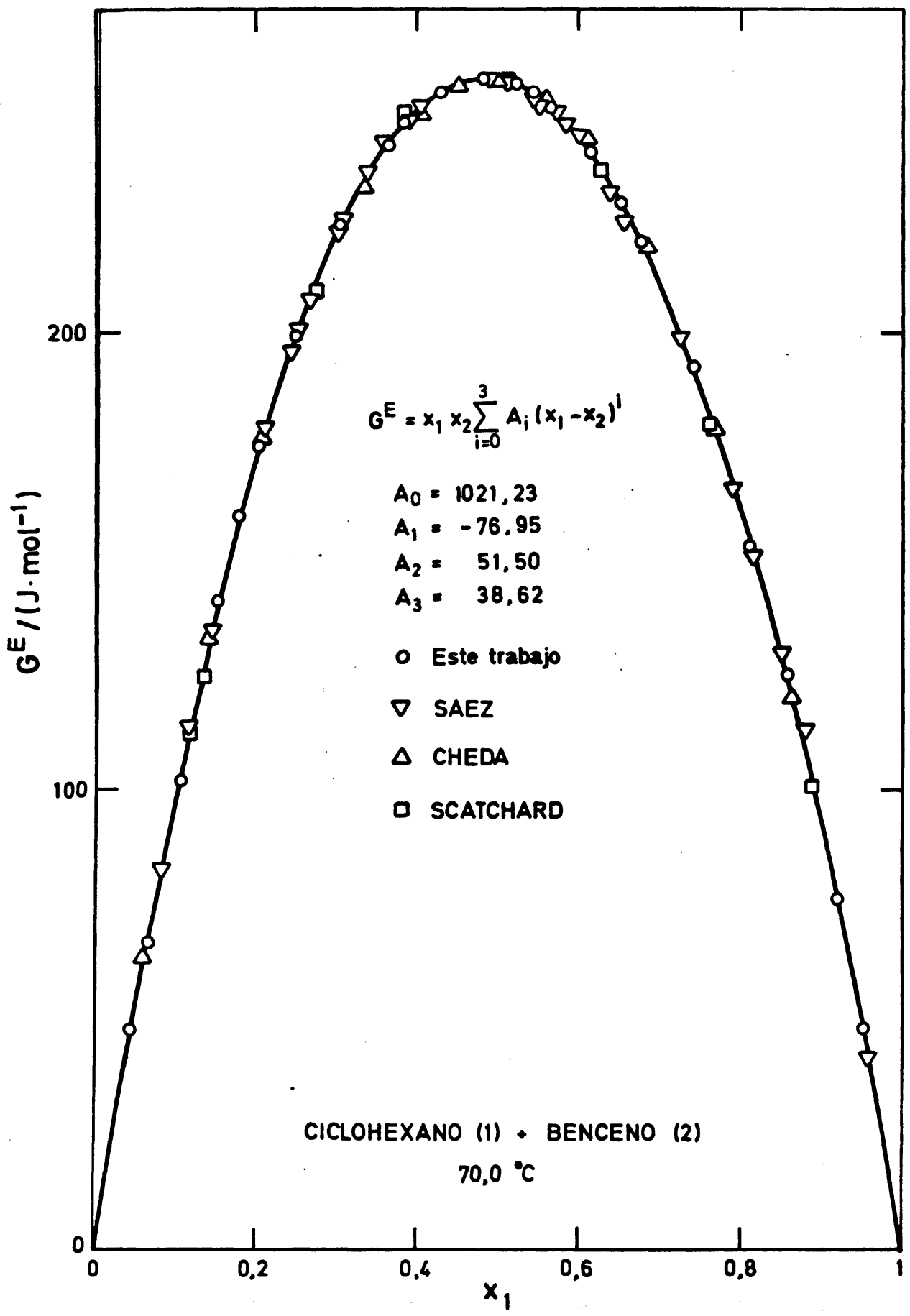


Figura 4.4

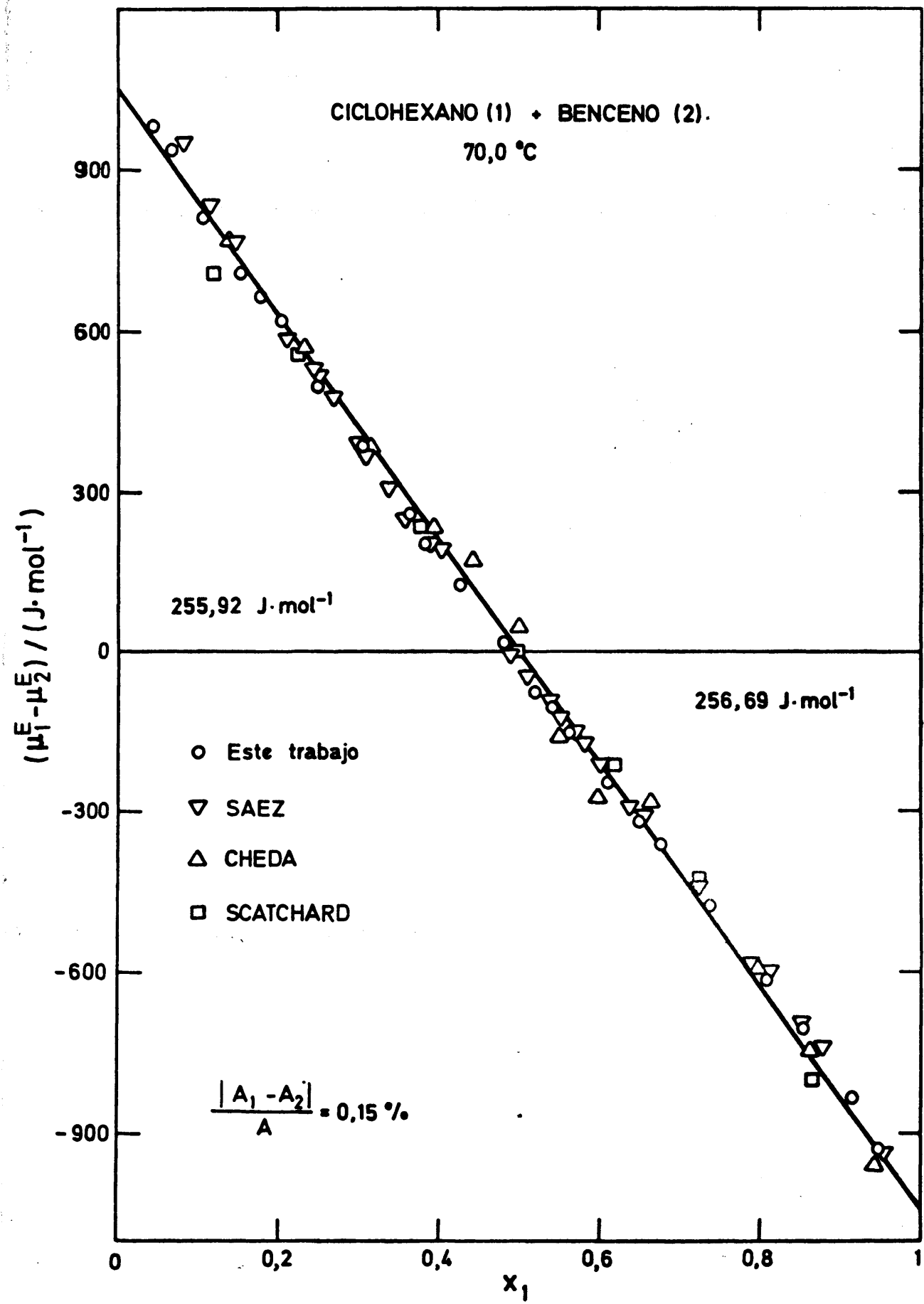


Figura 4.5

- 64 -  
Tabla 4.5CALCULO DE  $G^E$  POR EL METODO DE BARKER

POLINOMIO DE GRADO = 3

COEFICIENTES

$$\begin{aligned}
 A_1 &= 1020.91 \\
 A_2 &= -79.47 \\
 A_3 &= 53.90 \\
 A_4 &= 50.29
 \end{aligned}$$

| $x_1$    | $\Delta Y$ | $\Delta P$ | $Y_1$  | $Y_2$  | $\Delta G^E$ | $G^E$  |
|----------|------------|------------|--------|--------|--------------|--------|
| 0.0439   | -0.0005    | 0.26       | 1.4206 | 1.0008 | 1.36         | 46.17  |
| 0.0664   | -0.0001    | -0.55      | 1.3951 | 1.0019 | -2.01        | 68.04  |
| 0.1057   | -0.0015    | -0.57      | 1.3527 | 1.0048 | -1.02        | 103.27 |
| 0.1517   | -0.0014    | 0.22       | 1.3068 | 1.0099 | 1.66         | 139.68 |
| 0.1779   | -0.0003    | 0.49       | 1.2825 | 1.0137 | 1.98         | 158.10 |
| 0.2040   | 0.0006     | 0.40       | 1.2597 | 1.0180 | 1.12         | 174.79 |
| 0.2479   | -0.0003    | 0.05       | 1.2244 | 1.0265 | 0.29         | 195.17 |
| 0.3048   | 0.0011     | 0.06       | 1.1840 | 1.0397 | -0.15        | 224.01 |
| 0.3641   | 0.0018     | -0.32      | 1.1481 | 1.0559 | -1.51        | 242.06 |
| 0.3826   | 0.0003     | -0.14      | 1.1381 | 1.0614 | -0.56        | 246.11 |
| 0.4278   | 0.0018     | -0.23      | 1.1158 | 1.0758 | -0.97        | 252.95 |
| 0.4808   | 0.0014     | -0.11      | 1.0933 | 1.0942 | -0.34        | 255.63 |
| 0.5218   | 0.0002     | 0.06       | 1.0782 | 1.1095 | 0.23         | 253.91 |
| 0.5405   | 0.0010     | 0.03       | 1.0720 | 1.1168 | 0.24         | 252.05 |
| 0.5626   | 0.0005     | -0.04      | 1.0651 | 1.1257 | -0.07        | 249.01 |
| 0.6123   | 0.0001     | 0.04       | 1.0512 | 1.1470 | 0.17         | 238.90 |
| 0.6514   | -0.0002    | 0.06       | 1.0418 | 1.1649 | 0.16         | 227.80 |
| 0.6757   | -0.0002    | 0.11       | 1.0364 | 1.1767 | 0.29         | 219.53 |
| 0.7405   | -0.0001    | 0.26       | 1.0242 | 1.2112 | 0.90         | 192.30 |
| 0.8100   | -0.0003    | -0.17      | 1.0137 | 1.2549 | -0.85        | 154.57 |
| 0.8552   | -0.0002    | 0.06       | 1.0084 | 1.2884 | 0.04         | 125.03 |
| 0.9182   | -0.0000    | -0.11      | 1.0029 | 1.3449 | -0.43        | 76.73  |
| 0.9504   | -0.0002    | -0.08      | 1.0011 | 1.3794 | -0.49        | 48.55  |
| $\sigma$ | 0.0008     | 0.25       |        |        | 0.95         |        |

Tabla 4.6

SISTEMA

CICLOHEXANO(2) + BENCENO(2)

CALCULO DE  $G^E$  POR EL METODO DE BARKER

POLINOMIO DE GRADO = 3

SAEZ,C.

COEFICIENTES

$$A_1 = 1016.01$$

$$A_2 = -84.58$$

$$A_3 = 90.32$$

$$A_4 = 61.84$$

| $x_1$    | $\Delta Y$ | $\Delta P$ | $\gamma_1$ | $\gamma_2$ | $\Delta G^E$ | $G^E$  |
|----------|------------|------------|------------|------------|--------------|--------|
| 0.0812   | 0.0011     | 0.08       | 1.3834     | 1.0030     | -0.60        | 83.10  |
| 0.1151   | 0.0003     | 0.36       | 1.3452     | 1.0061     | 1.11         | 112.69 |
| 0.1432   | 0.0006     | 0.15       | 1.3156     | 1.0094     | 0.13         | 134.95 |
| 0.2112   | 0.0002     | -0.17      | 1.2517     | 1.0203     | -0.74        | 180.44 |
| 0.2452   | 0.0022     | -0.55      | 1.2238     | 1.0271     | -3.02        | 198.84 |
| 0.2511   | 0.0023     | -0.18      | 1.2193     | 1.0284     | -1.69        | 201.75 |
| 0.2680   | 0.0022     | -0.43      | 1.2066     | 1.0321     | -2.49        | 209.62 |
| 0.2994   | 0.0013     | 0.16       | 1.1846     | 1.0397     | 0.13         | 222.45 |
| 0.3078   | 0.0011     | -0.23      | 1.1790     | 1.0418     | -1.20        | 225.49 |
| 0.3375   | 0.0019     | 0.48       | 1.1605     | 1.0497     | 1.20         | 234.98 |
| 0.3579   | 0.0008     | 0.18       | 1.1487     | 1.0554     | 0.49         | 240.36 |
| 0.3898   | 0.0028     | 0.04       | 1.1318     | 1.0648     | -0.29        | 246.98 |
| 0.4043   | 0.0013     | 0.15       | 1.1246     | 1.0693     | 0.39         | 249.29 |
| 0.4909   | 0.0019     | 0.18       | 1.0883     | 1.0980     | 0.75         | 254.31 |
| 0.5103   | 0.0016     | 0.40       | 1.0815     | 1.1050     | 1.55         | 253.47 |
| 0.5402   | 0.0020     | -0.22      | 1.0718     | 1.1160     | -0.50        | 250.83 |
| 0.5507   | 0.0008     | -0.10      | 1.0686     | 1.1200     | -0.24        | 249.51 |
| 0.5684   | 0.0014     | 0.07       | 1.0635     | 1.1269     | 0.50         | 246.86 |
| 0.5811   | 0.0011     | 0.01       | 1.0599     | 1.1320     | 0.27         | 244.62 |
| 0.6012   | 0.0008     | 0.70       | 1.0547     | 1.1402     | 2.71         | 240.50 |
| 0.6348   | -0.0013    | -0.31      | 1.0465     | 1.1545     | -1.52        | 232.06 |
| 0.6539   | 0.0005     | -0.70      | 1.0422     | 1.1631     | -2.38        | 226.39 |
| 0.7238   | -0.0004    | -0.17      | 1.0285     | 1.1979     | -0.80        | 200.27 |
| 0.7395   | -0.0011    | -0.09      | 1.0258     | 1.2066     | -0.85        | 193.22 |
| 0.7855   | -0.0021    | -0.07      | 1.0179     | 1.2373     | -1.43        | 167.74 |
| 0.8137   | 0.0003     | -0.55      | 1.0145     | 1.2542     | -1.86        | 153.68 |
| 0.8532   | -0.0003    | 0.66       | 1.0095     | 1.2852     | 2.27         | 128.15 |
| 0.8784   | 0.0003     | 0.77       | 1.0068     | 1.3078     | 3.09         | 110.08 |
| 0.9557   | 0.0002     | -0.78      | 1.0010     | 1.3951     | -2.85        | 44.91  |
| $\sigma$ | 0.0014     | 0.39       |            |            | 1.58         |        |

Tabla 4.7

SISTEMA

BENCENO(1) + CICLOHEXANO(2)

CALCULO DE  $G^E$  POR EL METODO DE BARKER

POLINOMIO DE GRADO = 3

SCATCHARD,G.

## COEFICIENTES

$$\begin{aligned} A_1 &= 1019.05 \\ A_2 &= 59.91 \\ A_3 &= 5.91 \\ A_4 &= 24.10 \end{aligned}$$

| $x_1$    | $\Delta Y$ | $\Delta P$ | $\gamma_1$ | $\gamma_2$ | $\Delta G^E$ | $G^E$  |
|----------|------------|------------|------------|------------|--------------|--------|
| 0.1186   | -0.0022    | -0.06      | 1.3088     | 1.0040     | 1.31         | 100.99 |
| 0.2409   | 0.0010     | 0.11       | 1.2292     | 1.0180     | -0.19        | 180.35 |
| 0.3759   | -0.0037    | -0.03      | 1.1542     | 1.0470     | 0.94         | 235.58 |
| 0.4945   | -0.0036    | -0.12      | 1.1013     | 1.0856     | -0.23        | 254.57 |
| 0.6180   | -0.0004    | 0.12       | 1.0588     | 1.1406     | 0.34         | 244.06 |
| 0.7248   | 0.0006     | -0.01      | 1.0314     | 1.2034     | 0.21         | 209.31 |
| 0.8659   | -0.0023    | -0.02      | 1.0080     | 1.3167     | -1.68        | 124.88 |
| $\sigma$ | 0.0023     | 0.08       |            |            | 0.90         |        |

POLINOMIO DE GRADO = 3

CHEDA,D.

## COEFICIENTES

$$\begin{aligned} A_1 &= 1019.20 \\ A_2 &= 25.39 \\ A_3 &= 78.92 \\ A_4 &= 117.47 \end{aligned}$$

| $x_1$    | $\Delta Y$ | $\Delta P$ | $\gamma_1$ | $\gamma_2$ | $\Delta G^E$ | $G^E$  |
|----------|------------|------------|------------|------------|--------------|--------|
| 0.1398   | 0.0012     | -0.22      | 1.3044     | 1.0057     | -1.67        | 120.01 |
| 0.2309   | 0.0008     | -0.01      | 1.2380     | 1.0178     | -0.52        | 179.38 |
| 0.3150   | 0.0003     | 0.68       | 1.1835     | 1.0352     | 2.32         | 218.94 |
| 0.3936   | 0.0014     | 0.32       | 1.1409     | 1.0562     | 0.78         | 242.55 |
| 0.4411   | 0.0041     | -0.65      | 1.1191     | 1.0709     | -3.07        | 250.75 |
| 0.5004   | 0.0031     | -0.62      | 1.0957     | 1.0911     | -2.40        | 254.80 |
| 0.5485   | -0.0072    | -0.11      | 1.0795     | 1.1092     | -0.98        | 253.22 |
| 0.5963   | -0.0093    | -0.20      | 1.0655     | 1.1288     | -2.43        | 247.43 |
| 0.6650   | 0.0006     | 1.26       | 1.0481     | 1.1610     | 4.64         | 231.77 |
| 0.7949   | -0.0022    | -0.72      | 1.0219     | 1.2443     | -3.79        | 177.01 |
| 0.8614   | -0.0008    | 0.30       | 1.0114     | 1.3084     | 0.62         | 134.09 |
| 0.9432   | 0.0011     | -0.11      | 1.0023     | 1.4248     | 0.45         | 63.51  |
| $\sigma$ | 0.0038     | 0.55       |            |            | 2.37         |        |

4.6.2.- *Resultados experimentales del sistema o-Xileno(1)+  
n-Heptano(2) 75°C.*

Tabla 4.8

MEZCLAS DE COMPOSICION CONOCIDA A 30,0°C DEL SISTEMA  
o-XILENO(1) + n-HEPTANO(2)

| Nº | x <sub>1</sub> | x <sub>2</sub> | n       | n <sup>E</sup> | n <sub>exp</sub> - n <sub>cal</sub> |
|----|----------------|----------------|---------|----------------|-------------------------------------|
|    | 0,0000         | 1,0000         | 1,38255 |                | 0,00008                             |
| 1  | 0,0690         | 0,9310         | 1,38905 | -0,00160       | -0,00005                            |
| 2  | 0,1314         | 0,8686         | 1,39520 | -0,00277       | -0,00006                            |
| 3  | 0,1860         | 0,8140         | 1,40074 | -0,00363       | -0,00004                            |
| 4  | 0,2503         | 0,7497         | 1,40744 | -0,00448       | -0,00001                            |
| 5  | 0,2989         | 0,7011         | 1,41263 | -0,00499       | 0,00002                             |
| 6  | 0,3466         | 0,6534         | 1,41779 | -0,00543       | 0,00001                             |
| 7  | 0,3986         | 0,6014         | 1,42358 | -0,00574       | 0,00005                             |
| 8  | 0,4550         | 0,5450         | 1,42995 | -0,00598       | 0,00004                             |
| 9  | 0,4974         | 0,5026         | 1,43483 | -0,00608       | 0,00003                             |
| 10 | 0,5595         | 0,4405         | 1,44213 | -0,00607       | -0,00000                            |
| 11 | 0,6067         | 0,3933         | 1,44784 | -0,00589       | 0,00001                             |
| 12 | 0,6584         | 0,3416         | 1,45420 | -0,00560       | 0,00000                             |
| 13 | 0,6946         | 0,3054         | 1,45872 | -0,00533       | -0,00002                            |
| 14 | 0,7421         | 0,2579         | 1,46478 | -0,00484       | -0,00002                            |
| 15 | 0,7848         | 0,2152         | 1,47034 | -0,00429       | -0,00002                            |
| 16 | 0,8306         | 0,1694         | 1,47639 | -0,00361       | -0,00003                            |
| 17 | 0,8909         | 0,1091         | 1,48457 | -0,00251       | -0,00001                            |
| 18 | 0,9170         | 0,0830         | 1,48819 | -0,00195       | 0,00002                             |
| 19 | 0,9517         | 0,0483         | 1,49303 | -0,00118       | 0,00002                             |
|    | 1,0000         | 0,0000         | 1,49988 |                | 0,00002                             |

VALORES CALCULADOS DEL AJUSTE

COEFICIENTES

$$A_0 = 1,38247 \quad A_0^E = -0,02433$$

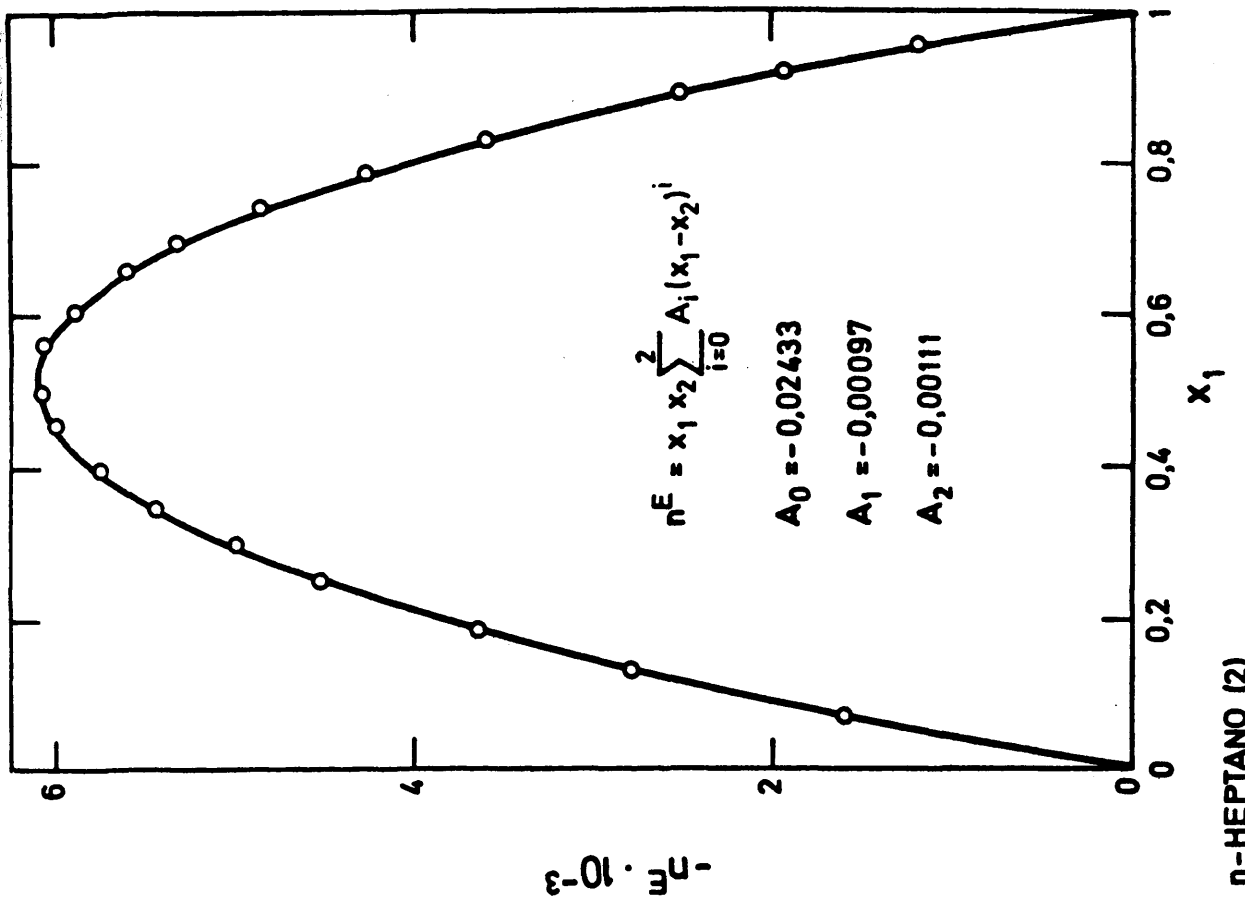
$$A_1 = 0,09468 \quad A_1^E = -0,00097$$

$$A_2 = 0,01963 \quad A_2^E = -0,00111$$

$$A_3 = 0,00307$$

$$\sigma = 0,00003 \quad \sigma^E = 0,00004$$

| x <sub>1</sub> | n       | n <sup>E</sup> |
|----------------|---------|----------------|
| 0,00           | 1,38247 |                |
| 0,10           | 1,39214 | -0,00218       |
| 0,20           | 1,40222 | -0,00386       |
| 0,30           | 1,41273 | -0,00506       |
| 0,40           | 1,42368 | -0,00575       |
| 0,50           | 1,43510 | -0,00607       |
| 0,60           | 1,44701 | -0,00593       |
| 0,70           | 1,45942 | -0,00528       |
| 0,80           | 1,47235 | -0,00408       |
| 0,90           | 1,48583 | -0,00231       |
| 1,00           | 1,49986 |                |



$\alpha$ -XILENO (1) +  $n$ -HEPTANO (2)  
 $30.0\text{ }^\circ\text{C}$

Figura 4.6

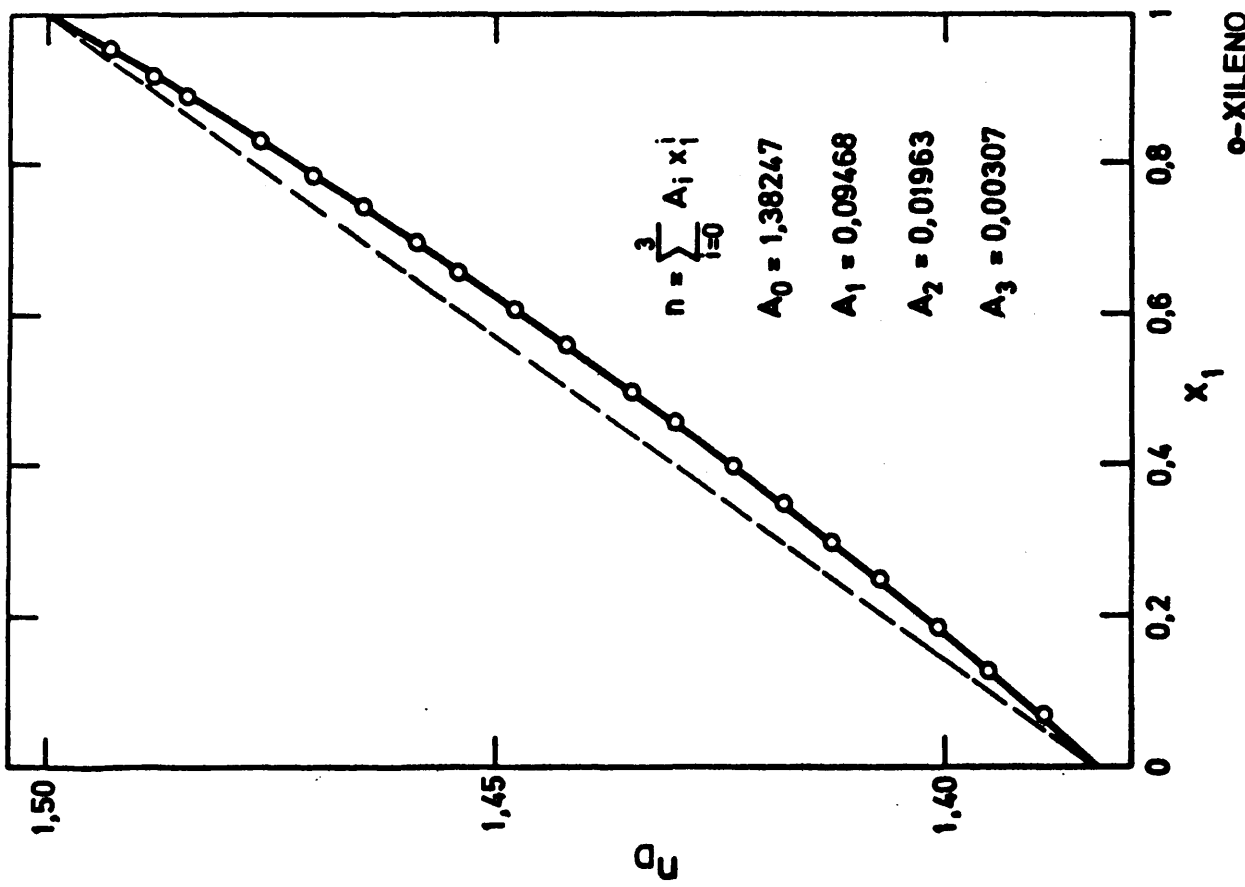


Tabla 4.9

## SISTEMA

o-XILENO(1) + n-HEPTANO(2)

PRESIONES DE VAPOR (hPa)

TEMPERATURA = 75.0 C

| $x_1$  | $y_1$  | P      | $p_1$  | $p_2$  |
|--------|--------|--------|--------|--------|
| 0.0544 | 0.0177 | 463.99 | 8.20   | 455.79 |
| 0.1103 | 0.0357 | 445.66 | 15.89  | 429.77 |
| 0.1837 | 0.0598 | 422.02 | 25.23  | 396.79 |
| 0.2417 | 0.0795 | 402.66 | 32.00  | 370.66 |
| 0.3090 | 0.1026 | 381.85 | 39.16  | 342.69 |
| 0.3415 | 0.1157 | 370.60 | 42.87  | 327.72 |
| 0.4007 | 0.1381 | 352.17 | 48.65  | 303.53 |
| 0.4326 | 0.1524 | 341.00 | 51.95  | 289.05 |
| 0.4619 | 0.1654 | 331.24 | 54.79  | 276.45 |
| 0.4939 | 0.1810 | 320.37 | 57.99  | 262.38 |
| 0.5191 | 0.1931 | 311.59 | 60.26  | 251.73 |
| 0.5728 | 0.2231 | 292.07 | 65.37  | 227.70 |
| 0.6124 | 0.2472 | 278.91 | 68.95  | 209.96 |
| 0.6473 | 0.2706 | 266.28 | 72.06  | 194.22 |
| 0.6841 | 0.2979 | 252.53 | 75.23  | 177.29 |
| 0.7202 | 0.3285 | 238.86 | 78.47  | 160.39 |
| 0.7592 | 0.3680 | 222.99 | 82.06  | 140.94 |
| 0.8002 | 0.4151 | 205.97 | 85.49  | 120.48 |
| 0.8377 | 0.4699 | 189.04 | 88.82  | 100.21 |
| 0.8683 | 0.5256 | 174.63 | 91.78  | 82.85  |
| 0.9031 | 0.6018 | 157.57 | 94.83  | 62.74  |
| 0.9373 | 0.7014 | 139.68 | 97.98  | 41.70  |
| 0.9641 | 0.8057 | 124.75 | 100.51 | 24.24  |

*o*-XILENO (1) + *n*-HEPTANO (2)

75,0 °C

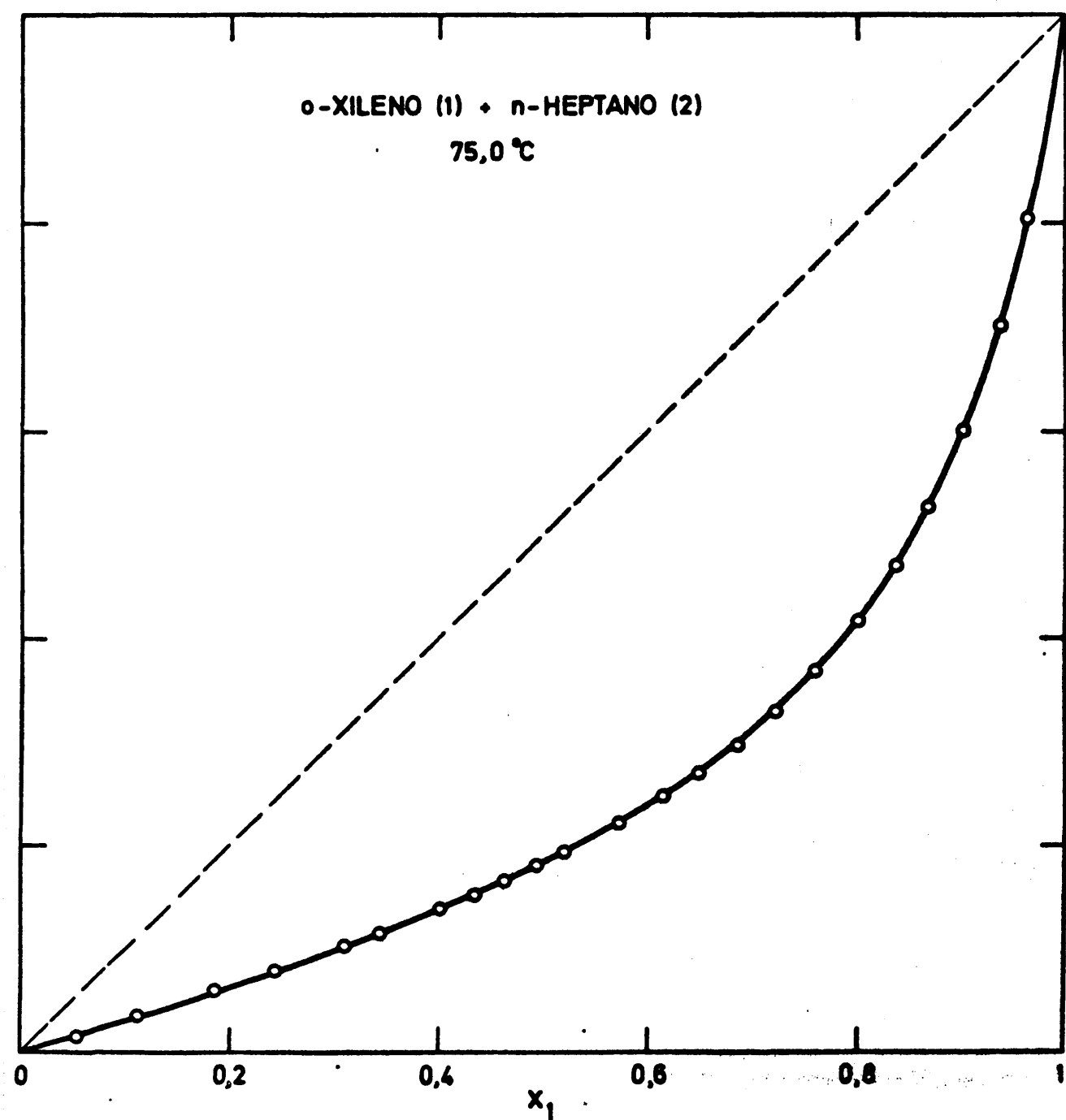


Figura 4.7

*o*-XILENO (1) + *n*-HEPTANO (2)

75.0 °C

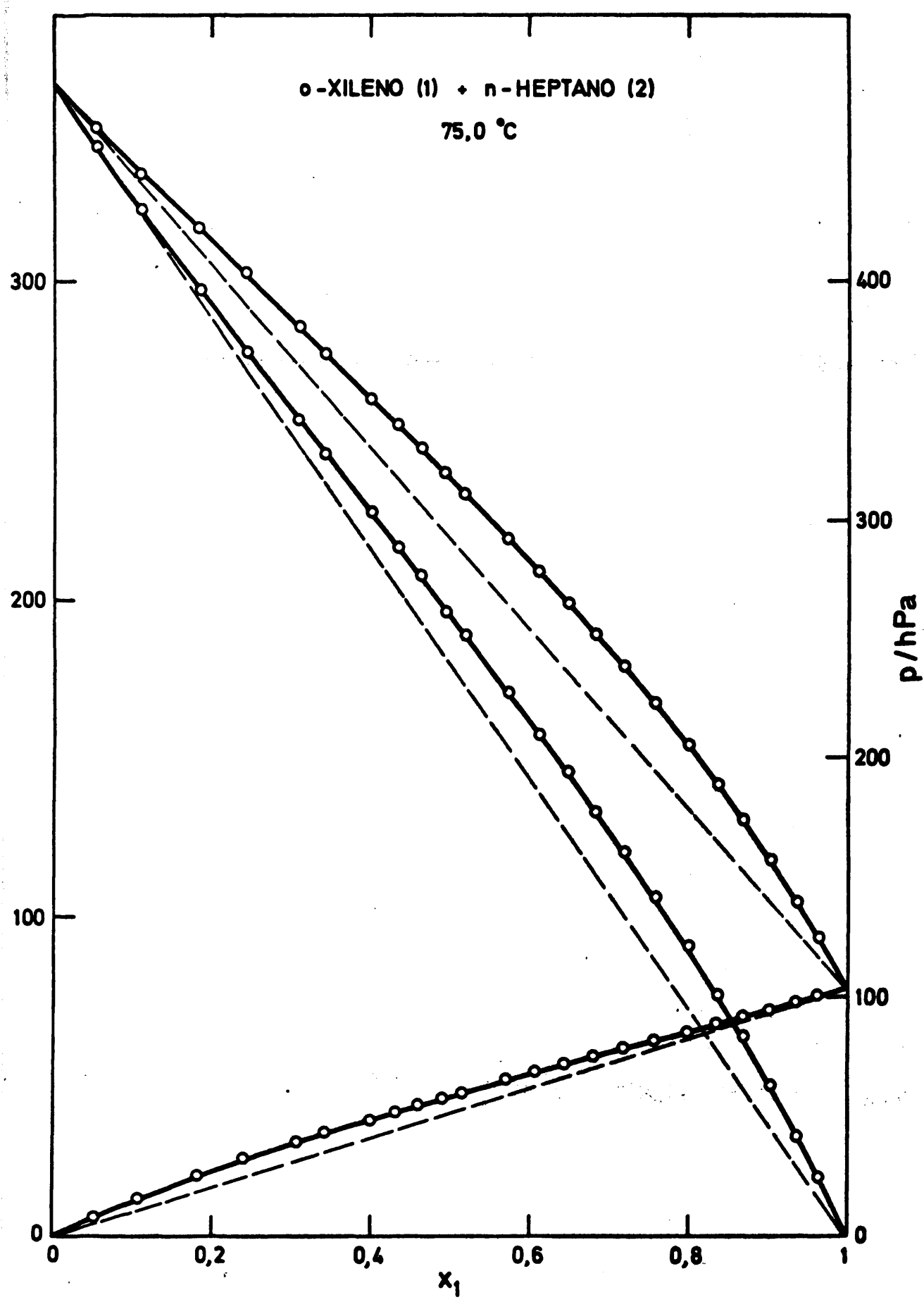


Figura 4.8

Tabla 4.10

SISTEMA

O-XILENO(1) + n-HEPTANO(2)

TEMPERATURA = 75.0 C°

$$\begin{aligned}
 V_1 &= 127.493 & S_{11} &= -2845.9 \\
 V_2 &= 157.622 & S_{22} &= -1847.9 \\
 && S_{12} &= -2311.1
 \end{aligned}$$

VALORES EXPERIMENTALES ( $\text{J.mol}^{-1}$ )

| $x_1$  | $y_1$  | P      | $\mu_1^E$ | $\mu_2^E$ | $\mu_1^E - \mu_2^E$ | $G^E$  |
|--------|--------|--------|-----------|-----------|---------------------|--------|
| 0.0000 |        | 482.03 |           |           |                     |        |
| 0.0544 | 0.0177 | 463.99 | 975.02    | 3.44      | 971.59              | 56.29  |
| 0.1103 | 0.0357 | 445.66 | 848.36    | 13.28     | 835.08              | 105.39 |
| 0.1837 | 0.0598 | 422.02 | 714.01    | 36.24     | 677.77              | 160.74 |
| 0.2417 | 0.0795 | 402.66 | 613.61    | 56.25     | 557.36              | 190.96 |
| 0.3090 | 0.1026 | 381.85 | 493.27    | 102.27    | 391.00              | 223.09 |
| 0.3415 | 0.1157 | 370.60 | 468.26    | 114.84    | 353.42              | 235.53 |
| 0.4007 | 0.1381 | 352.17 | 375.46    | 169.33    | 206.13              | 251.93 |
| 0.4326 | 0.1524 | 341.00 | 348.83    | 188.16    | 160.67              | 257.67 |
| 0.4619 | 0.1654 | 331.24 | 314.84    | 214.81    | 100.03              | 261.01 |
| 0.4939 | 0.1810 | 320.37 | 288.41    | 243.30    | 45.11               | 265.58 |
| 0.5191 | 0.1931 | 311.99 | 257.31    | 272.97    | -15.66              | 264.84 |
| 0.5728 | 0.2231 | 293.07 | 214.75    | 328.77    | -114.02             | 263.46 |
| 0.6124 | 0.2472 | 278.91 | 178.91    | 378.66    | -199.74             | 256.33 |
| 0.6473 | 0.2706 | 266.28 | 149.83    | 428.83    | -279.00             | 248.24 |
| 0.6841 | 0.2979 | 252.53 | 118.40    | 486.58    | -368.18             | 234.71 |
| 0.7202 | 0.3285 | 238.86 | 95.49     | 550.57    | -455.09             | 222.82 |
| 0.7592 | 0.3680 | 222.99 | 77.14     | 613.85    | -536.71             | 206.38 |
| 0.8002 | 0.4151 | 205.97 | 48.56     | 703.50    | -654.94             | 179.42 |
| 0.8377 | 0.4699 | 189.04 | 31.53     | 775.57    | -744.04             | 152.29 |
| 0.8683 | 0.5256 | 174.63 | 26.57     | 832.35    | -805.78             | 132.69 |
| 0.9031 | 0.6018 | 157.57 | 12.25     | 919.76    | -907.51             | 100.19 |
| 0.9373 | 0.7014 | 139.68 | 4.33      | 1001.41   | -997.08             | 66.85  |
| 0.9641 | 0.8057 | 124.75 | 1.15      | 1047.51   | -1046.37            | 38.71  |
| 1.0000 |        | 103.99 |           |           |                     |        |

Tabla 4.11

SISTEMA

*o*-XILENO(1) + *n*-HEPTANO(2)

TEMPERATURA = 75.0 C

AJUSTE POR MINIMOS CUADRADOS DE DATOS EXPERIMENTALES DE G<sup>E</sup>

| COEF           | GRADO DEL POLINOMIO |         |         |         |         |
|----------------|---------------------|---------|---------|---------|---------|
|                | UNO                 | DOS     | TRES    | CUATRO  | CINCO   |
| A <sub>0</sub> | 1081.71             | 1063.53 | 1061.51 | 1056.64 | 1057.23 |
| A <sub>1</sub> | 49.98               | 42.32   | 89.19   | 83.61   | 64.22   |
| A <sub>2</sub> |                     | 64.81   | 72.64   | 133.71  | 123.50  |
| A <sub>3</sub> |                     |         | -85.64  | -75.38  | 30.49   |
| A <sub>4</sub> |                     |         |         | -79.88  | -65.34  |
| A <sub>5</sub> |                     |         |         |         | -107.86 |
| $\sigma$       | 3.70                | 1.98    | 1.34    | 1.29    | 1.25    |

VALORES CALCULADOS DEL AJUSTE

| X <sub>1</sub> | GRADO DEL POLINOMIO |        |        |        |        |
|----------------|---------------------|--------|--------|--------|--------|
|                | UNO                 | DOS    | TRES   | CUATRO | CINCO  |
| 0.05           | 49.24               | 51.20  | 52.37  | 51.88  | 52.16  |
| 0.10           | 93.76               | 96.40  | 97.24  | 97.31  | 97.01  |
| 0.15           | 133.46              | 135.87 | 135.67 | 136.46 | 135.76 |
| 0.20           | 168.28              | 169.83 | 168.42 | 169.69 | 169.04 |
| 0.25           | 198.14              | 198.48 | 196.08 | 197.38 | 197.15 |
| 0.30           | 222.96              | 221.96 | 219.02 | 219.95 | 220.24 |
| 0.35           | 242.68              | 240.39 | 237.42 | 237.73 | 238.42 |
| 0.40           | 257.21              | 253.84 | 251.34 | 250.98 | 251.76 |
| 0.45           | 266.49              | 262.34 | 260.72 | 259.80 | 260.37 |
| 0.50           | 270.43              | 265.88 | 265.38 | 264.16 | 264.31 |
| 0.55           | 268.96              | 264.43 | 265.09 | 263.90 | 263.57 |
| 0.60           | 262.01              | 257.90 | 259.58 | 258.71 | 258.03 |
| 0.65           | 249.50              | 246.17 | 248.54 | 248.22 | 247.44 |
| 0.70           | 231.36              | 229.07 | 231.70 | 231.97 | 231.39 |
| 0.75           | 207.51              | 206.42 | 208.79 | 209.52 | 209.36 |
| 0.80           | 177.87              | 177.96 | 179.63 | 180.53 | 180.79 |
| 0.85           | 142.38              | 143.43 | 144.10 | 144.79 | 145.27 |
| 0.90           | 100.95              | 102.50 | 102.20 | 102.40 | 102.70 |
| 0.95           | 53.52               | 54.82  | 54.06  | 53.81  | 53.71  |

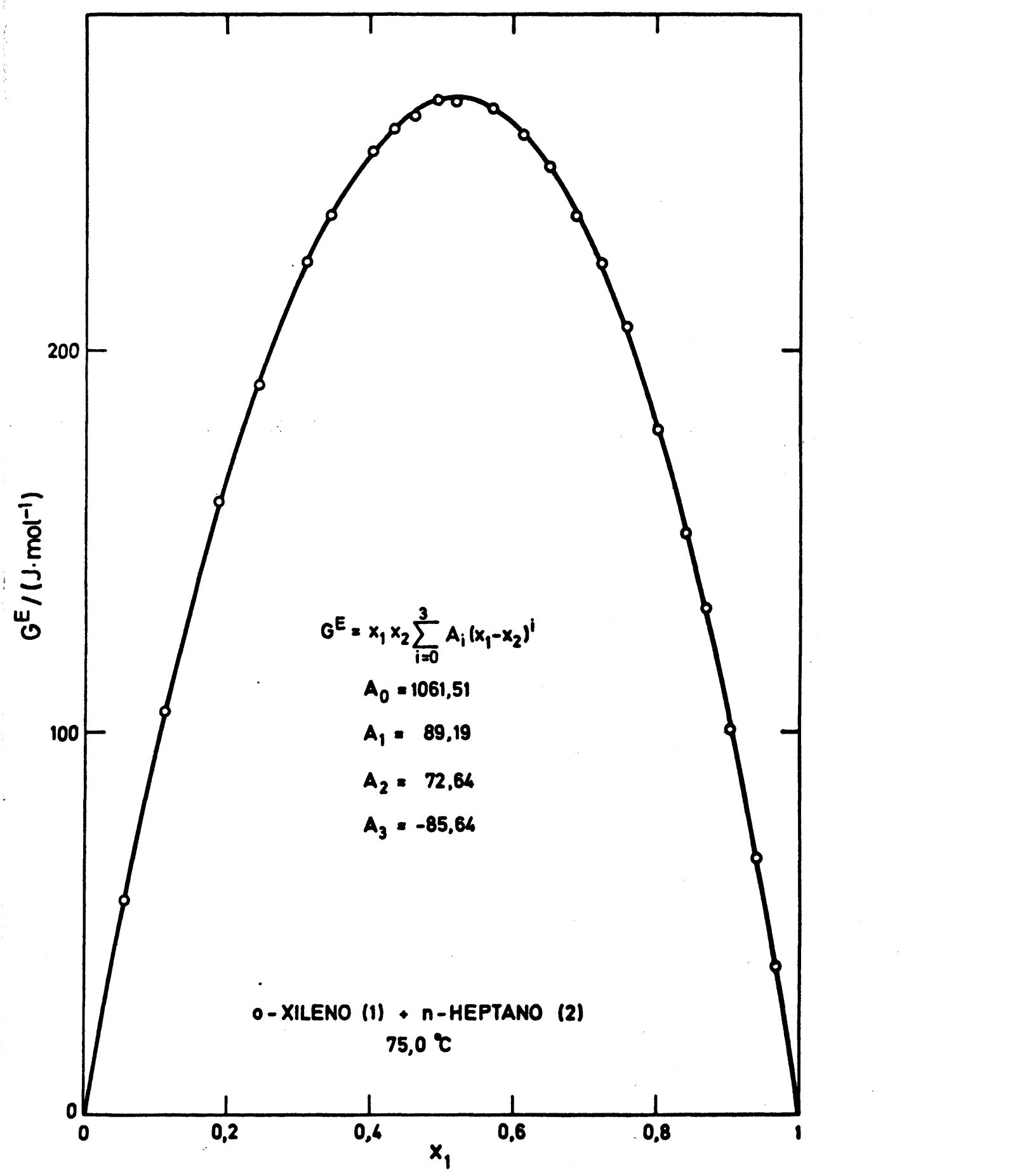
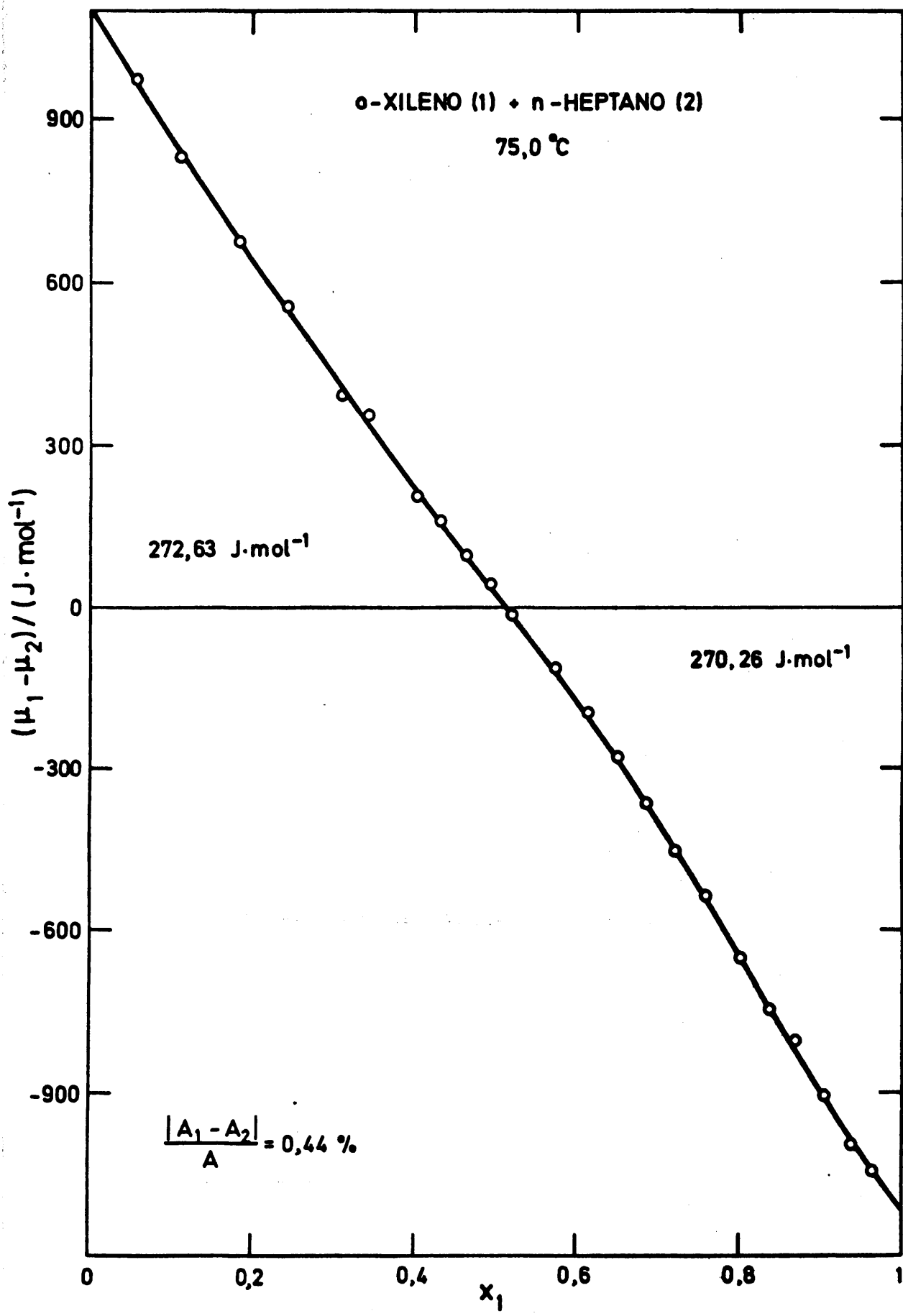


Figura 4.9



**Figura 4.10**

Tabla 4.12

CALCULO DE  $G^E$  POR EL METODO DE BARKER

POLINOMIO DE GRADO = 3

## COEFICIENTES

$$A_1 = 1069.85$$

$$A_2 = 71.95$$

$$A_3 = 51.39$$

$$A_4 = -26.27$$

| $X_1$    | $\Delta Y$ | $\Delta P$ | $Y_1$  | $Y_2$  | $\Delta G^E$ | $G^E$  |
|----------|------------|------------|--------|--------|--------------|--------|
| 0.0544   | 0.0002     | 0.06       | 1.3858 | 1.0012 | 1.50         | 54.79  |
| 0.1103   | 0.0003     | -0.00      | 1.3309 | 1.0049 | 1.62         | 103.77 |
| 0.1837   | 0.0004     | 0.09       | 1.2713 | 1.0128 | 3.06         | 157.68 |
| 0.2417   | 0.0004     | -0.56      | 1.2317 | 1.0215 | -1.48        | 192.45 |
| 0.3090   | -0.0006    | 0.35       | 1.1920 | 1.0343 | -1.39        | 224.48 |
| 0.3415   | 0.0002     | -0.32      | 1.1747 | 1.0416 | -1.28        | 236.81 |
| 0.4007   | -0.0011    | 0.61       | 1.1458 | 1.0570 | -2.09        | 254.02 |
| 0.4326   | -0.0005    | 0.01       | 1.1314 | 1.0666 | -2.80        | 260.47 |
| 0.4619   | -0.0006    | 0.02       | 1.1190 | 1.0762 | -3.61        | 264.62 |
| 0.4939   | -0.0002    | -0.07      | 1.1060 | 1.0877 | -1.63        | 267.21 |
| 0.5191   | -0.0007    | 0.12       | 1.0964 | 1.0976 | -2.94        | 267.78 |
| 0.5728   | 0.0001     | -0.18      | 1.0772 | 1.1211 | -1.14        | 264.60 |
| 0.6124   | 0.0001     | -0.25      | 1.0643 | 1.1410 | -2.00        | 258.33 |
| 0.6473   | -0.0000    | -0.16      | 1.0538 | 1.1604 | -1.72        | 249.95 |
| 0.6841   | -0.0004    | -0.12      | 1.0436 | 1.1830 | -3.44        | 238.15 |
| 0.7202   | -0.0006    | 0.19       | 1.0346 | 1.2075 | -0.71        | 223.53 |
| 0.7592   | 0.0004     | 0.03       | 1.0259 | 1.2368 | 2.12         | 204.26 |
| 0.8002   | -0.0011    | 0.30       | 1.0180 | 1.2710 | -0.59        | 180.01 |
| 0.8377   | -0.0006    | 0.05       | 1.0120 | 1.3055 | -1.86        | 154.15 |
| 0.8683   | 0.0009     | -0.07      | 1.0080 | 1.3362 | 2.30         | 130.39 |
| 0.9031   | -0.0000    | -0.00      | 1.0043 | 1.3740 | -0.23        | 100.42 |
| 0.9373   | 0.0001     | -0.06      | 1.0018 | 1.4142 | -1.00        | 67.85  |
| 0.9641   | 0.0013     | -0.22      | 1.0006 | 1.4480 | -1.43        | 40.15  |
| $\sigma$ | 0.0006     | 0.24       |        |        | 2.02         |        |

4.6.3.- *Resultados experimentales del sistema m-Xileno(1)+  
n-Heptano(2) 75°C.*

Tabla 4.13

MEZCLAS DE COMPOSICION CONOCIDA A 30,0°C DEL SISTEMA  
m-XILENO(1) + n-HEPTANO(2)

| Nº | x <sub>1</sub> | x <sub>2</sub> | n       | n <sup>E</sup> | n <sub>exp</sub> - n <sub>cal</sub> |
|----|----------------|----------------|---------|----------------|-------------------------------------|
| 1  | 0,0000         | 1,0000         | 1,38255 |                | 0,00005                             |
| 1  | 0,0567         | 0,9433         | 1,38754 | -0,00122       | -0,00007                            |
| 2  | 0,1157         | 0,8843         | 1,39304 | -0,00218       | -0,00001                            |
| 3  | 0,1926         | 0,8074         | 1,40036 | -0,00328       | 0,00001                             |
| 4  | 0,2314         | 0,7686         | 1,40414 | -0,00376       | 0,00002                             |
| 5  | 0,2858         | 0,7142         | 1,40953 | -0,00431       | 0,00003                             |
| 6  | 0,3398         | 0,6602         | 1,41499 | -0,00476       | 0,00002                             |
| 7  | 0,4105         | 0,5895         | 1,42232 | -0,00518       | 0,00002                             |
| 8  | 0,4571         | 0,5429         | 1,42724 | -0,00536       | -0,00001                            |
| 9  | 0,4966         | 0,5034         | 1,43148 | -0,00544       | -0,00003                            |
| 10 | 0,5489         | 0,4511         | 1,43723 | -0,00542       | -0,00004                            |
| 11 | 0,6001         | 0,3999         | 1,44299 | -0,00527       | -0,00002                            |
| 12 | 0,6478         | 0,3522         | 1,44848 | -0,00500       | 0,00001                             |
| 13 | 0,6895         | 0,3105         | 1,45337 | -0,00467       | 0,00004                             |
| 14 | 0,7445         | 0,2555         | 1,45988 | -0,00418       | 0,00002                             |
| 15 | 0,7906         | 0,2094         | 1,46547 | -0,00364       | 0,00004                             |
| 16 | 0,8267         | 0,1733         | 1,46988 | -0,00319       | 0,00001                             |
| 17 | 0,8797         | 0,1203         | 1,47648 | -0,00239       | -0,00002                            |
| 18 | 0,9039         | 0,0961         | 1,47955 | -0,00197       | -0,00002                            |
| 19 | 0,9506         | 0,0494         | 1,48560 | -0,00103       | 0,00002                             |
|    | 1,0000         | 0,0000         | 1,49204 |                | -0,00001                            |

VALORES CALCULADOS DEL AJUSTE

COEFICIENTES

$$A_0 = 1,38250 \quad A_0 = -0,02168$$

$$A_1 = 0,08912 \quad A_1 = -0,00164$$

$$A_2 = 0,01821 \quad A_2 = 0,00110$$

$$A_3 = 0,00223 \quad A_3 = 0,00218$$

$$A_4 = -0,00262$$

$$\sigma = 0,00003 \quad \sigma = 0,00002$$

| x <sub>1</sub> | n       | n <sup>E</sup> |
|----------------|---------|----------------|
| 0,00           | 1,38250 |                |
| 0,10           | 1,39159 | -0,00197       |
| 0,20           | 1,40106 | -0,00333       |
| 0,30           | 1,41093 | -0,00442       |
| 0,40           | 1,42120 | -0,00512       |
| 0,50           | 1,43188 | -0,00542       |
| 0,60           | 1,44300 | -0,00527       |
| 0,70           | 1,45456 | -0,00464       |
| 0,80           | 1,46658 | -0,00354       |
| 0,90           | 1,47907 | -0,00200       |
| 1,00           | 1,49205 |                |

1,48

0  
1,44

$$n = \sum_{i=0}^3 A_i x_1^i$$

$$A_0 = 1,38250$$

$$A_1 = 0,08912$$

$$A_2 = 0,01821$$

$$A_3 = 0,00223$$



m-XILENO (1) + n-HEPTANO (2)

30,0 °C

Figura 4.11

Tabla 4.14

SISTEMA

m-XILENO(1) + n-HEPTANO(2)

PRESIONES DE VAPOR (hPa)

TEMPERATURA = 75.0 C

| $x_1$  | $y_1$  | $P$    | $P_1$  | $P_2$  |
|--------|--------|--------|--------|--------|
| 0.0820 | 0.0293 | 455.88 | 13.37  | 442.51 |
| 0.1375 | 0.0502 | 438.59 | 22.01  | 416.58 |
| 0.2207 | 0.0820 | 412.38 | 33.81  | 378.57 |
| 0.2697 | 0.1011 | 397.45 | 40.19  | 357.26 |
| 0.3143 | 0.1200 | 383.53 | 46.02  | 337.51 |
| 0.3692 | 0.1448 | 366.34 | 53.03  | 313.31 |
| 0.4101 | 0.1643 | 353.29 | 58.03  | 295.26 |
| 0.4401 | 0.1806 | 343.16 | 61.97  | 281.19 |
| 0.4692 | 0.1960 | 333.52 | 65.36  | 268.16 |
| 0.5054 | 0.2160 | 322.17 | 69.58  | 252.59 |
| 0.5358 | 0.2341 | 312.20 | 73.09  | 239.11 |
| 0.5630 | 0.2511 | 303.25 | 76.14  | 227.11 |
| 0.5895 | 0.2679 | 294.56 | 78.92  | 215.64 |
| 0.6260 | 0.2941 | 282.08 | 82.95  | 199.13 |
| 0.6670 | 0.3264 | 268.07 | 87.51  | 180.56 |
| 0.6935 | 0.3494 | 258.58 | 90.36  | 168.22 |
| 0.7212 | 0.3769 | 248.05 | 93.48  | 154.57 |
| 0.7425 | 0.3980 | 240.31 | 95.66  | 144.66 |
| 0.7570 | 0.4145 | 234.41 | 97.16  | 137.24 |
| 0.7653 | 0.4243 | 231.30 | 98.14  | 133.16 |
| 0.7835 | 0.4465 | 224.14 | 100.08 | 124.06 |
| 0.7983 | 0.4660 | 218.24 | 101.70 | 116.54 |
| 0.8226 | 0.4991 | 208.37 | 103.99 | 104.38 |
| 0.8442 | 0.5351 | 199.30 | 106.64 | 92.66  |
| 0.9108 | 0.6742 | 169.27 | 114.12 | 55.14  |
| 0.9425 | 0.7635 | 153.99 | 117.57 | 36.42  |
| 0.9729 | 0.8737 | 138.47 | 120.98 | 17.49  |

m-XILENO (1) + n-HEPTANO (2)

75,0 °C

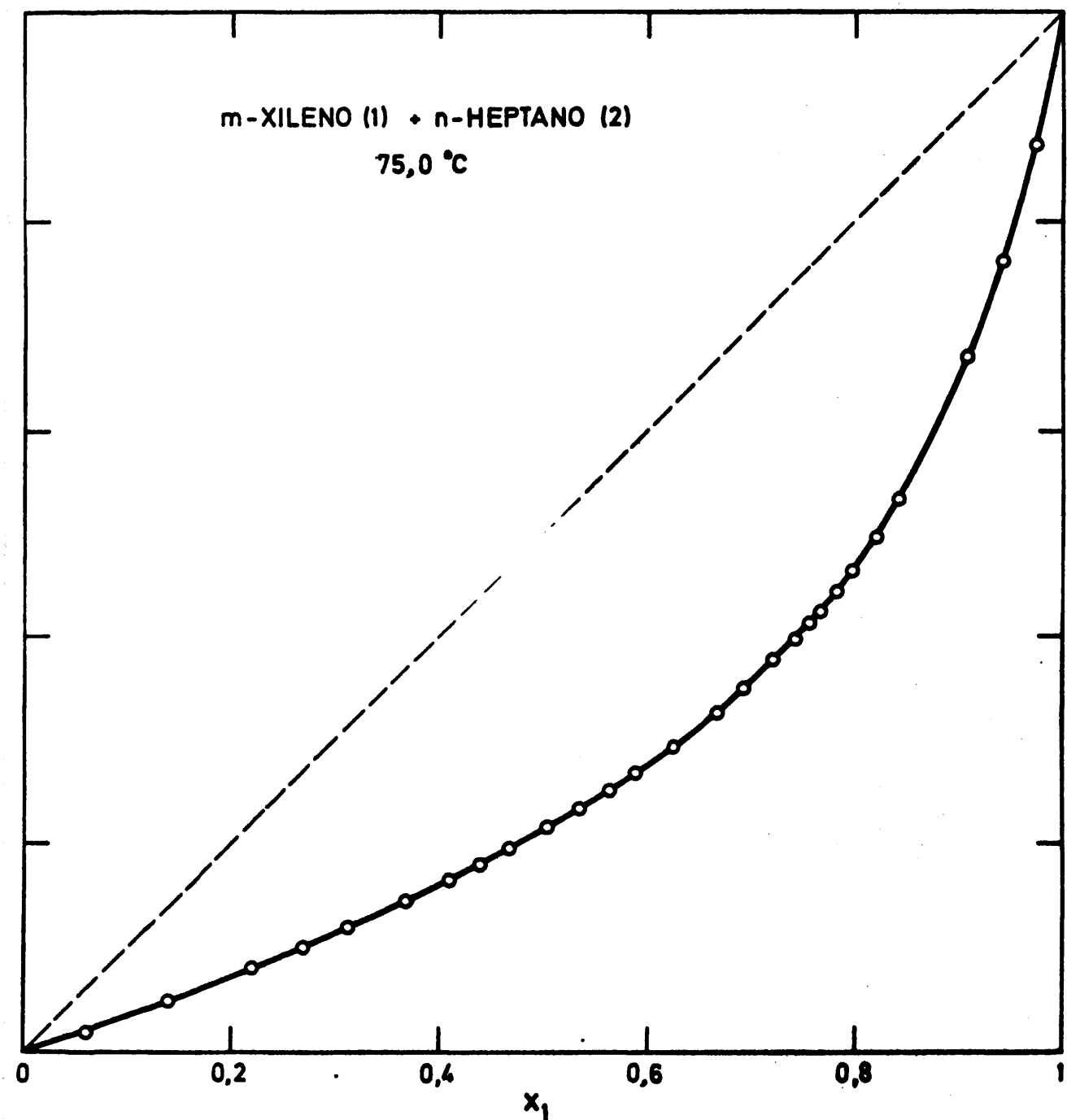


Figura 4.12

*m*-XILENO (1) + *n*-HEPTANO (2)

75,0 °C



Figura 4.13

Tabla 4.15

SISTEMA

m-XILENO(1) + n-HEPTANO(2)

TEMPERATURA = 75.0 C

$$\begin{aligned}
 V_1 &= 130.159 & S_{11} &= -2768.0 \\
 V_2 &= 157.622 & S_{22} &= -1847.9 \\
 && S_{12} &= -2277.0
 \end{aligned}$$

VALORES EXPERIMENTALES ( $J \cdot mol^{-1}$ )

| $x_1$  | $y_1$  | P      | $\mu_1^E$ | $\mu_2^E$ | $\mu_1^E - \mu_2^E$ | $G^E$  |
|--------|--------|--------|-----------|-----------|---------------------|--------|
| 0.0000 |        | 482.03 |           |           |                     |        |
| 0.0820 | 0.0293 | 455.88 | 694.19    | 5.40      | 688.79              | 61.88  |
| 0.1375 | 0.0502 | 438.59 | 649.36    | 14.45     | 634.91              | 101.75 |
| 0.2207 | 0.0820 | 412.38 | 529.02    | 36.40     | 492.63              | 145.12 |
| 0.2657 | 0.1011 | 397.45 | 452.16    | 59.76     | 392.40              | 165.59 |
| 0.3143 | 0.1200 | 383.53 | 405.96    | 80.26     | 325.70              | 182.63 |
| 0.3692 | 0.1448 | 366.34 | 355.85    | 109.83    | 246.02              | 200.66 |
| 0.4101 | 0.1643 | 353.29 | 316.09    | 134.72    | 181.37              | 209.10 |
| 0.4401 | 0.1806 | 343.16 | 304.13    | 146.60    | 157.54              | 215.93 |
| 0.4692 | 0.1960 | 333.52 | 275.90    | 165.64    | 110.20              | 217.37 |
| 0.5054 | 0.2160 | 322.17 | 245.02    | 199.29    | 45.73               | 222.40 |
| 0.5358 | 0.2341 | 312.20 | 220.66    | 226.29    | -5.63               | 223.27 |
| 0.5630 | 0.2511 | 303.25 | 198.60    | 253.75    | -55.15              | 222.70 |
| 0.5895 | 0.2679 | 294.56 | 171.19    | 286.72    | -115.53             | 218.61 |
| 0.6260 | 0.2941 | 282.08 | 145.59    | 327.99    | -182.41             | 213.81 |
| 0.6670 | 0.3264 | 268.07 | 120.05    | 383.87    | -263.82             | 207.90 |
| 0.6935 | 0.3494 | 258.58 | 102.70    | 420.90    | -318.21             | 200.23 |
| 0.7212 | 0.3769 | 248.05 | 91.23     | 451.83    | -360.60             | 191.77 |
| 0.7425 | 0.3980 | 240.31 | 75.17     | 492.05    | -416.88             | 182.51 |
| 0.7570 | 0.4145 | 234.41 | 66.41     | 508.54    | -442.14             | 173.84 |
| 0.7653 | 0.4243 | 231.30 | 64.74     | 522.29    | -457.55             | 172.13 |
| 0.7835 | 0.4465 | 224.14 | 55.35     | 552.55    | -497.20             | 162.99 |
| 0.7983 | 0.4660 | 218.24 | 49.25     | 577.60    | -528.31             | 155.85 |
| 0.8226 | 0.4991 | 208.37 | 30.01     | 632.06    | -602.04             | 136.82 |
| 0.8442 | 0.5351 | 199.30 | 30.40     | 665.07    | -634.67             | 129.28 |
| 0.9108 | 0.6742 | 169.27 | 15.16     | 783.50    | -768.34             | 83.70  |
| 0.9425 | 0.7635 | 153.99 | 6.71      | 856.57    | -849.85             | 55.58  |
| 0.9729 | 0.8737 | 138.47 | 2.06      | 914.00    | -911.94             | 26.77  |
| 1.0000 |        | 124.08 |           |           |                     |        |

Tabla 4.16

SISTEMA

m-XILENO(1) + n-HEPTANO(2)

TEMPERATURA = 75.0 C

AJUSTE POR MINIMOS CUADRADOS DE DATOS EXPERIMENTALES DE GE

| COEF           | GRADO DEL POLINOMIO |        |        |        |        |
|----------------|---------------------|--------|--------|--------|--------|
|                | UNO                 | DOS    | TRES   | CUATRO | CINCO  |
| A <sub>0</sub> | 898.17              | 886.38 | 886.01 | 885.89 | 884.76 |
| A <sub>1</sub> | 113.23              | 105.14 | 108.26 | 107.97 | 102.87 |
| A <sub>2</sub> |                     | 49.19  | 50.60  | 52.07  | 70.59  |
| A <sub>3</sub> |                     |        | -6.54  | -5.90  | -96.63 |
| A <sub>4</sub> |                     |        |        | -2.09  | -32.92 |
| A <sub>5</sub> |                     |        |        |        | 100.46 |
| $\sigma$       | 2.37                | 1.60   | 1.58   | 1.58   | 1.49   |

VALORES CALCULADOS DEL AJUSTE

| X <sub>1</sub> | GRADO DEL POLINOMIO |        |        |        |        |
|----------------|---------------------|--------|--------|--------|--------|
|                | UNO                 | DOS    | TRES   | CUATRO | CINCO  |
| 0.05           | 37.82               | 39.50  | 39.63  | 39.61  | 38.99  |
| 0.10           | 72.68               | 75.04  | 75.16  | 75.15  | 75.12  |
| 0.15           | 104.41              | 106.70 | 106.75 | 106.76 | 107.32 |
| 0.20           | 132.84              | 134.56 | 134.51 | 134.54 | 135.24 |
| 0.25           | 157.79              | 158.65 | 158.50 | 158.54 | 158.97 |
| 0.30           | 179.11              | 178.96 | 178.75 | 178.79 | 178.76 |
| 0.35           | 196.61              | 195.48 | 195.25 | 195.27 | 194.82 |
| 0.40           | 210.13              | 208.16 | 207.94 | 207.94 | 207.29 |
| 0.45           | 219.50              | 216.90 | 216.73 | 216.72 | 216.13 |
| 0.50           | 224.54              | 221.59 | 221.50 | 221.47 | 221.19 |
| 0.55           | 225.10              | 222.10 | 222.09 | 222.06 | 222.17 |
| 0.60           | 221.00              | 218.25 | 218.31 | 218.28 | 218.73 |
| 0.65           | 212.06              | 209.83 | 209.95 | 209.94 | 210.52 |
| 0.70           | 198.13              | 196.62 | 196.77 | 196.77 | 197.23 |
| 0.75           | 179.02              | 178.36 | 178.49 | 178.51 | 178.66 |
| 0.80           | 154.58              | 154.75 | 154.84 | 154.86 | 154.65 |
| 0.85           | 124.62              | 125.47 | 125.50 | 125.52 | 125.10 |
| 0.90           | 88.99               | 90.18  | 90.15  | 90.15  | 89.84  |
| 0.95           | 47.50               | 48.49  | 48.43  | 48.43  | 48.44  |

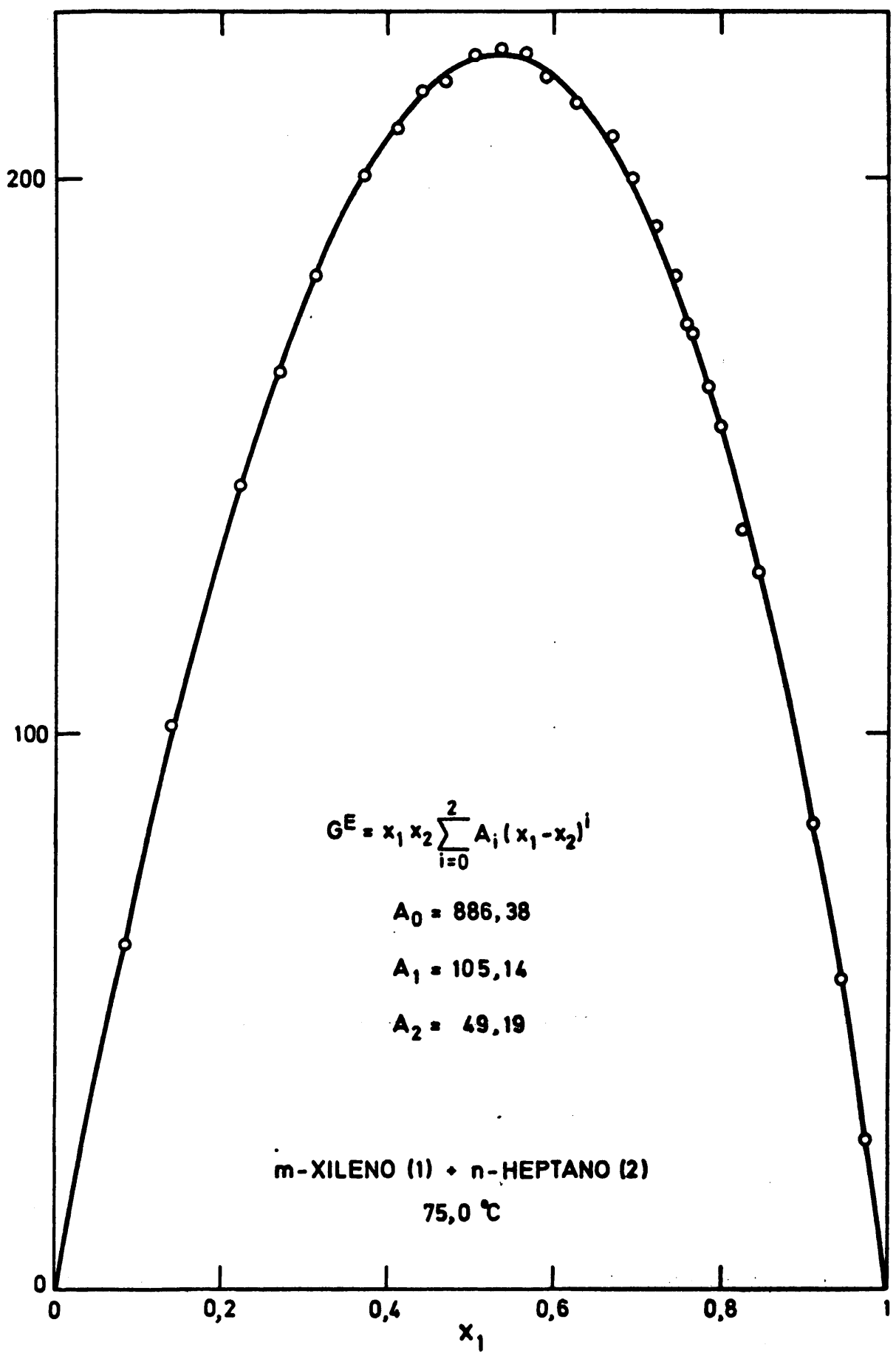
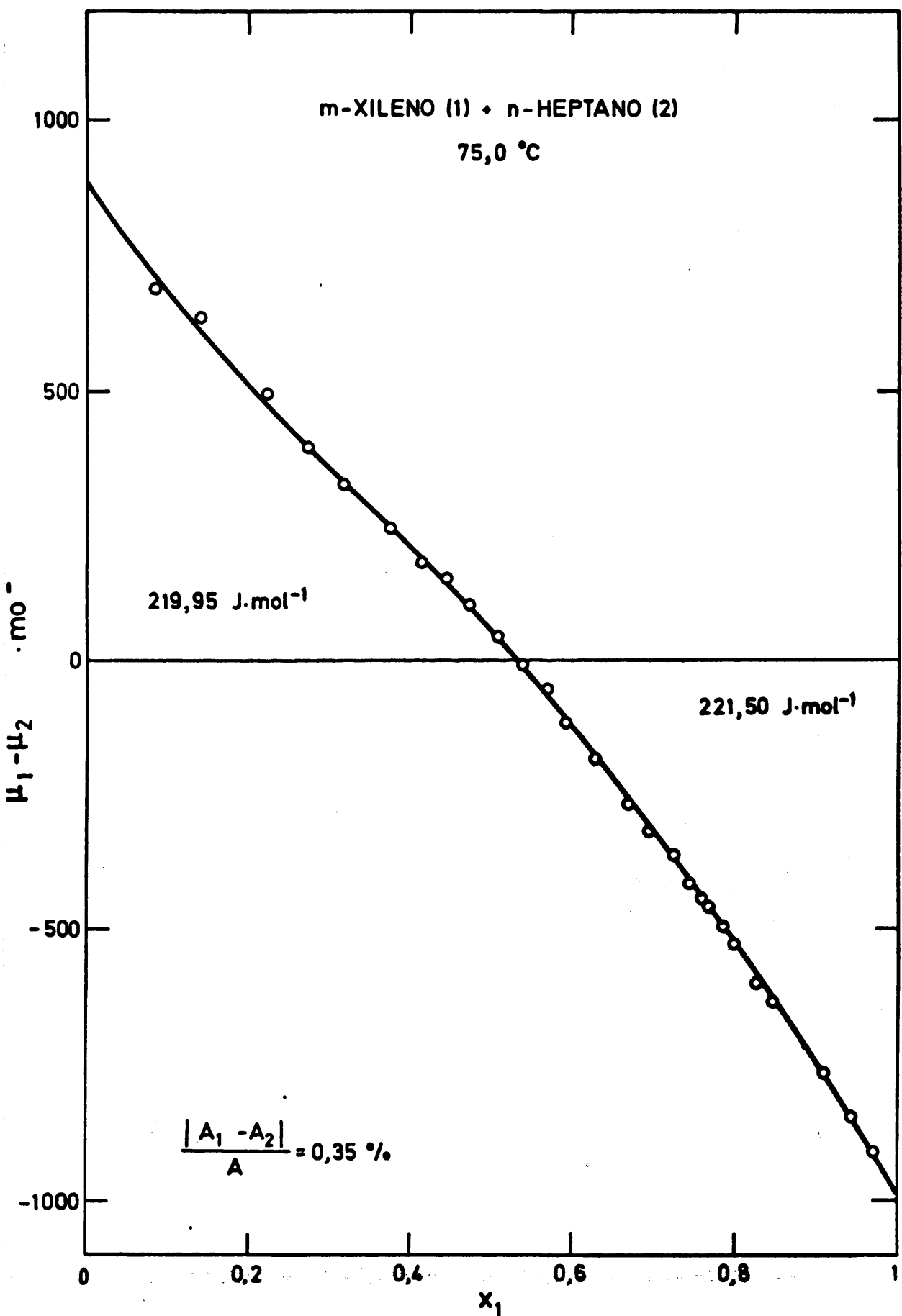


Figura 4.14



**Figura 4.15**

Tabla 4.17

CALCULO DE  $G^E$  POR EL METODO DE BARKER

POLINOMIO DE GRADO = 2

COEFICIENTES

$$\begin{aligned} A_1 &= 893.20 \\ A_2 &= 101.24 \\ A_3 &= 36.00 \end{aligned}$$

| $x_1$    | $\Delta Y$ | $\Delta P$ | $\gamma_1$ | $\gamma_2$ | $\Delta G^E$ | $G^E$  |
|----------|------------|------------|------------|------------|--------------|--------|
| 0.0820   | -0.0001    | -0.02      | 1.2773     | 1.0018     | -0.88        | 62.76  |
| 0.1375   | 0.0002     | 0.15       | 1.2449     | 1.0049     | 2.29         | 99.47  |
| 0.2207   | -0.0001    | -0.06      | 1.2015     | 1.0127     | -0.71        | 145.83 |
| 0.2697   | -0.0009    | 0.28       | 1.1784     | 1.0191     | -2.66        | 168.25 |
| 0.3143   | -0.0010    | 0.29       | 1.1588     | 1.0262     | -2.84        | 185.47 |
| 0.3692   | -0.0008    | 0.34       | 1.1364     | 1.0367     | -1.77        | 202.42 |
| 0.4101   | -0.0009    | 0.22       | 1.1208     | 1.0459     | -2.86        | 211.96 |
| 0.4401   | 0.0003     | -0.35      | 1.1100     | 1.0534     | -1.31        | 217.23 |
| 0.4692   | 0.0004     | -0.64      | 1.0999     | 1.0615     | -3.56        | 220.93 |
| 0.5054   | 0.0003     | -0.27      | 1.0880     | 1.0725     | -1.15        | 223.55 |
| 0.5358   | 0.0004     | -0.27      | 1.0785     | 1.0828     | -0.74        | 224.01 |
| 0.5630   | 0.0003     | -0.19      | 1.0704     | 1.0928     | -0.33        | 223.03 |
| 0.5895   | -0.0005    | 0.02       | 1.0629     | 1.1033     | -2.20        | 220.81 |
| 0.6260   | -0.0004    | 0.02       | 1.0531     | 1.1192     | -1.82        | 215.63 |
| 0.6670   | -0.0006    | 0.37       | 1.0430     | 1.1392     | 1.11         | 206.79 |
| 0.6935   | -0.0008    | 0.39       | 1.0369     | 1.1534     | 0.89         | 199.33 |
| 0.7212   | 0.0003     | 0.03       | 1.0310     | 1.1694     | 1.75         | 190.02 |
| 0.7425   | -0.0006    | 0.28       | 1.0268     | 1.1826     | 0.73         | 181.78 |
| 0.7570   | -0.0002    | -0.08      | 1.0240     | 1.1921     | -1.78        | 175.63 |
| 0.7653   | 0.0000     | 0.01       | 1.0225     | 1.1977     | 0.23         | 171.90 |
| 0.7835   | 0.0000     | -0.02      | 1.0194     | 1.2105     | -0.22        | 163.21 |
| 0.7983   | 0.0002     | -0.03      | 1.0170     | 1.2214     | 0.24         | 155.61 |
| 0.8226   | -0.0015    | 0.02       | 1.0133     | 1.2403     | -5.25        | 142.06 |
| 0.8442   | 0.0000     | 0.02       | 1.0104     | 1.2583     | 0.39         | 128.89 |
| 0.9108   | 0.0021     | -0.25      | 1.0036     | 1.3213     | 2.40         | 81.30  |
| 0.9425   | 0.0017     | -0.22      | 1.0015     | 1.3559     | 0.79         | 54.79  |
| 0.9729   | 0.0017     | -0.22      | 1.0003     | 1.3923     | -0.15        | 26.92  |
| $\sigma$ | 0.0008     | 0.24       |            |            | 1.93         |        |

4.6.4.- *Resultados experimentales del sistema p-Xileno(1)+  
n-Heptano(2) 75°C.*

Tabla 4.18

MEZCLAS DE COMPOSICION CONOCIDA A 30,0°C DEL SISTEMA  
p-XILENO(1) + n-HEPTANO(2)

| Nº | x <sub>1</sub> | x <sub>2</sub> | n       | n <sup>E</sup> | n <sub>exp</sub> - n <sub>cal</sub> |
|----|----------------|----------------|---------|----------------|-------------------------------------|
|    | 0,0000         | 1,0000         | 1,38255 |                | 0,00005                             |
| 1  | 0,0628         | 0,9372         | 1,38810 | -0,00123       | -0,00004                            |
| 2  | 0,1198         | 0,8802         | 1,39334 | -0,00215       | -0,00004                            |
| 3  | 0,1879         | 0,8121         | 1,39978 | -0,00306       | 0,00000                             |
| 4  | 0,2361         | 0,7639         | 1,40442 | -0,00363       | 0,00000                             |
| 5  | 0,2944         | 0,7056         | 1,41015 | -0,00420       | 0,00001                             |
| 6  | 0,3413         | 0,6587         | 1,41483 | -0,00458       | -0,00000                            |
| 7  | 0,3980         | 0,6020         | 1,42061 | -0,00493       | -0,00002                            |
| 8  | 0,4530         | 0,5470         | 1,42636 | -0,00512       | -0,00001                            |
| 9  | 0,4997         | 0,5003         | 1,43137 | -0,00515       | 0,00003                             |
| 10 | 0,5530         | 0,4470         | 1,43715 | -0,00513       | 0,00003                             |
| 11 | 0,5935         | 0,4065         | 1,44162 | -0,00503       | 0,00003                             |
| 12 | 0,6621         | 0,3379         | 1,44934 | -0,00472       | 0,00001                             |
| 13 | 0,6928         | 0,3072         | 1,45286 | -0,00452       | 0,00001                             |
| 14 | 0,7415         | 0,2585         | 1,45853 | -0,00411       | -0,00000                            |
| 15 | 0,7834         | 0,2166         | 1,46347 | -0,00369       | -0,00004                            |
| 16 | 0,8216         | 0,1784         | 1,46808 | -0,00321       | -0,00003                            |
| 17 | 0,8645         | 0,1355         | 1,47336 | -0,00256       | -0,00000                            |
| 18 | 0,9064         | 0,0936         | 1,47856 | -0,00189       | -0,00001                            |
| 19 | 0,9543         | 0,0457         | 1,48462 | -0,00100       | -0,00001                            |
|    | 1,0000         | 0,0000         | 1,49056 |                | 0,00005                             |

VALORES CALCULADOS DEL AJUSTE

COEFICIENTES

$$A_0 = 1,38250 \quad A_0^E = -0,02057$$

$$A_1 = 0,08871 \quad A_1^E = -0,00117$$

$$A_2 = 0,01680 \quad A_2^E = -0,00138$$

$$A_3 = 0,00251$$

$$\sigma = 0,00003 \quad \sigma^E = 0,00002$$

| x <sub>1</sub> | n       | n <sup>E</sup> |
|----------------|---------|----------------|
| 0,00           | 1,38250 |                |
| 0,10           | 1,39159 | -0,00185       |
| 0,20           | 1,40094 | -0,00326       |
| 0,30           | 1,41069 | -0,00427       |
| 0,40           | 1,42083 | -0,00490       |
| 0,50           | 1,43137 | -0,00514       |
| 0,60           | 1,44231 | -0,00501       |
| 0,70           | 1,45369 | -0,00447       |
| 0,80           | 1,46550 | -0,00348       |
| 0,90           | 1,47777 | -0,00202       |
| 1,00           | 1,49051 |                |

1,48

1,46

$\sigma$

1,42

1,40



Figura 4.16

$$\sigma = \sum_{i=0}^3 A_i x_1^i$$

$$\begin{aligned}A_0 &= 1,38250 \\A_1 &= 0,08871 \\A_2 &= 0,01680 \\A_3 &= 0,00251\end{aligned}$$

2

$$n^E = x_1 x_2 \sum_{i=0}^2 A_i (x_1 - x_2)^i$$

$$\begin{aligned}A_0 &= -0,02057 \\A_1 &= -0,00117 \\A_2 &= -0,00138\end{aligned}$$

Tabla 4.19

SISTEMA

p-XILENO(1) + n-HEPTANO(2)

PRESIONES DE VAPOR (hPa)

TEMPERATURA = 75.0 C

| $x_1$  | $y_1$  | $P$    | $P_1$  | $P_2$  |
|--------|--------|--------|--------|--------|
| 0.0525 | 0.0195 | 466.16 | 9.11   | 457.05 |
| 0.1067 | 0.0398 | 449.60 | 17.91  | 431.69 |
| 0.1637 | 0.0617 | 432.14 | 26.67  | 405.47 |
| 0.2355 | 0.0898 | 410.10 | 36.81  | 373.29 |
| 0.2767 | 0.1061 | 397.15 | 42.12  | 355.03 |
| 0.3275 | 0.1291 | 381.13 | 49.21  | 331.91 |
| 0.3607 | 0.1443 | 370.52 | 53.47  | 317.05 |
| 0.4068 | 0.1672 | 355.62 | 59.45  | 296.17 |
| 0.4370 | 0.1830 | 345.76 | 63.27  | 282.49 |
| 0.4593 | 0.1950 | 338.41 | 66.01  | 272.41 |
| 0.4800 | 0.2067 | 331.67 | 68.57  | 263.10 |
| 0.5227 | 0.2322 | 317.41 | 73.72  | 243.70 |
| 0.5503 | 0.2487 | 308.45 | 76.71  | 231.74 |
| 0.5683 | 0.2608 | 302.44 | 78.87  | 223.58 |
| 0.6028 | 0.2853 | 290.64 | 82.91  | 207.74 |
| 0.6377 | 0.3117 | 278.64 | 86.86  | 191.79 |
| 0.6666 | 0.3363 | 268.50 | 90.30  | 178.20 |
| 0.6920 | 0.3593 | 259.46 | 93.23  | 166.23 |
| 0.7114 | 0.3777 | 252.51 | 95.38  | 157.13 |
| 0.7413 | 0.4094 | 241.54 | 98.89  | 142.65 |
| 0.7602 | 0.4307 | 234.50 | 100.99 | 133.51 |
| 0.7859 | 0.4622 | 224.75 | 103.88 | 120.87 |
| 0.8150 | 0.5023 | 213.41 | 107.20 | 106.20 |
| 0.8399 | 0.5409 | 203.30 | 109.97 | 93.33  |
| 0.8606 | 0.5770 | 194.74 | 112.36 | 82.38  |
| 0.9032 | 0.6647 | 176.32 | 117.21 | 59.11  |
| 0.9336 | 0.7437 | 162.31 | 120.71 | 41.60  |
| 0.9582 | 0.8217 | 150.41 | 123.60 | 26.82  |

p-XILENO (1) + n-HEPTANO (2)

75,0 °C

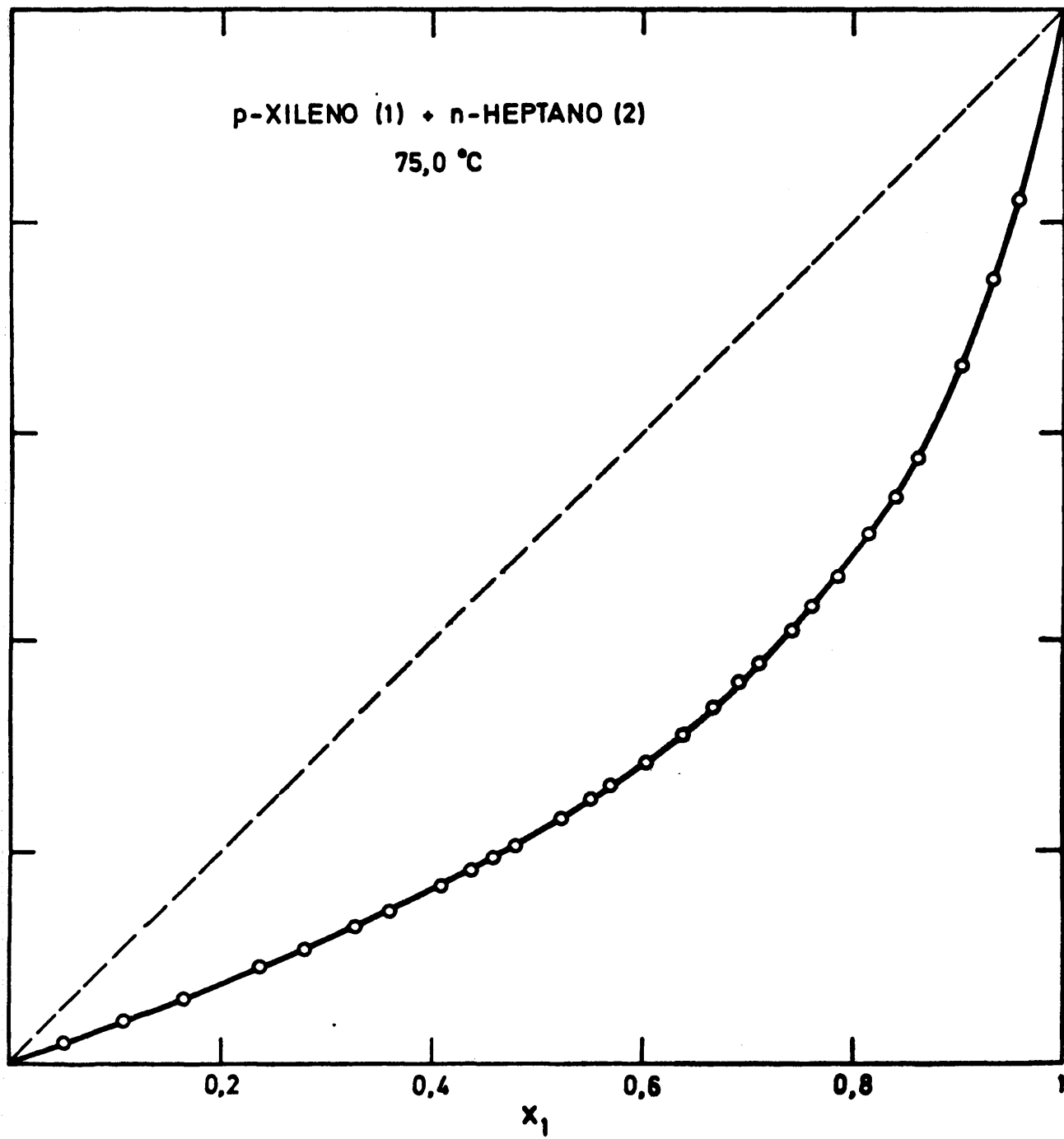


Figura 4.17

p-XILENO (1) + n-HEPTANO (2)

75,0 °C

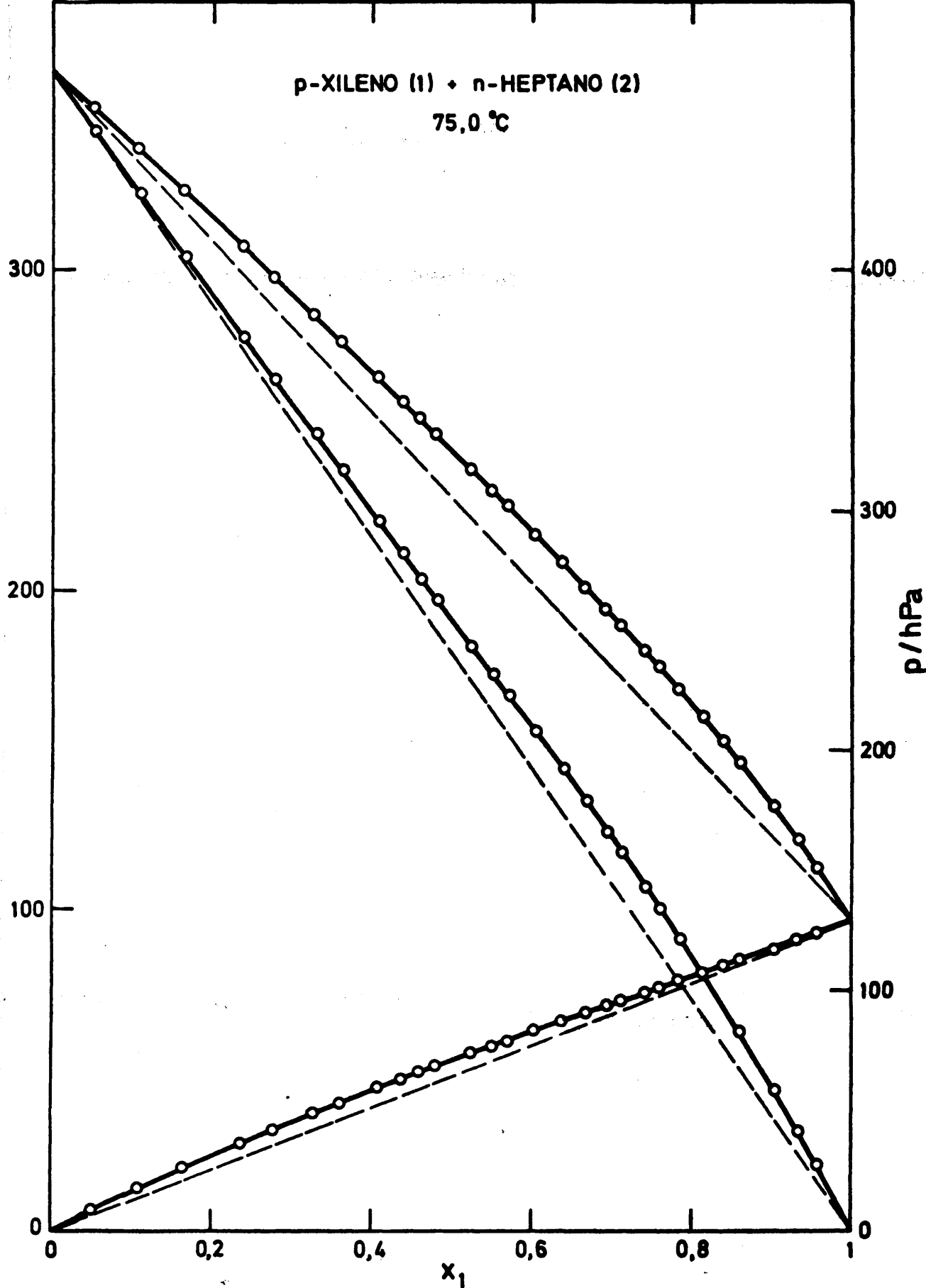


Figura 4.18

Tabla 4.20

SISTEMA

*p*-XILENO(1) + *n*-HEPTANO(2)

TEMPERATURA = 75.0 C

$$\begin{aligned} V_1 &= 130.793 & \bar{S}_1 &= -2704.0 \\ V_2 &= 157.622 & \bar{S}_2 &= -1847.9 \\ && \bar{S}_{12} &= -2248.9 \end{aligned}$$

VALORES EXPERIMENTALES ( $J \cdot mol^{-1}$ )

| $x_1$  | $y_1$  | P      | $\mu_1^E$ | $\mu_2^E$ | $\mu_1^E - \mu_2^E$ | $G^E$  |
|--------|--------|--------|-----------|-----------|---------------------|--------|
| 0.0000 |        | 482.03 |           |           |                     |        |
| 0.0525 | 0.0195 | 466.16 | 765.15    | 5.40      | 759.75              | 45.29  |
| 0.1067 | 0.0398 | 449.60 | 677.27    | 13.98     | 663.29              | 84.76  |
| 0.1637 | 0.0617 | 432.14 | 597.47    | 26.98     | 570.60              | 120.28 |
| 0.2355 | 0.0898 | 410.10 | 485.64    | 51.61     | 434.04              | 153.82 |
| 0.2767 | 0.1061 | 397.15 | 412.49    | 69.41     | 343.08              | 164.34 |
| 0.3275 | 0.1291 | 381.13 | 377.70    | 88.75     | 288.95              | 183.38 |
| 0.3607 | 0.1443 | 370.52 | 341.57    | 104.72    | 236.84              | 190.15 |
| 0.4068 | 0.1672 | 355.62 | 305.13    | 127.09    | 178.04              | 199.52 |
| 0.4370 | 0.1830 | 345.76 | 280.49    | 143.44    | 137.04              | 203.33 |
| 0.4593 | 0.1950 | 338.41 | 260.13    | 156.91    | 103.21              | 204.32 |
| 0.4800 | 0.2067 | 331.67 | 244.76    | 170.60    | 74.16               | 206.20 |
| 0.5227 | 0.2322 | 317.41 | 211.60    | 199.78    | 11.82               | 205.96 |
| 0.5503 | 0.2487 | 308.45 | 180.96    | 228.24    | -47.28              | 202.22 |
| 0.5683 | 0.2608 | 302.44 | 169.98    | 243.72    | -73.73              | 201.81 |
| 0.6028 | 0.2853 | 290.64 | 147.35    | 274.44    | -127.08             | 197.83 |
| 0.6377 | 0.3117 | 278.64 | 121.89    | 312.08    | -190.19             | 190.80 |
| 0.6666 | 0.3363 | 268.50 | 108.91    | 342.05    | -233.13             | 186.64 |
| 0.6920 | 0.3593 | 259.46 | 95.53     | 372.03    | -276.50             | 180.69 |
| 0.7114 | 0.3777 | 252.51 | 83.43     | 398.86    | -315.42             | 174.47 |
| 0.7413 | 0.4094 | 241.54 | 71.99     | 437.74    | -365.75             | 166.61 |
| 0.7602 | 0.4307 | 234.50 | 62.27     | 466.82    | -404.55             | 159.28 |
| 0.7859 | 0.4622 | 224.75 | 50.18     | 509.30    | -459.12             | 148.48 |
| 0.8150 | 0.5023 | 213.41 | 38.98     | 560.22    | -521.25             | 135.41 |
| 0.8399 | 0.5409 | 203.30 | 28.56     | 606.61    | -578.05             | 121.11 |
| 0.8606 | 0.5770 | 194.74 | 22.98     | 647.55    | -624.57             | 110.04 |
| 0.9032 | 0.6647 | 176.32 | 10.14     | 746.72    | -736.58             | 81.44  |
| 0.9336 | 0.7437 | 162.31 | 3.62      | 823.30    | -819.68             | 58.04  |
| 0.9582 | 0.8217 | 150.41 | 0.11      | 894.70    | -894.59             | 37.50  |
| 1.0000 |        | 128.71 |           |           |                     |        |

Tabla 4.21

SISTEMA

p-XILENO(1) + n-HEPTANO(2)

TEMPERATURA = 75.0 C

AJUSTE POR MINIMOS CUADRADOS DE DATOS EXPERIMENTALES DE  $G^{\circ}$

| COEF     | GRADO DEL POLINOMIO |        |        |        |         |
|----------|---------------------|--------|--------|--------|---------|
|          | UNO                 | DOS    | TRES   | CUATRO | CINCO   |
| $A_0$    | 856.78              | 821.60 | 821.27 | 818.15 | 818.85  |
| $A_1$    | 33.17               | 19.57  | 25.55  | 21.69  | 1.92    |
| $A_2$    |                     | 135.24 | 136.13 | 175.93 | 166.25  |
| $A_3$    |                     |        | -10.70 | -4.28  | 107.19  |
| $A_4$    |                     |        |        | -53.21 | -40.31  |
| $A_5$    |                     |        |        |        | -115.76 |
| $\sigma$ | 5.73                | 1.26   | 1.30   | 1.31   | 1.14    |

VALORES CALCULADOS DEL AJUSTE

| $x_1$ | GRADO DEL POLINOMIO |        |        |        |        |
|-------|---------------------|--------|--------|--------|--------|
|       | UNO                 | DOS    | TRES   | CUATRO | CINCO  |
| 0.05  | 39.28               | 43.38  | 43.53  | 43.19  | 43.49  |
| 0.10  | 74.72               | 80.30  | 80.41  | 80.44  | 80.12  |
| 0.15  | 106.28              | 111.42 | 111.40 | 111.93 | 111.18 |
| 0.20  | 133.90              | 137.23 | 137.16 | 138.00 | 137.31 |
| 0.25  | 157.54              | 158.52 | 158.23 | 159.09 | 158.84 |
| 0.30  | 177.14              | 175.40 | 175.04 | 175.67 | 175.98 |
| 0.35  | 192.65              | 188.32 | 187.95 | 188.18 | 188.89 |
| 0.40  | 204.03              | 197.52 | 197.21 | 196.99 | 197.82 |
| 0.45  | 211.23              | 203.19 | 202.97 | 202.39 | 203.00 |
| 0.50  | 214.19              | 205.40 | 205.32 | 204.54 | 204.71 |
| 0.55  | 212.87              | 204.18 | 204.23 | 203.46 | 203.15 |
| 0.60  | 207.22              | 199.44 | 199.62 | 199.06 | 198.39 |
| 0.65  | 197.18              | 191.05 | 191.30 | 191.09 | 190.34 |
| 0.70  | 182.71              | 178.76 | 179.04 | 179.20 | 178.68 |
| 0.75  | 163.76              | 162.26 | 162.51 | 162.96 | 162.87 |
| 0.80  | 140.27              | 141.16 | 141.33 | 141.87 | 142.21 |
| 0.85  | 112.20              | 114.99 | 115.03 | 115.43 | 115.93 |
| 0.90  | 79.50               | 83.17  | 83.10  | 83.17  | 83.45  |
| 0.95  | 42.11               | 45.08  | 44.97  | 44.75  | 44.58  |

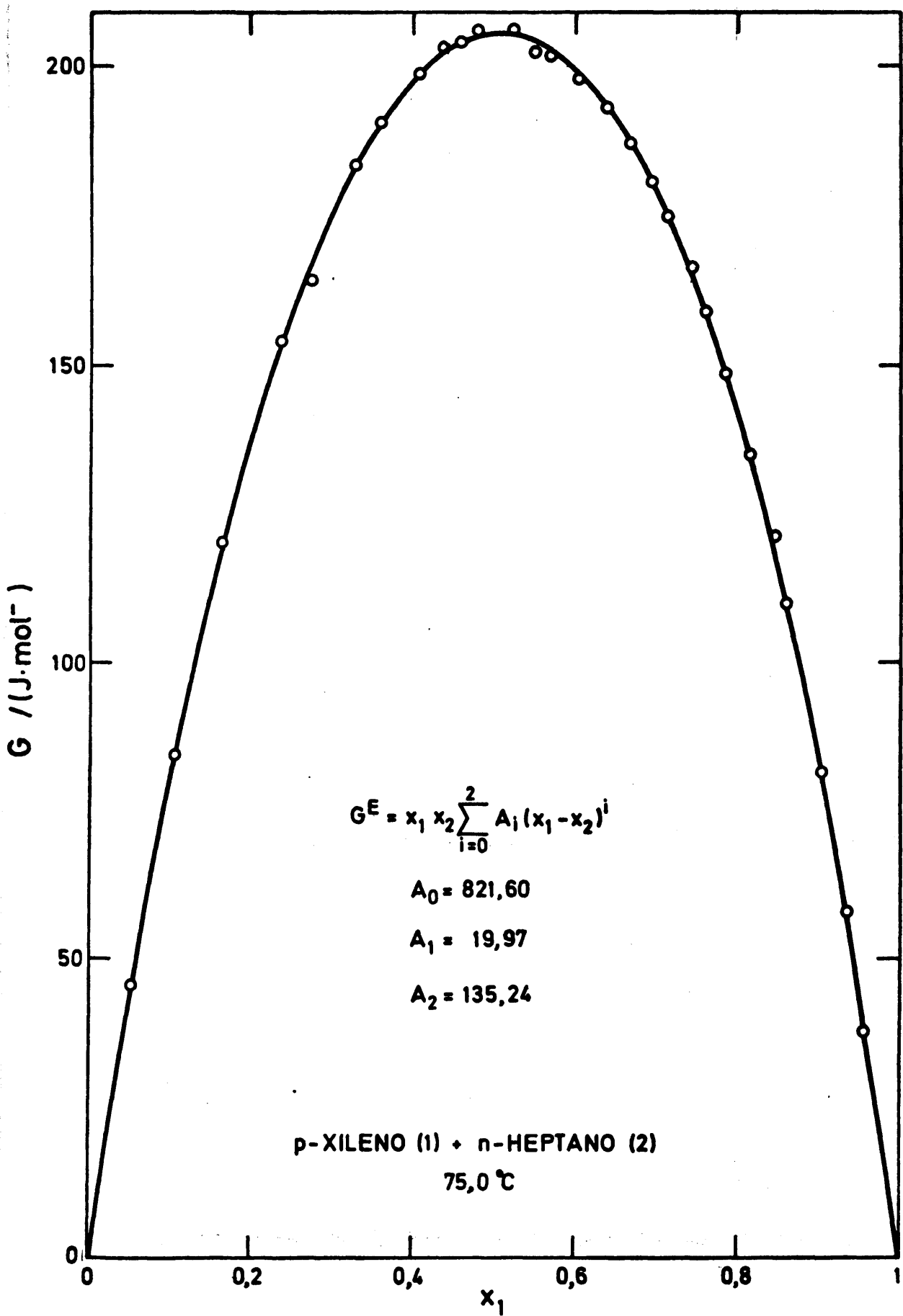
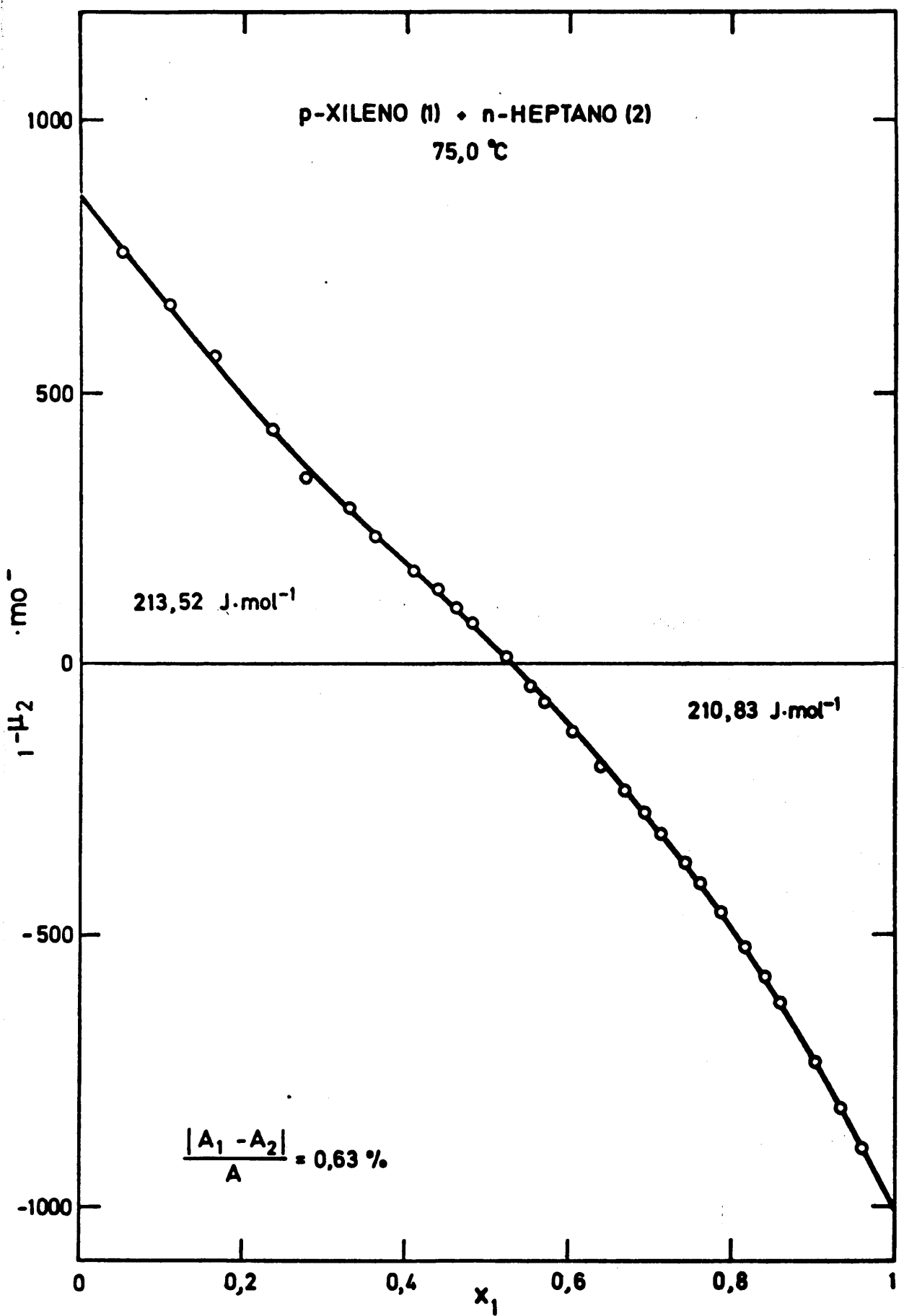


Figura 4.19



**Figura 4.20**

Tabla 4.22

CALCULO DE  $G^E$  POR EL METODO DE BARKER

POLINOMIO DE GRADO = 3

COEFICIENTES

$$\begin{aligned} A_1 &= 820.63 \\ A_2 &= 76.15 \\ A_3 &= 134.52 \\ A_4 &= -43.79 \end{aligned}$$

| $x_1$    | $\Delta Y$ | $\Delta P$ | $Y_1$  | $Y_2$  | $\Delta G^E$ | $G^E$  |
|----------|------------|------------|--------|--------|--------------|--------|
| 0.0525   | -0.0001    | 0.21       | 1.3071 | 1.0013 | 0.94         | 44.35  |
| 0.1067   | 0.0003     | 0.11       | 1.2533 | 1.0049 | 2.28         | 82.47  |
| 0.1637   | 0.0010     | -0.02      | 1.2103 | 1.0104 | 4.79         | 115.49 |
| 0.2355   | 0.0010     | 0.04       | 1.1696 | 1.0190 | 5.38         | 148.44 |
| 0.2767   | 0.0002     | -0.04      | 1.1511 | 1.0246 | 0.76         | 163.58 |
| 0.3275   | 0.0009     | -0.01      | 1.1316 | 1.0322 | 4.50         | 178.88 |
| 0.3607   | 0.0006     | -0.01      | 1.1203 | 1.0377 | 3.18         | 186.97 |
| 0.4068   | 0.0008     | -0.03      | 1.1060 | 1.0460 | 3.72         | 195.80 |
| 0.4370   | 0.0008     | -0.06      | 1.0974 | 1.0520 | 3.24         | 200.09 |
| 0.4593   | 0.0006     | -0.10      | 1.0912 | 1.0568 | 1.83         | 202.49 |
| 0.4800   | 0.0005     | -0.04      | 1.0857 | 1.0615 | 2.07         | 204.12 |
| 0.5227   | 0.0003     | -0.14      | 1.0748 | 1.0724 | 0.29         | 205.67 |
| 0.5503   | -0.0009    | 0.13       | 1.0680 | 1.0803 | -3.08        | 205.30 |
| 0.5683   | -0.0009    | 0.17       | 1.0637 | 1.0858 | -2.66        | 204.47 |
| 0.6028   | -0.0010    | 0.09       | 1.0556 | 1.0976 | -3.67        | 201.51 |
| 0.6377   | -0.0015    | 0.09       | 1.0478 | 1.1110 | -5.79        | 196.59 |
| 0.6666   | -0.0011    | 0.03       | 1.0416 | 1.1235 | -4.34        | 190.98 |
| 0.6920   | -0.0009    | -0.02      | 1.0363 | 1.1356 | -4.15        | 184.84 |
| 0.7114   | -0.0012    | -0.01      | 1.0325 | 1.1456 | -4.89        | 179.35 |
| 0.7413   | -0.0005    | -0.06      | 1.0268 | 1.1625 | -2.88        | 169.49 |
| 0.7602   | -0.0006    | -0.06      | 1.0234 | 1.1741 | -3.06        | 162.34 |
| 0.7859   | -0.0006    | -0.04      | 1.0191 | 1.1912 | -2.95        | 151.43 |
| 0.8150   | -0.0005    | -0.01      | 1.0146 | 1.2125 | -1.95        | 137.36 |
| 0.8399   | -0.0005    | -0.08      | 1.0112 | 1.2324 | -2.71        | 123.82 |
| 0.8666   | -0.0002    | -0.04      | 1.0086 | 1.2503 | -1.42        | 111.46 |
| 0.9032   | -0.0007    | 0.06       | 1.0043 | 1.2911 | -1.32        | 82.76  |
| 0.9336   | -0.0009    | 0.07       | 1.0021 | 1.3237 | -1.42        | 59.47  |
| 0.9582   | -0.0012    | 0.09       | 1.0008 | 1.3525 | -1.33        | 38.84  |
| $\sigma$ | 0.0008     | 0.08       |        |        | 3.22         |        |

4.6.5.- *Resultados experimentales del sistema Metil-ciclohexano (1)+Benceno (2) 75°C.*

Tabla 4.23

MEZCLAS DE COMPOSICION CONOCIDA A 30,0°C DEL SISTEMA  
METIL-CICLOHEXANO(1) + BENCENO(2)

| Nº | x <sub>1</sub> | x <sub>2</sub> | n       | n <sup>E</sup> | n <sub>exp</sub> - n <sub>cal</sub> |
|----|----------------|----------------|---------|----------------|-------------------------------------|
|    | 0,0000         | 1,0000         | 1,49481 |                | 0,00004                             |
| 1  | 0,0222         | 0,9778         | 1,49207 | -0,00103       | 0,00005                             |
| 2  | 0,0776         | 0,9224         | 1,48541 | -0,00344       | -0,00002                            |
| 3  | 0,1016         | 0,8984         | 1,48266 | -0,00435       | -0,00004                            |
| 4  | 0,1472         | 0,8528         | 1,47765 | -0,00585       | -0,00005                            |
| 5  | 0,1905         | 0,8095         | 1,47313 | -0,00705       | -0,00004                            |
| 6  | 0,2374         | 0,7626         | 1,46847 | -0,00811       | -0,00004                            |
| 7  | 0,2875         | 0,7125         | 1,46380 | -0,00893       | 0,00002                             |
| 8  | 0,3269         | 0,6731         | 1,46024 | -0,00946       | 0,00000                             |
| 9  | 0,3729         | 0,6271         | 1,45633 | -0,00984       | 0,00003                             |
| 10 | 0,4125         | 0,5875         | 1,45312 | -0,01001       | 0,00005                             |
| 11 | 0,4810         | 0,5190         | 1,44783 | -0,01003       | 0,00003                             |
| 12 | 0,5185         | 0,4815         | 1,44509 | -0,00989       | 0,00002                             |
| 13 | 0,5817         | 0,4183         | 1,44078 | -0,00935       | 0,00005                             |
| 14 | 0,6166         | 0,3834         | 1,43848 | -0,00897       | 0,00002                             |
| 15 | 0,7046         | 0,2954         | 1,43307 | -0,00762       | -0,00001                            |
| 16 | 0,7666         | 0,2334         | 1,42951 | -0,00642       | -0,00006                            |
| 17 | 0,8103         | 0,1897         | 1,42714 | -0,00539       | -0,00003                            |
| 18 | 0,9132         | 0,0868         | 1,42197 | -0,00270       | -0,00004                            |
| 19 | 0,9731         | 0,0269         | 1,41918 | -0,00088       | 0,00000                             |
|    | 1,0000         | 0,0000         | 1,41800 |                | 0,00006                             |

VALORES CALCULADOS DEL AJUSTE

COEFICIENTES

$$A_0 = 1,49477 \quad A_0 = -0,03991$$

$$A_1 = -0,12521 \quad A_1 = 0,00814$$

$$A_2 = 0,06556 \quad A_2 = -0,00127$$

$$A_3 = -0,01718$$

$$\sigma = 0,00004 \quad \sigma = 0,00003$$

| x <sub>1</sub> | n       | n <sup>E</sup> |
|----------------|---------|----------------|
| 0,00           | 1,49477 |                |
| 0,10           | 1,48288 | -0,00425       |
| 0,20           | 1,47221 | -0,00724       |
| 0,30           | 1,46264 | -0,00911       |
| 0,40           | 1,45407 | -0,00998       |
| 0,50           | 1,44640 | -0,00998       |
| 0,60           | 1,43953 | -0,00920       |
| 0,70           | 1,43335 | -0,00774       |
| 0,80           | 1,42776 | -0,00568       |
| 0,90           | 1,42266 | -0,00308       |
| 1,00           | 1,41794 |                |

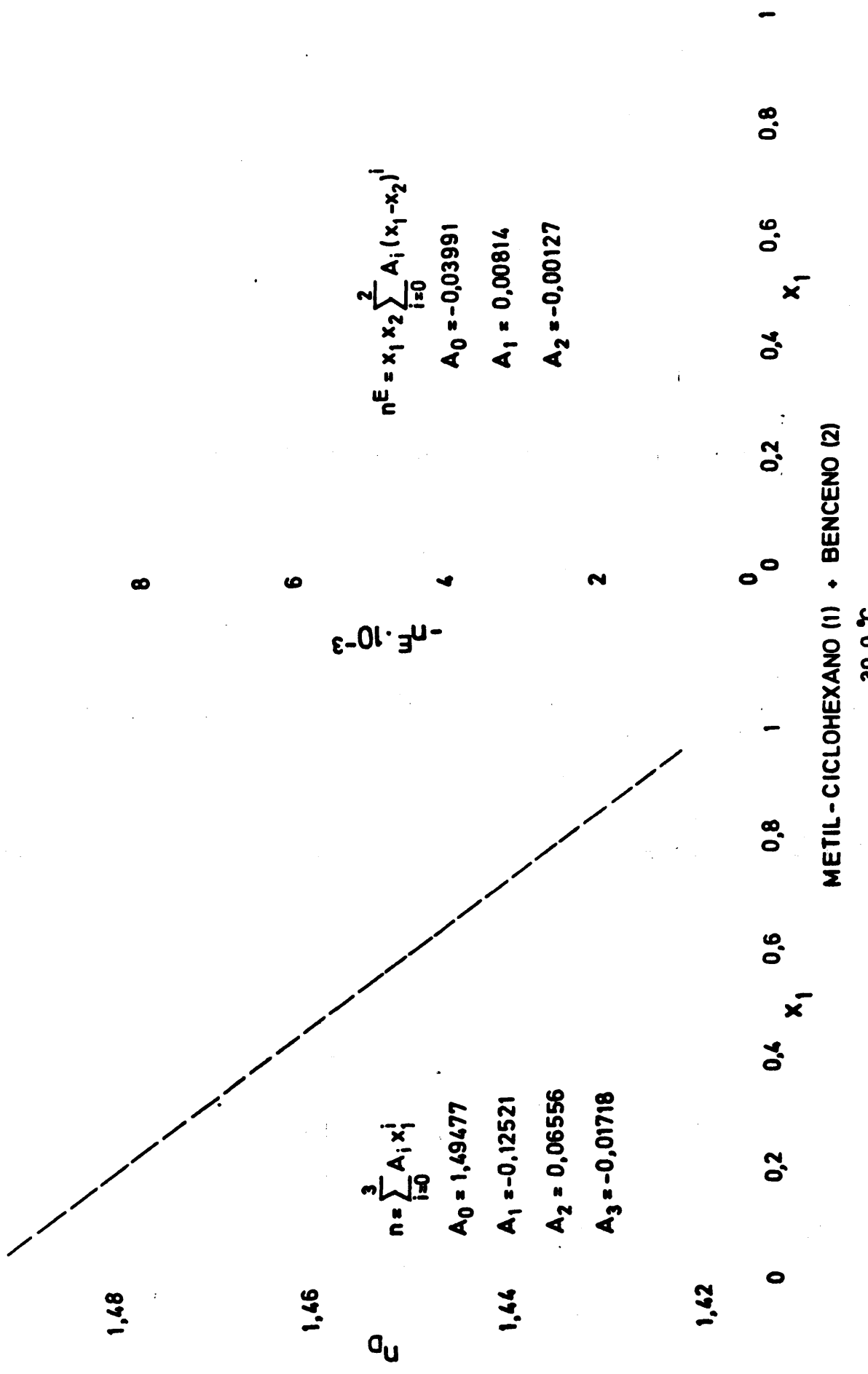


Figura 4. 21

Tabla 4.24

SISTEMA

METIL-CICLOHEXANO(1) + BENZENO(2)

PRESIONES DE VAPOR (hPa)

TEMPERATURA = 75.0 C

| $x_1$  | $y_1$  | $P$    | $P_1$  | $P_2$  |
|--------|--------|--------|--------|--------|
| 0.0809 | 0.0605 | 847.62 | 51.29  | 796.33 |
| 0.1026 | 0.0760 | 842.61 | 64.01  | 778.60 |
| 0.1337 | 0.0975 | 835.77 | 81.48  | 754.29 |
| 0.1634 | 0.1181 | 828.70 | 97.85  | 730.85 |
| 0.1973 | 0.1412 | 819.84 | 115.75 | 704.09 |
| 0.2351 | 0.1667 | 808.59 | 134.79 | 673.80 |
| 0.2744 | 0.1935 | 797.16 | 154.27 | 642.89 |
| 0.3102 | 0.2164 | 786.40 | 170.18 | 616.22 |
| 0.3532 | 0.2459 | 772.74 | 190.01 | 582.73 |
| 0.3990 | 0.2777 | 757.60 | 210.37 | 547.24 |
| 0.4168 | 0.2903 | 751.94 | 218.26 | 533.68 |
| 0.4303 | 0.2997 | 747.15 | 223.93 | 523.23 |
| 0.4696 | 0.3277 | 733.19 | 240.29 | 492.90 |
| 0.4859 | 0.3394 | 727.33 | 246.88 | 480.44 |
| 0.5040 | 0.3528 | 720.86 | 254.34 | 466.53 |
| 0.5129 | 0.3597 | 717.23 | 258.02 | 459.21 |
| 0.5294 | 0.3720 | 711.15 | 264.54 | 446.61 |
| 0.5458 | 0.3853 | 704.77 | 271.52 | 433.25 |
| 0.5595 | 0.3960 | 699.33 | 276.94 | 422.39 |
| 0.5679 | 0.4024 | 696.05 | 280.11 | 415.94 |
| 0.5783 | 0.4114 | 691.84 | 284.61 | 407.23 |
| 0.6128 | 0.4403 | 677.57 | 298.37 | 379.21 |
| 0.6670 | 0.4891 | 652.16 | 319.48 | 333.68 |
| 0.6902 | 0.5112 | 642.40 | 328.39 | 314.01 |
| 0.7495 | 0.5739 | 613.39 | 352.00 | 261.39 |
| 0.7679 | 0.6199 | 592.28 | 367.18 | 225.10 |
| 0.8313 | 0.6773 | 567.43 | 384.34 | 183.09 |
| 0.9344 | 0.8515 | 501.85 | 427.34 | 74.51  |
| 0.9555 | 0.8949 | 487.68 | 436.43 | 51.25  |

METIL - CICLOHEXANO (1) + BENCENO (2)

75,0 °C

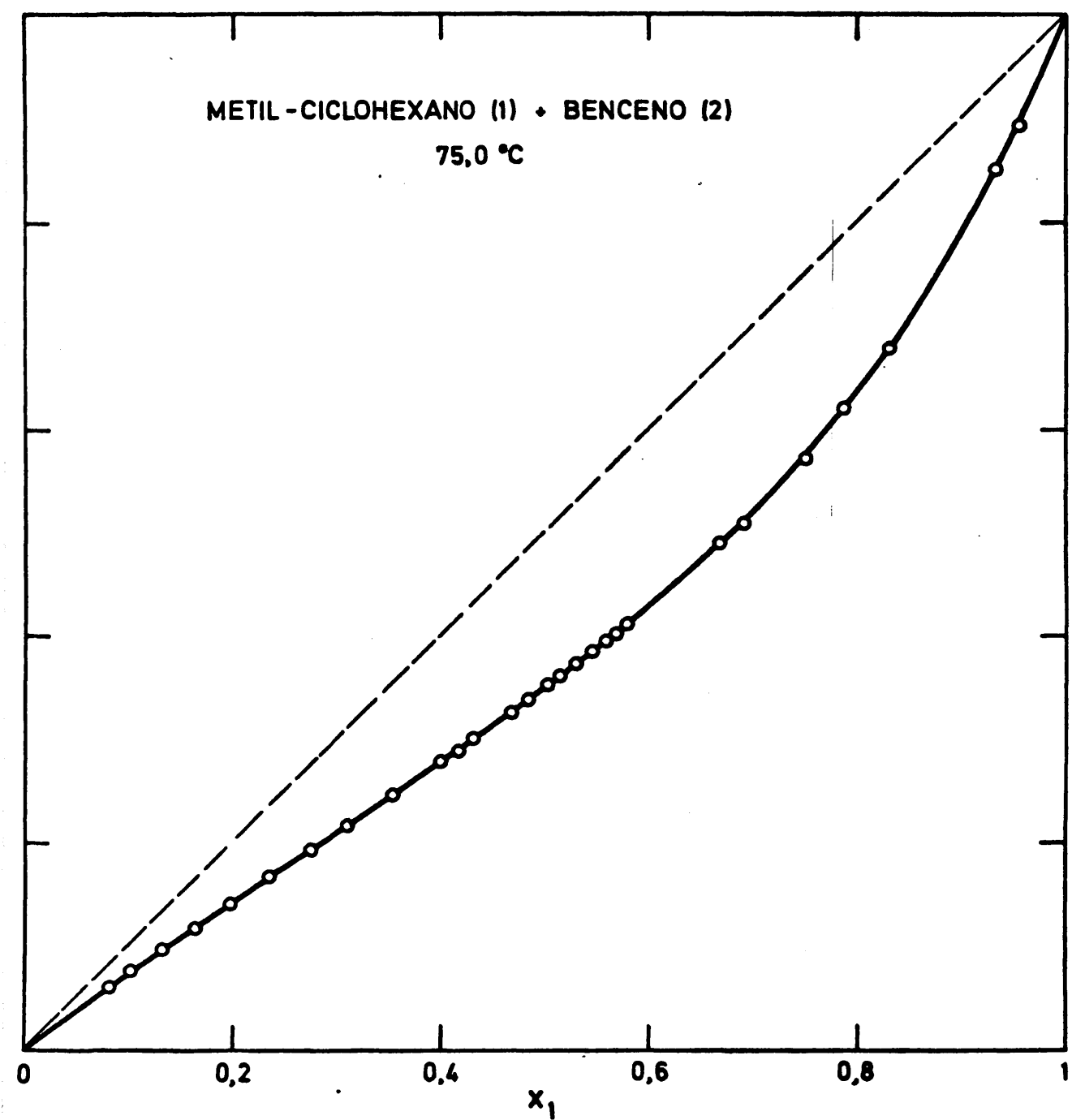


Figura 4.22

METIL - CICLOHEXANO (1) + BENCENO (2)

75,0 °C

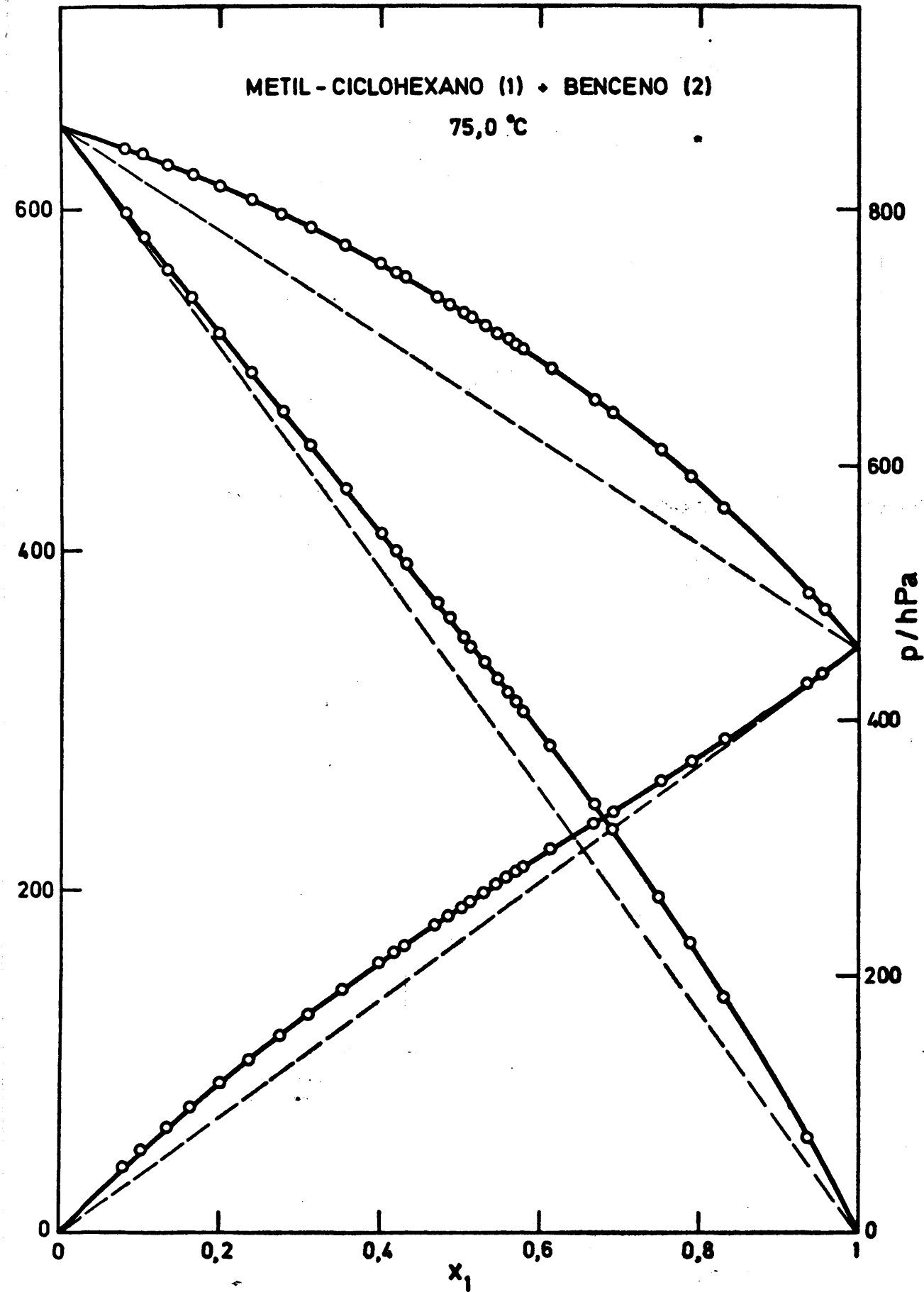


Figura 4.23

Tabla 4.25

SISTEMA

METIL-CICLOHEXANO(1) + BENZENO(2)

TEMPERATURA = 75.0 C

$$\begin{aligned}
 V_1 &= 136.234 & B_{11} &= -1463.8 \\
 V_2 &= 95.335 & B_{22} &= -999.9 \\
 && B_{12} &= -1217.1
 \end{aligned}$$

VALORES EXPERIMENTALES ( $J \cdot mol^{-1}$ )

| $x_1$  | $y_1$  | P      | $\mu_1^E$ | $\mu_2^E$ | $\mu_1^E - \mu_2^E$ | G <sup>E</sup> |
|--------|--------|--------|-----------|-----------|---------------------|----------------|
| 0.0000 |        | 863.72 |           |           |                     |                |
| 0.0809 | 0.0605 | 847.62 | 884.92    | 10.87     | 874.05              | 81.58          |
| 0.1026 | 0.0760 | 842.61 | 840.87    | 15.27     | 825.61              | 99.97          |
| 0.1337 | 0.0975 | 835.77 | 773.00    | 26.38     | 746.62              | 126.20         |
| 0.1634 | 0.1181 | 828.70 | 723.62    | 36.73     | 686.89              | 148.96         |
| 0.1973 | 0.1412 | 819.84 | 665.20    | 49.48     | 615.72              | 170.96         |
| 0.2351 | 0.1667 | 808.59 | 600.05    | 63.10     | 536.95              | 189.34         |
| 0.2744 | 0.1935 | 797.16 | 544.66    | 81.23     | 463.43              | 208.39         |
| 0.3102 | 0.2164 | 786.40 | 475.75    | 106.17    | 369.58              | 220.82         |
| 0.3532 | 0.2459 | 772.74 | 421.22    | 132.19    | 289.04              | 234.27         |
| 0.3950 | 0.2777 | 757.60 | 365.37    | 164.50    | 200.87              | 244.65         |
| 0.4168 | 0.2903 | 751.94 | 346.61    | 179.49    | 167.12              | 249.15         |
| 0.4303 | 0.2997 | 747.15 | 328.84    | 190.74    | 138.10              | 250.16         |
| 0.4696 | 0.3277 | 733.19 | 281.93    | 226.50    | 55.44               | 252.53         |
| 0.4859 | 0.3394 | 727.33 | 262.36    | 243.43    | 18.93               | 252.63         |
| 0.5040 | 0.3528 | 720.86 | 243.72    | 262.73    | -19.02              | 253.15         |
| 0.5129 | 0.3597 | 717.23 | 235.07    | 269.93    | -34.85              | 252.05         |
| 0.5294 | 0.3720 | 711.15 | 217.04    | 289.57    | -72.53              | 251.17         |
| 0.5458 | 0.3853 | 704.77 | 205.29    | 304.89    | -99.60              | 250.53         |
| 0.5595 | 0.3960 | 699.33 | 191.23    | 320.89    | -129.67             | 248.34         |
| 0.5679 | 0.4024 | 696.05 | 181.40    | 332.55    | -151.15             | 246.71         |
| 0.5783 | 0.4114 | 691.84 | 175.97    | 342.05    | -166.08             | 246.00         |
| 0.6128 | 0.4403 | 677.57 | 146.65    | 384.67    | -238.01             | 238.81         |
| 0.6670 | 0.4891 | 653.16 | 103.16    | 453.63    | -350.47             | 219.87         |
| 0.6902 | 0.5112 | 642.40 | 85.71     | 487.79    | -402.08             | 210.28         |
| 0.7495 | 0.5739 | 613.39 | 52.77     | 574.94    | -522.17             | 183.57         |
| 0.7879 | 0.6199 | 592.28 | 33.28     | 626.96    | -593.68             | 159.20         |
| 0.8313 | 0.6773 | 567.43 | 14.23     | 694.49    | -680.25             | 128.99         |
| 0.9344 | 0.8515 | 501.85 | -6.81     | 833.93    | -840.74             | 48.34          |
| 0.9555 | 0.8949 | 487.68 | -8.22     | 875.40    | -883.62             | 31.10          |
| 1.0000 |        | 457.28 |           |           |                     |                |

Tabla 4.26

SISTEMA

METIL-CICLOHEXANO(1) + BENZENO(2)

TEMPERATURA = 75.0 C

AJUSTE POR MINIMOS CUADRADOS DE DATOS EXPERIMENTALES DE GE

| COEF           | GRADO DEL POLINOMIO |         |         |         |         |
|----------------|---------------------|---------|---------|---------|---------|
|                | UNO                 | DOS     | TRES    | CUATRO  | CINCO   |
| A <sub>0</sub> | 999.34              | 1022.43 | 1019.10 | 1010.41 | 1010.41 |
| A <sub>1</sub> | -143.32             | -143.78 | -27.29  | -34.20  | -34.29  |
| A <sub>2</sub> |                     | -103.40 | -80.88  | 70.74   | 70.71   |
| A <sub>3</sub> | .                   |         | -225.89 | -196.57 | -196.07 |
| A <sub>4</sub> |                     |         |         | -219.07 | -219.00 |
| A <sub>5</sub> |                     |         |         |         | -0.55   |
| $\sigma$       | 4.99                | 4.47    | 1.84    | 0.87    | 0.87    |

VALORES CALCULADOS DEL AJUSTE

| X1   | GRADO DEL POLINOMIO |        |        |        |        |
|------|---------------------|--------|--------|--------|--------|
|      | UNO                 | DOS    | TRES   | CUATRO | CINCO  |
| 0.05 | 53.60               | 50.73  | 54.28  | 52.16  | 52.16  |
| 0.10 | 100.26              | 96.42  | 99.43  | 98.46  | 98.46  |
| 0.15 | 140.21              | 136.73 | 137.20 | 138.19 | 138.19 |
| 0.20 | 173.65              | 171.44 | 168.82 | 171.27 | 171.27 |
| 0.25 | 200.81              | 200.34 | 195.14 | 198.01 | 198.01 |
| 0.30 | 221.90              | 223.31 | 216.62 | 218.90 | 218.90 |
| 0.35 | 237.13              | 240.30 | 233.44 | 234.46 | 234.46 |
| 0.40 | 246.72              | 251.29 | 245.55 | 245.11 | 245.12 |
| 0.45 | 250.88              | 256.35 | 252.76 | 251.14 | 251.14 |
| 0.50 | 249.84              | 255.61 | 254.77 | 252.60 | 252.60 |
| 0.55 | 243.79              | 249.24 | 251.29 | 249.35 | 249.35 |
| 0.60 | 232.96              | 237.49 | 242.06 | 241.07 | 241.07 |
| 0.65 | 217.57              | 220.67 | 226.94 | 227.37 | 227.37 |
| 0.70 | 197.82              | 199.16 | 205.96 | 207.87 | 207.87 |
| 0.75 | 173.94              | 173.38 | 179.44 | 182.39 | 182.39 |
| 0.80 | 146.14              | 143.83 | 147.97 | 151.12 | 151.12 |
| 0.85 | 114.62              | 111.07 | 112.57 | 114.89 | 114.89 |
| 0.90 | 79.62               | 75.71  | 74.69  | 75.42  | 75.42  |
| 0.95 | 41.34               | 38.44  | 36.31  | 35.62  | 35.62  |

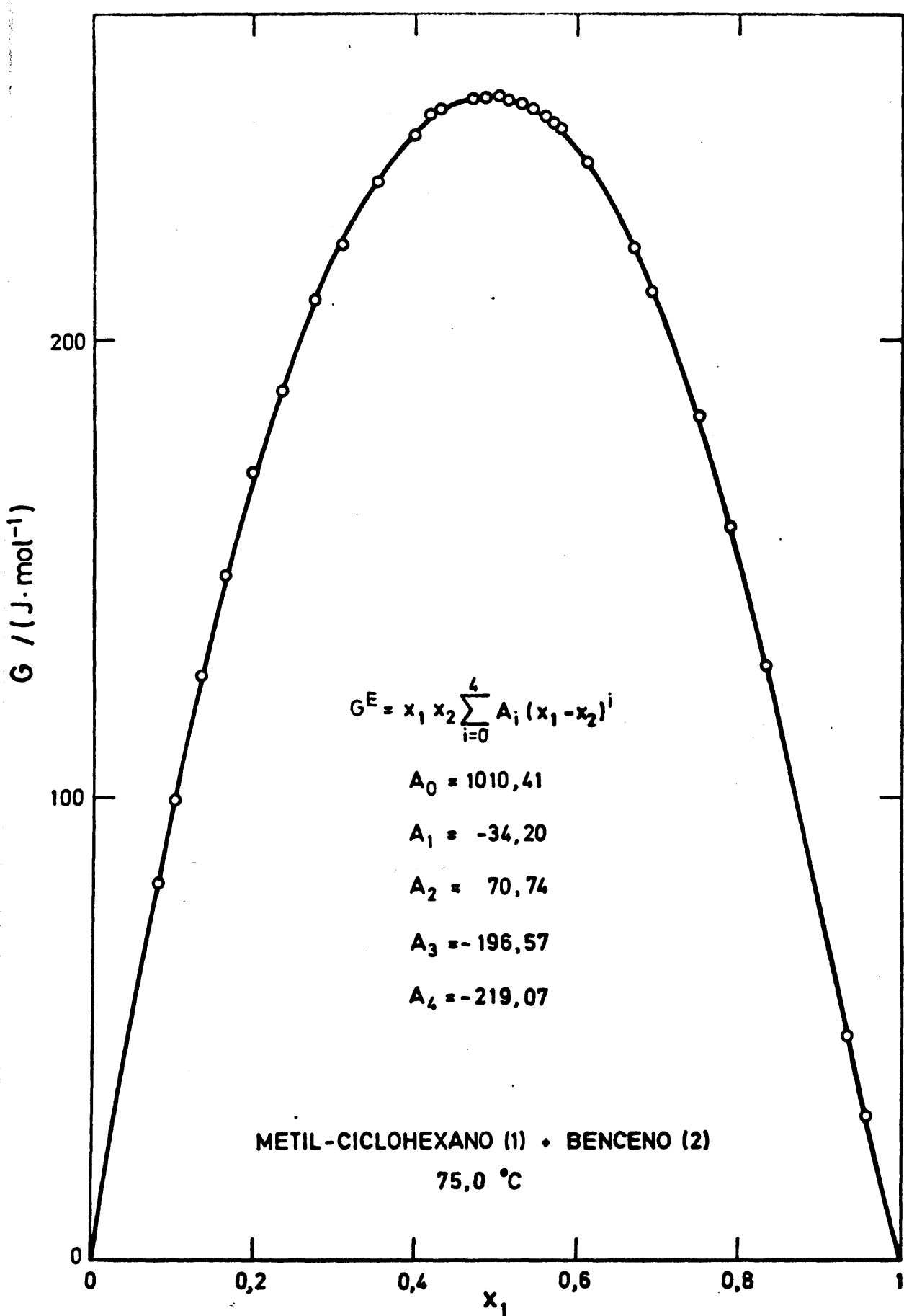


Figura 4.24

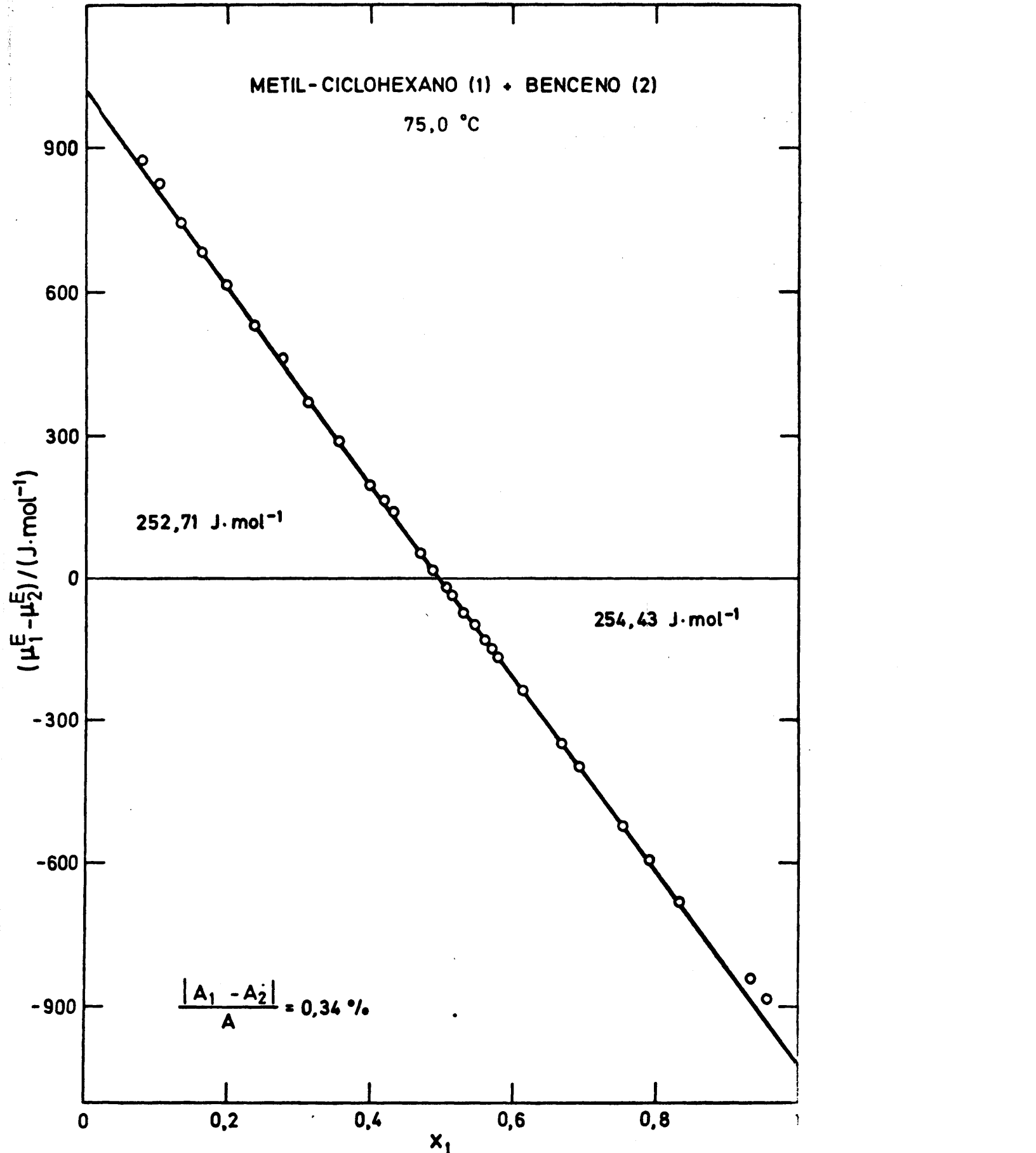


Figura 4.25

Tabla 4.27

CALCULO DE  $G^E$  POR EL METODO DE BARKER

PCLINCMIO DE GRADO = 3

COEFICIENTES

$$\begin{aligned} A_1 &= 1000.96 \\ A_2 &= -50.49 \\ A_3 &= -18.05 \\ A_4 &= -136.20 \end{aligned}$$

| $x_1$    | $\Delta Y$ | $\Delta P$ | $\gamma_1$ | $\gamma_2$ | $\Delta G^E$ | $G^E$  |
|----------|------------|------------|------------|------------|--------------|--------|
| 0.0809   | -0.0002    | -0.23      | 1.3630     | 1.0038     | -1.01        | 82.59  |
| 0.1026   | 0.0001     | -0.36      | 1.3358     | 1.0058     | -1.13        | 101.10 |
| 0.1337   | 0.0003     | 0.15       | 1.3017     | 1.0093     | 0.90         | 125.30 |
| 0.1634   | 0.0009     | 0.50       | 1.2733     | 1.0132     | 2.92         | 146.04 |
| 0.1973   | 0.0014     | 0.56       | 1.2451     | 1.0182     | 3.86         | 167.10 |
| 0.2351   | 0.0018     | -0.21      | 1.2177     | 1.0245     | 1.79         | 187.54 |
| 0.2744   | 0.0024     | -0.23      | 1.1926     | 1.0318     | 2.80         | 205.59 |
| 0.3102   | 0.0013     | -0.14      | 1.1720     | 1.0392     | 1.50         | 219.32 |
| 0.3532   | 0.0016     | -0.23      | 1.1496     | 1.0492     | 1.79         | 232.49 |
| 0.3990   | 0.0017     | -0.26      | 1.1278     | 1.0614     | 2.09         | 242.57 |
| 0.4168   | 0.0019     | 0.11       | 1.1198     | 1.0666     | 3.76         | 245.38 |
| 0.4303   | 0.0017     | -0.02      | 1.1139     | 1.0708     | 3.05         | 247.11 |
| 0.4696   | 0.0015     | -0.07      | 1.0975     | 1.0839     | 2.46         | 250.07 |
| 0.4859   | 0.0012     | -0.01      | 1.0910     | 1.0897     | 2.23         | 250.39 |
| 0.5040   | 0.0011     | 0.21       | 1.0840     | 1.0966     | 3.03         | 250.12 |
| 0.5129   | 0.0013     | -0.07      | 1.0807     | 1.1001     | 2.31         | 249.74 |
| 0.5294   | 0.0011     | 0.12       | 1.0746     | 1.1069     | 2.56         | 248.61 |
| 0.5458   | 0.0016     | 0.09       | 1.0688     | 1.1139     | 3.60         | 246.93 |
| 0.5595   | 0.0015     | 0.05       | 1.0641     | 1.1200     | 3.25         | 245.10 |
| 0.5679   | 0.0012     | 0.12       | 1.0613     | 1.1238     | 2.93         | 243.78 |
| 0.5783   | 0.0018     | 0.11       | 1.0579     | 1.1287     | 4.06         | 241.94 |
| 0.6128   | 0.0019     | 0.17       | 1.0472     | 1.1457     | 4.60         | 234.21 |
| 0.6670   | 0.0021     | -0.32      | 1.0324     | 1.1750     | 2.86         | 217.00 |
| 0.6902   | 0.0018     | -0.25      | 1.0269     | 1.1883     | 2.52         | 207.76 |
| 0.7495   | 0.0015     | 0.26       | 1.0153     | 1.2236     | 4.39         | 179.18 |
| 0.7879   | 0.0014     | -0.14      | 1.0096     | 1.2466     | 2.13         | 157.07 |
| 0.8313   | 0.0000     | -0.02      | 1.0049     | 1.2714     | -0.03        | 129.01 |
| 0.9344   | -0.0022    | 0.02       | 1.0002     | 1.3141     | -4.02        | 52.36  |
| 0.9555   | -0.0027    | 0.09       | 1.0000     | 1.3177     | -4.49        | 35.59  |
| $\sigma$ | 0.0016     | 0.22       |            |            | 2.92         |        |

4.6.6.- *Resultados experimentales del sistema Tolueno(1)+  
Metil-ciclohexano(2) 75°C.*

Tabla 4.28

MEZCLAS DE COMPOSICION CONOCIDA A 30,0°C DEL SISTEMA  
TOLUENO(1) + METIL-CICLOHEXANO(2)

| Nº | x <sub>1</sub> | x <sub>2</sub> | n       | n <sup>E</sup> | n <sub>exp</sub> - n <sub>cal</sub> |
|----|----------------|----------------|---------|----------------|-------------------------------------|
| 1  | 0,0000         | 1,0000         | 1,41800 |                | 0,00003                             |
| 1  | 0,0632         | 0,9368         | 1,42141 | -0,00123       | -0,00001                            |
| 2  | 0,1225         | 0,8775         | 1,42474 | -0,00225       | -0,00003                            |
| 3  | 0,1821         | 0,8179         | 1,42829 | -0,00307       | 0,00002                             |
| 4  | 0,2370         | 0,7630         | 1,43158 | -0,00381       | -0,00003                            |
| 5  | 0,2777         | 0,7223         | 1,43416 | -0,00422       | 0,00000                             |
| 6  | 0,3474         | 0,6526         | 1,43869 | -0,00481       | 0,00002                             |
| 7  | 0,3958         | 0,6042         | 1,44195 | -0,00510       | 0,00003                             |
| 8  | 0,4486         | 0,5514         | 1,44588 | -0,00534       | 0,00000                             |
| 9  | 0,5060         | 0,4940         | 1,44968 | -0,00546       | -0,00000                            |
| 10 | 0,5542         | 0,4458         | 1,45325 | -0,00543       | 0,00000                             |
| 11 | 0,6037         | 0,3963         | 1,45700 | -0,00530       | -0,00001                            |
| 12 | 0,6550         | 0,3450         | 1,46103 | -0,00504       | 0,00000                             |
| 13 | 0,6919         | 0,3084         | 1,46398 | -0,00478       | 0,00001                             |
| 14 | 0,7505         | 0,2495         | 1,46885 | -0,00423       | 0,00001                             |
| 15 | 0,7831         | 0,2169         | 1,47161 | -0,00386       | 0,00000                             |
| 16 | 0,8329         | 0,1671         | 1,47593 | -0,00320       | -0,00000                            |
| 17 | 0,8750         | 0,1250         | 1,47969 | -0,00253       | 0,00000                             |
| 18 | 0,9102         | 0,0898         | 1,48290 | -0,00190       | 0,00000                             |
| 19 | 0,9494         | 0,0506         | 1,48654 | -0,00114       | -0,00001                            |
|    | 1,0000         | 0,0000         | 1,49139 |                | 0,00001                             |

VALORES CALCULADOS DEL AJUSTE

COEFICIENTES

$$A_0 = 1,41797 \quad A_0 = -0,02185$$

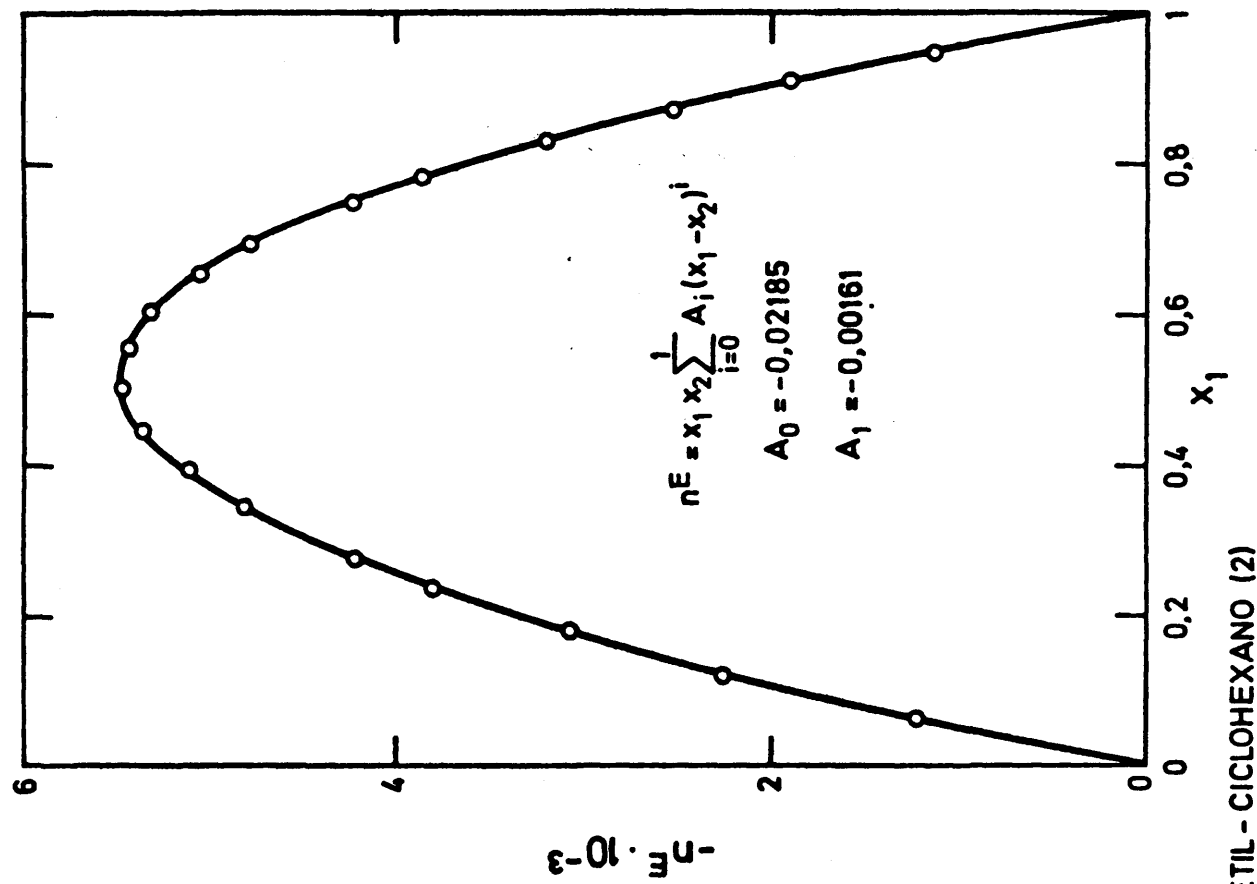
$$A_1 = 0,05342 \quad A_0 = -0,00161$$

$$A_2 = 0,01655$$

$$A_3 = 0,00344$$

$$\sigma = 0,00001 \quad \sigma = 0,00002$$

| x <sub>1</sub> | n       | n <sup>E</sup> |
|----------------|---------|----------------|
| 0,00           | 1,41797 |                |
| 0,10           | 1,42348 | -0,00185       |
| 0,20           | 1,42934 | -0,00334       |
| 0,30           | 1,43552 | -0,00445       |
| 0,40           | 1,44221 | -0,00517       |
| 0,50           | 1,44925 | -0,00546       |
| 0,60           | 1,45672 | -0,00532       |
| 0,70           | 1,46465 | -0,00472       |
| 0,80           | 1,47306 | -0,00365       |
| 0,90           | 1,48196 | -0,00208       |
| 1,00           | 1,49138 |                |



TOLUENO (1) + METIL - CICLOHEXANO (2)  
30,0 °C

Figura 4.26

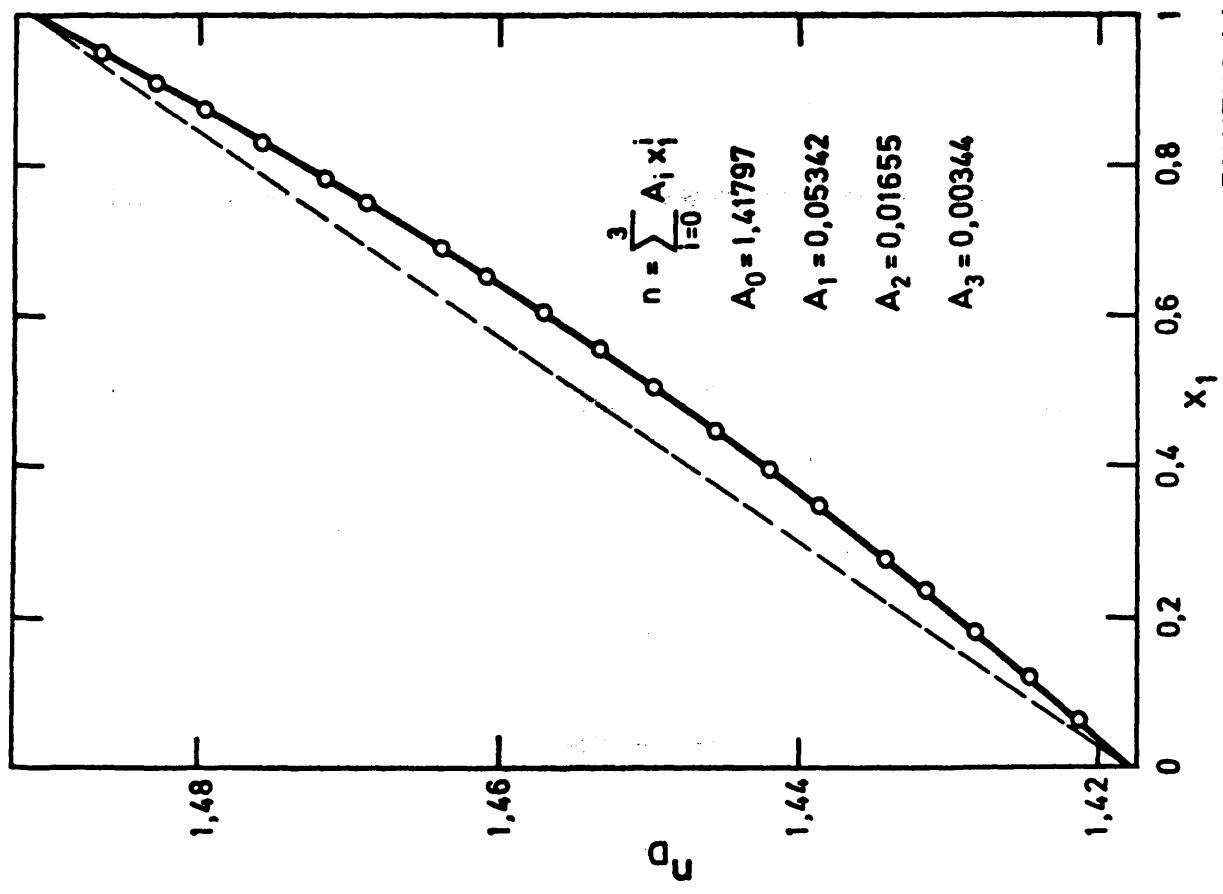


Tabla 4.29

SISTEMA

TOLUENO(1) + METIL-CICLOHEXANO(2)

PRESIONES DE VAPOR (hPa)

TEMPERATURA = 75.0 C

| $x_1$  | $y_1$  | P      | $p_1$  | $p_2$  |
|--------|--------|--------|--------|--------|
| 0.1059 | 0.0952 | 454.02 | 43.23  | 410.78 |
| 0.1444 | 0.1286 | 452.06 | 58.12  | 393.93 |
| 0.1818 | 0.1589 | 449.87 | 71.48  | 378.39 |
| 0.2218 | 0.1926 | 446.63 | 86.04  | 360.59 |
| 0.2588 | 0.2231 | 444.06 | 99.07  | 344.98 |
| 0.2835 | 0.2427 | 442.26 | 107.34 | 334.92 |
| 0.3073 | 0.2621 | 440.19 | 115.37 | 324.82 |
| 0.3314 | 0.2808 | 438.10 | 123.00 | 315.09 |
| 0.3530 | 0.2983 | 436.14 | 130.11 | 306.03 |
| 0.3750 | 0.3160 | 433.80 | 137.07 | 296.73 |
| 0.4072 | 0.3418 | 430.60 | 147.18 | 283.43 |
| 0.4567 | 0.3820 | 425.47 | 162.51 | 262.96 |
| 0.5036 | 0.4207 | 419.95 | 176.68 | 243.27 |
| 0.5291 | 0.4437 | 416.62 | 184.85 | 231.77 |
| 0.5563 | 0.4672 | 413.19 | 193.04 | 220.15 |
| 0.5889 | 0.4962 | 408.94 | 202.91 | 206.03 |
| 0.6306 | 0.5333 | 403.10 | 214.99 | 188.11 |
| 0.6602 | 0.5611 | 398.51 | 223.59 | 174.92 |
| 0.6854 | 0.5857 | 394.34 | 230.98 | 163.36 |
| 0.7062 | 0.6062 | 390.86 | 236.93 | 153.93 |
| 0.7371 | 0.6392 | 385.53 | 246.45 | 139.08 |
| 0.7643 | 0.6674 | 380.62 | 254.04 | 126.58 |
| 0.7984 | 0.7059 | 374.57 | 264.42 | 110.15 |
| 0.8296 | 0.7430 | 368.09 | 273.50 | 94.59  |
| 0.8647 | 0.7882 | 360.28 | 283.96 | 76.32  |
| 0.8981 | 0.8340 | 353.04 | 294.44 | 58.60  |
| 0.9351 | 0.8887 | 343.58 | 305.34 | 38.24  |

TOLUENO (1) + METIL - CICLOHEXANO (2)  
75,0 °C

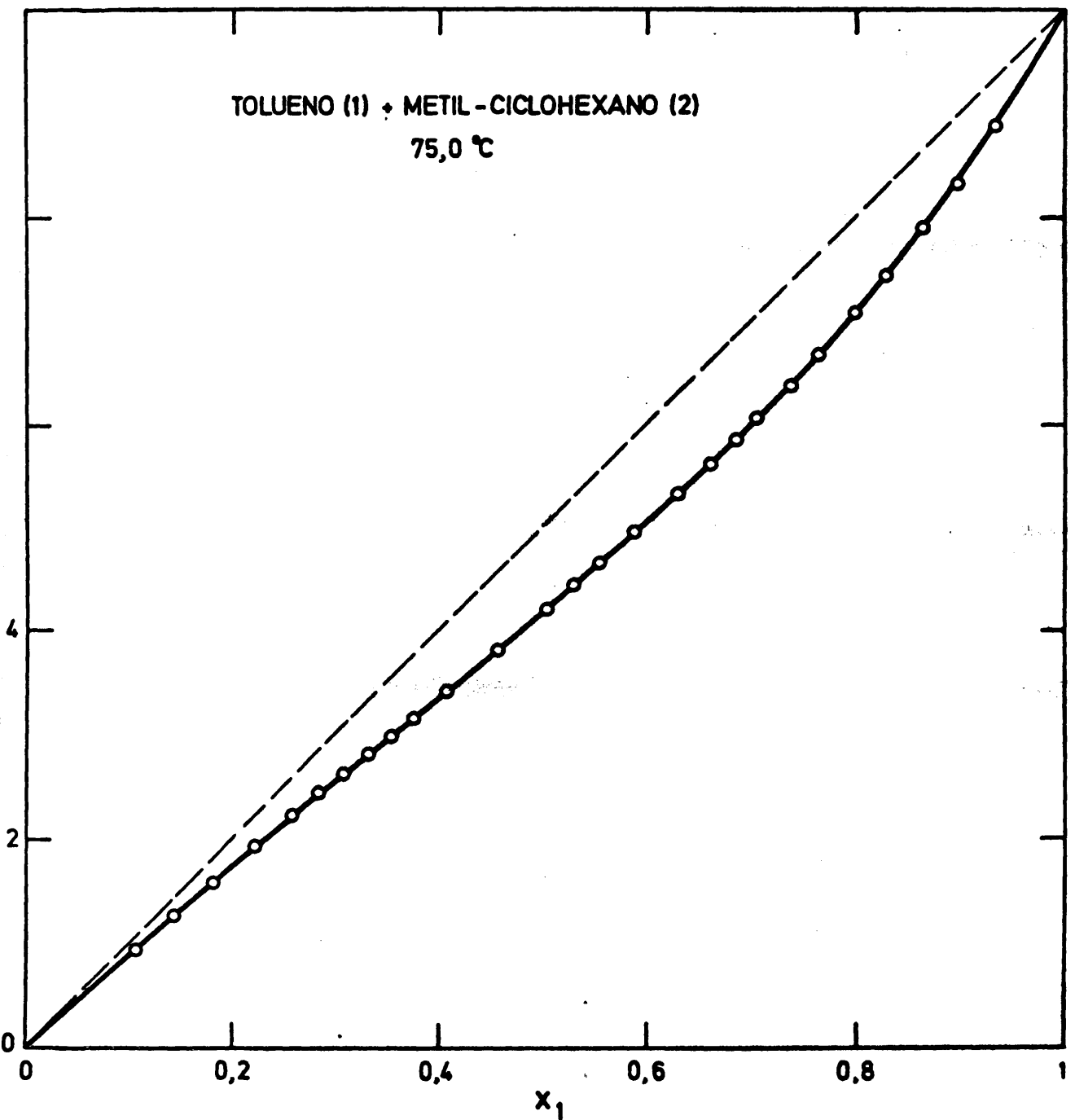


Figura 4.27

TOLUENO (1) • METIL-CICLOHEXANO (2)

75,0 °C

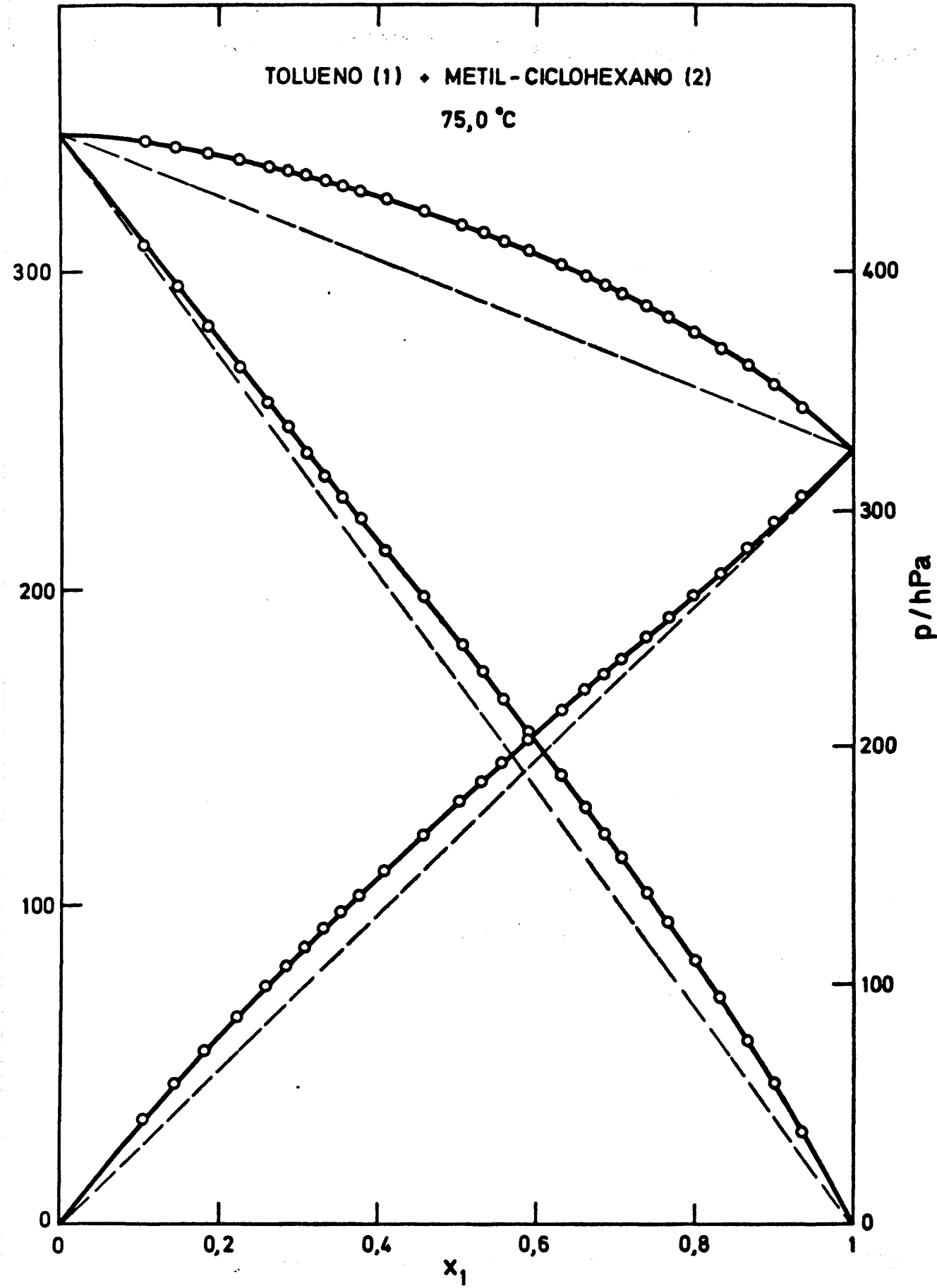


Figura 4.28

Tabla 4.30

SISTEMA

TOLUENO(1) + METIL-CICLOHEXANO(2)

TEMPERATURA = 75.0 C

$$\begin{aligned}
 V_1 &= 113.350 & B_{11} &= -1657.3 \\
 V_2 &= 136.234 & B_{22} &= -1463.8 \\
 && B_{12} &= -1558.5
 \end{aligned}$$

VALORES EXPERIMENTALES ( $J \cdot mol^{-1}$ )

| $x_1$  | $y_1$  | P      | $\mu_1^E$ | $\mu_2^E$ | $\mu_1^E - \mu_2^E$ | $G^E$  |
|--------|--------|--------|-----------|-----------|---------------------|--------|
| 0.0000 |        | 457.28 |           |           |                     |        |
| 0.1059 | 0.0952 | 454.02 | 630.78    | 14.20     | 616.58              | 79.50  |
| 0.1444 | 0.1286 | 452.06 | 591.50    | 20.53     | 570.97              | 102.97 |
| 0.1818 | 0.1589 | 449.87 | 523.57    | 33.78     | 489.79              | 122.82 |
| 0.2218 | 0.1926 | 446.75 | 485.07    | 40.86     | 444.24              | 139.39 |
| 0.2588 | 0.2231 | 444.06 | 446.98    | 53.33     | 393.66              | 155.21 |
| 0.2835 | 0.2427 | 442.26 | 415.43    | 66.00     | 349.42              | 165.06 |
| 0.3073 | 0.2621 | 440.19 | 391.49    | 75.44     | 316.05              | 172.56 |
| 0.3314 | 0.2808 | 438.10 | 359.00    | 90.18     | 268.82              | 179.27 |
| 0.3530 | 0.2983 | 436.14 | 338.59    | 101.27    | 237.33              | 185.04 |
| 0.3750 | 0.3160 | 433.80 | 315.33    | 112.30    | 203.03              | 188.43 |
| 0.4072 | 0.3418 | 430.60 | 283.19    | 133.20    | 149.99              | 194.27 |
| 0.4567 | 0.3820 | 425.47 | 239.17    | 169.28    | 69.88               | 201.20 |
| 0.5036 | 0.4207 | 419.95 | 198.71    | 206.51    | -7.80               | 202.58 |
| 0.5291 | 0.4437 | 416.62 | 187.33    | 219.36    | -32.03              | 202.41 |
| 0.5563 | 0.4672 | 413.19 | 168.31    | 243.29    | -74.98              | 201.58 |
| 0.5889 | 0.4962 | 408.94 | 148.58    | 272.91    | -124.33             | 199.69 |
| 0.6306 | 0.5333 | 403.10 | 118.66    | 320.40    | +201.73             | 193.18 |
| 0.6602 | 0.5611 | 398.51 | 100.66    | 352.00    | +251.34             | 186.07 |
| 0.6854 | 0.5857 | 394.34 | 86.70     | 378.28    | -291.58             | 178.43 |
| 0.7062 | 0.6062 | 390.86 | 74.70     | 404.29    | -329.59             | 171.53 |
| 0.7371 | 0.6392 | 385.53 | 65.35     | 433.71    | -368.36             | 162.19 |
| 0.7643 | 0.6674 | 380.62 | 49.22     | 477.98    | -428.76             | 150.28 |
| 0.7984 | 0.7059 | 374.57 | 39.88     | 528.80    | -488.96             | 138.45 |
| 0.8296 | 0.7430 | 368.09 | 27.82     | 575.70    | -547.88             | 121.18 |
| 0.8647 | 0.7882 | 360.28 | 18.10     | 622.59    | -604.49             | 99.89  |
| 0.8981 | 0.8340 | 353.04 | 14.41     | 680.34    | -665.93             | 82.27  |
| 0.9351 | 0.8887 | 343.58 | 4.55      | 752.04    | -747.49             | 53.06  |
| 1.0000 |        | 325.67 |           |           |                     |        |

Tabla 4.31

SISTEMA

TOLUENO(1) + METIL-CICLOHEXANO(2)

TEMPERATURA = 75.0 C

AJUSTE POR MINIMOS CUADRADOS DE DATOS EXPERIMENTALES DE G<sup>E</sup>

| COEF           | GRADO DEL POLINOMIO |        |        |        |        |
|----------------|---------------------|--------|--------|--------|--------|
|                | UNO                 | DOS    | TRES   | CUATRO | CINCO  |
| A <sub>0</sub> | 827.09              | 810.29 | 810.02 | 811.78 | 812.12 |
| A <sub>1</sub> | 31.83               | 25.43  | 31.83  | 33.48  | 27.18  |
| A <sub>2</sub> |                     | 71.41  | 73.40  | 50.98  | 45.01  |
| A <sub>3</sub> |                     |        | -15.24 | -20.67 | 21.31  |
| A <sub>4</sub> |                     |        |        | 35.64  | 47.40  |
| A <sub>5</sub> |                     |        |        |        | -53.05 |
| $\sigma$       | 2.58                | 1.05   | 1.02   | 0.95   | 0.97   |

VALORES CALCULADOS DEL AJUSTE

| X <sub>1</sub> | GRADO DEL POLINOMIO |        |        |        |        |
|----------------|---------------------|--------|--------|--------|--------|
|                | UNO                 | DOS    | TRES   | CUATRO | CINCO  |
| 0.05           | 37.93               | 40.15  | 40.47  | 40.92  | 41.37  |
| 0.10           | 72.15               | 75.21  | 75.54  | 75.85  | 76.06  |
| 0.15           | 102.61              | 105.50 | 105.69 | 105.69 | 105.59 |
| 0.20           | 129.28              | 131.32 | 131.30 | 131.06 | 130.83 |
| 0.25           | 152.10              | 152.89 | 152.69 | 152.36 | 152.20 |
| 0.30           | 171.01              | 170.43 | 170.10 | 169.84 | 169.86 |
| 0.35           | 185.99              | 184.07 | 183.70 | 183.63 | 183.81 |
| 0.40           | 196.97              | 193.94 | 193.61 | 193.76 | 194.02 |
| 0.45           | 203.92              | 200.09 | 199.88 | 200.22 | 200.44 |
| 0.50           | 206.77              | 202.57 | 202.50 | 202.94 | 203.03 |
| 0.55           | 205.49              | 201.35 | 201.44 | 201.87 | 201.79 |
| 0.60           | 200.03              | 196.38 | 196.61 | 196.90 | 196.70 |
| 0.65           | 190.33              | 187.54 | 187.86 | 187.95 | 187.72 |
| 0.70           | 176.36              | 174.70 | 175.04 | 174.91 | 174.77 |
| 0.75           | 158.06              | 157.66 | 157.95 | 157.67 | 157.68 |
| 0.80           | 135.39              | 136.20 | 136.36 | 136.06 | 136.20 |
| 0.85           | 108.29              | 110.04 | 110.04 | 109.86 | 110.03 |
| 0.90           | 76.73               | 78.87  | 78.72  | 78.77  | 78.81  |
| 0.95           | 40.65               | 42.32  | 42.13  | 42.35  | 42.20  |

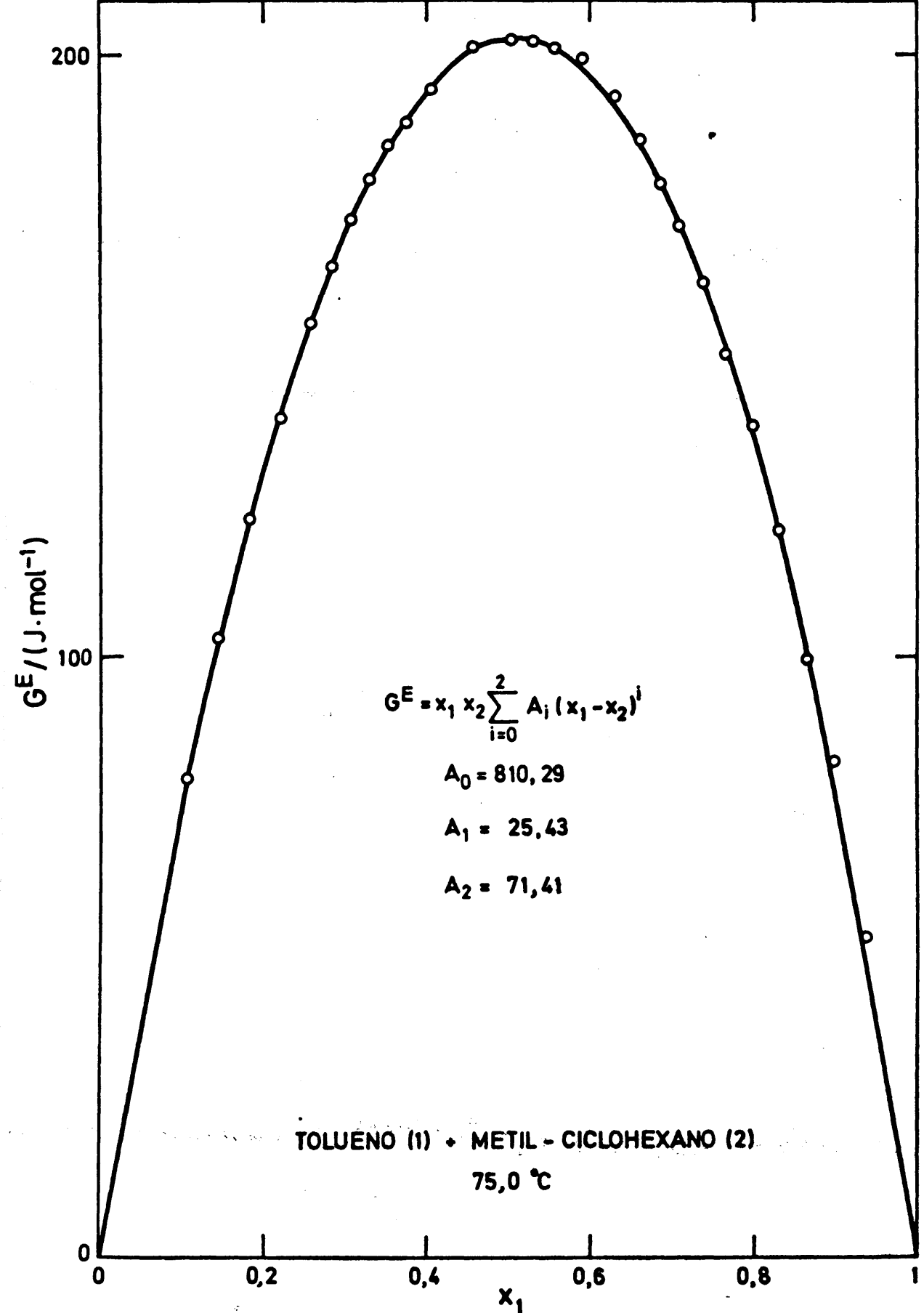


Figura 4.29

TOLUENO (1) + METIL-CICLOHEXANO (2)

75,0 °C

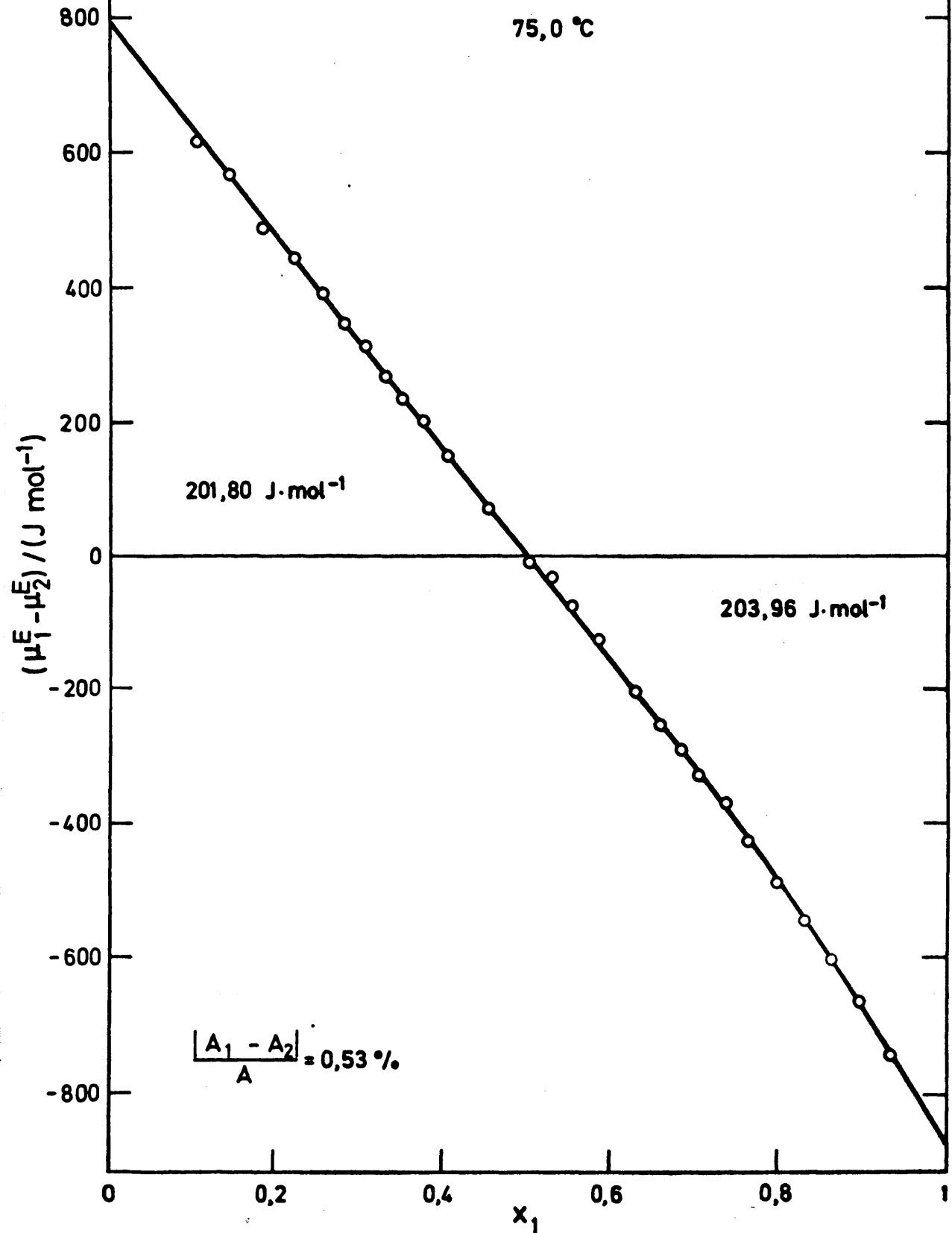


Figura 4.30

Tabla 4.32

CALCULO DE  $G^E$  POR EL METODO DE BARKER

POLINOMIO DE GRADO = 3

COEFICIENTES

$$\begin{aligned}
 A_1 &= 814.56 \\
 A_2 &= 40.17 \\
 A_3 &= 57.82 \\
 A_4 &= -29.73
 \end{aligned}$$

| $x_1$    | $\Delta Y$ | $\Delta P$ | $Y_1$  | $Y_2$  | $\Delta G^E$ | $G^E$  |
|----------|------------|------------|--------|--------|--------------|--------|
| 0.1059   | -0.0006    | 0.13       | 1.2510 | 1.0040 | 0.59         | 78.91  |
| 0.1444   | 0.0002     | 0.13       | 1.2245 | 1.0970 | 0.93         | 102.04 |
| 0.1818   | -0.0005    | 0.17       | 1.2018 | 1.0107 | 0.84         | 121.99 |
| 0.2218   | 0.0005     | -0.24      | 1.1803 | 1.0153 | -1.33        | 140.71 |
| 0.2588   | 0.0009     | -0.17      | 1.1625 | 1.0202 | -0.55        | 155.75 |
| 0.2835   | 0.0006     | 0.01       | 1.1515 | 1.0238 | 0.45         | 164.62 |
| 0.3073   | 0.0008     | -0.04      | 1.1416 | 1.0276 | 0.27         | 172.29 |
| 0.3314   | 0.0000     | 0.01       | 1.1320 | 1.0316 | 0.07         | 179.19 |
| 0.3530   | 0.0000     | 0.05       | 1.1239 | 1.0355 | 0.39         | 184.65 |
| 0.3750   | -0.0001    | -0.15      | 1.1160 | 1.0397 | -1.03        | 185.51 |
| 0.4072   | -0.0006    | -0.09      | 1.1050 | 1.0463 | -1.08        | 195.35 |
| 0.4567   | -0.0012    | 0.14       | 1.0893 | 1.0578 | -0.16        | 201.36 |
| 0.5036   | -0.0019    | 0.10       | 1.0756 | 1.0702 | -1.12        | 203.70 |
| 0.5291   | -0.0007    | -0.08      | 1.0686 | 1.0777 | -1.17        | 203.58 |
| 0.5563   | -0.0007    | -0.01      | 1.0615 | 1.0862 | -0.77        | 202.34 |
| 0.5889   | -0.0005    | 0.13       | 1.0534 | 1.0974 | 0.36         | 199.33 |
| 0.6306   | -0.0013    | 0.23       | 1.0438 | 1.1133 | 0.20         | 192.99 |
| 0.6602   | -0.0018    | 0.11       | 1.0375 | 1.1257 | -0.67        | 186.73 |
| 0.6854   | -0.0010    | -0.08      | 1.0324 | 1.1371 | -1.81        | 180.24 |
| 0.7062   | -0.0011    | -0.16      | 1.0285 | 1.1471 | -2.52        | 174.05 |
| 0.7371   | 0.0002     | -0.20      | 1.0230 | 1.1629 | -1.25        | 163.44 |
| 0.7643   | -0.0006    | -0.21      | 1.0187 | 1.1780 | -2.40        | 152.68 |
| 0.7984   | -0.0003    | 0.21       | 1.0138 | 1.1984 | 1.18         | 137.27 |
| 0.8296   | -0.0003    | 0.04       | 1.0099 | 1.2186 | -0.06        | 121.24 |
| 0.8647   | 0.0004     | -0.20      | 1.0063 | 1.2431 | -1.09        | 100.98 |
| 0.8981   | 0.0006     | 0.25       | 1.0036 | 1.2683 | 2.81         | 79.45  |
| 0.9351   | 0.0001     | -0.02      | 1.0015 | 1.2984 | 0.04         | 53.02  |
| $\sigma$ | 0.0008     | 0.15       |        |        | 1.19         |        |

4.6.7.- *Resultados experimentales del sistema o-Xileno(1)+  
Metil-ciclohexano(2) 75°C.*

Tabla 4.33

MEZCLAS DE COMPOSICION CONOCIDA A 30,0°C DEL SISTEMA  
o-XILENO(1) + METIL-CICLOHEXANO(2)

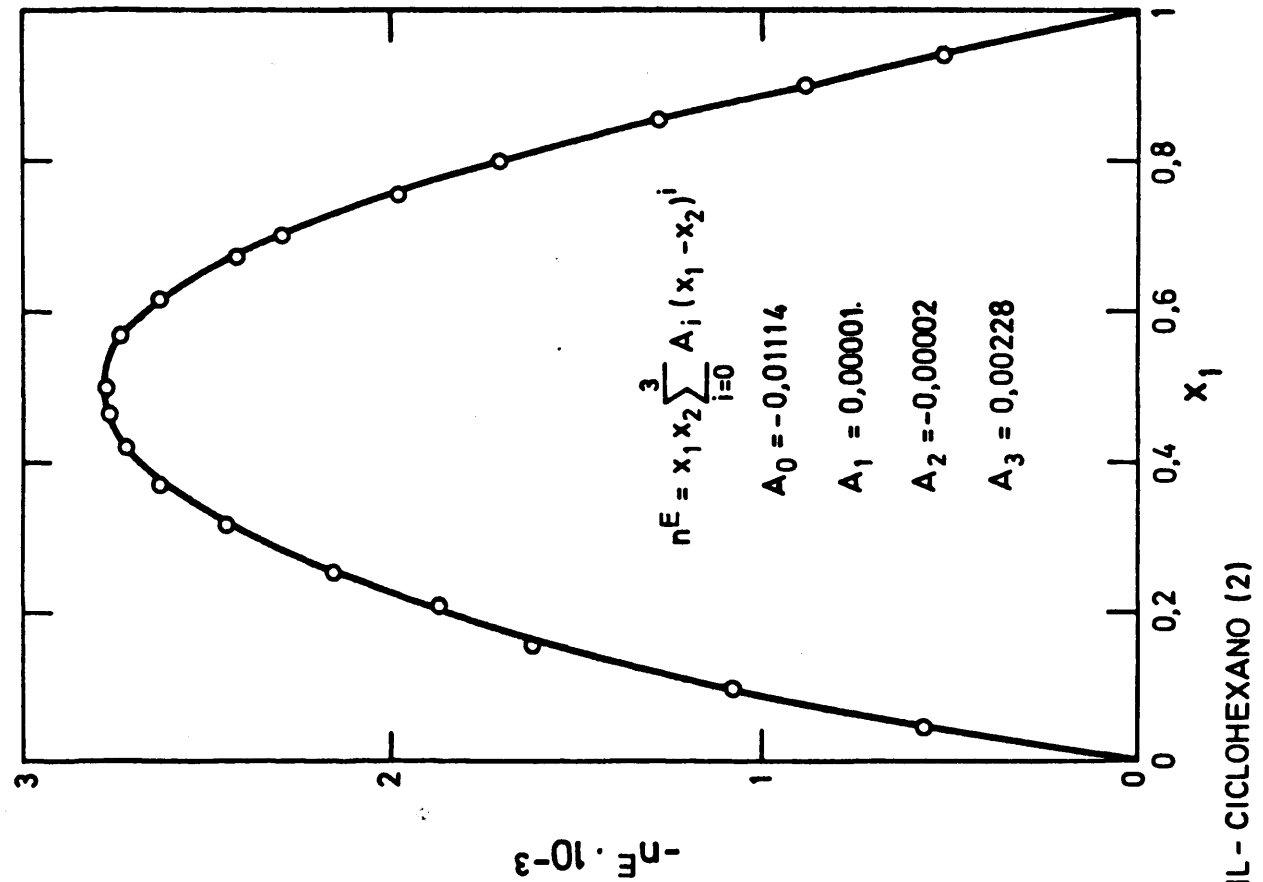
| Nº | $x_1$  | $x_2$  | n       | $n^E$    | $n_{exp} - n_{cal}$ |
|----|--------|--------|---------|----------|---------------------|
|    | 0,0000 | 1,0000 | 1,41800 |          | 0,00003             |
| 1  | 0,0459 | 0,9541 | 1,42119 | -0,00057 | -0,00003            |
| 2  | 0,1005 | 0,8995 | 1,42515 | -0,00108 | -0,00000            |
| 3  | 0,1545 | 0,8455 | 1,42903 | -0,00162 | -0,00009            |
| 4  | 0,2100 | 0,7900 | 1,43332 | -0,00187 | 0,00005             |
| 5  | 0,2513 | 0,7487 | 1,43642 | -0,00216 | 0,00001             |
| 6  | 0,3170 | 0,6830 | 1,44151 | -0,00245 | 0,00003             |
| 7  | 0,3688 | 0,6312 | 1,44557 | -0,00263 | 0,00001             |
| 8  | 0,4181 | 0,5819 | 1,44951 | -0,00272 | 0,00002             |
| 9  | 0,4666 | 0,5334 | 1,45345 | -0,00276 | 0,00003             |
| 10 | 0,5027 | 0,4973 | 1,45639 | -0,00277 | 0,00002             |
| 11 | 0,5689 | 0,4311 | 1,46185 | -0,00273 | -0,00002            |
| 12 | 0,6144 | 0,3856 | 1,46568 | -0,00263 | -0,00003            |
| 13 | 0,6712 | 0,3288 | 1,47054 | -0,00242 | -0,00002            |
| 14 | 0,7015 | 0,2985 | 1,47314 | -0,00230 | -0,00003            |
| 15 | 0,7562 | 0,2438 | 1,47794 | -0,00198 | 0,00000             |
| 16 | 0,8019 | 0,1981 | 1,48195 | -0,00171 | -0,00002            |
| 17 | 0,8563 | 0,1437 | 1,48683 | -0,00128 | 0,00001             |
| 18 | 0,9024 | 0,0976 | 1,49100 | -0,00089 | 0,00002             |
| 19 | 0,9409 | 0,0591 | 1,49452 | -0,00052 | 0,00004             |
|    | 1,0000 | 0,0000 | 1,49988 |          | -0,00003            |

VALORES CALCULADOS DEL AJUSTE

COEFICIENTES

$$\begin{aligned}
 A_0 &= 1,41797 & A_0^E &= -0,01114 \\
 A_1 &= 0,07017 & A_1^E &= 0,00001 \\
 A_2 &= 0,01301 & A_2^E &= -0,00002 \\
 A_3 &= -0,00124 & A_3^E &= 0,00228 \\
 \sigma &= 0,00003 & \sigma^E &= 0,00002
 \end{aligned}$$

| $x_1$ | n       | $n^E$    |
|-------|---------|----------|
| 0,00  | 1,41797 |          |
| 0,10  | 1,42511 | -0,00111 |
| 0,20  | 1,43251 | -0,00186 |
| 0,30  | 1,44016 | -0,00237 |
| 0,40  | 1,44804 | -0,00268 |
| 0,50  | 1,45615 | -0,00278 |
| 0,60  | 1,46449 | -0,00267 |
| 0,70  | 1,47304 | -0,00231 |
| 0,80  | 1,48180 | -0,00170 |
| 0,90  | 1,49076 | -0,00090 |
| 1,00  | 1,49991 |          |



o-XILENO (1) + METIL - CICLOHEXANO (2)  
30,0 °C

Figura 4.31

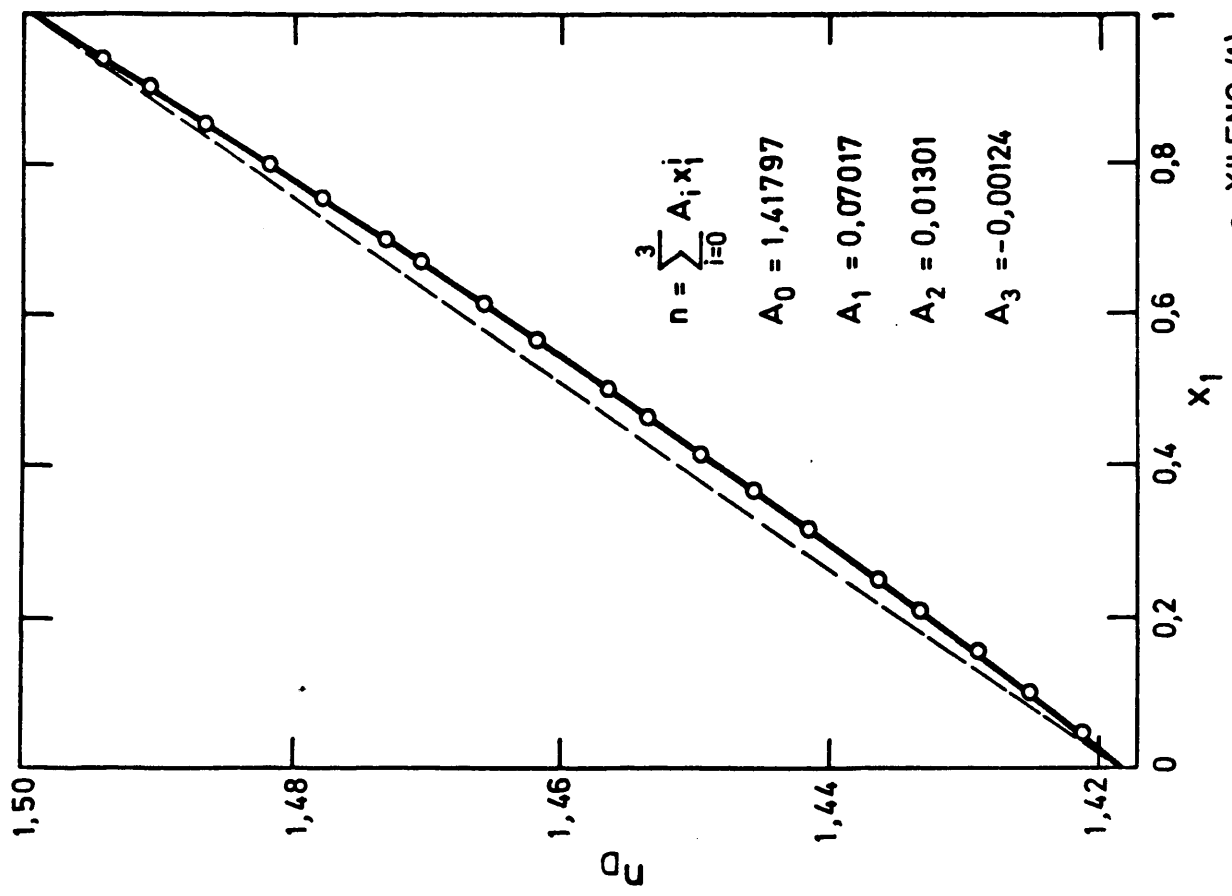


Tabla 4.34

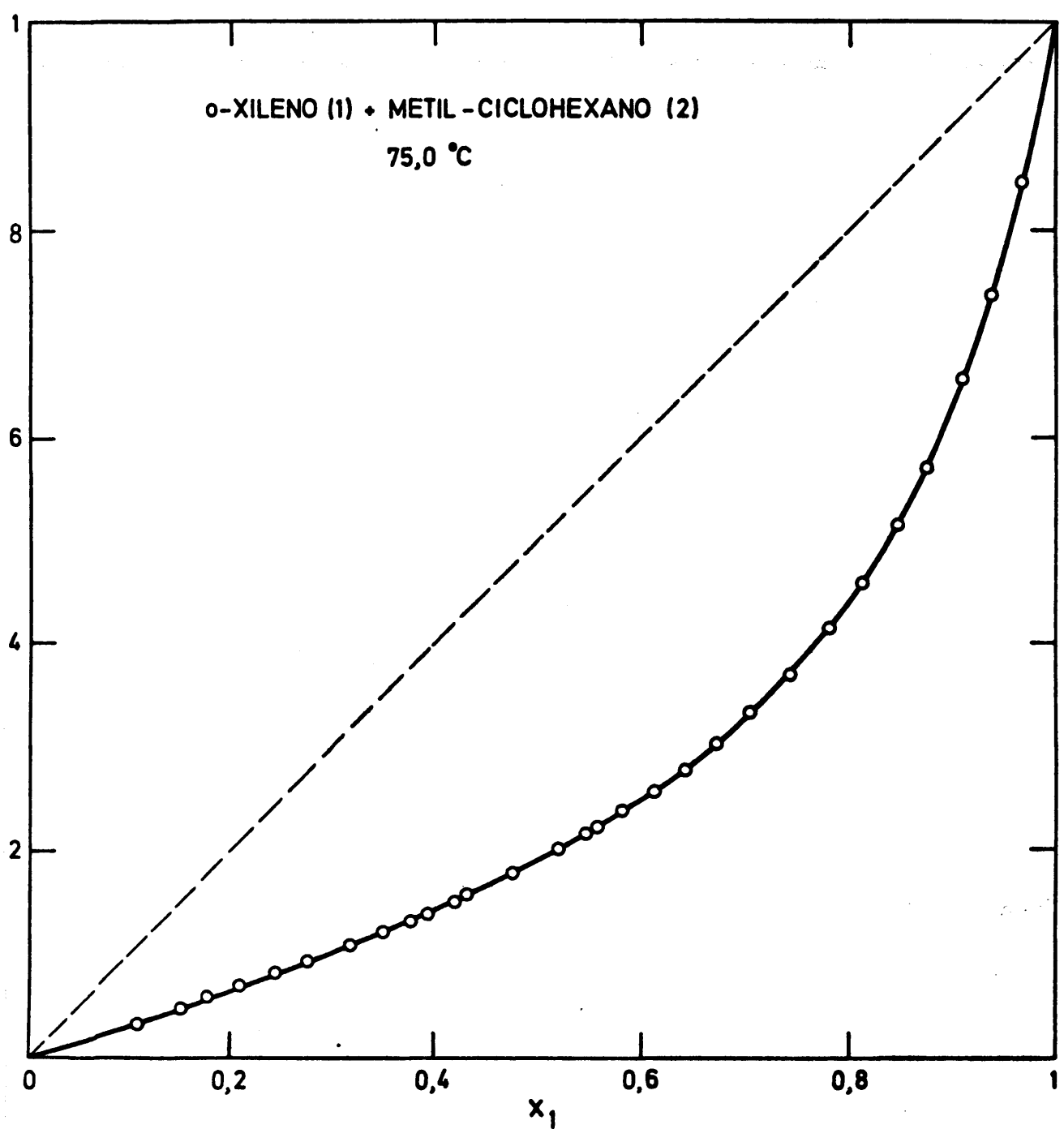
SISTEMA

O-XILENO(1) + METIL-CICLOHEXANO(2)

PRESIONES DE VAPOR (hPa)

TEMPERATURA = 75.0 C

| $x_1$  | $y_1$  | P      | $p_1$  | $p_2$  |
|--------|--------|--------|--------|--------|
| 0.1077 | 0.0341 | 423.91 | 14.47  | 409.45 |
| 0.1502 | 0.0479 | 410.69 | 19.66  | 391.02 |
| 0.1779 | 0.0571 | 402.23 | 22.98  | 379.26 |
| 0.2082 | 0.0673 | 392.71 | 26.42  | 366.29 |
| 0.2431 | 0.0796 | 382.24 | 30.44  | 351.80 |
| 0.2767 | 0.0918 | 371.36 | 34.09  | 337.27 |
| 0.3179 | 0.1072 | 358.56 | 38.43  | 320.12 |
| 0.3485 | 0.1194 | 349.01 | 41.66  | 307.35 |
| 0.3765 | 0.1310 | 340.04 | 44.53  | 295.51 |
| 0.3942 | 0.1384 | 334.53 | 46.31  | 288.22 |
| 0.4191 | 0.1494 | 326.61 | 48.80  | 277.81 |
| 0.4324 | 0.1553 | 322.33 | 50.07  | 272.26 |
| 0.4757 | 0.1767 | 308.15 | 54.46  | 253.69 |
| 0.5205 | 0.2002 | 293.40 | 58.74  | 234.66 |
| 0.5461 | 0.2147 | 284.78 | 61.13  | 223.65 |
| 0.5550 | 0.2198 | 281.80 | 61.94  | 219.86 |
| 0.5813 | 0.2360 | 272.91 | 64.41  | 208.50 |
| 0.6116 | 0.2561 | 262.43 | 67.20  | 195.23 |
| 0.6404 | 0.2774 | 252.30 | 69.99  | 182.31 |
| 0.6727 | 0.3036 | 240.77 | 73.10  | 167.67 |
| 0.7056 | 0.3325 | 228.58 | 75.99  | 152.59 |
| 0.7429 | 0.3701 | 214.69 | 79.46  | 135.23 |
| 0.7799 | 0.4147 | 200.29 | 83.07  | 117.22 |
| 0.8124 | 0.4593 | 187.06 | 85.51  | 101.15 |
| 0.8477 | 0.5167 | 172.64 | 89.20  | 83.44  |
| 0.8749 | 0.5698 | 161.17 | 91.84  | 69.33  |
| 0.9110 | 0.6560 | 145.43 | 95.40  | 50.03  |
| 0.9382 | 0.7366 | 133.00 | 97.97  | 35.04  |
| 0.9682 | 0.8464 | 119.30 | 100.97 | 18.32  |



**Figura 4.32**

$\circ$ -XILENO (1) + METIL-CICLOHEXANO (2)

75,0 °C



Figura 4.33

Tabla 4.35

SISTEMA

O-XILENO(1) + METIL-CICLOHEXANO(2)

TEMPERATURA = 75.0 C

$$\begin{array}{ll} V_1 = 127.493 & \delta_{11} = -2845.9 \\ V_2 = 136.234 & \delta_{22} = -1463.8 \\ & \delta_{12} = -2078.9 \end{array}$$

VALORES EXPERIMENTALES ( $J \cdot mol^{-1}$ )

| $x_1$  | $y_1$  | P      | $\mu_1^E$ | $\mu_2^E$ | $\mu_1^E - \mu_2^E$ | $G^E$  |
|--------|--------|--------|-----------|-----------|---------------------|--------|
| 0.0000 |        | 457.28 |           |           |                     |        |
| 0.1077 | 0.0341 | 423.91 | 649.41    | 15.42     | 633.99              | 83.70  |
| 0.1502 | 0.0479 | 410.69 | 582.09    | 25.40     | 556.69              | 109.02 |
| 0.1779 | 0.0571 | 402.23 | 542.82    | 34.38     | 508.43              | 124.83 |
| 0.2082 | 0.0673 | 392.71 | 496.57    | 43.80     | 452.77              | 138.07 |
| 0.2431 | 0.0796 | 382.23 | 458.41    | 59.25     | 399.16              | 156.29 |
| 0.2767 | 0.0918 | 371.36 | 415.83    | 70.23     | 345.60              | 165.86 |
| 0.3179 | 0.1072 | 358.56 | 364.94    | 91.03     | 273.91              | 178.10 |
| 0.3485 | 0.1194 | 349.01 | 335.41    | 107.49    | 227.92              | 186.92 |
| 0.3765 | 0.1310 | 340.04 | 307.17    | 122.32    | 184.85              | 191.92 |
| 0.3942 | 0.1384 | 334.53 | 287.51    | 134.56    | 152.95              | 194.85 |
| 0.4191 | 0.1494 | 326.61 | 264.42    | 150.79    | 113.63              | 198.41 |
| 0.4324 | 0.1553 | 322.33 | 249.09    | 160.20    | 88.90               | 198.64 |
| 0.4757 | 0.1767 | 308.15 | 220.14    | 187.63    | 32.51               | 203.10 |
| 0.5205 | 0.2002 | 293.40 | 183.18    | 222.80    | -39.62              | 202.18 |
| 0.5461 | 0.2147 | 284.78 | 162.62    | 243.68    | -81.06              | 199.42 |
| 0.5550 | 0.2198 | 281.80 | 154.23    | 252.25    | -98.02              | 197.85 |
| 0.5813 | 0.2360 | 272.91 | 135.70    | 276.48    | -140.78             | 194.64 |
| 0.6116 | 0.2561 | 262.43 | 114.78    | 305.11    | -190.33             | 188.71 |
| 0.6464 | 0.2774 | 252.30 | 101.68    | 331.71    | -230.03             | 184.40 |
| 0.6727 | 0.3036 | 240.77 | 88.26     | 363.69    | -275.43             | 178.41 |
| 0.7056 | 0.3325 | 228.58 | 66.31     | 399.30    | -332.99             | 164.34 |
| 0.7429 | 0.3701 | 214.69 | 49.70     | 444.41    | -394.71             | 151.18 |
| 0.7799 | 0.4147 | 200.29 | 41.44     | 483.03    | -441.60             | 138.63 |
| 0.8124 | 0.4593 | 187.06 | 24.92     | 520.53    | -495.61             | 117.90 |
| 0.8477 | 0.5167 | 172.64 | 14.44     | 569.19    | -554.75             | 98.93  |
| 0.8749 | 0.5698 | 161.17 | 10.51     | 604.78    | -594.27             | 84.85  |
| 0.9110 | 0.6560 | 145.43 | 8.17      | 648.17    | -640.00             | 65.13  |
| 0.9382 | 0.7366 | 133.00 | 3.50      | 674.77    | -671.27             | 44.98  |
| 0.9682 | 0.8464 | 119.30 | 3.77      | 724.52    | -720.75             | 26.69  |
| 1.0000 |        | 103.99 |           |           |                     |        |

Tabla 4.36

SISTEMA

O-XILENO(1) + METIL-CICLOHEXANO(2)

TEMPERATURA = 75.0 °C

AJUSTE POR MINIMOS CUADRADOS DE DATOS EXPERIMENTALES DE  $G^{\circ}$ 

| COEF     | GRADO DEL POLINOMIO |        |        |        |         |
|----------|---------------------|--------|--------|--------|---------|
|          | UNO                 | DOS    | TRES   | CUATRO | CINCO   |
| $A_0$    | 816.00              | 803.99 | 805.20 | 812.92 | 809.61  |
| $A_1$    | -35.59              | -44.24 | -61.40 | -44.24 | -2.30   |
| $A_2$    |                     | 49.23  | 40.37  | -68.14 | -2.58   |
| $A_3$    |                     |        | 37.65  | -15.48 | -281.03 |
| $A_4$    |                     |        |        | 171.51 | 42.23   |
| $A_5$    |                     |        |        |        | 329.62  |
| $\sigma$ | 2.02                | 1.63   | 1.77   | 1.69   | 1.52    |

## VALORES CALCULADOS DEL AJUSTE

| $X_1$ | GRADO DEL POLINOMIO |        |        |        |        |
|-------|---------------------|--------|--------|--------|--------|
|       | UNO                 | DOS    | TRES   | CUATRO | CINCO  |
| 0.05  | 40.28               | 41.98  | 41.12  | 43.76  | 40.26  |
| 0.10  | 76.00               | 78.38  | 77.48  | 79.46  | 77.67  |
| 0.15  | 107.22              | 109.53 | 109.02 | 109.27 | 109.79 |
| 0.20  | 133.98              | 135.72 | 135.75 | 134.48 | 136.10 |
| 0.25  | 156.34              | 157.20 | 157.74 | 155.75 | 157.05 |
| 0.30  | 174.35              | 174.21 | 175.10 | 173.27 | 173.42 |
| 0.35  | 188.07              | 186.94 | 187.97 | 186.97 | 185.91 |
| 0.40  | 197.55              | 195.55 | 196.51 | 196.67 | 194.92 |
| 0.45  | 202.84              | 200.20 | 200.90 | 202.13 | 200.50 |
| 0.50  | 204.00              | 201.00 | 201.30 | 203.23 | 202.40 |
| 0.55  | 201.08              | 198.01 | 197.88 | 199.93 | 200.25 |
| 0.60  | 194.13              | 191.31 | 190.76 | 192.36 | 193.67 |
| 0.65  | 183.21              | 180.90 | 180.05 | 180.75 | 182.51 |
| 0.70  | 168.37              | 166.78 | 165.80 | 165.42 | 166.90 |
| 0.75  | 149.66              | 148.91 | 147.99 | 146.73 | 147.31 |
| 0.80  | 127.14              | 127.23 | 126.56 | 124.92 | 124.43 |
| 0.85  | 100.86              | 101.64 | 101.35 | 100.02 | 98.93  |
| 0.90  | 70.88               | 72.01  | 72.11  | 71.66  | 70.88  |
| 0.95  | 37.24               | 38.19  | 38.48  | 38.91  | 39.09  |

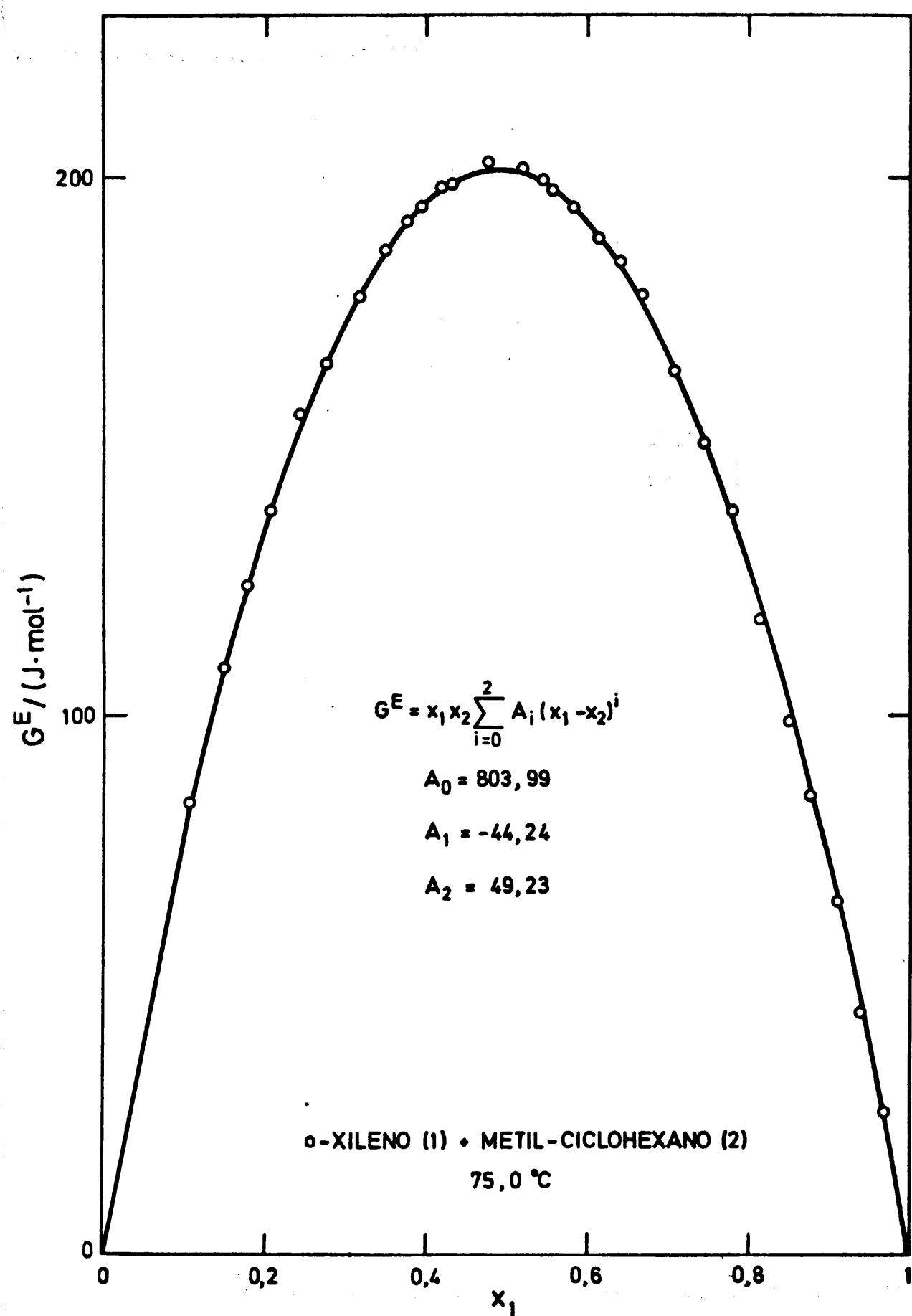


Figura 4.34

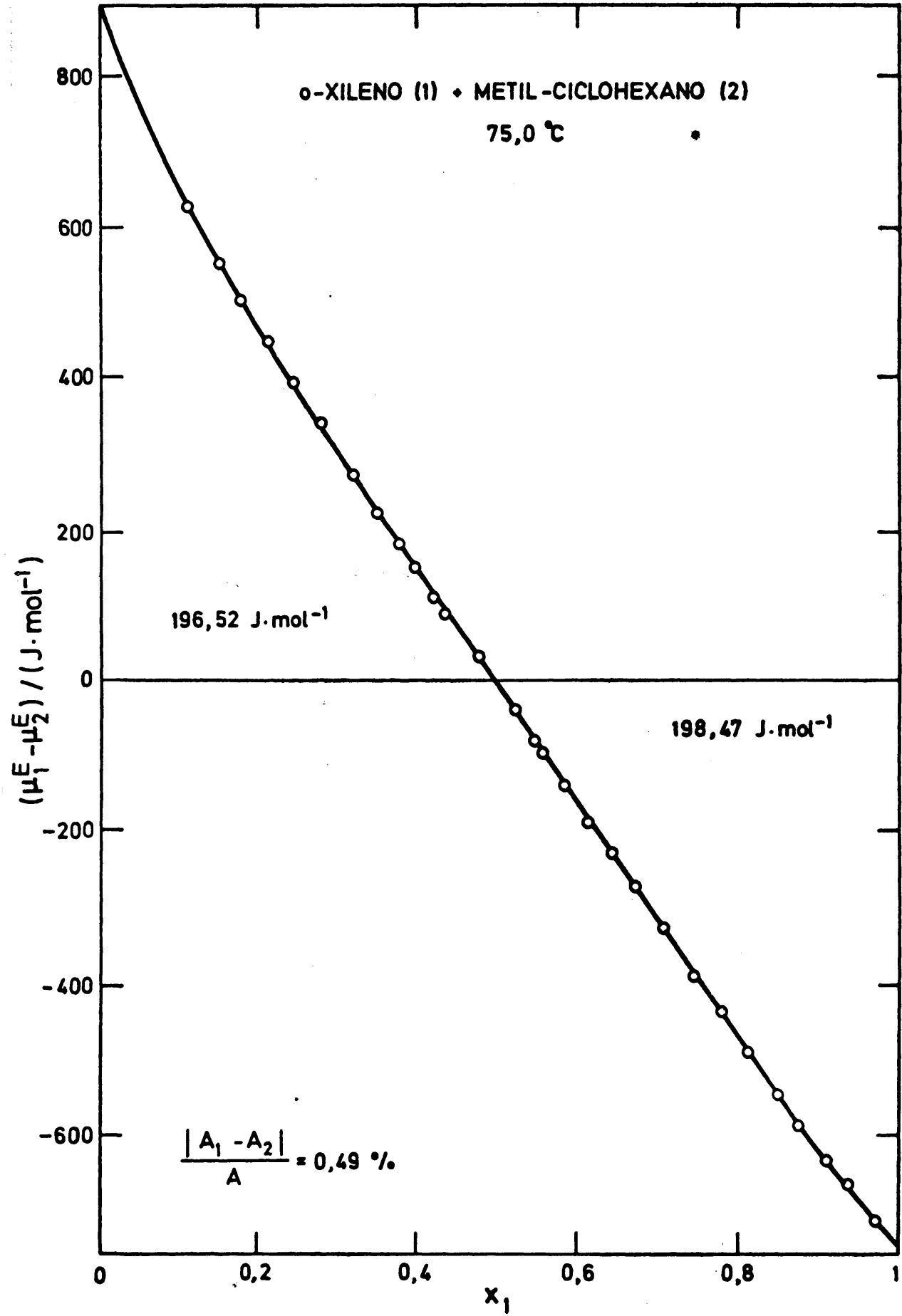


Figura 4.35

Tabla 4.37

CALCULO DE  $G^E$  POR EL METODO DE BARKER

POLINOMIO DE GRADO = 2

COEFICIENTES

$$\begin{aligned} A_1 &= 801.87 \\ A_2 &= -39.05 \\ A_3 &= 40.63 \end{aligned}$$

| $x_1$    | $\Delta Y$ | $\Delta P$ | $\gamma_1$ | $\gamma_2$ | $\Delta G^E$ | $G^E$  |
|----------|------------|------------|------------|------------|--------------|--------|
| 0.1077   | -0.0002    | 0.39       | 1.2584     | 1.0042     | 1.30         | 82.41  |
| 0.1502   | -0.0002    | 0.28       | 1.2271     | 1.0079     | 0.64         | 108.38 |
| 0.1779   | -0.0002    | 0.34       | 1.2086     | 1.0109     | 1.41         | 123.42 |
| 0.2082   | -0.0002    | 0.13       | 1.1899     | 1.0147     | -0.16        | 138.23 |
| 0.2431   | 0.0000     | 0.38       | 1.1700     | 1.0197     | 3.08         | 153.21 |
| 0.2767   | 0.0002     | -0.12      | 1.1526     | 1.0251     | 0.26         | 165.60 |
| 0.3179   | 0.0002     | -0.12      | 1.1332     | 1.0325     | -0.03        | 178.13 |
| 0.3485   | 0.0003     | -0.10      | 1.1200     | 1.0385     | 1.32         | 185.60 |
| 0.3765   | 0.0005     | -0.24      | 1.1089     | 1.0445     | 0.83         | 191.08 |
| 0.3942   | 0.0003     | -0.13      | 1.1022     | 1.0484     | 0.95         | 193.90 |
| 0.4191   | 0.0004     | -0.09      | 1.0933     | 1.0542     | 1.40         | 197.02 |
| 0.4324   | 0.0002     | -0.09      | 1.0888     | 1.0575     | 0.35         | 198.28 |
| 0.4757   | 0.0008     | -0.20      | 1.0751     | 1.0686     | 2.61         | 200.49 |
| 0.5205   | 0.0006     | -0.11      | 1.0625     | 1.0813     | 2.44         | 199.75 |
| 0.5461   | 0.0005     | -0.13      | 1.0559     | 1.0890     | 1.46         | 197.96 |
| 0.5550   | 0.0003     | -0.08      | 1.0537     | 1.0918     | 0.74         | 197.10 |
| 0.5813   | 0.0001     | 0.03       | 1.0475     | 1.1003     | 0.76         | 193.88 |
| 0.6116   | -0.0002    | 0.08       | 1.0409     | 1.1106     | -0.18        | 188.89 |
| 0.6404   | 0.0000     | 0.12       | 1.0352     | 1.1210     | 1.53         | 182.87 |
| 0.6727   | 0.0003     | 0.21       | 1.0292     | 1.1333     | 3.76         | 174.65 |
| 0.7056   | -0.0004    | 0.11       | 1.0238     | 1.1468     | -0.32        | 164.66 |
| 0.7429   | -0.0008    | 0.26       | 1.0183     | 1.1631     | -0.19        | 151.36 |
| 0.7799   | -0.0000    | 0.18       | 1.0135     | 1.1806     | 2.55         | 136.08 |
| 0.8124   | -0.0003    | -0.11      | 1.0099     | 1.1971     | -3.01        | 120.91 |
| 0.8477   | -0.0006    | -0.08      | 1.0066     | 1.2164     | -3.62        | 102.56 |
| 0.8749   | -0.0002    | -0.08      | 1.0045     | 1.2323     | -2.21        | 87.06  |
| 0.9110   | 0.0008     | -0.11      | 1.0023     | 1.2551     | 0.49         | 64.64  |
| 0.9382   | 0.0017     | -0.30      | 1.0011     | 1.2735     | -1.34        | 46.32  |
| 0.9682   | 0.0012     | -0.05      | 1.0003     | 1.2952     | 2.03         | 24.66  |
| $\sigma$ | 0.0005     | 0.19       |            |            | 1.78         |        |

4.6.8.- *Resultados experimentales del sistema m-Xileno(1)+  
Metil-ciclohexano(2) 75°C.*

Tabla 4.38

MEZCLAS DE COMPOSICION CONOCIDA A 30,0°C DEL SISTEMA  
m-XILENO(1) + METIL-CICLOHEXANO(2)

| Nº | x <sub>1</sub> | x <sub>2</sub> | n       | n <sup>E</sup> | n <sub>exp</sub> - n <sub>cal</sub> |
|----|----------------|----------------|---------|----------------|-------------------------------------|
|    | 0,0000         | 1,0000         | 1,41800 |                | 0,00005                             |
| 1  | 0,0592         | 0,9408         | 1,42170 | -0,00068       | -0,00003                            |
| 2  | 0,1088         | 0,8912         | 1,42492 | -0,00114       | -0,00005                            |
| 3  | 0,1636         | 0,8364         | 1,42861 | -0,00150       | -0,00001                            |
| 4  | 0,2224         | 0,7776         | 1,43260 | -0,00187       | -0,00002                            |
| 5  | 0,2671         | 0,7329         | 1,43573 | -0,00205       | 0,00002                             |
| 6  | 0,3122         | 0,6878         | 1,43891 | -0,00221       | 0,00002                             |
| 7  | 0,3628         | 0,6372         | 1,44252 | -0,00234       | 0,00002                             |
| 8  | 0,4050         | 0,5959         | 1,44556 | -0,00243       | 0,00001                             |
| 9  | 0,4704         | 0,5296         | 1,45038 | -0,00245       | 0,00002                             |
| 10 | 0,5202         | 0,4798         | 1,45409 | -0,00243       | 0,00001                             |
| 11 | 0,5666         | 0,3355         | 1,46510 | -0,00235       | 0,00002                             |
| 12 | 0,6281         | 0,3719         | 1,46230 | -0,00220       | 0,00001                             |
| 13 | 0,6645         | 0,3355         | 1,46510 | -0,00210       | -0,00001                            |
| 14 | 0,7194         | 0,2806         | 1,46938 | -0,00188       | -0,00002                            |
| 15 | 0,7663         | 0,2337         | 1,47309 | -0,00165       | -0,00002                            |
| 16 | 0,8162         | 0,1838         | 1,47708 | -0,00135       | -0,00000                            |
| 17 | 0,8813         | 0,1187         | 1,48232 | -0,00093       | -0,00001                            |
| 18 | 0,9037         | 0,0963         | 1,48415 | -0,00076       | 0,00001                             |
| 19 | 0,9440         | 0,0560         | 1,48744 | -0,00045       | 0,00001                             |
|    | 1,0000         | 0,0000         | 1,49204 |                | 0,00001                             |

VALORES CALCULADOS DEL AJUSTE

COEFICIENTES

$$\begin{aligned}
 A_0 &= 1,41795 & A_0 &= -0,00972 \\
 A_1 &= 0,06305 & A_1 &= 0,00101 \\
 A_2 &= 0,01370 & A_2 &= -0,00084 \\
 A_3 &= -0,00267 & A_3 &= 0,00134 \\
 \sigma &= 0,00002 & \sigma &= 0,00001
 \end{aligned}$$

| x <sub>1</sub> | n       | n <sup>E</sup> |
|----------------|---------|----------------|
| 0,00           | 1,41795 |                |
| 0,10           | 1,42439 | -0,00106       |
| 0,20           | 1,43108 | -0,00175       |
| 0,30           | 1,43802 | -0,00217       |
| 0,40           | 1,44519 | -0,00239       |
| 0,50           | 1,45256 | -0,00243       |
| 0,60           | 1,46013 | -0,00229       |
| 0,70           | 1,46788 | -0,00197       |
| 0,80           | 1,47579 | -0,00146       |
| 0,90           | 1,48384 | -0,00079       |
| 1,00           | 1,49203 |                |

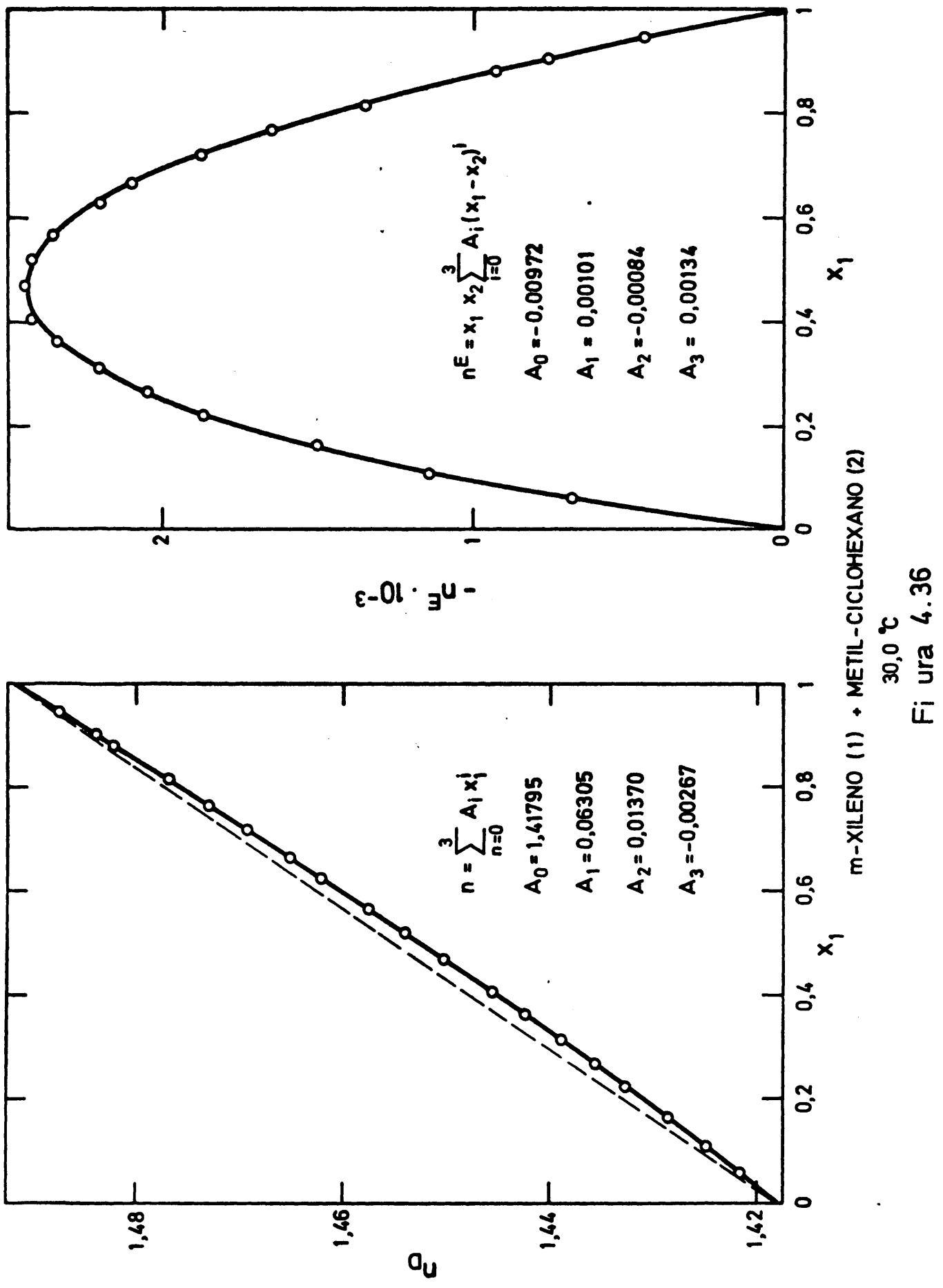


Tabla 4.39

SISTEMA

m-XILENO(1) + METIL-CICLOHEXANO(2)

PRESIONES DE VAPOR (hPa)

TEMPERATURA = 75.0 C

| X <sub>1</sub> | Y <sub>1</sub> | P <sub>0</sub> | P <sub>1</sub> | P <sub>2</sub> |
|----------------|----------------|----------------|----------------|----------------|
| 0.0584         | 0.0208         | 440.35         | 9.18           | 431.17         |
| 0.1074         | 0.0387         | 425.64         | 16.47          | 409.18         |
| 0.1536         | 0.0561         | 412.13         | 23.12          | 389.01         |
| 0.1933         | 0.0712         | 400.54         | 28.53          | 372.01         |
| 0.2320         | 0.0869         | 388.49         | 33.76          | 354.73         |
| 0.2592         | 0.0980         | 380.66         | 37.32          | 343.35         |
| 0.2995         | 0.1150         | 368.49         | 42.39          | 326.10         |
| 0.3204         | 0.1242         | 362.21         | 45.00          | 317.21         |
| 0.3459         | 0.1357         | 354.54         | 48.10          | 306.44         |
| 0.3661         | 0.1453         | 348.42         | 50.61          | 297.81         |
| 0.4063         | 0.1643         | 336.35         | 55.28          | 281.07         |
| 0.4403         | 0.1825         | 325.65         | 59.45          | 266.21         |
| 0.4693         | 0.1987         | 316.45         | 62.89          | 253.56         |
| 0.4954         | 0.2141         | 307.96         | 65.93          | 242.03         |
| 0.5389         | 0.2423         | 293.75         | 71.16          | 222.59         |
| 0.5702         | 0.2626         | 283.99         | 74.56          | 209.43         |
| 0.5858         | 0.2740         | 278.95         | 76.44          | 202.52         |
| 0.6091         | 0.2914         | 271.14         | 79.01          | 192.13         |
| 0.6375         | 0.3139         | 261.80         | 82.18          | 179.62         |
| 0.6718         | 0.3443         | 250.02         | 86.07          | 163.95         |
| 0.7117         | 0.3841         | 236.17         | 90.72          | 145.45         |
| 0.7550         | 0.4345         | 220.40         | 95.75          | 124.64         |
| 0.8074         | 0.5043         | 201.62         | 101.68         | 99.94          |
| 0.8446         | 0.6014         | 180.03         | 108.26         | 71.77          |
| 0.9023         | 0.6815         | 165.24         | 112.62         | 52.62          |
| 0.9359         | 0.7680         | 151.75         | 116.53         | 35.21          |

m-XILENO (1) + METIL-CICLOHEXANO (2)

75,0 °C

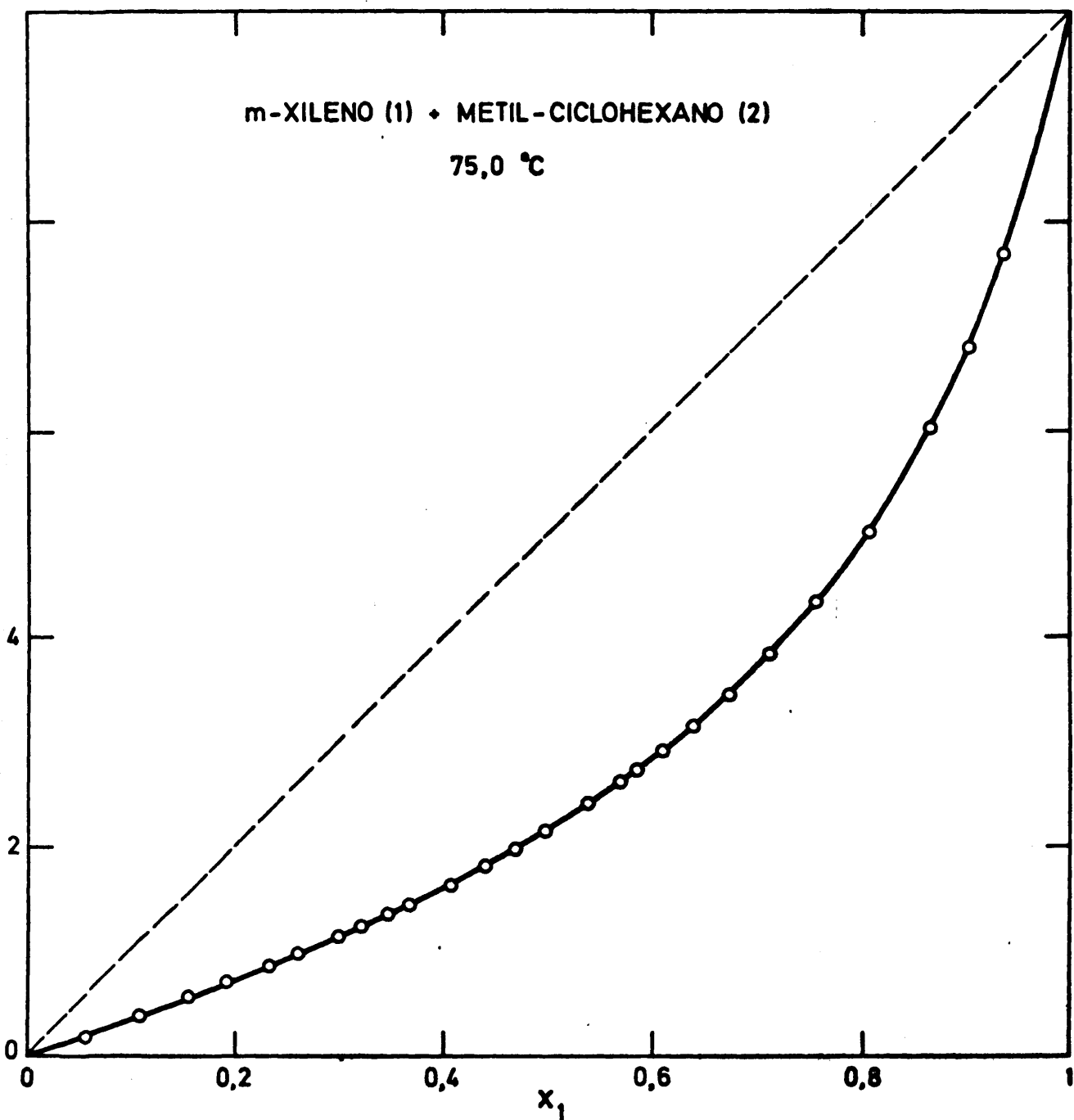


Figura 4.37

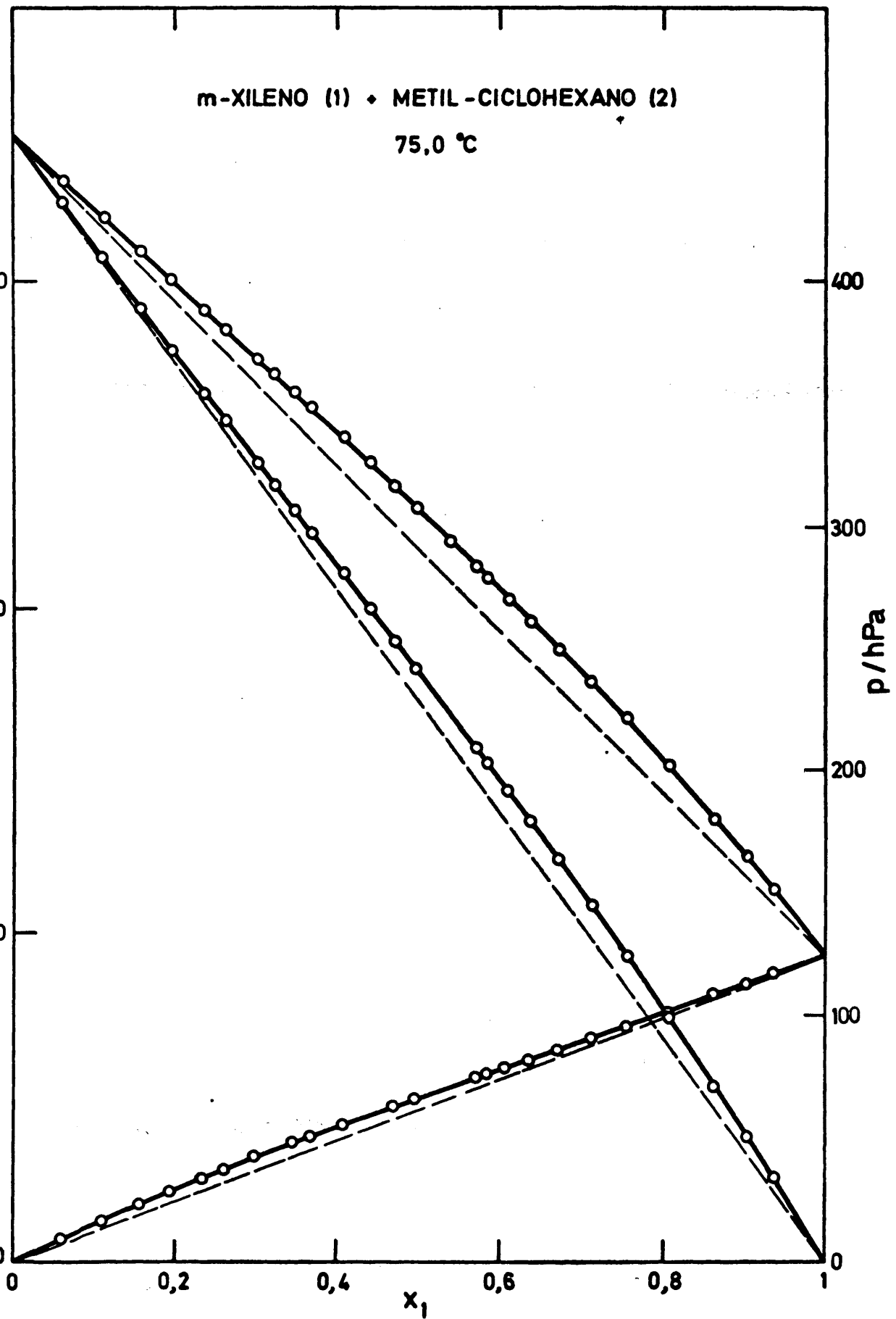


Figura 4.38

- 139 -  
Tabla 4.40

## SISTEMA

m-XILENO(1) + METIL-CICLOHEXANO(2)

TEMPERATURA = 75.0 C

$$\begin{array}{ll} V_1 = 130.159 & \bar{S}_{11} = -2768.0 \\ V_2 = 136.234 & \bar{S}_{22} = -1463.8 \\ & \bar{S}_{12} = -2047.1 \end{array}$$

VALORES EXPERIMENTALES ( $J \cdot mol^{-1}$ )

| $x_1$  | $y_1$  | P      | $\mu_1^E$ | $\mu_2^E$ | $\mu_1^E - \mu_2^E$ | $G^E$  |
|--------|--------|--------|-----------|-----------|---------------------|--------|
| 0.0000 |        | 457.28 |           |           |                     |        |
| 0.0564 | 0.0208 | 440.35 | 592.16    | 6.83      | 585.32              | 41.02  |
| 0.1074 | 0.0387 | 425.64 | 531.41    | 12.16     | 519.25              | 67.93  |
| 0.1536 | 0.0561 | 412.13 | 480.64    | 21.88     | 458.76              | 92.34  |
| 0.1933 | 0.0712 | 400.54 | 425.67    | 33.58     | 392.10              | 109.37 |
| 0.2320 | 0.0869 | 388.49 | 388.98    | 40.03     | 348.95              | 120.99 |
| 0.2592 | 0.0980 | 380.66 | 359.21    | 51.36     | 307.84              | 131.16 |
| 0.2995 | 0.1150 | 368.49 | 313.10    | 66.09     | 247.01              | 140.07 |
| 0.3204 | 0.1242 | 362.21 | 292.53    | 74.78     | 217.75              | 144.55 |
| 0.3459 | 0.1357 | 354.54 | 267.32    | 86.54     | 180.74              | 149.07 |
| 0.3661 | 0.1453 | 348.42 | 252.12    | 95.60     | 156.52              | 152.50 |
| 0.4063 | 0.1643 | 336.35 | 207.38    | 120.00    | 87.38               | 155.50 |
| 0.4403 | 0.1825 | 325.65 | 188.20    | 135.18    | 53.02               | 158.53 |
| 0.4693 | 0.1987 | 316.45 | 169.27    | 149.80    | 19.47               | 158.94 |
| 0.4954 | 0.2141 | 307.96 | 152.22    | 162.24    | -10.02              | 157.28 |
| 0.5389 | 0.2423 | 293.75 | 133.82    | 182.97    | -49.15              | 156.48 |
| 0.5702 | 0.2626 | 283.99 | 108.12    | 211.62    | -103.51             | 152.60 |
| 0.5858 | 0.2740 | 278.95 | 102.53    | 222.54    | -120.01             | 152.24 |
| 0.6091 | 0.2914 | 271.14 | 87.73     | 238.96    | -151.23             | 146.85 |
| 0.6375 | 0.3139 | 261.80 | 72.26     | 264.03    | -191.77             | 141.77 |
| 0.6718 | 0.3443 | 250.02 | 58.01     | 289.18    | -231.17             | 133.88 |
| 0.7117 | 0.3841 | 236.17 | 46.42     | 320.42    | -274.00             | 125.41 |
| 0.7550 | 0.4345 | 220.40 | 36.59     | 346.92    | -310.33             | 112.62 |
| 0.8074 | 0.5043 | 201.62 | 21.05     | 407.60    | -386.55             | 95.50  |
| 0.8646 | 0.6014 | 180.03 | 10.63     | 472.21    | -461.58             | 73.13  |
| 0.9023 | 0.6815 | 165.24 | 5.07      | 521.90    | -516.83             | 55.57  |
| 0.9359 | 0.7680 | 151.75 | 2.36      | 580.37    | -578.00             | 39.41  |
| 1.0000 |        | 124.08 |           |           |                     |        |

Tabla 4.41

SISTEMA

m-XILENO(1) + METIL-CICLOHEXANO(2)

TEMPERATURA = 75.0 C

AJUSTE POR MINIMOS CUADRADOS DE DATOS EXPERIMENTALES DE GE

| COEF           | GRADO DEL POLINOMIO |        |        |        |        |
|----------------|---------------------|--------|--------|--------|--------|
|                | UNO                 | DOS    | TRES   | CUATRO | CINCO  |
| A <sub>0</sub> | 648.64              | 629.52 | 629.32 | 633.25 | 633.27 |
| A <sub>1</sub> | -59.91              | -60.54 | -79.26 | -81.45 | -77.70 |
| A <sub>2</sub> |                     | 78.43  | 78.16  | 25.43  | 24.79  |
| A <sub>3</sub> |                     |        | 38.21  | 41.62  | 18.56  |
| A <sub>4</sub> |                     |        |        | 74.52  | 75.59  |
| A <sub>5</sub> |                     |        |        |        | 25.70  |
| $\sigma$       | 2.93                | 1.12   | 0.88   | 0.71   | 0.70   |

VALORES CALCULADOS DEL AJUSTE

| X1   | GRADO DEL POLINOMIO |        |        |        |        |
|------|---------------------|--------|--------|--------|--------|
|      | UNO                 | DOS    | TRES   | CUATRO | CINCO  |
| 0.05 | 33.37               | 35.51  | 34.97  | 35.42  | 35.35  |
| 0.10 | 62.69               | 65.53  | 65.09  | 65.15  | 65.19  |
| 0.15 | 88.05               | 90.57  | 90.52  | 90.06  | 90.18  |
| 0.20 | 109.53              | 111.05 | 111.48 | 110.71 | 110.82 |
| 0.25 | 127.24              | 127.39 | 128.20 | 127.46 | 127.48 |
| 0.30 | 141.25              | 139.92 | 140.93 | 140.52 | 140.45 |
| 0.35 | 151.65              | 148.95 | 149.95 | 150.02 | 149.89 |
| 0.40 | 158.55              | 154.74 | 155.52 | 156.08 | 155.94 |
| 0.45 | 162.02              | 157.50 | 157.90 | 158.80 | 158.72 |
| 0.50 | 162.16              | 157.38 | 157.33 | 158.31 | 158.32 |
| 0.55 | 159.06              | 154.50 | 154.00 | 154.79 | 154.88 |
| 0.60 | 152.80              | 148.93 | 148.06 | 148.42 | 148.56 |
| 0.65 | 143.48              | 140.69 | 139.60 | 139.42 | 139.54 |
| 0.70 | 131.18              | 129.75 | 128.64 | 127.95 | 128.00 |
| 0.75 | 116.00              | 116.04 | 115.13 | 114.14 | 114.09 |
| 0.80 | 98.03               | 99.43  | 98.90  | 97.95  | 97.82  |
| 0.85 | 77.35               | 79.76  | 79.72  | 79.16  | 79.03  |
| 0.90 | 54.06               | 56.82  | 57.19  | 57.26  | 57.23  |
| 0.95 | 28.25               | 30.33  | 30.83  | 31.34  | 31.43  |

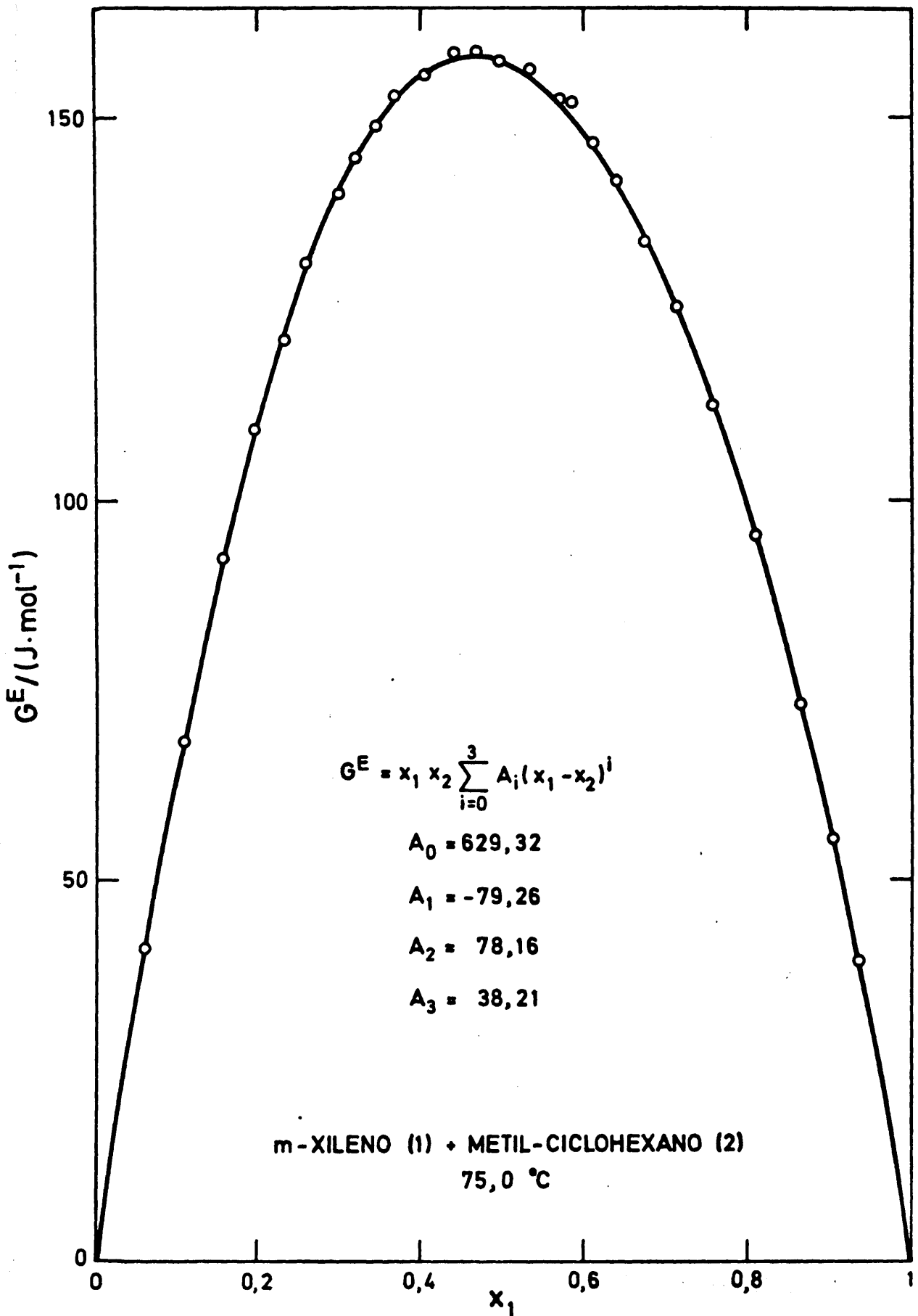


Figura 4.39

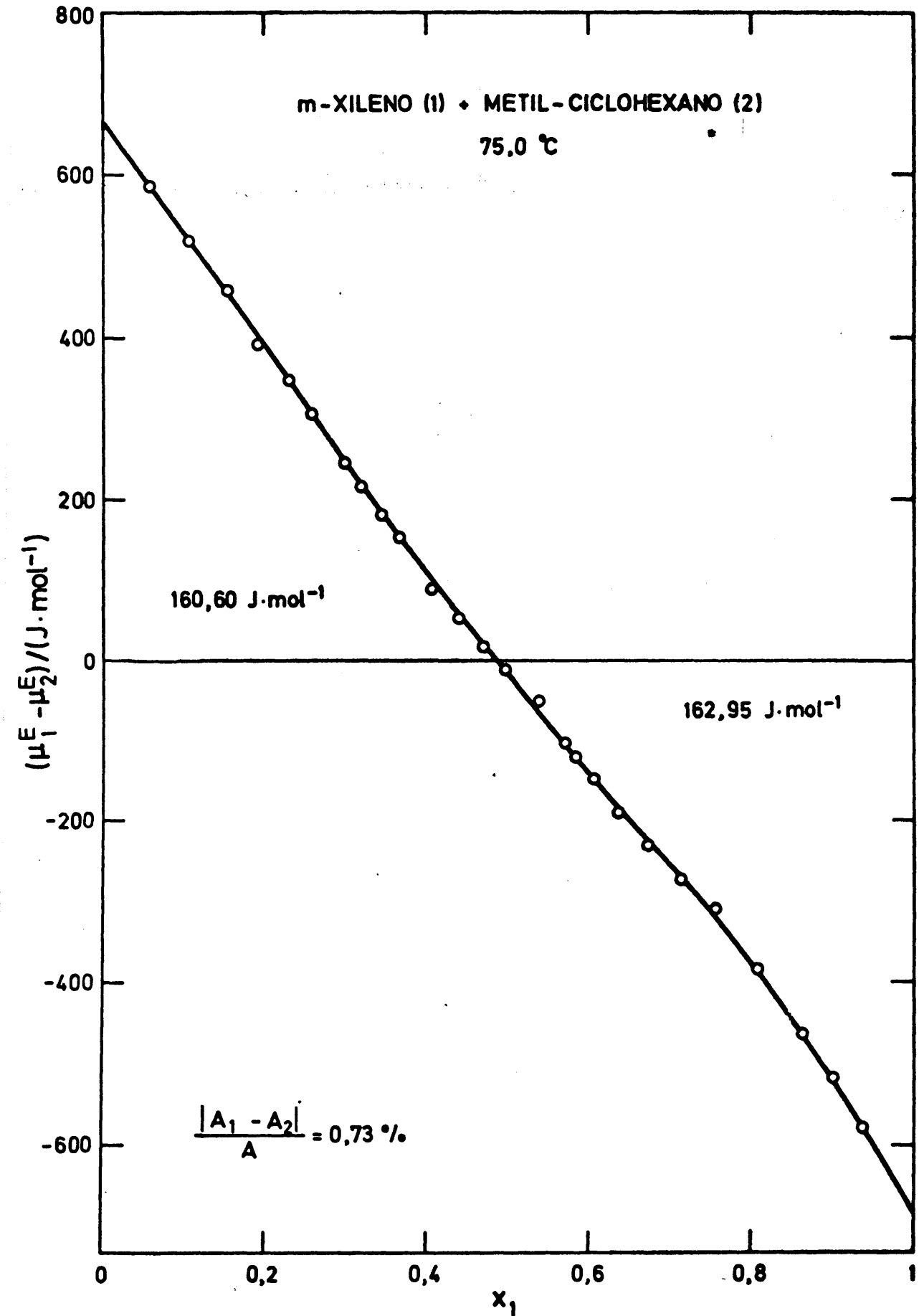


Figura 4.40

Tabla 4.42

CALCULO DE  $G^E$  POR EL METODO DE BARKER

POLINOMIO DE GRADO = 3

COEFICIENTES

$$\begin{aligned} A_1 &= 633.12 \\ A_2 &= -31.77 \\ A_3 &= 62.99 \\ A_4 &= -9.16 \end{aligned}$$

| $x_1$    | $\Delta Y$ | $\Delta P$ | $\gamma_1$ | $\gamma_2$ | $\Delta G^E$ | $G^E$  |
|----------|------------|------------|------------|------------|--------------|--------|
| 0.0584   | -0.0002    | 0.41       | 1.2383     | 1.0012     | 1.61         | 39.41  |
| 0.1074   | -0.0000    | 0.13       | 1.2025     | 1.0039     | 0.70         | 67.23  |
| 0.1536   | 0.0003     | 0.18       | 1.1739     | 1.0075     | 2.84         | 89.50  |
| 0.1933   | 0.0003     | 0.27       | 1.1528     | 1.0113     | 3.58         | 105.79 |
| 0.2320   | 0.0008     | -0.33      | 1.1347     | 1.0156     | 1.67         | 119.32 |
| 0.2592   | 0.0008     | -0.08      | 1.1232     | 1.0190     | 3.65         | 127.51 |
| 0.2995   | 0.0007     | -0.18      | 1.1079     | 1.0244     | 2.32         | 137.75 |
| 0.3204   | 0.0007     | -0.16      | 1.1007     | 1.0274     | 2.34         | 142.21 |
| 0.3459   | 0.0006     | -0.09      | 1.0925     | 1.0313     | 2.20         | 146.88 |
| 0.3661   | 0.0006     | -0.05      | 1.0864     | 1.0345     | 2.91         | 149.99 |
| 0.4063   | -0.0003    | 0.25       | 1.0752     | 1.0412     | 0.80         | 154.71 |
| 0.4403   | 0.0000     | 0.15       | 1.0667     | 1.0474     | 1.35         | 157.18 |
| 0.4693   | 0.0000     | 0.07       | 1.0599     | 1.0529     | 0.71         | 158.23 |
| 0.4954   | 0.0000     | -0.13      | 1.0543     | 1.0582     | -1.06        | 158.34 |
| 0.5385   | 0.0007     | -0.36      | 1.0456     | 1.0676     | -0.32        | 156.80 |
| 0.5702   | -0.0005    | 0.06       | 1.0399     | 1.0748     | -1.76        | 154.37 |
| 0.5858   | -0.0005    | 0.15       | 1.0372     | 1.0787     | -0.50        | 152.74 |
| 0.6091   | -0.0008    | 0.06       | 1.0334     | 1.0846     | -2.94        | 149.79 |
| 0.6375   | -0.0014    | 0.24       | 1.0290     | 1.0922     | -3.57        | 145.35 |
| 0.6718   | -0.0015    | 0.10       | 1.0241     | 1.1022     | -4.87        | 138.74 |
| 0.7117   | -0.0011    | 0.05       | 1.0190     | 1.1147     | -3.91        | 129.32 |
| 0.7550   | 0.0002     | -0.39      | 1.0140     | 1.1298     | -4.30        | 116.92 |
| 0.8074   | -0.0006    | -0.08      | 1.0089     | 1.1503     | -3.29        | 98.79  |
| 0.8646   | -0.0005    | -0.02      | 1.0046     | 1.1760     | -1.78        | 74.91  |
| 0.9023   | -0.0006    | 0.04       | 1.0024     | 1.1951     | -1.17        | 56.73  |
| 0.9359   | -0.0013    | 0.21       | 1.0011     | 1.2137     | 0.58         | 38.83  |
| $\sigma$ | 0.0007     | 0.20       |            |            | 2.53         |        |

4.6.9.- *Resultados experimentales del sistema p-Xileno(1)+  
Metil-ciclohexano(2) 75°C.*

Tabla 4.43

MEZCLAS DE COMPOSICION CONOCIDA A 30,0°C DEL SISTEMA  
p-XILENO(1) + METIL-CICLOHEXANO(2)

| Nº | $x_1$  | $x_2$  | n       | $n^E$    | $n_{exp} - n_{cal}$ |
|----|--------|--------|---------|----------|---------------------|
|    | 0,0000 | 1,0000 | 1,41800 |          | 0,00008             |
| 1  | 0,0544 | 0,9456 | 1,42126 | -0,00069 | -0,00005            |
| 2  | 0,0695 | 0,9305 | 1,42222 | -0,00082 | -0,00004            |
| 3  | 0,1716 | 0,8284 | 1,42884 | -0,00161 | -0,00003            |
| 4  | 0,2135 | 0,7865 | 1,43164 | -0,00185 | -0,00001            |
| 5  | 0,2635 | 0,7365 | 1,43504 | -0,00208 | 0,00001             |
| 6  | 0,3094 | 0,6906 | 1,43820 | -0,00225 | 0,00002             |
| 7  | 0,3631 | 0,6369 | 1,44159 | -0,00240 | 0,00002             |
| 8  | 0,4144 | 0,5856 | 1,44559 | -0,00248 | 0,00002             |
| 9  | 0,4692 | 0,5308 | 1,44952 | -0,00253 | 0,00001             |
| 10 | 0,5200 | 0,4800 | 1,45324 | -0,00249 | 0,00002             |
| 11 | 0,5720 | 0,4280 | 1,45709 | -0,00241 | 0,00001             |
| 12 | 0,6313 | 0,3687 | 1,46153 | -0,00228 | -0,00000            |
| 13 | 0,6611 | 0,3389 | 1,46379 | -0,00218 | -0,00001            |
| 14 | 0,7141 | 0,2859 | 1,46785 | -0,00196 | -0,00001            |
| 15 | 0,7742 | 0,2258 | 1,47252 | -0,00166 | -0,00001            |
| 16 | 0,8142 | 0,1858 | 1,47565 | -0,00143 | -0,00002            |
| 17 | 0,8631 | 0,1369 | 1,47953 | -0,00110 | -0,00001            |
| 18 | 0,8982 | 0,1018 | 1,48236 | -0,00081 | 0,00002             |
| 19 | 0,9464 | 0,0536 | 1,48626 | -0,00041 | 0,00004             |
|    | 1,0000 | 0,0000 | 1,49056 |          | -0,00001            |

VALORES CALCULADOS DEL AJUSTE

COEFICIENTES

$$\begin{aligned}
 A_0 &= 1,41792 & A_0 &= -0,00999 \\
 A_1 &= 0,06160 & A_1 &= 0,00049 \\
 A_2 &= 0,01325 & A_2 &= -0,00091 \\
 A_3 &= -0,00220 & A_3 &= 0,00278 \\
 \sigma &= 0,00003 & \sigma &= 0,00002
 \end{aligned}$$

| $x_1$ | n       | $n^E$    |
|-------|---------|----------|
| 0,00  | 1,41792 |          |
| 0,10  | 1,42421 | -0,00112 |
| 0,20  | 1,43075 | -0,00179 |
| 0,30  | 1,43753 | -0,00221 |
| 0,40  | 1,44454 | -0,00244 |
| 0,50  | 1,45176 | -0,00250 |
| 0,60  | 1,45917 | -0,00238 |
| 0,70  | 1,46678 | -0,00205 |
| 0,80  | 1,47455 | -0,00151 |
| 0,90  | 1,48249 | -0,00079 |
| 1,00  | 1,49057 |          |

1,48

1,46

$\sigma$

$$\eta = \sum_{i=0}^3 A_i x_i^i$$

$$A_0 = 1,41792$$

$$A_1 = 0,06160$$

$$A_2 = 0,01325$$

$$A_3 = -0,00220$$

1,42



Figura 4.41

$p$ -XILENO (1) + METIL - CICLOHEXANO (2)

$30,0\text{ }^\circ\text{C}$

$$\eta_E = x_1 x_2 \sum_{i=0}^3 A_i (x_1 - x_2)^i$$

$$A_0 = -0,00999$$

$$A_1 = 0,00049$$

$$A_2 = -0,00091$$

$$A_3 = 0,00278$$

Tabla 4.44

SISTEMA

p-XILENO(1) + METIL-CICLOHEXANO(2)

PRESIONES DE VAPOR (hPa)

TEMPERATURA = 75.0 C

| X <sub>1</sub> | Y <sub>1</sub> | P      | P <sub>1</sub> | P <sub>2</sub> |
|----------------|----------------|--------|----------------|----------------|
| 0.0586         | 0.0371         | 429.22 | 15.91          | 413.31         |
| 0.1347         | 0.0511         | 418.74 | 21.39          | 397.35         |
| 0.2161         | 0.0825         | 395.42 | 32.62          | 362.80         |
| 0.2876         | 0.1123         | 374.68 | 42.07          | 332.61         |
| 0.3447         | 0.1388         | 357.28 | 49.60          | 307.68         |
| 0.3885         | 0.1604         | 344.10 | 55.18          | 288.92         |
| 0.4304         | 0.1827         | 331.27 | 60.51          | 270.76         |
| 0.4612         | 0.2000         | 321.71 | 64.33          | 257.37         |
| 0.4949         | 0.2203         | 311.07 | 68.53          | 242.54         |
| 0.5183         | 0.2352         | 303.64 | 71.40          | 232.24         |
| 0.5523         | 0.2569         | 293.26 | 75.33          | 217.93         |
| 0.5908         | 0.2845         | 280.91 | 79.93          | 200.98         |
| 0.6330         | 0.3185         | 267.07 | 85.05          | 182.02         |
| 0.6679         | 0.3494         | 255.30 | 89.21          | 166.08         |
| 0.6950         | 0.3755         | 246.15 | 92.42          | 153.73         |
| 0.7266         | 0.4093         | 235.01 | 96.19          | 138.82         |
| 0.7620         | 0.4498         | 222.58 | 100.13         | 122.46         |
| 0.7928         | 0.4921         | 211.18 | 103.92         | 107.26         |
| 0.8182         | 0.5297         | 201.80 | 106.89         | 94.90          |
| 0.8409         | 0.5669         | 193.29 | 109.58         | 83.71          |
| 0.8696         | 0.6185         | 182.26 | 112.74         | 69.53          |
| 0.8970         | 0.6763         | 171.53 | 116.01         | 55.52          |
| 0.9295         | 0.7561         | 158.64 | 119.95         | 38.69          |
| 0.9643         | 0.8613         | 144.07 | 124.09         | 19.98          |

p-XILENO (1) + METIL-CICLOHEXANO (2)

75,0 °C

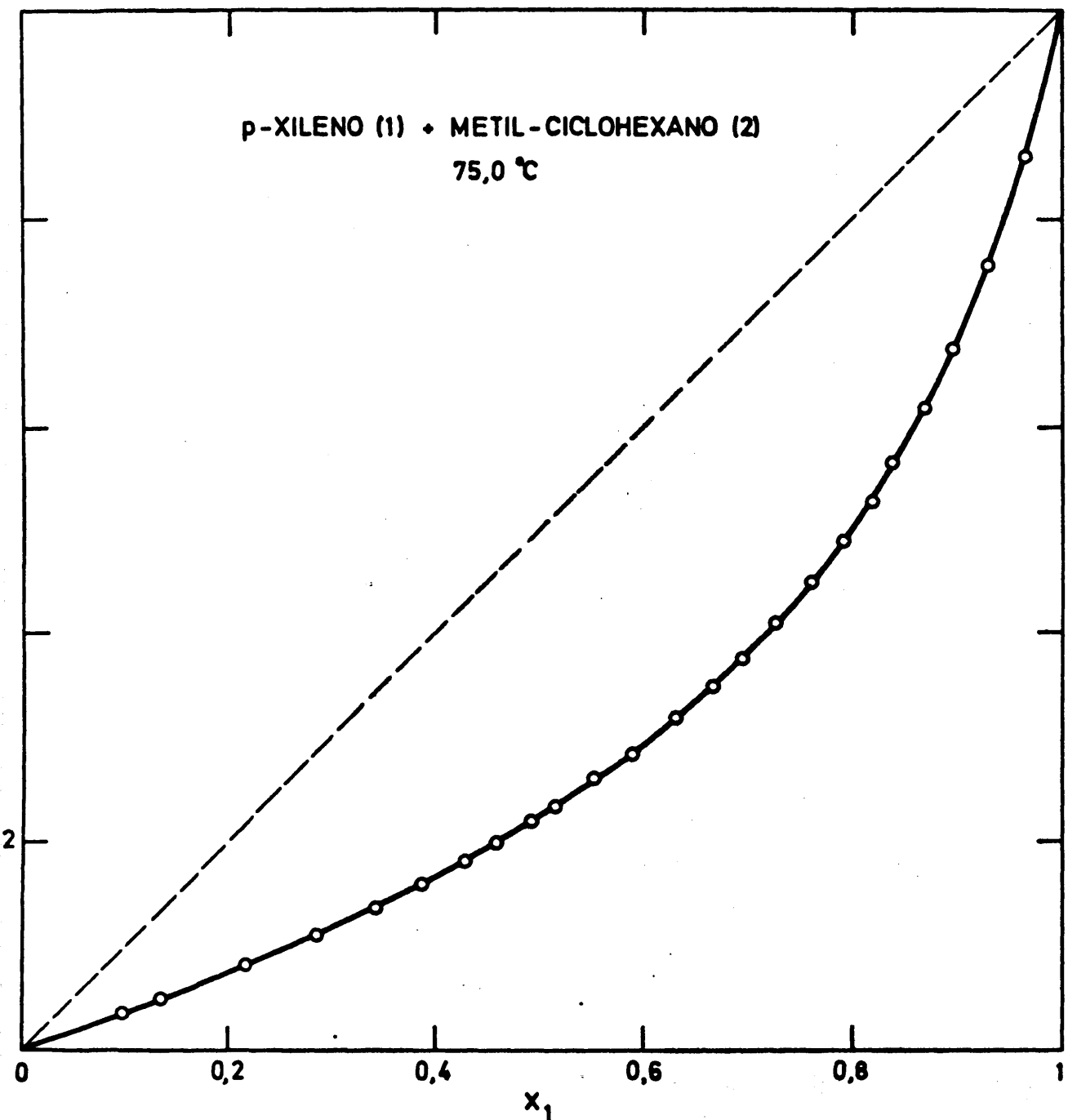


Figura 4.42

p-XILENO (1) + METIL-CICLOHEXANO (2)

75,0 °C

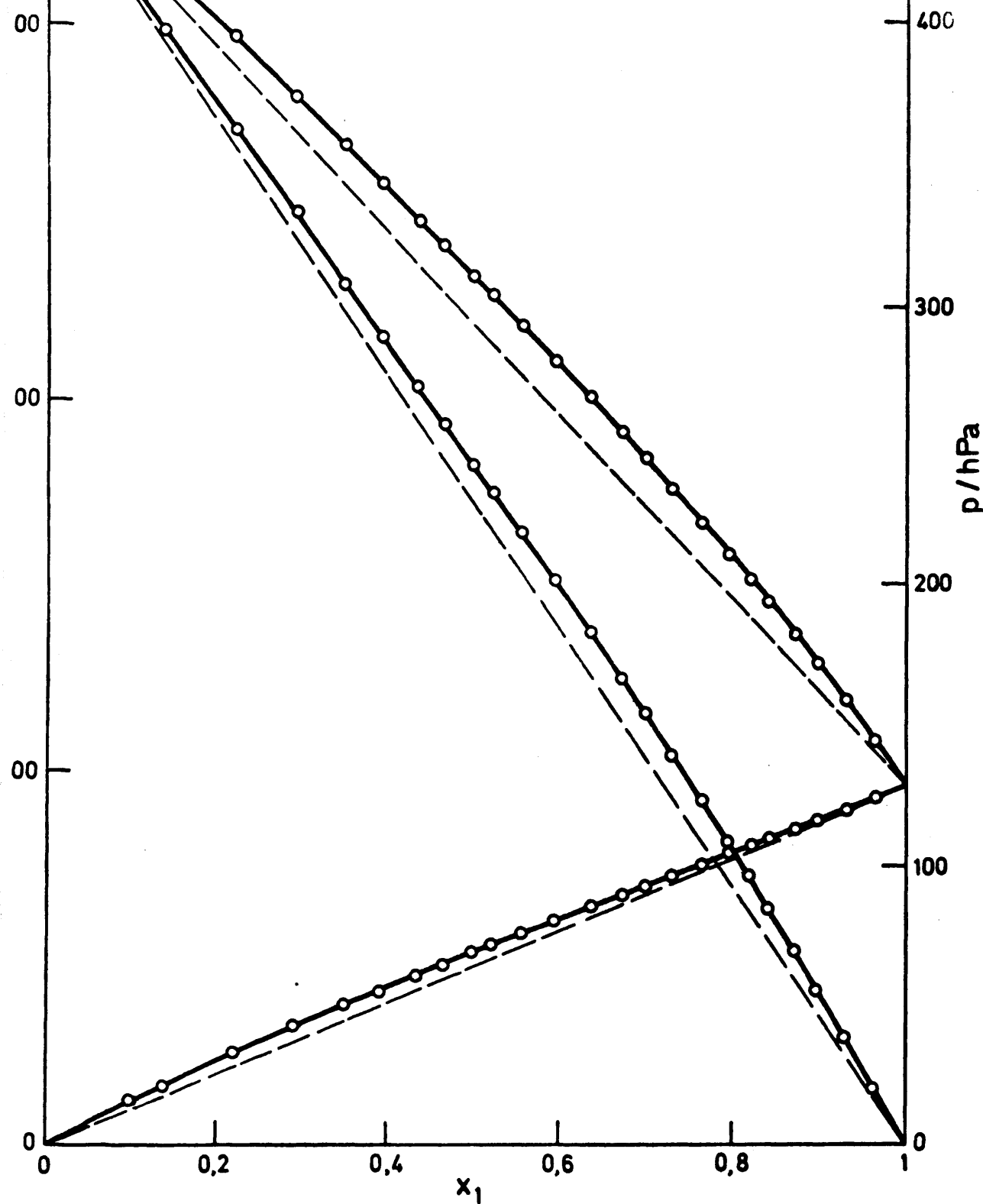


Figura 4.43

Tabla 4.45

SISTEMA

$\rho$ -XILENO(1) + METIL-CICLOHEXANO(2)

TEMPERATURA = 75.0 C

$$\begin{array}{ll} V_1 = 130.793 & \delta_{11} = -2704.0 \\ V_2 = 136.234 & \delta_{22} = -1463.8 \\ & \delta_{12} = -2020.9 \end{array}$$

VALORES EXPERIMENTALES ( $J \cdot mol^{-1}$ )

| $x_1$  | $y_1$  | P      | $\mu_1^E$ | $\mu_2^E$ | $\mu_1^E - \mu_2^E$ | $G^E$  |
|--------|--------|--------|-----------|-----------|---------------------|--------|
| 0.0000 |        | 457.28 |           |           |                     |        |
| 0.0986 | 0.0371 | 429.22 | 576.70    | 12.21     | 564.50              | 67.87  |
| 0.1347 | 0.0511 | 418.74 | 531.57    | 18.26     | 513.31              | 87.40  |
| 0.2162 | 0.0825 | 395.42 | 388.75    | 45.09     | 343.60              | 119.39 |
| 0.2877 | 0.1123 | 374.68 | 303.77    | 73.75     | 230.02              | 199.92 |
| 0.3448 | 0.1388 | 357.28 | 259.89    | 93.07     | 166.82              | 150.59 |
| 0.3886 | 0.1604 | 344.10 | 227.12    | 113.20    | 113.91              | 157.47 |
| 0.4305 | 0.1827 | 331.27 | 200.83    | 132.79    | 68.04               | 162.08 |
| 0.4612 | 0.2000 | 321.71 | 181.08    | 148.06    | 33.02               | 163.29 |
| 0.4949 | 0.2203 | 311.07 | 162.23    | 165.00    | -2.77               | 163.63 |
| 0.5183 | 0.2352 | 303.64 | 149.97    | 177.72    | -27.76              | 163.34 |
| 0.5523 | 0.2569 | 293.26 | 123.51    | 207.23    | -83.72              | 160.99 |
| 0.5908 | 0.2845 | 280.91 | 102.61    | 235.47    | -132.86             | 156.98 |
| 0.6329 | 0.3185 | 267.07 | 87.58     | 264.85    | -177.27             | 152.65 |
| 0.6679 | 0.3494 | 255.30 | 72.44     | 292.01    | -219.57             | 145.36 |
| 0.6949 | 0.3755 | 246.15 | 63.10     | 314.85    | -251.75             | 139.91 |
| 0.7266 | 0.4093 | 235.01 | 52.33     | 339.05    | -286.72             | 130.72 |
| 0.7620 | 0.4498 | 222.58 | 33.84     | 379.65    | -345.81             | 116.15 |
| 0.7928 | 0.4921 | 211.18 | 30.21     | 398.97    | -368.70             | 106.61 |
| 0.8182 | 0.5297 | 201.80 | 22.99     | 424.85    | -401.86             | 96.05  |
| 0.8408 | 0.5669 | 193.29 | 18.23     | 447.35    | -429.11             | 86.55  |
| 0.8695 | 0.6185 | 182.26 | 6.23      | 487.40    | -481.17             | 69.02  |
| 0.8970 | 0.6763 | 171.53 | 1.97      | 522.98    | -521.01             | 55.63  |
| 0.9295 | 0.7561 | 158.64 | -0.81     | 577.07    | -577.89             | 39.93  |
| 0.9643 | 0.8613 | 144.07 | -4.98     | 636.52    | -641.50             | 17.92  |
| 1.0000 |        | 128.71 |           |           |                     |        |

Tabla 4.46

SISTEMA

P-XILENO(1) + METIL-CICLOHEXANO(2)

TEMPERATURA = 75.0 C

AJUSTE POR MINIMOS CUADRATICOS DE DATOS EXPERIMENTALES DE G<sup>E</sup>

| COEF           | GRADO DEL POLINOMIO |        |         |         |         |
|----------------|---------------------|--------|---------|---------|---------|
|                | UNO                 | DOS    | TRES    | CUATRO  | CINCO   |
| A <sub>0</sub> | 668.24              | 666.68 | 657.89  | 651.64  | 653.54  |
| A <sub>1</sub> | -77.55              | -78.69 | 15.07   | -4.46   | -24.59  |
| A <sub>2</sub> |                     | 6.32   | 44.08   | 137.00  | 101.19  |
| A <sub>3</sub> |                     |        | -193.92 | -150.00 | -18.20  |
| A <sub>4</sub> |                     |        |         | -140.25 | -78.79  |
| A <sub>5</sub> |                     |        |         |         | -158.65 |
| $\sigma$       | 3.44                | 3.37   | 1.34    | 1.02    | 0.93    |

VALORES CALCULADOS DEL AJUSTE

| X <sub>1</sub> | GRADO DEL POLINOMIO |        |        |        |        |
|----------------|---------------------|--------|--------|--------|--------|
|                | UNO                 | DOS    | TRES   | CUATRO | CINCO  |
| 0.05           | 35.06               | 35.27  | 39.02  | 37.24  | 38.61  |
| 0.10           | 65.73               | 66.03  | 69.60  | 68.60  | 69.03  |
| 0.15           | 92.12               | 92.42  | 93.77  | 94.31  | 93.63  |
| 0.20           | 114.36              | 114.59 | 113.06 | 114.86 | 113.72 |
| 0.25           | 132.57              | 132.68 | 128.55 | 130.89 | 130.02 |
| 0.30           | 146.84              | 146.83 | 140.98 | 143.08 | 142.87 |
| 0.35           | 157.32              | 157.17 | 150.74 | 152.02 | 152.48 |
| 0.40           | 164.10              | 163.64 | 157.97 | 158.16 | 159.02 |
| 0.45           | 167.31              | 166.97 | 162.61 | 161.76 | 162.61 |
| 0.50           | 167.06              | 166.67 | 164.47 | 162.91 | 163.39 |
| 0.55           | 163.47              | 163.07 | 163.26 | 161.47 | 161.39 |
| 0.60           | 156.66              | 156.29 | 158.67 | 157.15 | 156.56 |
| 0.65           | 146.73              | 146.43 | 150.41 | 149.57 | 148.73 |
| 0.70           | 133.82              | 133.60 | 138.30 | 138.30 | 137.57 |
| 0.75           | 118.03              | 117.92 | 122.29 | 123.03 | 122.70 |
| 0.80           | 99.47               | 99.48  | 102.55 | 103.63 | 103.80 |
| 0.85           | 78.28               | 78.37  | 79.50  | 80.39  | 80.85  |
| 0.90           | 54.56               | 54.70  | 53.90  | 54.14  | 54.45  |
| 0.95           | 28.43               | 28.55  | 26.88  | 26.47  | 26.35  |

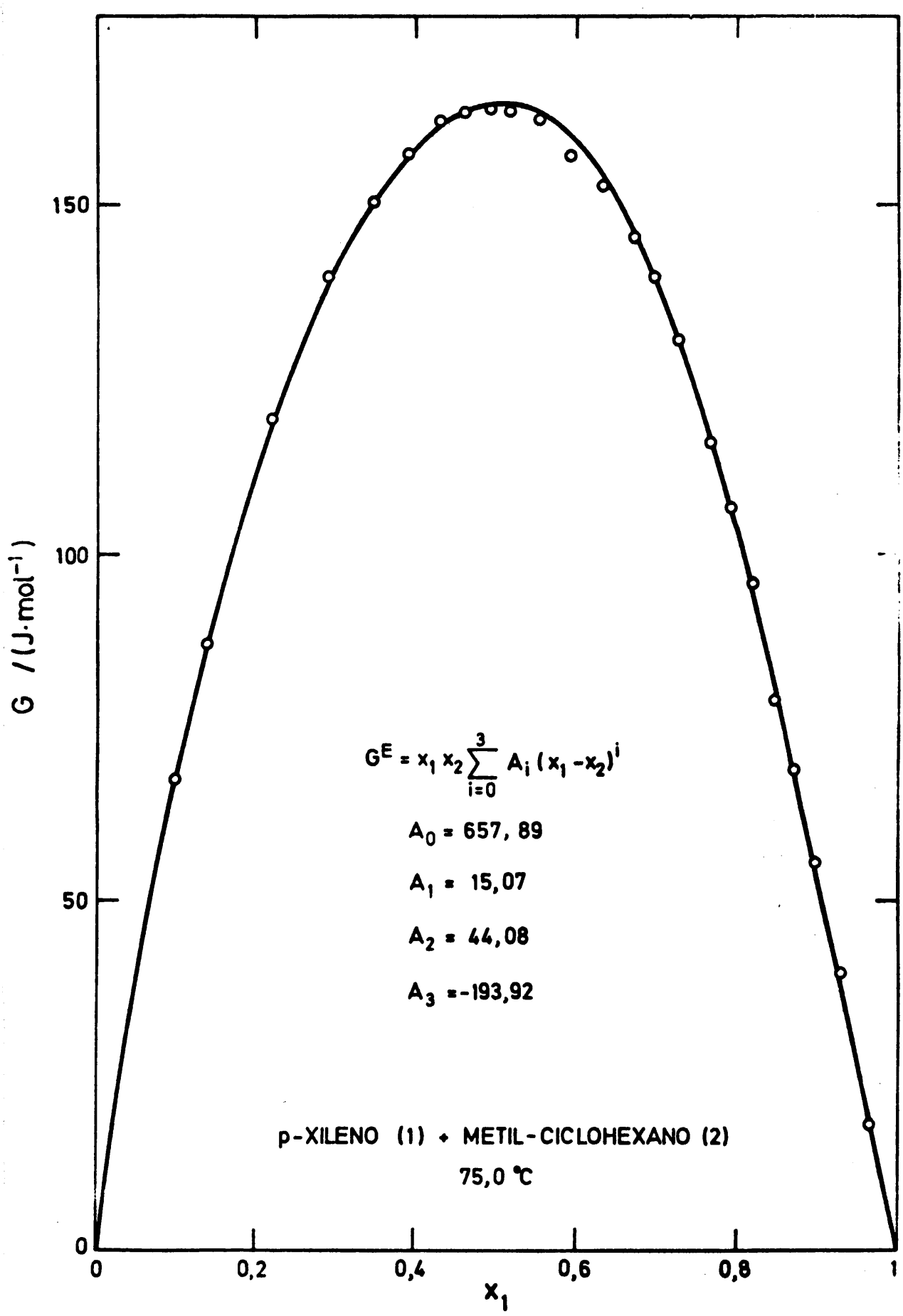
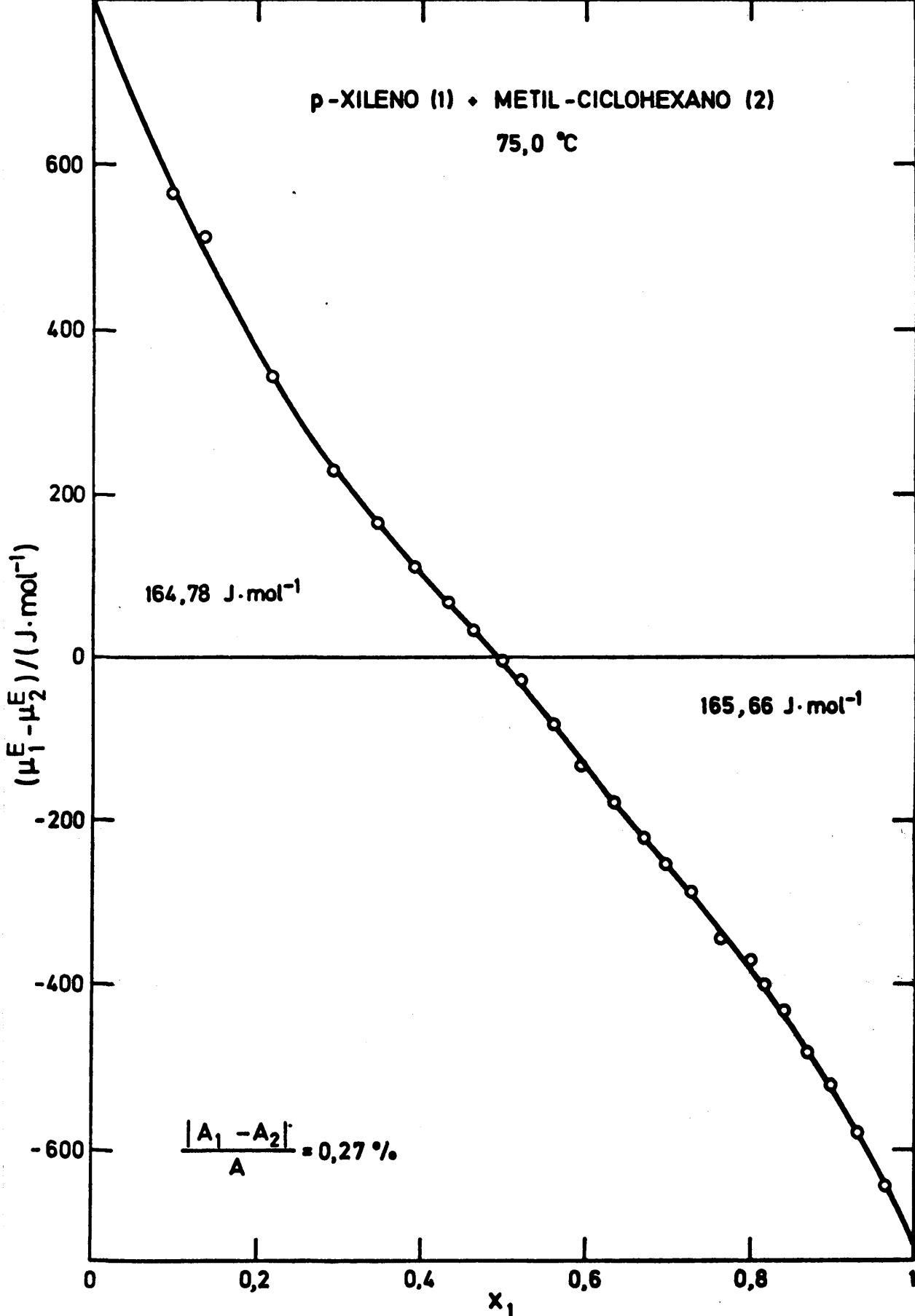


Figura 4.44



**Figura 4.45**

Tabla 4.47

CALCULO DE  $G^E$  POR EL METODO DE BARKER

PCLINCMIO DE GRADO = 3

## COEFICIENTES

$$\begin{aligned} A_1 &= 651.06 \\ A_2 &= -37.19 \\ A_3 &= 57.37 \\ A_4 &= -65.07 \end{aligned}$$

| $x_1$    | $\Delta Y$ | $\Delta P$ | $\gamma_1$ | $\gamma_2$ | $\Delta G^E$ | $G^E$  |
|----------|------------|------------|------------|------------|--------------|--------|
| 0.0986   | 0.0001     | 0.10       | 1.2177     | 1.0041     | 1.07         | 66.80  |
| 0.1347   | 0.0005     | -0.10      | 1.1904     | 1.0071     | 1.82         | 85.58  |
| 0.2162   | 0.0000     | 0.02       | 1.1434     | 1.0157     | 0.33         | 115.05 |
| 0.2877   | -0.0003    | 0.24       | 1.1133     | 1.0248     | 0.13         | 139.80 |
| 0.3448   | 0.0000     | -0.11      | 1.0942     | 1.0330     | -0.79        | 151.38 |
| 0.3886   | 0.0000     | -0.03      | 1.0815     | 1.0400     | -0.03        | 157.50 |
| 0.4305   | 0.0002     | -0.03      | 1.0706     | 1.0474     | 0.88         | 161.20 |
| 0.4612   | 0.0003     | -0.09      | 1.0632     | 1.0532     | 0.69         | 162.60 |
| 0.4949   | 0.0006     | -0.21      | 1.0556     | 1.0602     | 0.78         | 162.85 |
| 0.5183   | 0.0008     | -0.26      | 1.0506     | 1.0653     | 1.11         | 162.23 |
| 0.5523   | -0.0002    | 0.16       | 1.0437     | 1.0734     | 0.83         | 160.16 |
| 0.5908   | -0.0003    | 0.22       | 1.0365     | 1.0834     | 0.85         | 156.13 |
| 0.6329   | 0.0003     | 0.18       | 1.0292     | 1.0955     | 3.03         | 149.63 |
| 0.6679   | 0.0004     | 0.10       | 1.0237     | 1.1065     | 2.83         | 142.53 |
| 0.6949   | 0.0006     | 0.12       | 1.0198     | 1.1155     | 3.92         | 135.99 |
| 0.7266   | 0.0011     | -0.05      | 1.0157     | 1.1267     | 3.59         | 127.12 |
| 0.7620   | -0.0000    | 0.04       | 1.0116     | 1.1399     | 0.45         | 115.70 |
| 0.7928   | 0.0014     | -0.19      | 1.0086     | 1.1519     | 2.16         | 104.46 |
| 0.8182   | 0.0012     | -0.17      | 1.0065     | 1.1621     | 1.76         | 94.29  |
| 0.8408   | 0.0013     | -0.14      | 1.0048     | 1.1714     | 1.98         | 84.56  |
| 0.8695   | -0.0003    | -0.10      | 1.0031     | 1.1832     | -2.31        | 71.33  |
| 0.8970   | -0.0009    | 0.03       | 1.0018     | 1.1945     | -2.12        | 57.76  |
| 0.9295   | -0.0022    | 0.28       | 1.0008     | 1.2076     | -0.72        | 40.64  |
| 0.9643   | -0.0026    | 0.17       | 1.0002     | 1.2208     | -3.22        | 21.13  |
| $\sigma$ | 0.0009     | 0.15       |            |            | 1.91         |        |

## CAPITULO V

### TEORIA DE FLORY

#### 5.1.- INTRODUCCION

La teoría de disoluciones fundamentalmente predice las propiedades macroscópicas observables a partir de las propiedades estructurales de las moléculas que constituyen la mezcla. A pesar del gran avance que se viene desarrollando en la teoría rigurosa del estado líquido, harto complicada, en la actualidad existen teorías de tipo semiempírico, que pueden predecir las propiedades de la mezcla a partir de las que poseen sus sustancias puras. Podemos incluir la teoría de disoluciones regulares<sup>40</sup>, teoría de red<sup>41</sup>, teoría del potencial medio<sup>42</sup> y teoría de la estructura significante<sup>43</sup>, todas ellas más o menos satisfactorias, según que los valores absolutos de las propiedades termodinámicas y el cambio en dichas propiedades debido a la mezcla vengan afectados de un error no demasiado significativo.

Recientemente Flory y sus colaboradores<sup>44,45, 46,47,48 y 49</sup> recogiendo ideas de las teorías anteriores han realizado una muy valiosa aportación en la teoría de las disoluciones líquidas. Dado que es la más reciente y completa de las existentes sólo aplicaremos nuestros resultados a dicha teoría. Vamos a proceder a continuación a su exposición, comenzando con una función de partición lo suficientemente amplia para poder tener en cuenta diversos tipos de moléculas y poder adaptarla con relativa facilidad a mezclas; procurando que el número de parámetros sea mínimo para lo que se calculan alguno de ellos partiendo de la ecuación de estado de los componentes puros, llevando consigo una reducción del número de parámetros arbitrarios a determinar.

Flory<sup>50</sup> ha evitado la teoría de celda, en principio, como base para el cálculo de la función de partición, sin embargo, como veremos más adelante, esta función puede obtenerse a partir de las ideas del modelo de celda del estado líquido. La obtención de la función de partición por Flory y colaboradores está basado en el tratamiento de Tonks<sup>51</sup> para un líquido de esferas rígidas en una dimensión, cubicando los resultados de éste, para llegar a la expresión en tres dimensiones.

Las ideas fundamentales en que se basa esta teoría son:

- 1.- La teoría de Eyring y Hirschfelder, basada en el modelo de celda.
- 2.- Utiliza la idea de los grados de libertad externos de Prigogine.
- 3.- Cuando se aplica a mezclas, toma la idea del potencial medio de Prigogine.
- 4.- Sustituye la constante de van der Waals -- por  $s_n$ , donde  $s$  es la superficie de un elemento y  $n$  la energía por unidad de superficie, respectivamente.

#### 5.2.- ECUACION DE ESTADO DE EYRING Y HIRSCHFELDER<sup>52</sup>

##### MODELO DE CELDA

El modelo de celda fundamentado en la idea de que cada molécula de un líquido o gas comprimido, está rodeada la mayor parte del tiempo de las moléculas más próximas, en una región del espacio muy limitada. Se pueden representar las moléculas vecinas a una dada, simulando una celda dentro de la cual se mueve la molécula central. Desde este punto de vista, un líquido se asemeja a un sólido, aunque no

exista en éste interacción de largo alcance. Las suposiciones más simples de este modelo son:

- 1.- Las moléculas se mueven en sus celdas independientemente unas de otras.
- 2.- Se puede considerar a las moléculas que -- forman la celda, fijas en el centro de sus respectivas celdas, aunque hay una contradicción, ya que, simultáneamente, estas moléculas se están moviendo en sus propias celdas.
- 3.- Todas las celdas son iguales.
- 4.- Cada celda contiene una molécula. Si se tiene en cuenta que algunas celdas pueden estar vacías, conduce a la teoría de celdas con huecos.

La integral de configuración de un sistema de  $N$  moléculas viene dada según la termodinámica estadística, - por:

$$Q = \int \dots \int e^{-U/kT} \frac{N}{|\tau_i|} d\tau_i \quad (5.1)$$

donde:

$U$  = Energía potencial total del sistema.

$d\tau_i$  = Elemento de volumen de la partícula  $i$ .

En coordenadas cartesianas:

$$d\tau_i = dx_i dy_i dz_i \quad (5.2)$$

La ecuación de estado, obtenida a partir de la presión viene dada en función de la integral de configuración

por:

$$p = kT \left( \frac{\partial \ln Q}{\partial V} \right)_{T, N} \quad (5.3)$$

La energía potencial de todas las moléculas -- que constituyen el sistema, definida por:

$$U = U_0 + \sum_{i=0}^N u(r_i) \quad (5.4)$$

siendo:

$$u(r_i) = w(r) - w(0) \quad (5.5)$$

donde:

$U_0$  = Energía del sistema cuando todas las moléculas están en el centro de sus celdas.

$$U_0 = \frac{1}{2} Nw(0)$$

$w(0)$  = Energía de interacción de dos moléculas, ambas, en el centro de sus celdas. El  $1/2$  aparece para no contar la energía de interacción dos veces.

$w(r)$  = Energía de interacción de dos moléculas a una distancia  $r$  del centro de la celda.

Sustituyendo estas expresiones en la integral de configuración, se obtiene:

$$Q = \exp \left( -N w(0)/2kT \right) v_1^N \quad (5.6)$$

donde  $v_1$  es el volumen libre definido por:

$$v_1 = \int_{\text{celda}} e^{-(w(r)-w(0))/KT} dr \quad (5.7)$$

si se expresa  $dr$  en coordenadas esféricas

$$v_1 = 4\pi \int_0^{r_m} \exp(-(w(r)-w(0))/KT) r^2 dr \quad (5.8)$$

En términos de este volumen libre, se puede calcular la ecuación de estado que es:

$$p = -1/2 (\partial w(0)/\partial v)_T + KT(\partial \ln v_1/\partial v)_T \quad (5.9)$$

Para poder calcular el valor del volumen libre, de la ecuación (5.8), es necesario conocer el potencial dentro del modelo de celda. El potencial más sencillo que puede usarse para calcular dicho volumen es el de esferas rígidas. Se suponen moléculas esféricas de diámetro  $\sigma$ , ocupando un volumen  $V$  y distribuidas en forma de una red cúbica centrada en las caras, por tanto, cada molécula estará rodeada de otras doce a una distancia  $a$ . El volumen por molécula es  $v = V/N$ . La celda correspondiente es un dodecaedro.

El volumen libre disponible depende de lo próximas que estén las moléculas. Debido a la complejidad de calcularlo exactamente, se suele sustituir por lo que se conoce como volumen libre esféricizado. En el caso de esferas rígidas, se calcula la esfera de mayor diámetro que cae dentro del volumen libre exacto. En este caso el volumen libre es una esfera de radio  $(a - \sigma)$ .

Eyring y Hirschfelder<sup>52</sup> suponen un potencial de esferas rígidas con una interacción del tipo de van der Waals, es decir:

$$\begin{aligned} w(r) - w(0) &= 0 \quad \text{para } 0 < r < a-\sigma \\ w(r) - w(0) &\approx \infty \quad \text{para } r < a-\sigma \\ w(0) &= -a(T)/v \end{aligned} \quad (5.10)$$

Las dos primeras ecuaciones representan el potencial de esferas rígidas, y la tercera la energía de interacción del tipo empleada por van der Waals en su ecuación de estado.

Por sustitución de estos valores en la expresión del volumen libre, ecuación (5.8) y haciendo uso de las magnitudes reducidas, definidas como:

$$\tilde{p} = p/p^* \quad \tilde{v} = v/v^* \quad \tilde{T} = T/T^* \quad (5.11)$$

siendo

$$p^* = a/2v^{*2} \quad v^* = \gamma\sigma^3 \quad T^* = a/2v^{*2}k \quad (5.12)$$

y teniendo en cuenta que el exponente de la ecuación (5.6) es igual a

$$-\frac{Nw(0)}{2kT} = \frac{Na}{2vkT} = \frac{N}{\tilde{v}\tilde{T}} \quad (5.13)$$

Se obtiene para la integral de configuración la expresión:

$$Q = (g v^*)^N (\tilde{v}^{1/3} - 1)^{3NeN/\tilde{v}\tilde{T}} \quad (5.14)$$

donde  $g$  es el factor geométrico igual a  $4\pi\gamma/3$ ,  $v^*$  es el volumen neto de la molécula y  $\gamma$  es un parámetro que define el tipo de red.

Por sustitución de este valor en la ecuación - (5.3), se llega para la ecuación de estado a la expresión:

$$\frac{\tilde{P} \tilde{V}}{\tilde{T}} = \frac{\tilde{V}^{1/3}}{\tilde{V}^{1/3} - 1} - \frac{1}{\tilde{V} \tilde{T}} \quad (5.15)$$

Esta es la ecuación de estado de Eyring y Hirschfelder para un líquido de esferas rígidas con una energía de interacción del tipo de van der Waals, coincidente con la dada por Flory, como se verá a continuación.

### 5.3.- ECUACION DE ESTADO EN LA TEORIA DE FLORY

Flory considera cada molécula dividida en r segmentos, cuya naturaleza se puede adaptar a cualquier tipo de sustancia. En general, no tiene que coincidir con el grupo  $-CH_2-$  en los n-alcanos, sin embargo, r depende de n, donde n es el número de átomos de carbono. En particular, r se hace proporcional al volumen neto de la molécula, V\*, siendo este volumen lineal en n, es decir:  $V^* = rv^*$ . Por tanto, v\* será el volumen neto de un segmento.

Otras variables que intervienen en la teoría de Flory son las siguientes:

N = número de moléculas del sistema.

V = volumen del sistema.

v = volumen ocupado por un segmento e igual a  $V/rN$ .

Para lograr una expresión de la energía de interacción entre las moléculas, es preciso considerar las constantes entre segmentos de moléculas vecinas. Llamando s al número medio de contacto externo por segmento de una molécula, el número de contactos externos por segmento será:

$$rs = rs_m + s_e \quad (5.16)$$

donde

$s_m$  = número de contactos para un segmento interno.

$s_e$  = número de contactos de los dos segmentos finales en el caso de una molécula de n-alcano.

En cuanto a los grados de libertad de los segmentos en que se subdivide la molécula, la teoría de Flory adopta la ampliación de Prigogine<sup>42,53</sup> a la teoría de celda,

Los 3r grados de libertad de la molécula se pueden dividir en grados de libertad internos y externos. --- Los primeros dependen de las fuerzas de valencia y los segundos de las fuerzas intermoleculares, por lo tanto, sólo estos últimos entrarán en la función de partición. Dichos grados son:

Externos : Tres traslaciones alrededor del centro de gravedad.

Tres rotacionales

Rotaciones internas de la molécula

Internos : Vibraciones de la molécula  
Posiciones trans en el giro interno de la molécula.

El criterio seguido para decidir si una coordenada es interna o externa, ha sido si un cambio de la misma da o no lugar a una distribución diferente de la molécula. - En todo lo siguiente, se representará por 3c el número de grados de libertad externos por segmento, por tanto

$$3rc = 3 (rc_m + c_e) \quad (5.17)$$

donde  $c_m$  son los grados de libertad correspondientes a los segmentos internos de la molécula y  $c_e$  a los terminales. Se supone que  $c$  no depende de la temperatura ni del volumen.

La interacción media de un par de segmentos viene representada por el parámetro energético  $\eta$ , siendo la energía intermolecular por contacto igual a  $-\eta/v$ .

Con estas definiciones previas, la energía total de interacción cuando los  $N_r$  elementos se encuentran en el centro de sus celdas, será:

$$E_0 = -N_r s \eta / 2v \quad (5.18)$$

Para la energía intermolecular obtenemos una expresión análoga.

$$E_0 = -a/V^m \quad (5.19)$$

donde  $a$  es una constante y  $m$  un número próximo a la unidad, que anteriormente había sido propuesto por Hildebrand<sup>40,54</sup> y Frank<sup>55</sup>. Flory, toma para  $m$  el valor 1, con lo que la energía es del tipo de la de van der Waals.

La función de partición a la que llegan Flory y colaboradores, cuando generalizan los resultados de Tonks a tres dimensiones es la siguiente:

$$Z = Z_{\text{comb}} \left( g (v^{1/3} - v^{*1/3})^3 \right)^{N_r c} \exp (-E_0/kT) \quad (5.20)$$

donde  $Z_{\text{comb}}$  es un factor combinatorial que tiene en cuenta el número de formas de colocar los  $N_r$  elementos entre sí, sin tener en cuenta la localización precisa de uno en relación con los restantes.

Esta ecuación tiene una forma idéntica a la dada por Prigogine<sup>53</sup> y, en particular, si se hace  $c = 1$ , se re-

duce a la de Eyring y Hirschfelder<sup>52</sup>. La diferencia radica en el tratamiento de la energía de interacción,  $E_0$ .

Sustituyendo el valor de  $E_0$  de la (5.18) en la (5.20) y pasando la ecuación a forma reducida, llegamos a

$$Z = Z_{\text{comb}} (gv^*)^{Nrc} \exp \left( \frac{Nrc}{v \tilde{T}} \right) (\tilde{v}^{1/3} - 1)^{3Nrc} \quad (5.21)$$

Las variables reducidas vienen definidas por las expresiones:

$$\tilde{v} = v/v^* \quad v^* = \sigma^3/\gamma \quad (5.22)$$

$$\tilde{T} = T/T^* = 2v^*cKT/s_n \quad T^* = s_n/2v^*cK \quad (5.23)$$

$$\tilde{p} = p/p^* = pv^*/cKT^* = 2pv^*^2/s_n ; p^* = s_n/2v^*^2 = cKT^*/v^* \quad (5.24)$$

Usando la ecuación (5.21) es fácil obtener la ecuación de estado en la teoría de Flory:

$$\frac{\tilde{p} \tilde{v}}{\tilde{T}} = \frac{\tilde{v}^{1/3}}{\tilde{v}^{1/3} - 1} - \frac{1}{\tilde{v} \tilde{T}} \quad (5.25)$$

Como ya se había señalado, esta ecuación es idéntica a la de Eyring y Hirschfelder. La diferencia estriba en las definiciones de  $p^*$ ,  $v^*$  y  $T^*$ . Sin embargo, ambas coinciden haciendo  $c = 1$ ,  $r = 1$  y  $a = s_n$ .

#### 5.4.- MEZCLAS BINARIAS

La teoría de Flory puede ampliarse fácilmente al caso de una mezcla de dos componentes, usando valores medios de las magnitudes que definen la función de partición, - ecuación (5.20), como hace Prigogine<sup>42</sup>, con objeto de mantener la forma de la ecuación. Es preciso, primeramente, definir las siguientes variables de mezcla:

$x_i$  = fracción molar que nos viene dada por

$$x_i = N_i / (N_1 + N_2) \quad (5.26)$$

$\langle r \rangle$  = número medio de segmentos por molécula

$$\langle r \rangle = x_1 r_1 + x_2 r_2 \quad (5.27)$$

$\phi_i$  = fracción de segmentos, cuyo valor es

$$\phi_i = x_i r_i / \langle r \rangle \quad (5.28)$$

$\langle c \rangle$  = número medio de grados de libertad externos por segmento

$$\langle rc \rangle = \langle r \rangle \langle c \rangle = x_1 c_1 r_1 + x_2 c_2 r_2$$

$$\langle c \rangle = (x_1 r_1 c_1 + x_2 r_2 c_2) / \langle r \rangle$$

$$\langle c \rangle = \phi_1 c_1 + \phi_2 c_2 \quad (5.29)$$

$\langle s \rangle$  = número medio de sitios por segmento. Superficie media por segmento.

$$\langle rs \rangle = x_1 r_1 s_1 + x_2 r_2 s_2 = \langle r \rangle \langle s \rangle$$

$$\langle s \rangle = (x_1 r_1 s_1 + x_2 r_2 s_2) / \langle r \rangle \quad (5.30)$$

$$\langle s \rangle = \phi_1 s_1 + \phi_2 s_2$$

$\theta_i$  = fracción de sitios o fracción de superficie

$$\theta_i = \phi_i s_i / \langle s \rangle \quad (5.31)$$

Para una mezcla binaria, si se hace la suposición de mezclas al azar, se obtiene la siguiente función de partición:

$$Z = Z_{\text{comb}} (gv^*)^{\langle r \rangle} \langle c \rangle^N (v^{1/3} - 1)^{3N} \exp(-E_0/RT) \quad (5.32)$$

los segmentos han de elegirse de tal forma que  $v^*$  sea igual en las dos moléculas.

La energía de la mezcla viene dada por:

$$E_0 = - \frac{1}{v} (A_{11} n_{11} + A_{22} n_{22} + A_{12} n_{12}) \quad (5.33)$$

donde  $A_{12}$  es el número de contactos 1,2 o, dicho de otra forma, es la superficie de contacto de una molécula 1 contra otra 2, entonces, la energía por contacto es  $-n_{12}/v$ . Puesto

que la superficie de las moléculas 1 y 2 se ha de mantener constante<sup>42</sup>, ha de cumplirse que:

$$\begin{aligned} N_1 r_1 s_1 &= 2A_{11} + A_{12} \\ N_2 r_2 s_2 &= 2A_{22} + A_{12} \end{aligned} \quad (5.34)$$

Despejando  $A_{11}$  y  $A_{22}$  de estas ecuaciones y sustituyendo en (5.33).

$$E_0 = - \frac{1}{2v} (N_1 r_1 s_1 n_{11} + N_2 r_2 s_2 n_{22} - A_{12} \Delta n) \quad (5.35)$$

donde

$$\Delta n = n_{11} + n_{22} - n_{12} \quad (5.36)$$

Para una mezcla al azar, se obtiene:

$$A_{11} = \theta_1 N_2 s_2 r_2 = \theta_2 N_1 s_1 r_1 \quad (5.37)$$

con lo que la energía debida a la mezcla es igual:

$$-\frac{E_0^M}{\langle r \rangle N} = \frac{v^* p^*}{\tilde{v}} = \frac{\langle c \rangle K T^*}{\tilde{v}} \quad (5.38)$$

donde  $p^*$  viene definido por

$$p^* = \phi_1 p_1^* + \phi_2 p_2^* - \phi_1 \theta_2 X_{12} \quad (5.39)$$

y  $X_{12}$  por

$$X_{12} = s_1 \Delta n / 2v^{*2} \quad (5.40)$$

En resumen, se obtiene para mezclas binarias una ecuación de estado:

$$\frac{\tilde{p} \tilde{v}}{\tilde{T}} = \frac{\tilde{v}^{1/3}}{\tilde{v}^{1/3}-1} - \frac{1}{\tilde{v} \tilde{T}} \quad (5.41)$$

análoga a la obtenida para líquidos puros, aunque ahora las variables reducidas dependen de la composición a través de  $p^*$  y  $T^*$ :

$$\begin{aligned}\tilde{p} &= p/p^* \\ \tilde{T} &= T/T^* \quad T^* = p^* (\phi_1 p_1^*/T_1^* + \phi_2 p_2^*/T_2^*)^{-1} \\ \tilde{v} &= v/v^*\end{aligned}\quad (5.42)$$

### 5.5.- ENERGIA LIBRE DE GIBBS DE EXCESO

Para moléculas de parecido tamaño y sobre la base de una entropía combinatorial ideal, la teoría de Flory conduce a la siguiente expresión para  $G^E$ :

$$\begin{aligned}G^E &= 3T \left\{ x_1 \frac{p_1^* v_1^*}{T_1^*} \ln \frac{\tilde{v}_1^{1/3}-1}{\tilde{v}^{1/3}-1} + x_2 \frac{p_2^* v_2^*}{T_2^*} \ln \frac{\tilde{v}_2^{1/3}-1}{\tilde{v}^{1/3}-1} \right\} + \\ &+ x_1 p_1^* v_1^* \left( \frac{1}{\tilde{v}_1} - \frac{1}{\tilde{v}} \right) + x_2 p_2^* v_2^* \left( \frac{1}{\tilde{v}_2} - \frac{1}{\tilde{v}} \right) + x_1 v_1^* \theta_2 \frac{x_{12}}{\tilde{v}}\end{aligned}\quad (5.43)$$

donde todos los símbolos tienen el significado dado anteriormente.

Hay que hacer notar que, puesto que la entalpía de mezcla, según dicha teoría, viene dada por

$$H^E = x_1 p_1^* v_1^* \left( \frac{1}{\tilde{v}_1} - \frac{1}{\tilde{v}} \right) + x_2 p_2^* v_2^* \left( \frac{1}{\tilde{v}_2} - \frac{1}{\tilde{v}} \right) + x_1 v_1^* \theta_2 \frac{x_{12}}{\tilde{v}} \quad (5.44)$$

la energía libre de Gibbs de exceso puede expresarse en función de  $H^E$  mediante:

$$G^E = \left\{ 3T x_1 \frac{p_1^* v_1^*}{T_1^*} \ln \frac{\tilde{v}_1^{1/3}-1}{\tilde{v}^{1/3}-1} + x_2 \frac{p_2^* v_2^*}{T_2^*} \ln \frac{\tilde{v}_2^{1/3}-1}{\tilde{v}^{1/3}-1} \right\} + H^E \quad (5.45)$$

Recientemente Orwall y Flory<sup>49</sup> han hecho notar que, debido a la interacción entre especies vecinas, es de esperar que contribuya tanto a la entropía como a la entalpía de la mezcla. Para tener en cuenta dicha contribución añaden un término empírico que contiene un segundo parámetro ajustable,  $Q_{12}$  (el primero es  $X_{12}$ ).

La expresión resultante a la ecuación original de la energía libre es:

$$G^E(X_{12}, Q_{12}) = G^E(X_{12}) - x_1 v_1^* \theta_2 T Q_{12} \quad (5.46)$$

donde  $G^E(X_{12})$  viene dado por la ecuación (5.43).

En las ecuaciones anteriores  $X_{12}$  representa la contribución de interacciones entre contactos 1,2 y la media de los pares 1,1 y 2,2. El término en el que aparece se denomina término de interacción de contactos, mientras que los otros se denominan términos de la ecuación de estado.

#### 5.6.- CALCULO DE $X_{12}$ Y $\tilde{v}$ EN LA MEZCLA

De la ecuación de estado (5.25) se obtiene a presión cero:

$$\tilde{T} = (\tilde{v}^{1/3} - 1) / \tilde{v}^{4/3} \quad (5.47)$$

y de aquí derivando con respecto a  $T$  y despejando:

$$\tilde{v}^{1/3} = (\alpha T/3 (1 + \alpha T) + 1 \quad (5.48)$$

La derivada con respecto a la temperatura de la ecuación (5.25) evaluada a  $p = 0$ , da:

$$p^* = \gamma T \tilde{v}^2 \quad (5.49)$$

donde  $\alpha = (1/v) (\partial v / \partial T)_p$ , es el coeficiente de expansión y ---  $\gamma = (\partial p / \partial T)_v$ , el coeficiente de presión térmica, por lo que --- las cantidades  $T^*$ ,  $P^*$  y  $v^*$  para las sustancias puras se pueden evaluar a partir de  $\alpha$ ,  $\gamma$  y  $\tilde{v}$ .

Generalmente el parámetro  $X_{12}$  se calcula ajustando los valores experimentales a la ecuación teórica y despejando de ella  $X_{12}$ . Esto es posible hacerlo en el caso de  $H^E$  y  $V^E$ , pero en el caso de  $G^E$ , no es posible despejar  $X_{12}$  de (5.43), ya que  $\tilde{v}$  es también función de este parámetro. Para ello hay que recurrir a un método iterativo en el que se dan unos valores iniciales de  $\tilde{v}$ , y se itera hasta que la diferencia entre dos etapas sucesivas sea tan pequeña como se quiera.

Según (5.42):

$$T^* = p^* / (\phi_1 \frac{P_1^*}{T_1^*} + \phi_2 \frac{P_2^*}{T_2^*}) \quad (5.50)$$

y (5.39)

$$p^* = \phi_1 P_1^* + \phi_2 P_2^* - \phi_1 \theta_2 X_{12} \quad (5.51)$$

Despejando el valor de  $X_{12}$  de la ecuación (5.51):

$$X_{12} = (\phi_1 P_1^* + \phi_2 P_2^* - p^*) / \phi_1 \theta_2 \quad (5.52)$$

Teniendo en cuenta (5.47):

$$T^* = T \tilde{v}^{4/3} / (\tilde{v}^{1/3} - 1) \quad (5.53)$$

y sustituyendo  $T^*$  en (5.50) obtenemos un valor para  $p^*$  de:

$$p^* = \frac{T \tilde{v}^{4/3}}{\tilde{v}^{1/3} - 1} \left( \phi_1 \frac{P_1^*}{T_1^*} + \phi_2 \frac{P_2^*}{T_2^*} \right) \quad (5.54)$$

El procedimiento a seguir es fijar un valor -- inicial de  $\tilde{v}$ . Se calcula con este valor  $p^*$ , mediante (5.54) y  $X_{12}$  mediante (5.52). Con estos valores de  $\tilde{v}$  y  $X_{12}$  se va a la ecuación (5.43) y se compara  $G^E$  (teórica) con  $G^E$  (experimental). Se incrementa  $\tilde{v}$  en una cierta cantidad y se calcula nuevamente la ecuación (5.43), hasta que haya un cambio de signo. A partir de ahí y en cada cambio de signo se reduce el incremento de  $\tilde{v}$  en  $1/2$ , y así hasta que la diferencia entre  $G^E$  (experimental) y  $G^E$  (teórica) sea menor que 0,05, en cuyo caso se da por terminada la iteración.

Es evidente que este método fija automáticamente  $X_{12}$  y  $\tilde{v}$ . Otro procedimiento seguido en la práctica es utilizar el parámetro  $X_{12}$  obtenido a partir de calores de mezcla o  $\tilde{v}$  obtenido a partir de  $V^E$ . En este caso no ha sido posible ya que no existen medidas experimentales ni de  $H^E$  ni de  $V^E$  a las temperaturas que se han efectuado las medidas de  $G^E$ . En el caso de existir medidas de  $H^E$ , se puede utilizar el parámetro  $X_{12}$  obtenido a partir de ellas y forzar la concordancia entre teoría y experiencia, haciendo uso del segundo parámetro ajustable  $Q_{12}$ , ecuación (5.46). Boublík y Benson<sup>56</sup> han encontrado para el sistema benceno + ciclohexano a 25°C el valor  $0,04807 \text{ J.cm}^{-3}.\text{grad}^{-1}$ .

#### 5.7.- CALCULO DE $r$ , $v^*$ y $s$

De la definición de  $V^* = M / \tilde{v} \rho$ , donde  $\rho$  es la densidad,  $M$  el peso molecular y  $\tilde{v}$  que se calcula mediante (5.48) a partir de los coeficientes de expansión, se puede obtener  $V^*$  para los n-alcanos. Flory<sup>45</sup> encontró que  $V^*$  para los n-alcanos puede representarse por la ecuación lineal, --  $V^* = 14,15 (n+1,05)$ , donde  $n$  es el número de átomos de carbono, que identificada con la definición de  $V^* = v^* r$ , y aproximando la constante  $1,05 \approx 1$  se obtiene  $v^* = 14,20$  que es el valor utilizado en este trabajo para todas las sustancias, ya que una de las hipótesis de la teoría es suponer que  $v^*$ , el

volumen neto, es igual en ambas moléculas.

En realidad no es necesario conocer por separado las superficies de las dos sustancias, sino sólo su relación, ya que se utilizan en el cálculo de  $\theta_2$  y ésta se puede expresar mediante

$$\theta_2 = \phi_2 / (\phi_2 + \phi_1 s_1/s_2) \quad (5.55)$$

Análogamente sucede con  $r_1$  y  $r_2$ , necesarios para el cálculo de  $\phi_2$

$$\phi_2 = 1 - \phi_1 = x_2 / (x_2 + x_1 r_1/r_2) \quad (5.56)$$

Si  $r_i$  es el número de segmentos de una molécula y  $s_i$  la superficie de la misma

$$s_i = \frac{s_i}{r_i} \quad (5.57)$$

donde  $s_i$  es la superficie por segmento. Supuesta la molécula con simetría esférica de radio  $R_i$ , queda

$$s_i = \frac{4\pi R_i^2 v^*}{V_i^*} = \frac{4\pi R_i^2 v^*}{4\pi R_i^3 / 3} = \frac{3v^*}{R_i} \quad (5.58)$$

de donde

$$\frac{s_1}{s_2} = \frac{R_2}{R_1} = \left( \frac{V_2^*}{V_1^*} \right)^{1/3} \quad (5.59)$$

es decir,  $s_1/s_2$  se calcula con  $V_1^*$  y  $V_2^*$  mediante la ecuación (5.59).

### 5.8.- PARÁMETROS PARA LIQUIDOS PUROS

En el cálculo de los parámetros de las sustancias puras son necesarios los valores de los coeficientes de expansión,  $\alpha$ , y de presión térmica,  $\gamma$ . Conocido el primero de éstos se calcula  $\gamma$  mediante la ecuación (5.48) y  $\kappa$  por la (5.47). Con el valor de  $\gamma$  determinamos  $p^*$  teniendo en cuenta (5.49).

Los coeficientes de expansión de todas las sustancias estudiadas se han deducido de las ecuaciones que figuran en el apartado 3.2. Los valores obtenidos se muestran en la Tabla 5.1 a la temperatura de medida de cada sistema.

El coeficiente de presión térmica se ha obtenido a partir del coeficiente de compresibilidad,  $\kappa$ , relacionado con  $\gamma$  mediante.

$$\gamma = \frac{\alpha}{\kappa} \quad (5.60)$$

Para el m-xileno, p-xileno y metil-ciclohexano se han calculado teóricamente sus coeficientes de compresibilidad por el método de Wada<sup>57</sup>. Los valores así obtenidos se recogen en la Tabla 5.1, habiéndoles aplicado un factor de corrección. Asimismo se dan los valores de  $\kappa$  para las restantes sustancias estudiadas<sup>32</sup>.

Teniendo en cuenta la ecuación (5.60) se evalúan los coeficientes de presión térmica que hemos recogido también en la Tabla 5.1.

Tabla 5.1

Coeficientes de expansión,  $\alpha$ , compresibilidad isotérmica,  $\kappa$ ,  
y presión térmica,  $\gamma$

| Sustancia         | t°C | $\alpha \cdot 10^3 \text{K}^{-1}$ | $\kappa \cdot 10^6 \text{atm}^{-1}$ | $\gamma (\text{J.cm}^{-3}\text{K}^{-1})$ |
|-------------------|-----|-----------------------------------|-------------------------------------|--|
| Benceno           | 70  | 1,344                             | 141                                 | 0,966                                    |
|                   | 75  | 1,361                             | 146                                 | 0,945                                    |
| Tolueno           | 75  | 1,216                             | 135                                 | 0,913                                    |
| Ciclohexano       | 70  | 1,366                             | 166                                 | 0,834                                    |
| n-Heptano         | 75  | 1,424                             | 228                                 | 0,633                                    |
| Metil-ciclohexano | 75  | 1,251                             | 180                                 | 0,704                                    |
| o-Xileno          | 75  | 1,055                             | 123                                 | 0,868                                    |
| m-Xileno          | 75  | 1,083                             | 127                                 | 0,864                                    |
| p-Xileno          | 75  | 1,106                             | 132                                 | 0,849                                    |

### 5.9.- RESULTADOS DE LA TEORIA

En la Tabla 5.2 se dan los valores de  $V^*$ ,  $T^*$ ,  $p^*$ ,  $\tilde{T}$ ,  $\tilde{v}$  y  $r$  para las sustancias puras, calculados según se ha dicho anteriormente.

Tabla 5.2

#### Parámetros para líquidos puros

| Sustancia            | $t^\circ C$ | $V^*$<br>( $cm^3 mol^{-1}$ ) | $T^*$<br>K | $p^*$<br>( $J.cm^{-3}$ ) | $\tilde{T}$ | $\tilde{v}$ | $r$  |
|----------------------|-------------|------------------------------|------------|--------------------------|-------------|-------------|------|
| Benceno              | 70          | 70,14                        | 4866       | 604                      | 0,071       | 1,3500      | 4,96 |
|                      | 75          | 70,25                        | 4882       | 606                      | 0,071       | 1,3572      | 4,96 |
| Tolueno              | 75          | 85,36                        | 5125       | 560                      | 0,068       | 1,3279      | 6,03 |
| Ciclohexano          | 70          | 79,65                        | 4833       | 525                      | 0,071       | 1,3543      | 5,63 |
| n-Heptano            | 75          | 115,11                       | 4792       | 413                      | 0,073       | 1,3694      | 8,13 |
| Metil<br>ciclohexano | 75          | 102,04                       | 5061       | 437                      | 0,069       | 1,3351      | 7,21 |
| o-Xileno             | 75          | 98,75                        | 5479       | 506                      | 0,064       | 1,2934      | 6,98 |
| m-Xileno             | 75          | 100,16                       | 5410       | 508                      | 0,064       | 1,2996      | 7,08 |
| p-Xileno             | 75          | 100,26                       | 5355       | 503                      | 0,065       | 1,3046      | 7,09 |

En las tablas 5.3 - 5.11 se indican los valores obtenidos para las distintas mezclas. Como puede observarse, el parámetro  $X_{12}$  depende de la composición, hecho que según la teoría no debía suceder. En las tres últimas columnas de dichas tablas se reseñan los valores de  $G^E_{exp}$ ,  $G^E_{cal}$  y su diferencia, utilizando el valor  $X_{12}$  para  $x_1=0,5$  y los valores de  $\tilde{v}$  correspondientes a cada fracción molar.

En las Figuras 5.1 y 5.2 se representan por puntos de valores experimentales de  $G^E$  y los calculados mediante esta teoría por trazo continuo, para el valor de  $x_{12}$  de la mezcla equimolecular.

Tabla 5.3

Ciclohexano(1) + Benceno(2)

$t = 70^\circ\text{C}$

$s_1/s_2 = 0,959$

| $x_1$ | T*   | p*  | $\tilde{T}$ | $\tilde{v}$ | $x_{12}$ | $G^E_{\text{exp.}}$ | $G^E_{\text{cal.}}$ | $\Delta$ |
|-------|------|-----|-------------|-------------|----------|---------------------|---------------------|----------|
|       |      |     |             |             |          | J.cm <sup>-3</sup>  | J.mol <sup>-1</sup> |          |
| 0,1   | 4467 | 547 | 0,0768      | 1,4108      | 485,4    | 98,6                | 83,2                | 15,47    |
| 0,2   | 4314 | 521 | 0,0795      | 1,4407      | 379,0    | 172,4               | 161,4               | 10,47    |
| 0,3   | 4232 | 504 | 0,0811      | 1,4589      | 333,0    | 222,1               | 216,8               | 5,36     |
| 0,4   | 4191 | 492 | 0,0819      | 1,4686      | 311,4    | 249,2               | 247,8               | 1,40     |
| 0,5   | 4180 | 484 | 0,0821      | 1,4714      | 304,9    | 255,3               | 255,3               | 0,03     |
| 0,6   | 4195 | 480 | 0,0818      | 1,4677      | 311,3    | 242,0               | 240,6               | 1,37     |
| 0,7   | 4238 | 478 | 0,0810      | 1,4576      | 333,1    | 210,2               | 205,0               | 5,21     |
| 0,8   | 4317 | 481 | 0,0795      | 1,4400      | 380,7    | 160,3               | 149,5               | 10,82    |
| 0,9   | 4460 | 490 | 0,0769      | 1,4121      | 491,5    | 91,1                | 76,2                | 14,93    |

Tabla 5.4

*o*-Xileno(1) + *n*-Heptano(2)

*t* = 75°C

*s*<sub>1</sub>/*s*<sub>2</sub> = 1,052

| <i>x</i> <sub>1</sub> | T*   | p*  | T̃     | ṽ     | X <sub>12</sub> | G <sup>E</sup> <sub>exp.</sub> | G <sup>E</sup> <sub>cal.</sub> | Δ     |
|-----------------------|------|-----|--------|--------|-----------------|--------------------------------|--------------------------------|-------|
|                       |      |     |        |        |                 | J.cm <sup>-3</sup>             | J.mol <sup>-1</sup>            |       |
| 0,1                   | 4502 | 391 | 0,0773 | 1,4162 | 388,3           | 97,2                           | 85,2                           | 12,09 |
| 0,2                   | 4429 | 387 | 0,0786 | 1,4301 | 297,6           | 168,4                          | 160,4                          | 8,02  |
| 0,3                   | 4410 | 387 | 0,0789 | 1,4340 | 261,2           | 219,0                          | 215,6                          | -3,42 |
| 0,4                   | 4421 | 391 | 0,0788 | 1,4318 | 246,1           | 251,3                          | 250,8                          | 0,55  |
| 0,5                   | 4456 | 397 | 0,0781 | 1,4248 | 243,7           | 265,4                          | 265,4                          | 0,02  |
| 0,6                   | 4518 | 405 | 0,0771 | 1,4132 | 251,9           | 259,6                          | 257,7                          | 1,92  |
| 0,7                   | 4613 | 416 | 0,0755 | 1,3968 | 272,1           | 231,7                          | 225,8                          | 5,94  |
| 0,8                   | 4756 | 432 | 0,0732 | 1,3747 | 312,1           | 179,6                          | 168,5                          | 11,16 |
| 0,9                   | 4975 | 458 | 0,0700 | 1,3418 | 384,8           | 102,2                          | 90,1                           | 12,10 |

Tabla 5.5

*m*-Xileno(1) + *n*-Heptano(2)

*t* = 75°C

*s*<sub>1</sub>/*s*<sub>2</sub> = 1,047

| <i>x</i> <sub>1</sub> | T*   | p*  | T̃     | ṽ     | X <sub>12</sub> | G <sup>E</sup> <sub>exp.</sub> | G <sup>E</sup> <sub>cal.</sub> | Δ     |
|-----------------------|------|-----|--------|--------|-----------------|--------------------------------|--------------------------------|-------|
|                       |      |     |        |        |                 | J.cm <sup>-3</sup>             | J.mol <sup>-1</sup>            |       |
| 0,1                   | 4551 | 396 | 0,0765 | 1,4074 | 326,0           | 75,0                           | 66,1                           | 8,96  |
| 0,2                   | 4480 | 392 | 0,0777 | 1,4203 | 259,1           | 134,6                          | 128,7                          | 5,82  |
| 0,3                   | 4458 | 394 | 0,0781 | 1,4245 | 231,9           | 179,0                          | 176,6                          | 2,32  |
| 0,4                   | 4465 | 398 | 0,0780 | 1,4230 | 221,0           | 208,2                          | 207,5                          | 0,63  |
| 0,5                   | 4496 | 404 | 0,0774 | 1,4174 | 220,3           | 221,6                          | 221,5                          | 0,09  |
| 0,6                   | 4551 | 412 | 0,0765 | 1,4075 | 228,7           | 218,3                          | 216,3                          | 1,98  |
| 0,7                   | 4635 | 424 | 0,0751 | 1,3932 | 248,4           | 196,6                          | 190,5                          | 6,12  |
| 0,8                   | 4760 | 439 | 0,0731 | 1,3739 | 286,9           | 154,7                          | 143,9                          | 10,86 |
| 0,9                   | 4992 | 466 | 0,0697 | 1,3453 | 324,1           | 90,2                           | 79,0                           | 11,20 |

Tabla 5.6

p-Xileno(1) + n-Heptano(2)

t = 75°C

s<sub>1</sub>/s<sub>2</sub> = 1,047

| x <sub>1</sub> | T*   | p*  | ̃T     | ̃v     | X <sub>12</sub><br>J.cm <sup>-3</sup> | G <sup>E</sup> <sub>exp.</sub> | G <sup>E</sup> <sub>cal.</sub> | Δ     |
|----------------|------|-----|--------|--------|---------------------------------------|--------------------------------|--------------------------------|-------|
|                |      |     |        |        |                                       | J.mol <sup>-1</sup>            |                                |       |
| 0,1            | 4531 | 393 | 0,0768 | 1,4109 | 346,2                                 | 80,3                           | 67,8                           | 12,45 |
| 0,2            | 4459 | 391 | 0,0781 | 1,4242 | 265,2                                 | 137,3                          | 129,3                          | 8,01  |
| 0,3            | 4444 | 393 | 0,0783 | 1,4271 | 231,1                                 | 175,4                          | 171,4                          | 4,02  |
| 0,4            | 4457 | 397 | 0,0781 | 1,4246 | 215,6                                 | 197,5                          | 196,6                          | 0,97  |
| 0,5            | 4492 | 404 | 0,0775 | 1,4180 | 211,7                                 | 205,4                          | 205,4                          | 0,03  |
| 0,6            | 4548 | 412 | 0,0765 | 1,4079 | 217,6                                 | 199,4                          | 198,0                          | 1,43  |
| 0,7            | 4629 | 423 | 0,0752 | 1,3942 | 235,1                                 | 178,8                          | 173,9                          | 4,90  |
| 0,8            | 4746 | 438 | 0,0734 | 1,3761 | 271,4                                 | 141,2                          | 131,4                          | 9,75  |
| 0,9            | 4931 | 459 | 0,0706 | 1,3508 | 353,2                                 | 83,2                           | 69,8                           | 13,39 |

Tabla 5.7

Metil-ciclohexano(1) + Benceno(2)

t = 75°C

s<sub>1</sub>/s<sub>2</sub> = 0,883

| x <sub>1</sub> | T*   | p*  | ̃T     | ̃v     | X <sub>12</sub><br>J.cm <sup>-3</sup> | G <sup>E</sup> <sub>exp.</sub> | G <sup>E</sup> <sub>cal.</sub> | Δ     |
|----------------|------|-----|--------|--------|---------------------------------------|--------------------------------|--------------------------------|-------|
|                |      |     |        |        |                                       | J.mol <sup>-1</sup>            |                                |       |
| 0,1            | 4484 | 533 | 0,0777 | 1,4196 | 407,0                                 | 98,5                           | 87,3                           | 11,11 |
| 0,2            | 4353 | 497 | 0,0800 | 1,4457 | 319,2                                 | 171,3                          | 164,7                          | 6,59  |
| 0,3            | 4294 | 471 | 0,0811 | 1,4590 | 284,4                                 | 218,9                          | 216,8                          | 2,10  |
| 0,4            | 4278 | 451 | 0,0814 | 1,4625 | 271,5                                 | 245,1                          | 241,1                          | 3,99  |
| 0,5            | 4276 | 435 | 0,0814 | 1,4629 | 272,6                                 | 252,6                          | 252,6                          | 0,03  |
| 0,6            | 4307 | 423 | 0,0808 | 1,4558 | 285,9                                 | 241,1                          | 238,6                          | 2,51  |
| 0,7            | 4372 | 415 | 0,0796 | 1,4418 | 312,2                                 | 207,9                          | 201,3                          | 6,56  |
| 0,8            | 4485 | 412 | 0,0776 | 1,4193 | 356,7                                 | 151,1                          | 140,8                          | 10,34 |
| 0,9            | 4678 | 416 | 0,0744 | 1,3863 | 438,9                                 | 75,4                           | 63,9                           | 11,53 |

Tabla 5.8

Tolueno(1) + Metil-ciclohexano(2)

$t = 75^\circ C$

$s_1/s_2 = 1,061$

| $x_1$ | T*   | P*  | $\tilde{T}$ | $\tilde{v}$ | $X_{12}$ | G <sup>E</sup> <sub>exp.</sub> | G <sup>E</sup> <sub>cal.</sub> | $\Delta$ |
|-------|------|-----|-------------|-------------|----------|--------------------------------|--------------------------------|----------|
|       |      |     |             |             |          | J.cm <sup>-3</sup>             | J.mol <sup>-1</sup>            |          |
| 0,1   | 4717 | 416 | 0,0738      | 1,3803      | 399,6    | 75,2                           | 61,9                           | 13,33    |
| 0,2   | 4587 | 414 | 0,0759      | 1,4013      | 311,5    | 131,3                          | 121,3                          | 9,97     |
| 0,3   | 4517 | 417 | 0,0771      | 1,4134      | 272,6    | 170,4                          | 165,2                          | 5,24     |
| 0,4   | 4484 | 424 | 0,0776      | 1,4195      | 253,9    | 193,9                          | 192,4                          | 1,57     |
| 0,5   | 4477 | 433 | 0,0778      | 1,4208      | 247,6    | 202,6                          | 202,6                          | 0,02     |
| 0,6   | 4495 | 446 | 0,0775      | 1,4175      | 251,6    | 196,4                          | 195,4                          | 0,99     |
| 0,7   | 4540 | 461 | 0,0767      | 1,4094      | 267,7    | 174,7                          | 170,1                          | 4,57     |
| 0,8   | 4621 | 481 | 0,0753      | 1,3955      | 303,0    | 136,2                          | 126,7                          | 9,49     |
| 0,9   | 4766 | 508 | 0,0731      | 1,3732      | 384,0    | 78,9                           | 65,6                           | 13,24    |

Tabla 5.9

o-Xileno(1) + Metil-ciclohexano(2)

$t = 75^\circ C$

$s_1/s_2 = 1,011$

| $x_1$ | T*   | P*  | $\tilde{T}$ | $\tilde{v}$ | $X_{12}$ | G <sup>E</sup> <sub>exp.</sub> | G <sup>E</sup> <sub>cal.</sub> | $\Delta$ |
|-------|------|-----|-------------|-------------|----------|--------------------------------|--------------------------------|----------|
|       |      |     |             |             |          | J.cm <sup>-3</sup>             | J.mol <sup>-1</sup>            |          |
| 0,1   | 4737 | 412 | 0,0735      | 1,3773      | 364,3    | 78,4                           | 66,9                           | 11,45    |
| 0,2   | 4639 | 406 | 0,0750      | 1,3925      | 283,8    | 135,7                          | 127,7                          | 8,00     |
| 0,3   | 4613 | 405 | 0,0755      | 1,3969      | 249,9    | 174,2                          | 166,3                          | 7,86     |
| 0,4   | 4605 | 408 | 0,0756      | 1,3982      | 234,5    | 195,6                          | 194,3                          | 1,21     |
| 0,5   | 4632 | 413 | 0,0752      | 1,3936      | 230,3    | 201,0                          | 200,8                          | 0,17     |
| 0,6   | 4686 | 421 | 0,0743      | 1,3851      | 235,6    | 191,3                          | 190,1                          | 1,23     |
| 0,7   | 4769 | 431 | 0,0730      | 1,3728      | 252,0    | 166,8                          | 162,3                          | 4,48     |
| 0,8   | 4889 | 445 | 0,0712      | 1,3561      | 286,2    | 127,2                          | 118,5                          | 8,72     |
| 0,9   | 5090 | 471 | 0,0684      | 1,3314      | 304,9    | 72,0                           | 62,4                           | 9,60     |

Tabla 5.10

m-Xileno(1) + Metil-ciclohexano(2)

$t = 75^\circ C$

$s_1/s_2 = 1,006$

| $x_1$ | T*   | p*  | $\tilde{T}$ | $\tilde{v}$ | $X_{12}$ | G <sup>E</sup> <sub>exp.</sub> | G <sup>E</sup> <sub>cal.</sub> | $\Delta$ |
|-------|------|-----|-------------|-------------|----------|--------------------------------|--------------------------------|----------|
|       |      |     |             |             |          | J.cm <sup>-3</sup>             | J.mol <sup>-1</sup>            |          |
| 0,1   | 4769 | 415 | 0,0730      | 1,3727      | 323,2    | 65,1                           | 54,6                           | 10,53    |
| 0,2   | 4681 | 411 | 0,0744      | 1,3860      | 252,3    | 111,5                          | 103,7                          | 7,76     |
| 0,3   | 4651 | 412 | 0,0749      | 1,3907      | 221,2    | 140,9                          | 136,9                          | 4,04     |
| 0,4   | 4656 | 416 | 0,0748      | 1,3898      | 206,2    | 155,5                          | 154,2                          | 1,36     |
| 0,5   | 4685 | 422 | 0,0743      | 1,3853      | 200,9    | 157,3                          | 157,3                          | 0,02     |
| 0,6   | 4737 | 430 | 0,0735      | 1,3774      | 204,1    | 148,1                          | 147,3                          | 0,80     |
| 0,7   | 4811 | 441 | 0,0724      | 1,3668      | 217,4    | 128,6                          | 125,1                          | 3,50     |
| 0,8   | 4914 | 454 | 0,0708      | 1,3529      | 246,7    | 98,9                           | 91,6                           | 7,29     |
| 0,9   | 5096 | 475 | 0,0683      | 1,3301      | 283,9    | 57,2                           | 49,8                           | 7,90     |

Tabla 5.11

p-Xileno(1) + Metil-ciclohexano(2)

$t = 75^\circ C$

$s_1/s_2 = 1,006$

| $x_1$ | T*   | p*  | $\tilde{T}$ | $\tilde{v}$ | $X_{12}$ | G <sup>E</sup> <sub>exp.</sub> | G <sup>E</sup> <sub>cal.</sub> | $\Delta$ |
|-------|------|-----|-------------|-------------|----------|--------------------------------|--------------------------------|----------|
|       |      |     |             |             |          | J.cm <sup>-3</sup>             | J.mol <sup>-1</sup>            |          |
| 0,1   | 4747 | 413 | 0,0733      | 1,3759      | 339,2    | 69,6                           | 58,6                           | 11,41    |
| 0,2   | 4663 | 410 | 0,0747      | 1,3887      | 255,7    | 113,1                          | 105,5                          | 7,58     |
| 0,3   | 4632 | 410 | 0,0752      | 1,3937      | 222,0    | 141,0                          | 137,8                          | 3,14     |
| 0,4   | 4627 | 413 | 0,0752      | 1,3945      | 208,5    | 158,0                          | 157,4                          | 0,55     |
| 0,5   | 4643 | 418 | 0,0750      | 1,3920      | 206,3    | 164,5                          | 164,3                          | 0,15     |
| 0,6   | 4681 | 425 | 0,0744      | 1,3859      | 212,5    | 158,7                          | 157,2                          | 1,50     |
| 0,7   | 4750 | 435 | 0,0733      | 1,3755      | 226,7    | 138,3                          | 134,2                          | 4,13     |
| 0,8   | 4860 | 449 | 0,0716      | 1,3600      | 252,1    | 102,5                          | 95,4                           | 7,13     |
| 0,9   | 5045 | 471 | 0,0690      | 1,3375      | 278,5    | 53,9                           | 45,2                           | 8,7      |

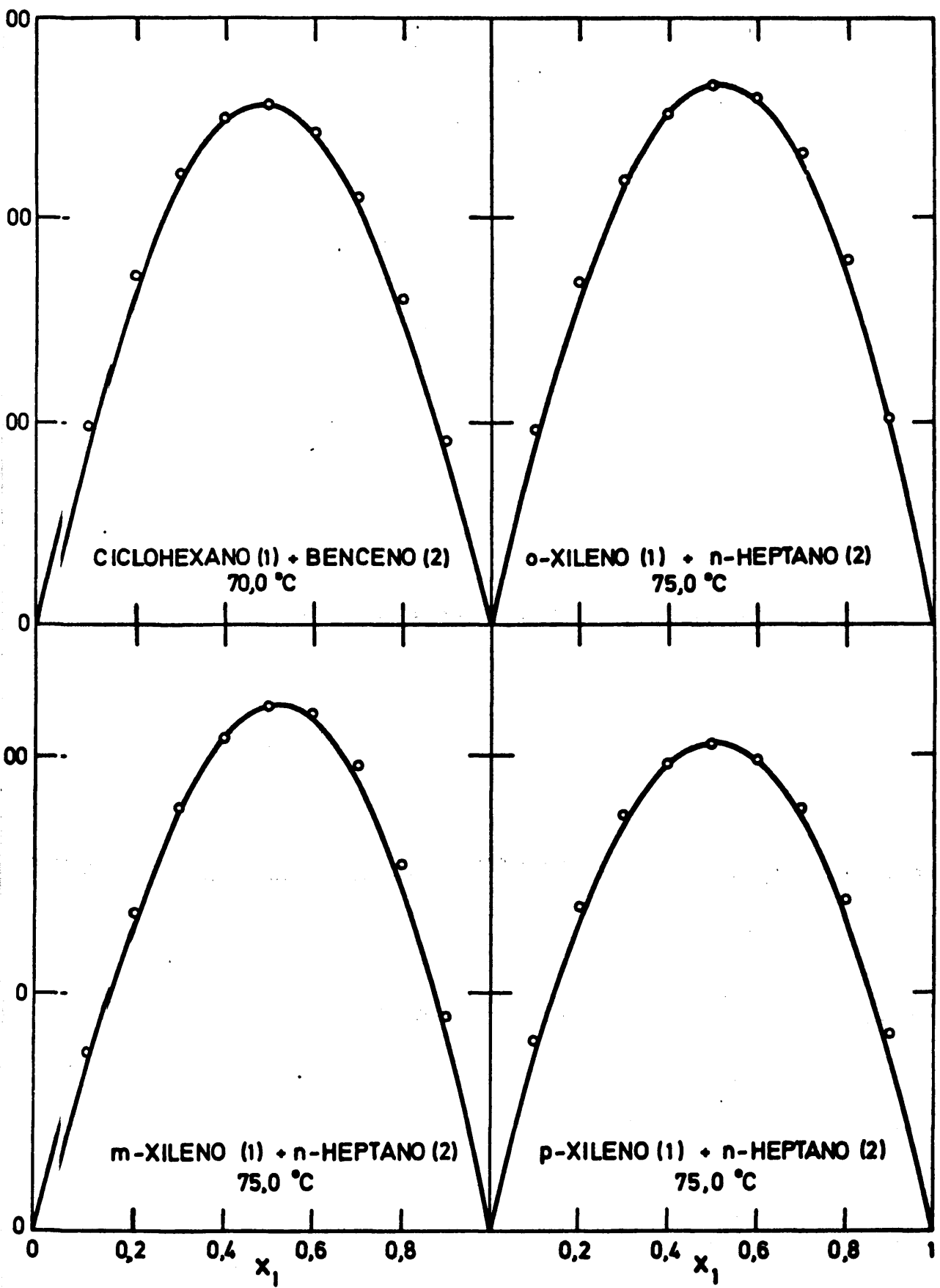


Figura 5.1

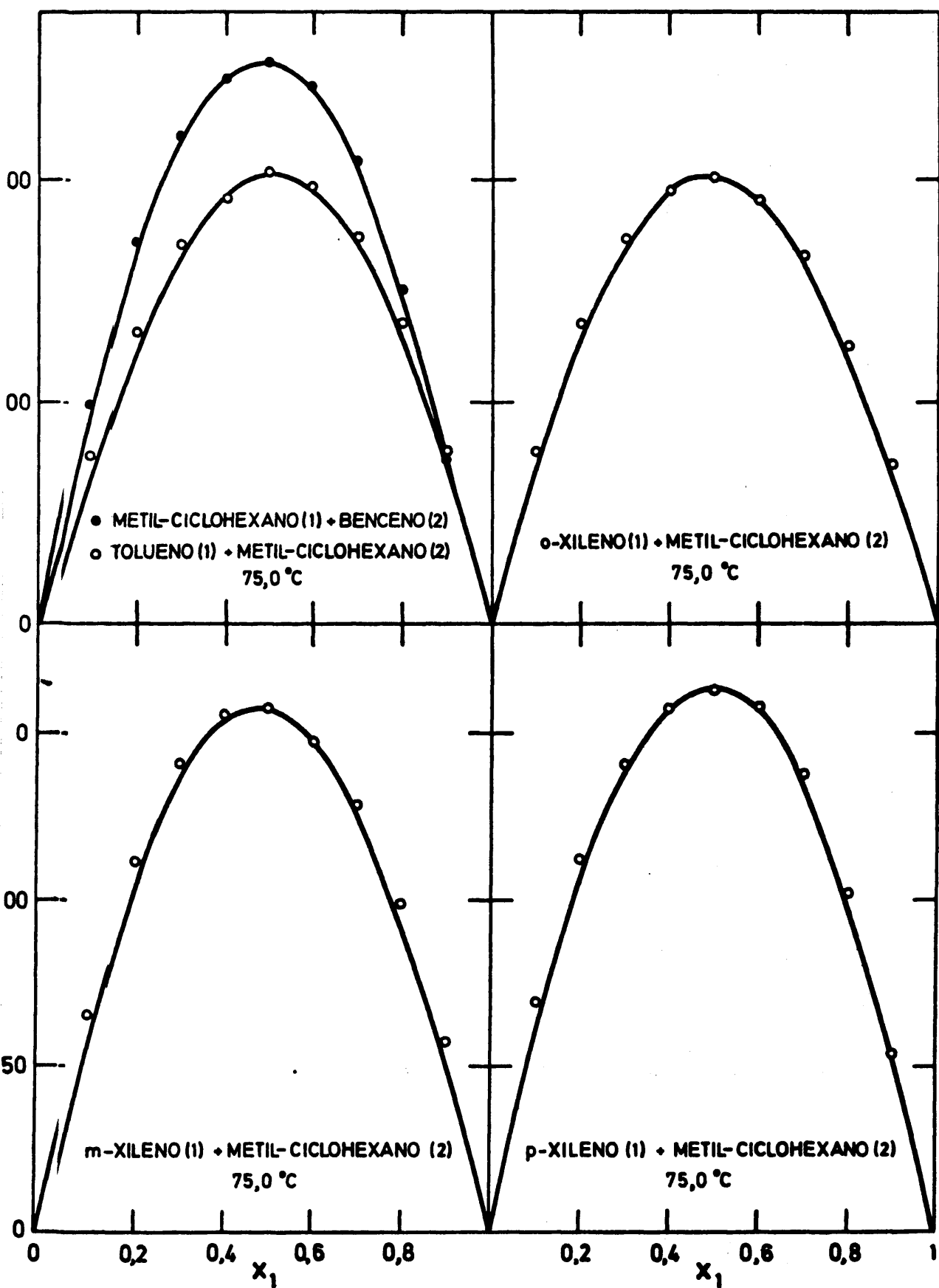


Figura 5.2

## RESUMEN Y CONCLUSIONES

El trabajo desarrollado en esta Memoria se pue de resumir en los siguientes apartados:

- 1.- Se ha comprobado el correcto funcionamiento de la técnica experimental para medidas de presiones de vapor, de mezclas binarias, a temperatura constante, con los datos obtenidos del sistema ciclohexano(1) + benceno(2) a 70°C. Con dichas medidas experimentales se ha calculado la energía libre de Gibbs de exceso,  $G^E$ , comparándose sus valores con los existentes en la Bibliografía, verificándose una perfecta concordancia.
- 2.- Mediante la técnica de refractometría se han determinado a 30,0°C, los índices de refracción para todo el intervalo de fracciones molares de los sistemas estudiados:

o-Xileno(1) + n-Heptano(2)  
m-Xileno(1) + n-Heptano(2)  
p-Xileno(1) + n-Heptano(2)  
Metil-ciclohexano(1) + Benceno(2)  
Tolueno(1) + Metil-ciclohexano(2)  
o-Xileno(1) + Metil-ciclohexano(2)  
m-Xileno(1) + Metil-ciclohexano(2)  
p-Xileno(1) + Metil-ciclohexano(2)

- 3.- A partir de las medidas de índice de refracción de todos los sistemas analizados se han calculado las correspondientes expresiones analíticas de  $n$  y  $n^E$  en función de sus fracciones molares.

- 4.- Se han medido las presiones de vapor de las siguientes sustancias puras: benceno, tolueno, ciclohexano, metilciclohexano, n-heptano, o-xileno, m-xileno y p-xileno en un amplio intervalo de temperaturas.

- 5.- A la temperatura de 75,0°C se han medido las presiones de vapor de todos los sistemas mencionados en el apartado 2, calculándose, posteriormente, su función de Gibbs de exceso,  $G^E$ .
- 6.- Los valores de  $G^E$  de los distintos sistemas han sido ajustados a una ecuación del tipo  $G^E = x_1 x_2 \sum_{i=0}^n A_i (x_1 - x_2)^i$  obteniéndose una expresión analítica de la energía libre de Gibbs de exceso en función de las fracciones mоляres para cada sistema.
- 7.- La consistencia termodinámica de todos los resultados obtenidos ha sido comprobada doblemente por el método gráfico y el analítico de Barker.
- 8.- Se ha aplicado la teoría de Flory a todos los sistemas, comparándose nuestros datos con los resultados teóricos. El parámetro de interacción,  $X_{12}$ , de esta teoría se ha calculado mediante un método iterativo, por carecer de datos de calor de mezcla o de volumen de exceso en las condiciones experimentales para la determinación de  $G^E$ .
- 9.- Y por último, el parámetro de interacción, contrariamente a lo que cabe esperar, varía con la fracción molar, de ahí la falta de rigor de la teoría, que puede considerarse como una buena aproximación a la estructura del estado líquido.

## BIBLIOGRAFIA

- 1 BROWN, I; *Aust. J. Sci. Res.*, A5, 530 (1952).
- 2 "Handbook of Chemistry and Physics". (The Chemical Rubber Co., Cleveland, Ohio 1964).
- 3 "International Critical Tables". (McGraw-Hill, New York, London 1928).
- 4 BROWN, I. y SMITH, F.; *Aust. J. Chem.*, 8, 62 (1955).
- 5 WOOD, S.E. y MASLAND, C. M.; *J. Chem. Phys.*, 32, 1385 -- (1960).
- 6 FORTZIATI, A. F. y ROSSINI, F. D.; *J. Res. Natt. Bur. Stand.*, 43, 473 (1949).
- 7 KYLE, B.G. y REED, T.M.; *J. Am. Chem. Soc.*, 80, 6170 -- (1958).
- 8 SCATCHARD, G., WOOD, S.E. y MOCHEL, J.M.; *J. Am. Chem. Soc.*, 61, 3206 (1939).
- 9 BROWN, I. y EWALD, A.H.; *Aust. J. Sci. Res.*, A3, 306, - (1950).
- 10 BROWN, I y EWALD, A.H.; *Aust. J. Sci. Res.*, A4, 198, -- (1951).
- 11 HARKINS, W.D. et. al.; *J. Chem. Phys.*, 13, 534 (1945).
- 12 WIBAUT, J.P., HOOG, H., LANGEDYK, S.L., OVERHOFF, J. y SMITTENBERG, J.; *Rec. Trav. Chim.*, 58, 329 (1939).

- 13 FORZIATI, A.F., GLASGOW Jr., A.R., WILLINGHAM, C.B. y ROSSINI, F.D.; *J. Res. Natt. Bur. Stand.*, 36, 129 (1946).
- 14 PERKIN, W.H.; *J. Chem. Soc.*, 69, 1025 (1896).
- 15 HAMMOND, P.D. y McARDLE, E.H.; *Ind. Eng. Chem.*, 35, -- 809 (1943).
- 16 WILLIAMS, J.W. y KRCHMA, I.J.; *J. Am. Chem. Soc.*, 49, - 1676 (1927).
- 17 FORTZIATI, A.F., NORRIS, W.R. y ROSSINI, F.D.; *J. Res. Natt. Bur. Stand.*, 43, 555 (1949).
- 18 FORTZIATI, A.F.; *J. Res. Natt. Bur. Stand.*, 44, 373 -- (1950).
- 19 KURMANADHARA<sup>O</sup>, K.V., KRISHNAMURTY, V.G. y VENKATARAO, C.; *Rec. Trav. Chim.*, 76 769 (1957).
- 20 RICHARDS, A.R. y HARGREAVES, E.; *Ind. Eng. Chem.*, 36 - 805 (1944).
- 21 ROSSINI, F.D. et. al.; "Selected Values of Physical -- and Thermodynamics Properties of Hidrocarbons and Related Compounds". API Res. Project 44 (1953).
- 22 JORDAN, T.E.; "Vapour Pressure of Pure Organic Solvents" (Interscience, New York, 1954).
- 23 WILLINGHAM, C.J., TAYLOR, W.J., PIGNOCCHI, J.M. y ROSSI NI, F.D.; *J. Res. Natl. Bur. Stand.*, 35, - 219 (1945).

- 24 CHU, J.C. et al.; *Ind. Eng. Chem.*, 46, 754 (1954).
- 25 TIMMERMAN, J.; "Physical Constants of Pure Organic Compounds". (Elsevier, New York, 1950).
- 26 WOOD, S.E. y AUSTIN, A.E.; *J. Am. Chem. Soc.*, 67, 480 (1945).
- 27 EGLOFF, G. "Physical constants of hidrocarbons". (Reinhold, New York, 1946).
- 28 WOOD, S.E. y GRAY, J.A.; *J. Am. Chem. Soc.*; 89, 6814 - (1967).
- 29 YOUNG, S.; *Sci. Proc. Soc. Dublin*, N.S. XII, 374 (1910).
- 30 RODRIGUEZ CHEDA, D.; Tesis doctoral, Madrid 1969.
- 31 DIAZ PEÑA, M., SOTOMAYOR, C.P. y R. RENUNCIO, J.A.; -- *Anales Real Soc. Espa n. Fis. Quim.*, 69, 275 (1973).
- 32 SAEZ DIAZ, C.; Tesis doctoral, Madrid 1973.
- 33 COX, J.D. y ANDON, J.L.; *Trans. Faraday Soc.*, 54, 1622 (1958).
- 34 ANDON, R.J.L., COX, J.D., HERINGTON, E.F.G. y MARTIN - J.F.; *Trans. Faraday Soc.*, 53, 1074 (1957).
- 35 KUDCHADKER, A.P., ALANI, G.H. y ZWOLINSKI, B.J.; *Chem. Rev.*, 68 659 (1968).
- 36 GUGGENHEIM, E.A. "Termodin amica". (Tecnos, Madrid 1970)
- 37 SCATCHARD, G, WOOD, S.E. y MOCHEL, J.M.; *J. Phys. Chem.* 43, 119 (1939).

- 38 REDLICH, O. y KISTIR, A.T.; *Ind. Eng. Chem.*, 40, 345 - (1948).
- 39 BARKER, J.A.; *Aust. J. Chem.*, 6, 207 (1953).
- 40 HILDEBRAND, J.H. y SCOTT, R.L.; "Regular solutions". - (Prentice-Hall, Englewood Cliffs, New Jersey 1962).
- 41 GUGGENHEIM, E.A.; "Mixtures". (Oxford Press. 1952).
- 42 PRIGOGINE, I.; "The Molecular Theory of Solutions". -- (North Holland, Amsterdam 1957).
- 43 EYRING, H. y JHON, M.S.; "Significant Liquid Structures". (Wiley New York 1969).
- 44 FLORY, P.J., ORWOLL, R.A. y VRIJ, A.; *J. Am. Chem. Soc.*, 86, 3507 (1964).
- 45 FLORY, P.J., ORWOLL, R.A. y VRIJ, A.; *J. Am. Chem. Soc.*, 86, 3515 (1964).
- 46 FLORY, P.J. y ABE, A.; *J. Am. Chem. Soc.*, 86 3563 ---- (1964).
- 47 FLORY, P.J.; *J. Am. Chem. Soc.*, 87, 1833 (1965).
- 48 ABE, A. y FLORY, P.J.; *J. Am. Chem. Soc.*, 87, 1838 (1965).
- 49 ORWOLL, R.A. y FLORY, P.J.; *J. Am. Chem. Soc.*, 89, --- 6814 (1967).
- 50 FLORY, P.J.; *Dis. Faraday Soc.*, 49, 7 (1970).

- 51 TONKS, L.; *Phys. Rev.*, 50, 955 (1936).
- 52 EYRING, H. y HIRSCHFELDER, J.O.; *J. Phys. Chem.*, 41, 249 (1937).
- 53 PRIGOGINE, I., TRAPPENIERS, N. y MATHOT, V.; *Dis. Faraday Soc.*, 15, 93 (1953); *J. Chem. Phys.*, 21, 559 (1953).
- 54 HILDEBRAND, J.H. y SCOTT, R.L.; "Solubility of non-electrolytes". (Reinhold, New York 1950).
- 55 FRANK, H.S.; *J. Chem. Phys.*, 13, 995 (1945).
- 56 BOUBLIK, T. y BENSON, G.B.; *Canadian J. Chem.*, 47, 539 (1969).
- 57 WADA, Y.; *J. Phys. Soc. Japan*, 4, 280 (1949).